

# Maillages hex-dominants : génération, simulation et évaluation

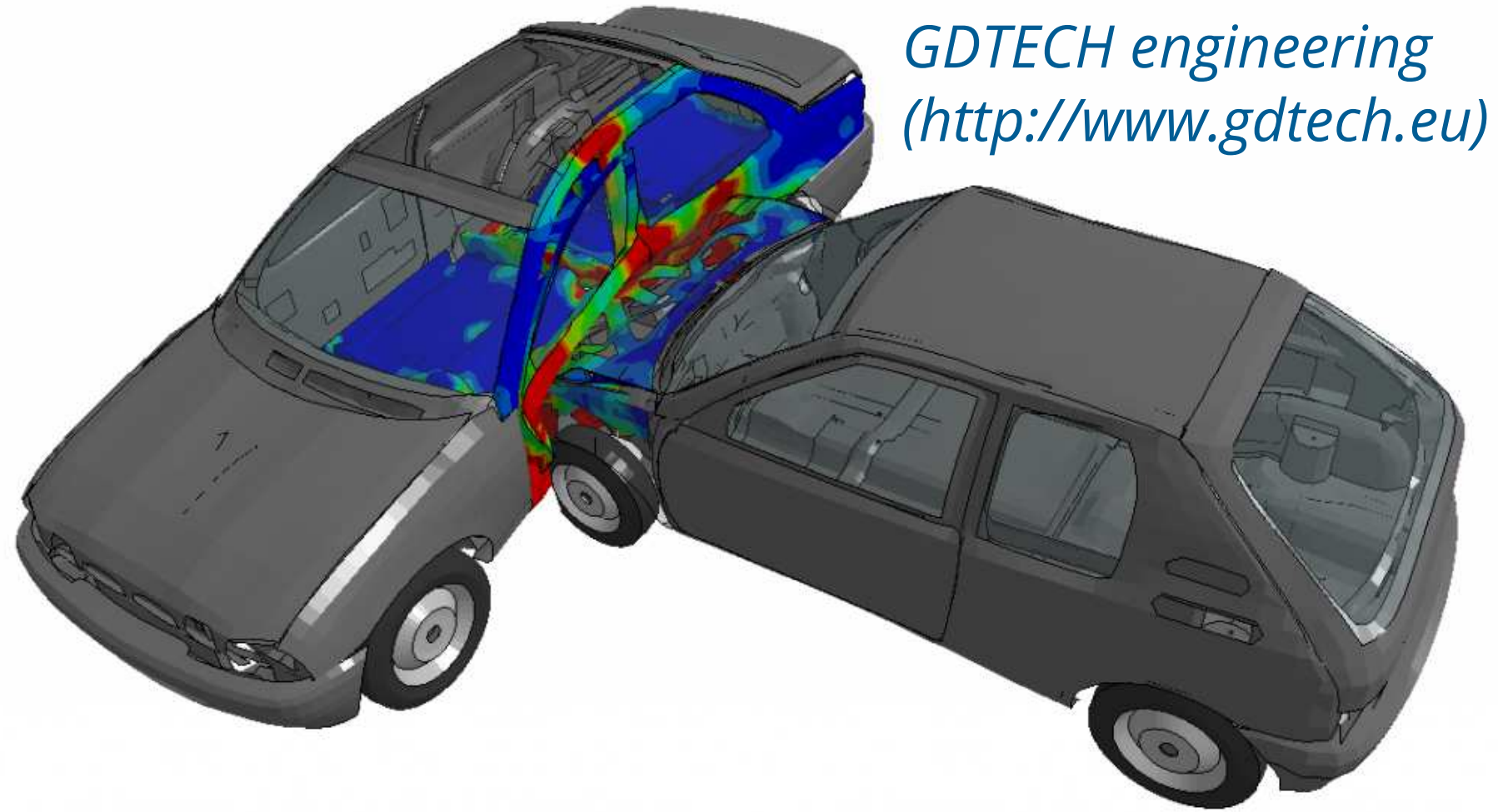
Maxence Reberol

23 mars 2018, Nancy

Directeurs de thèse:

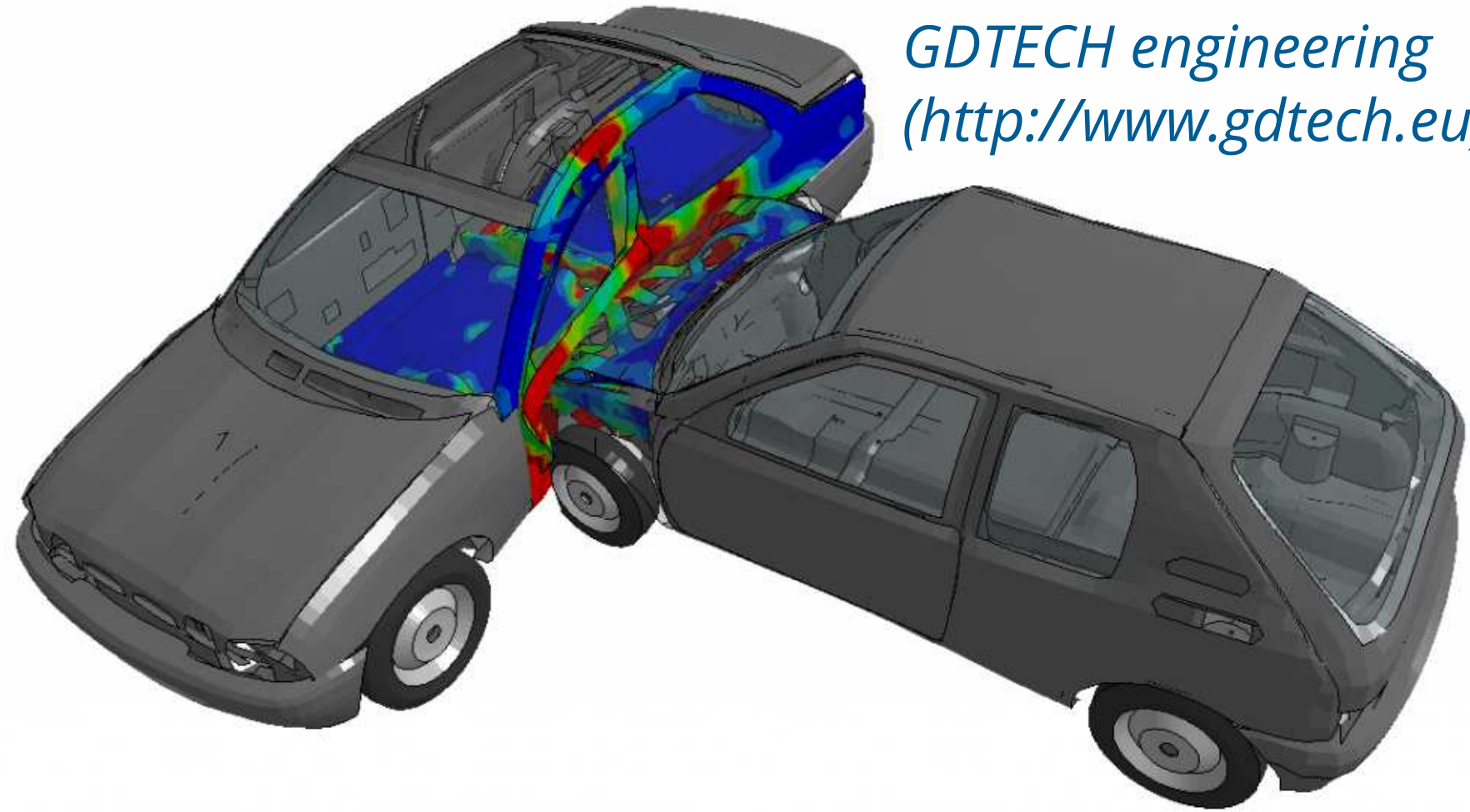
- Bruno Lévy
- Sylvain Lefebvre

# Contexte général

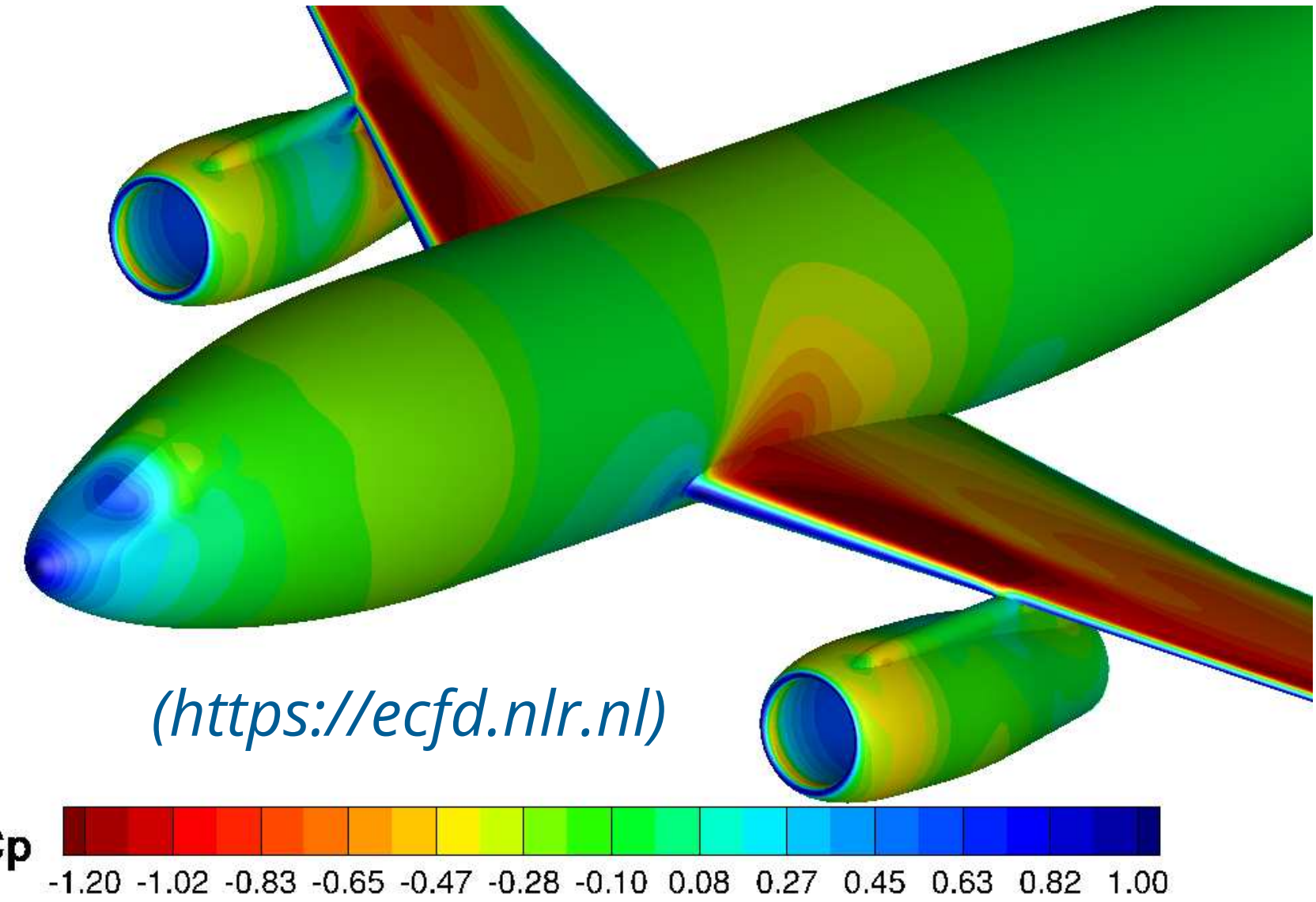


*GDTECH engineering*  
(<http://www.gdtech.eu>)

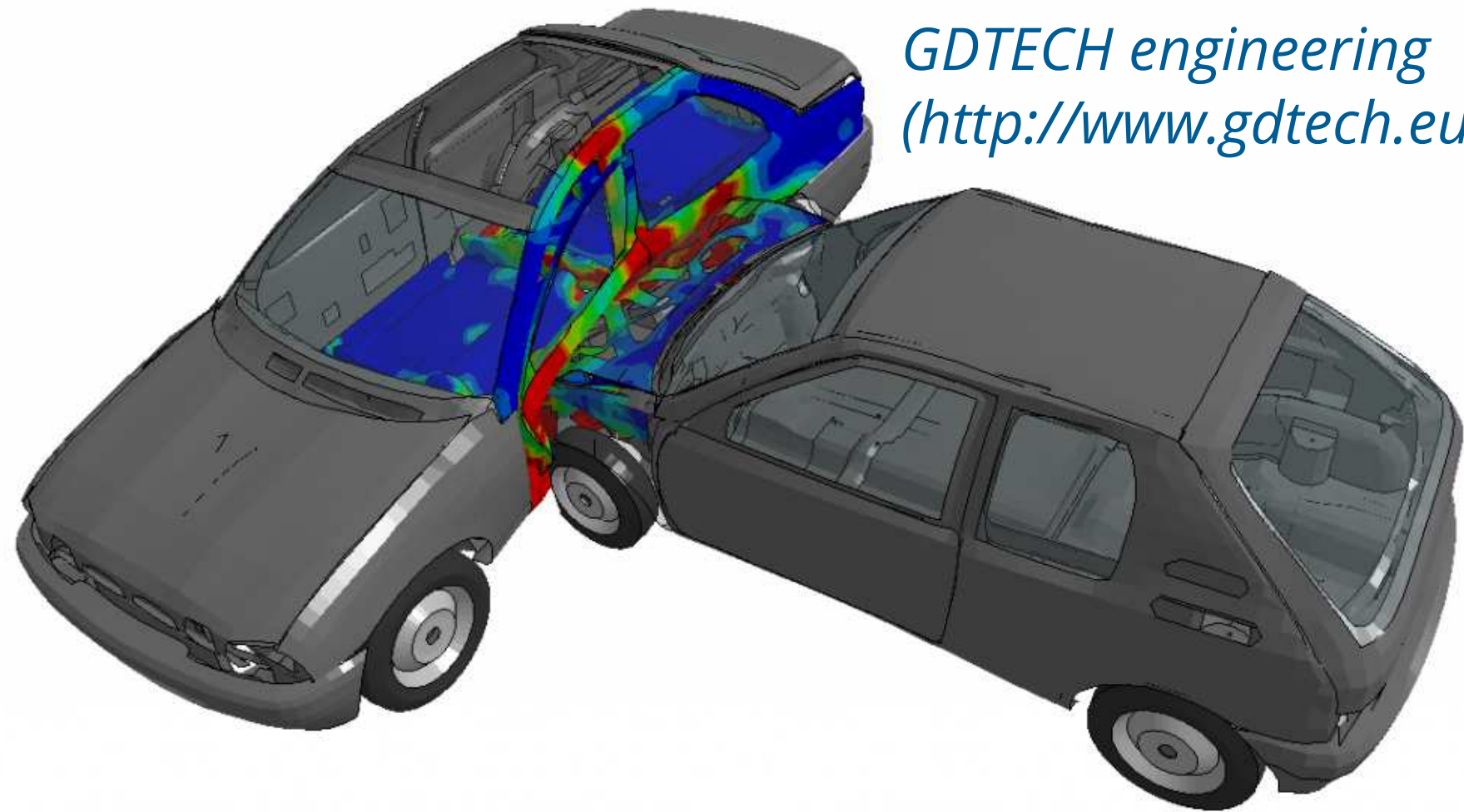
# Contexte général



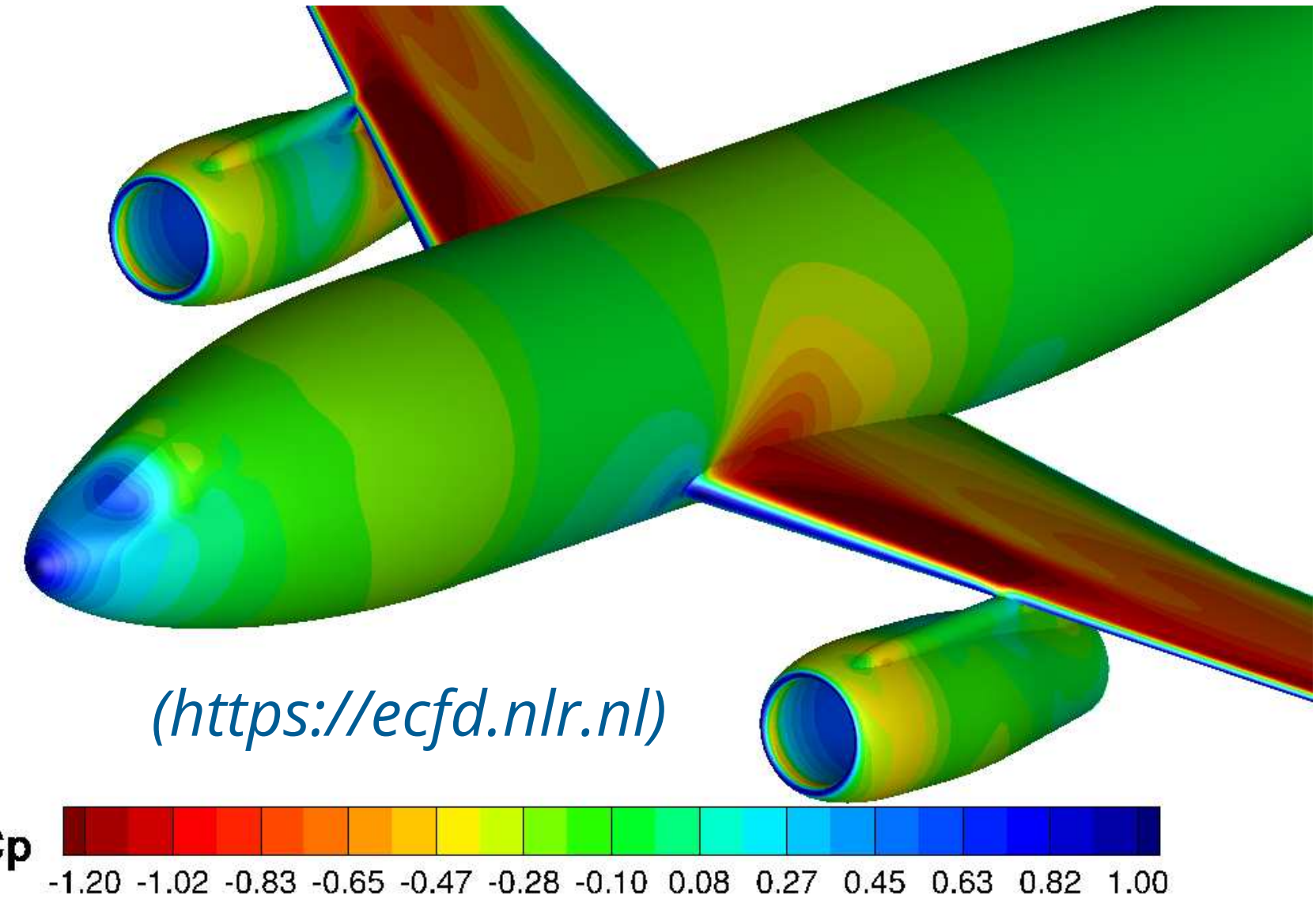
*GDTECH engineering*  
(<http://www.gdtech.eu>)



# Contexte général



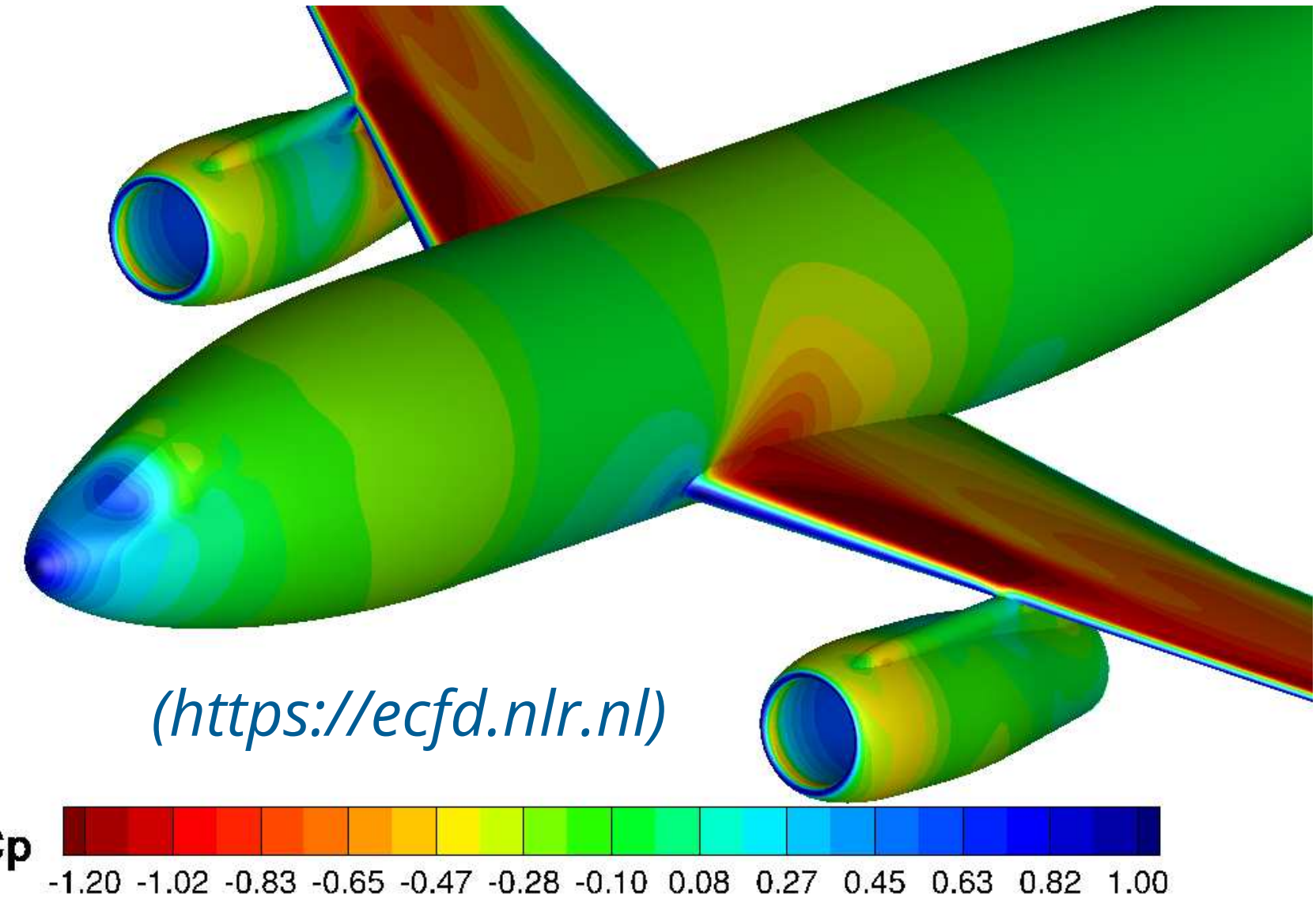
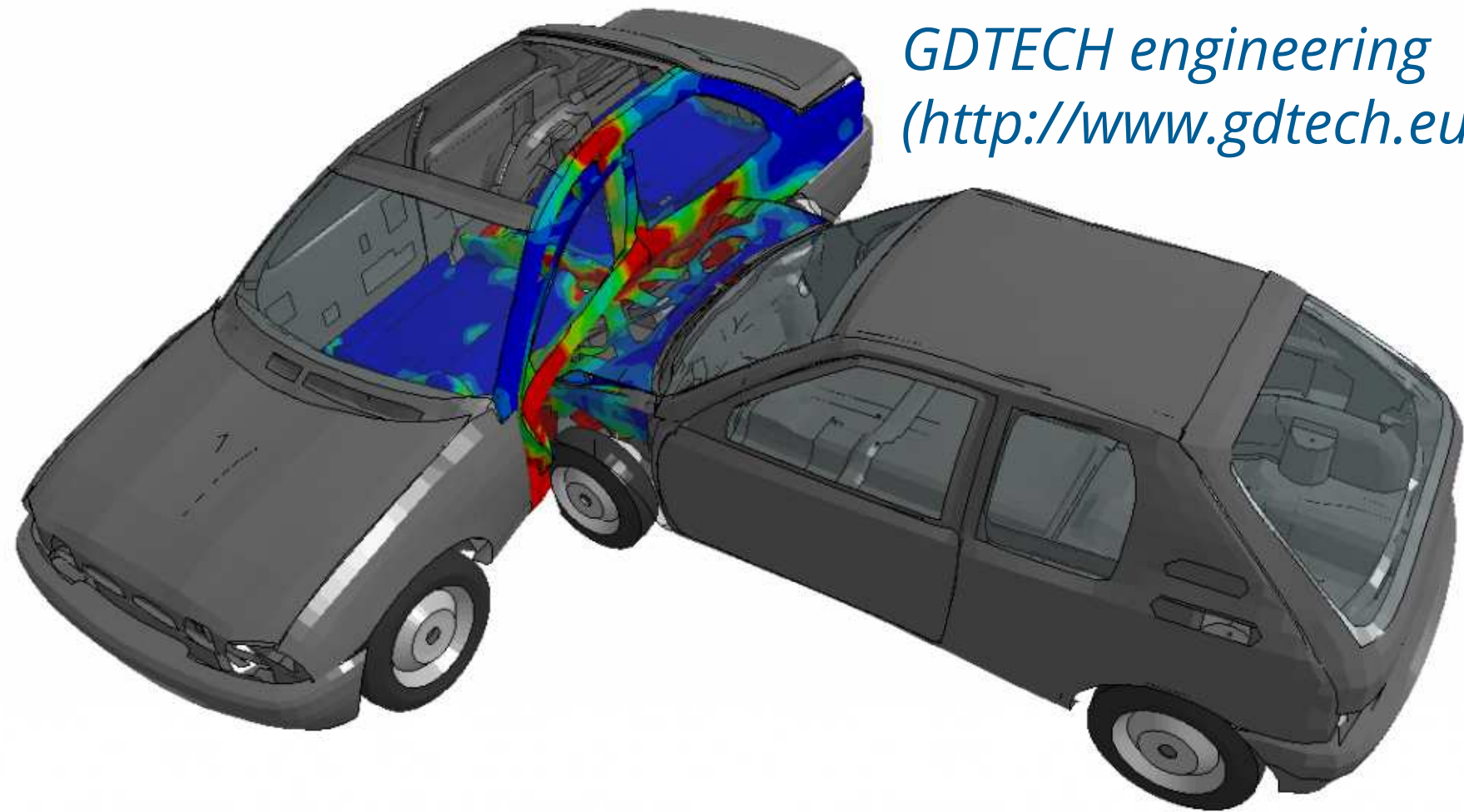
*GDTECH engineering*  
(<http://www.gdtech.eu>)



Simulation numérique :

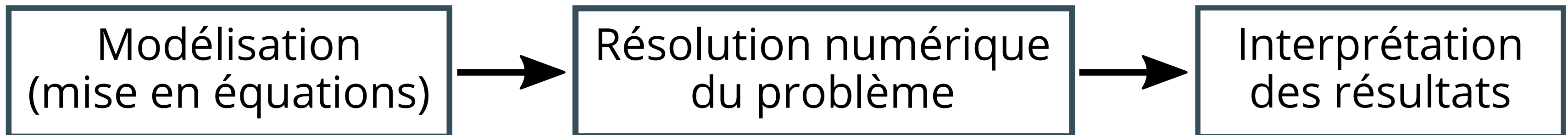
- outil pour ingénieurs (nombreux logiciels commerciaux)
- tous les domaines : mécanique, fluide, chaleur, électromagnétisme, acoustique
- fondamental pour la conception de systèmes complexes

# Contexte général

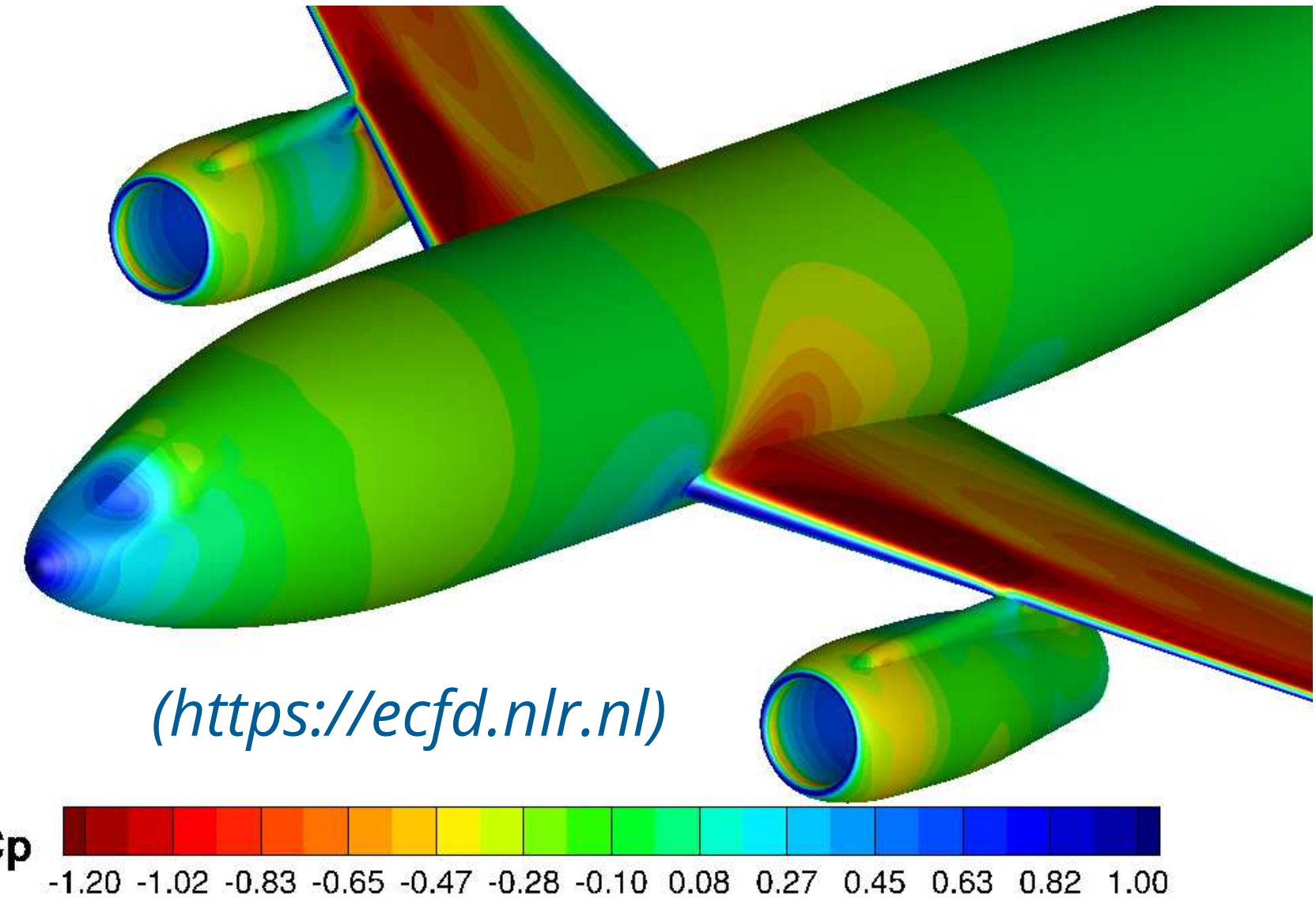
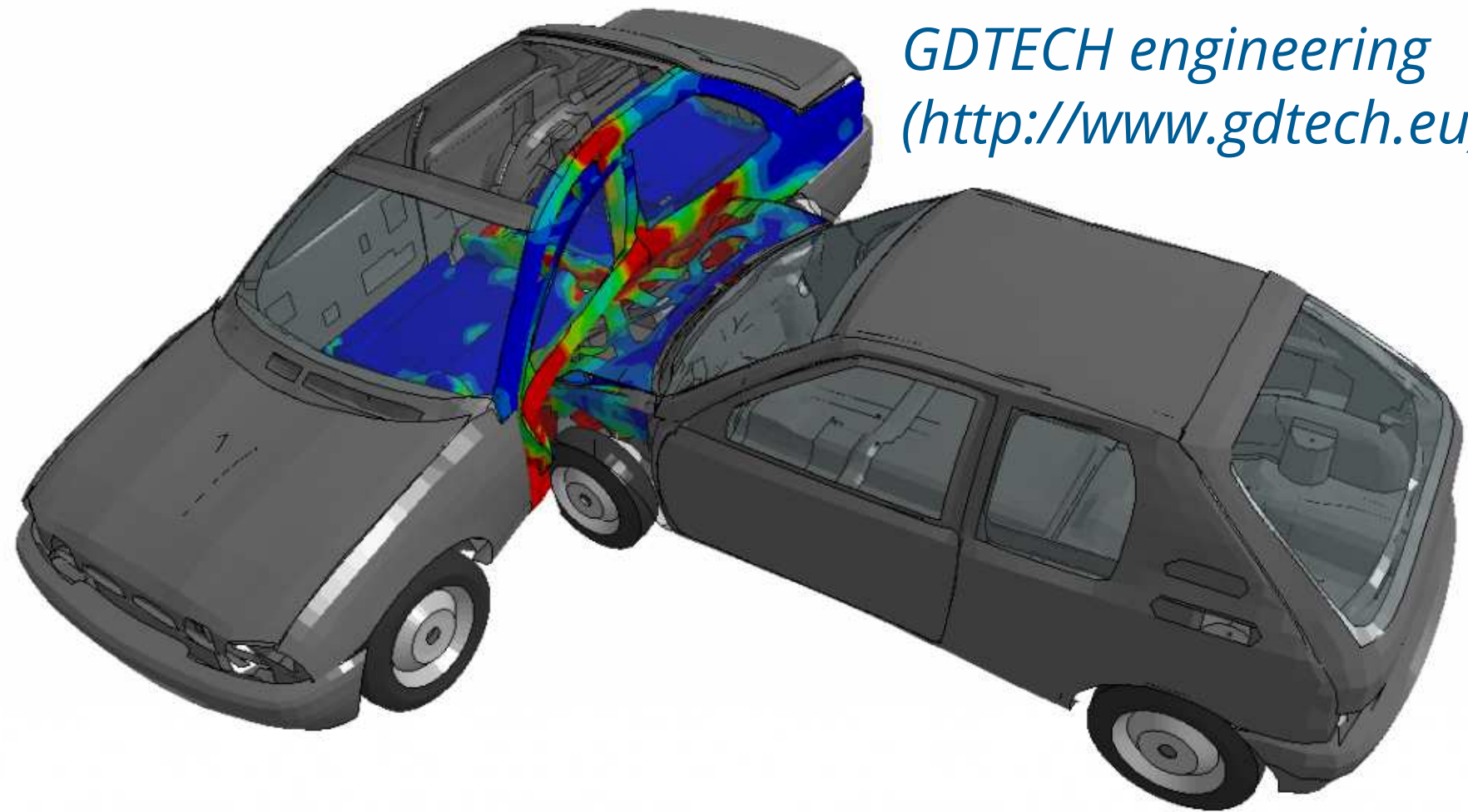


Simulation numérique :

- outil pour ingénieurs (nombreux logiciels commerciaux)
- tous les domaines : mécanique, fluide, chaleur, électromagnétisme, acoustique
- fondamental pour le conception de systèmes complexes



# Contexte général



Simulation numérique :

- outil pour ingénieurs (nombreux logiciels commerciaux)
- tous les domaines : mécanique, fluide, chaleur, électromagnétisme, acoustique
- fondamental pour la conception de systèmes complexes

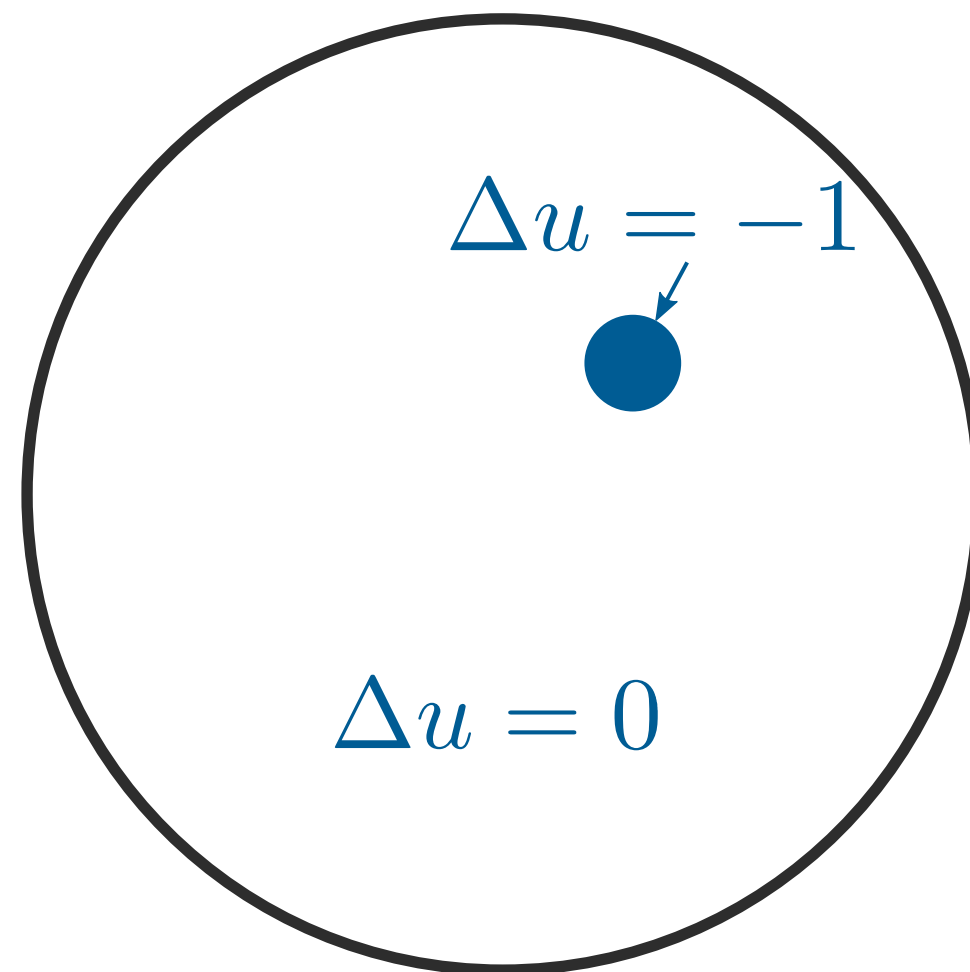


# Type de problèmes à résoudre

Objectif : résoudre numériquement des problèmes aux limites

Problème aux limites :

- équations aux dérivées partielles (EDPs) définies sur un domaine

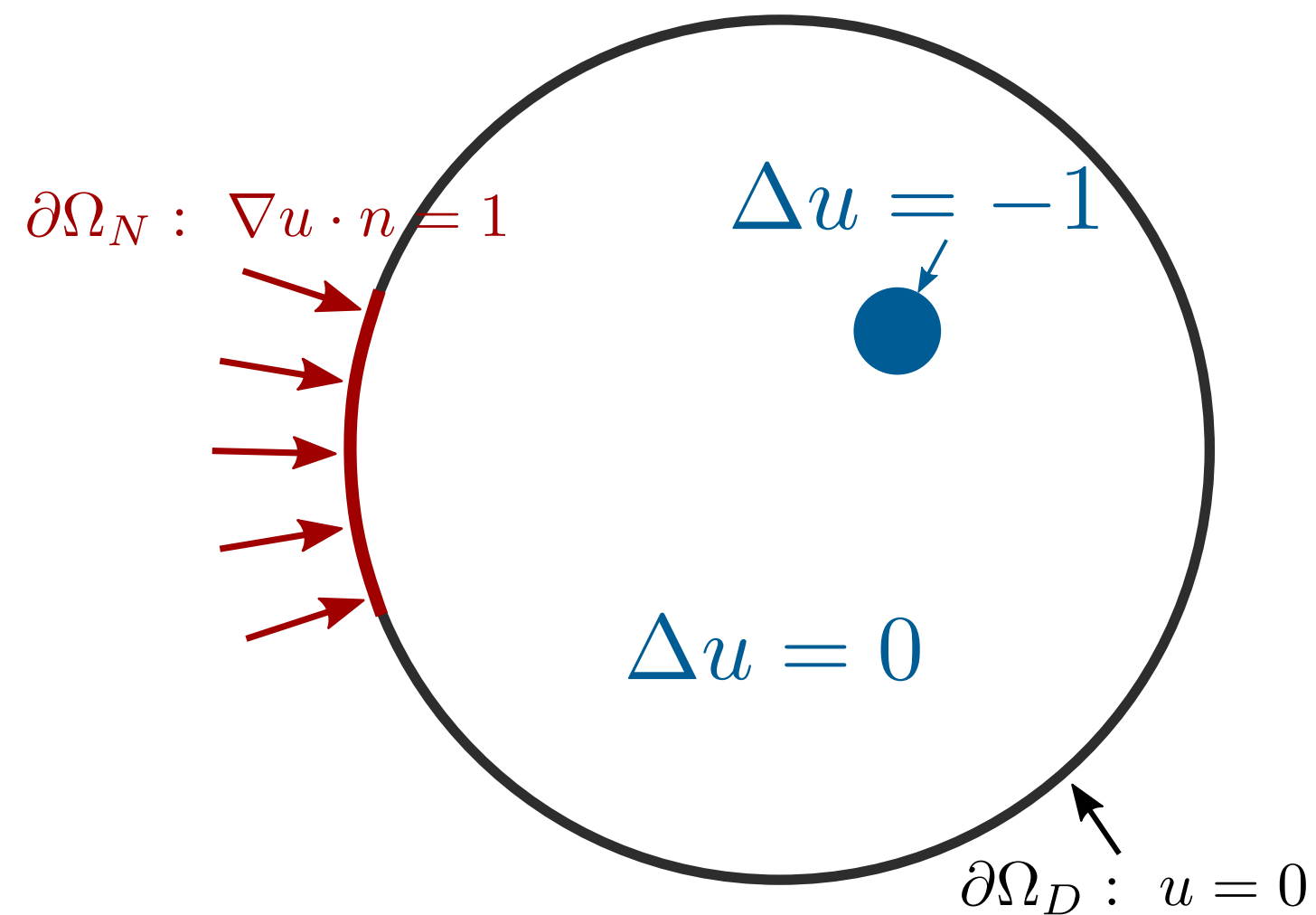


# Type de problèmes à résoudre

Objectif : résoudre numériquement des problèmes aux limites

Problème aux limites :

- équations aux dérivées partielles (EDPs) définies sur un domaine
- conditions aux limites sur le bord du domaine

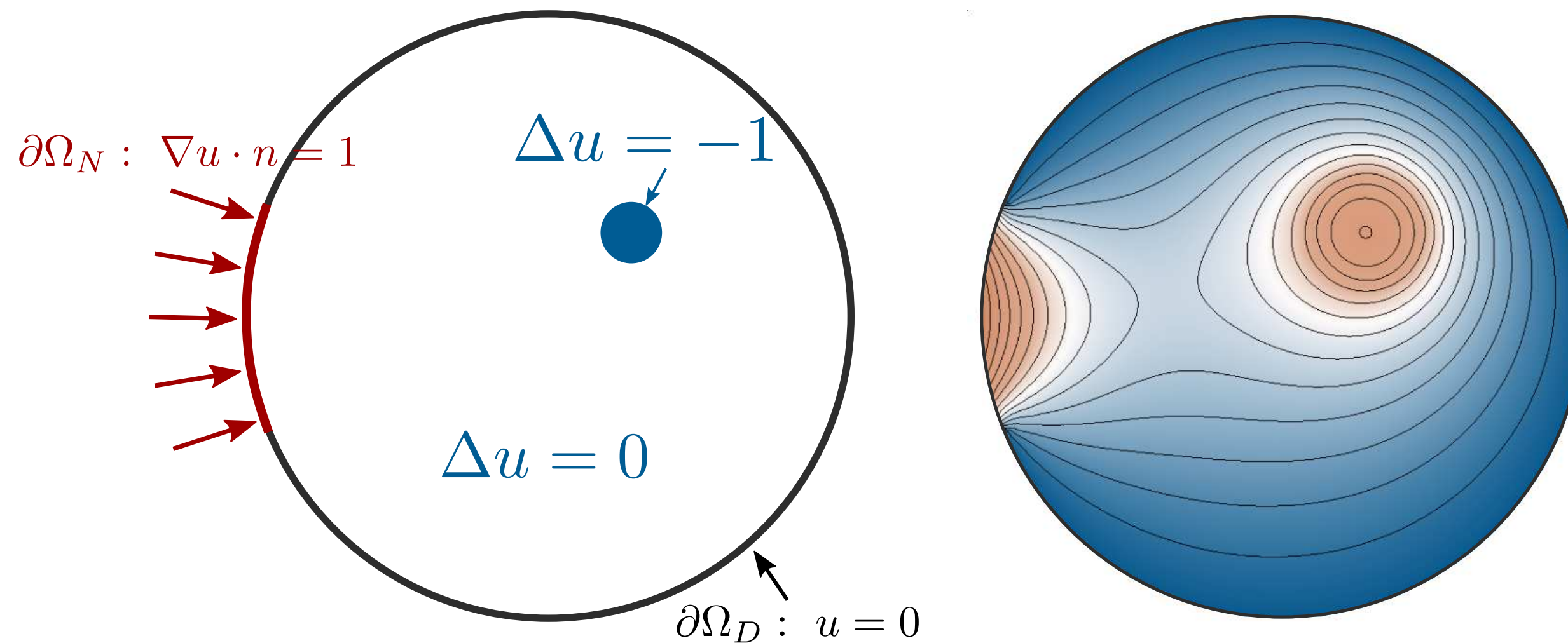


# Type de problèmes à résoudre

Objectif : résoudre numériquement des problèmes aux limites

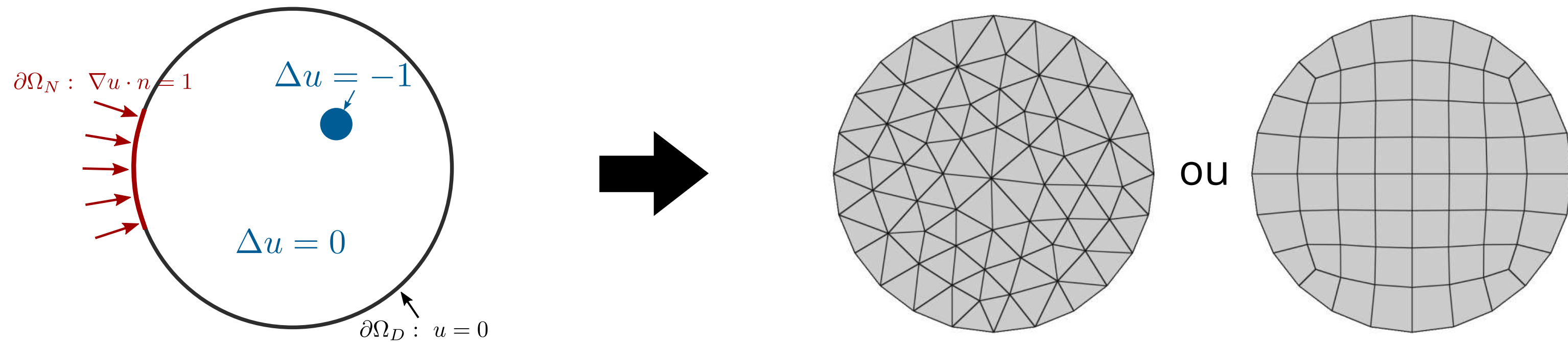
Problème aux limites :

- équations aux dérivées partielles (EDPs) définies sur un domaine
- conditions aux limites sur le bord du domaine



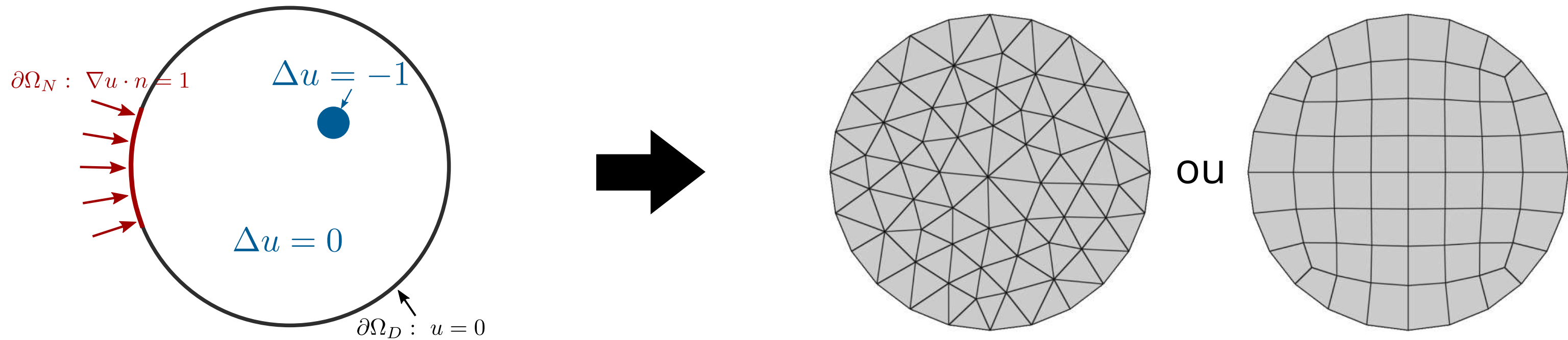
# Discretisation avec la méthode des éléments finis

Maillage : partition du **domaine** en éléments simples

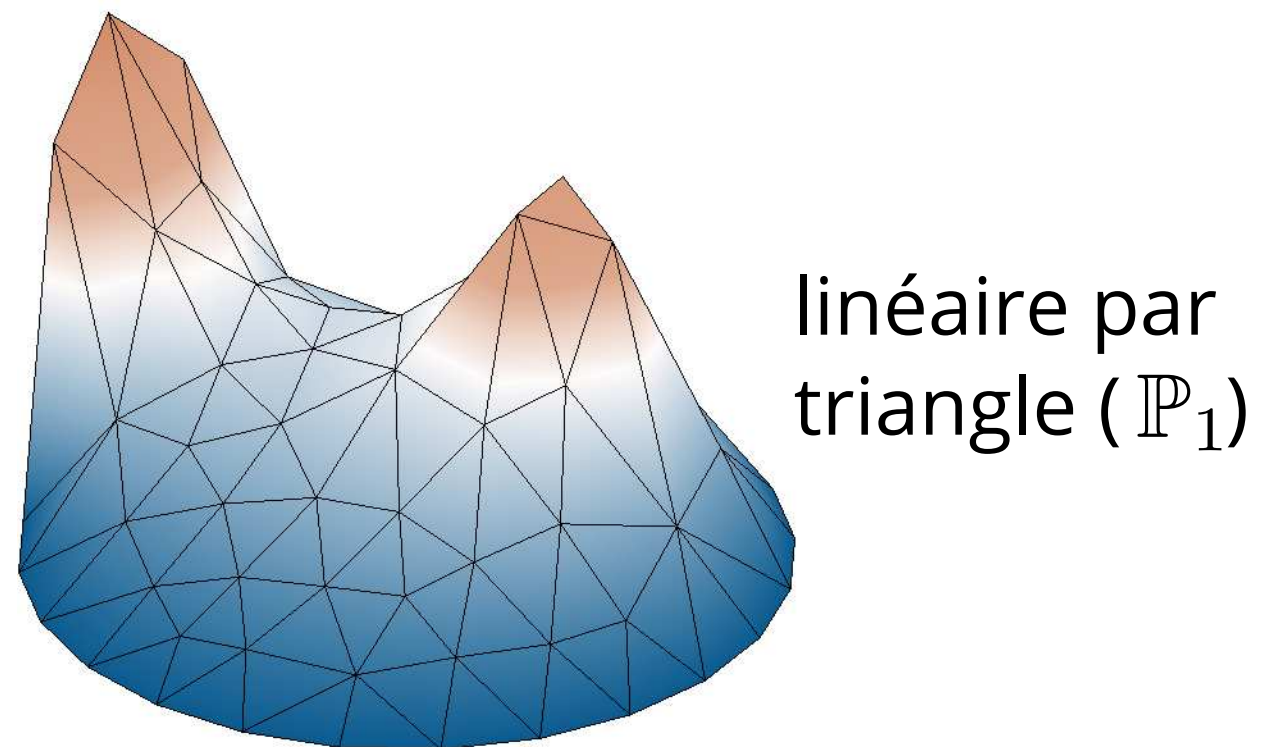


# Discrétisation avec la méthode des éléments finis

Maillage : partition du **domaine** en éléments simples

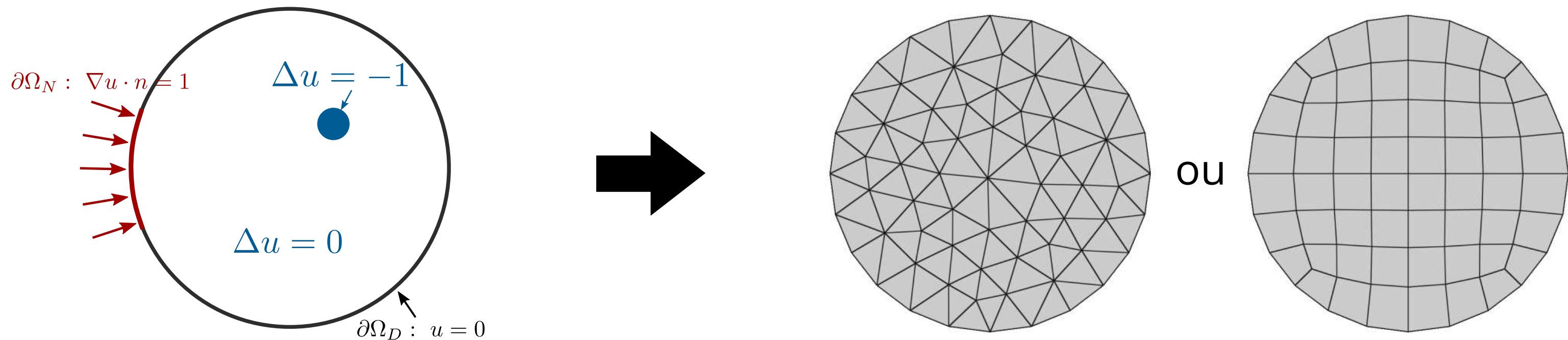


Approximation des **fonctions** : polynômes par morceaux sur les éléments

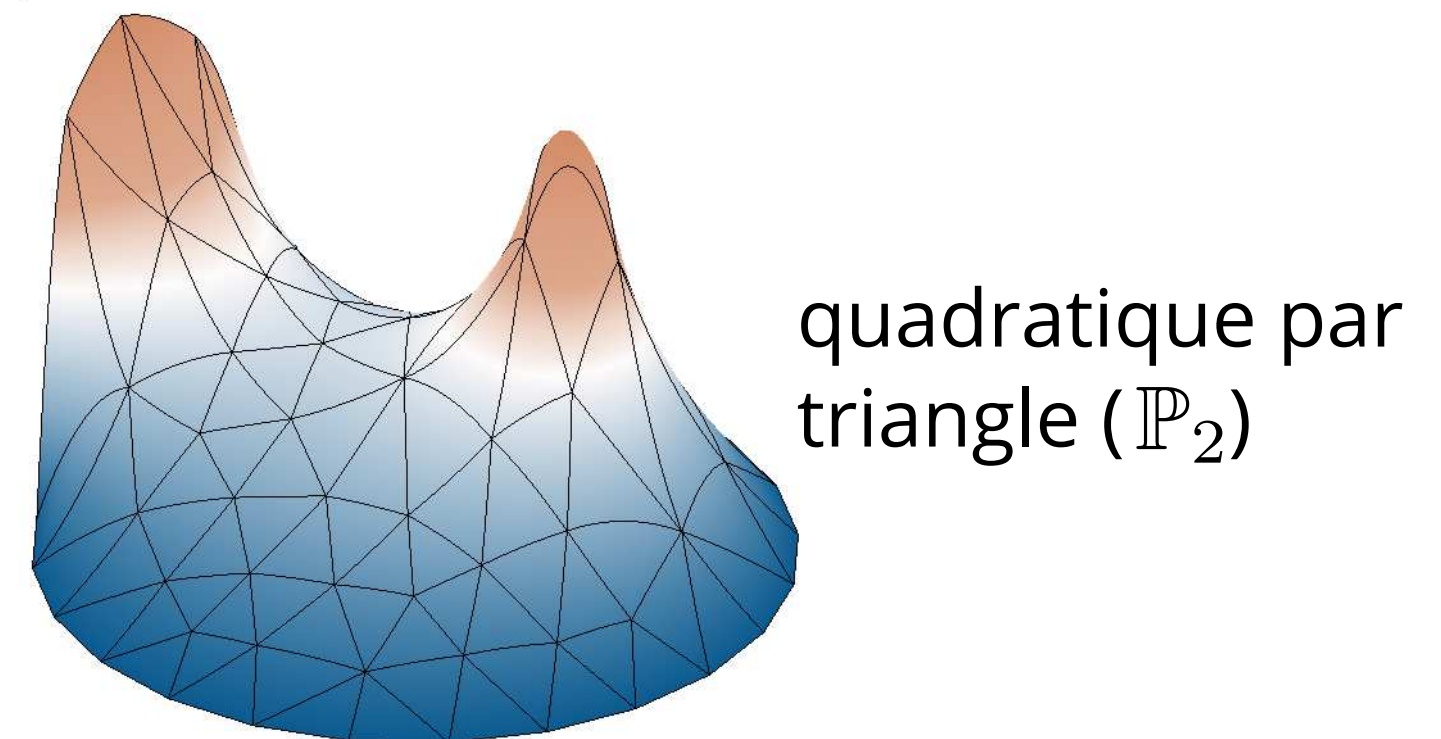
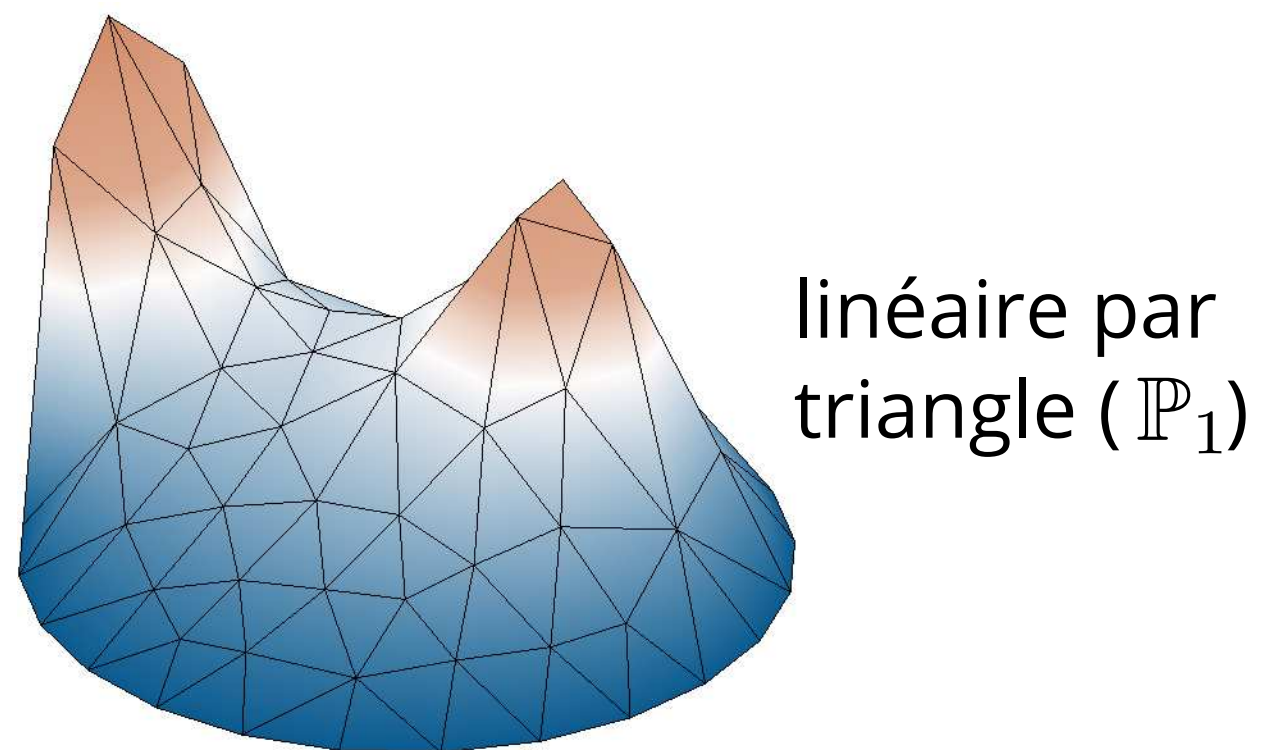


# Discrétisation avec la méthode des éléments finis

Maillage : partition du **domaine** en éléments simples

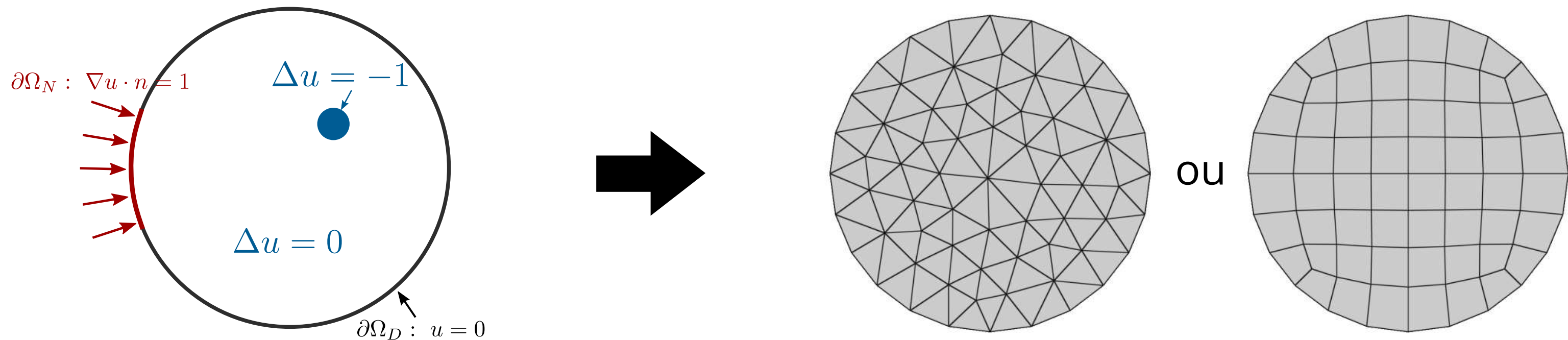


Approximation des **fonctions** : polynômes par morceaux sur les éléments

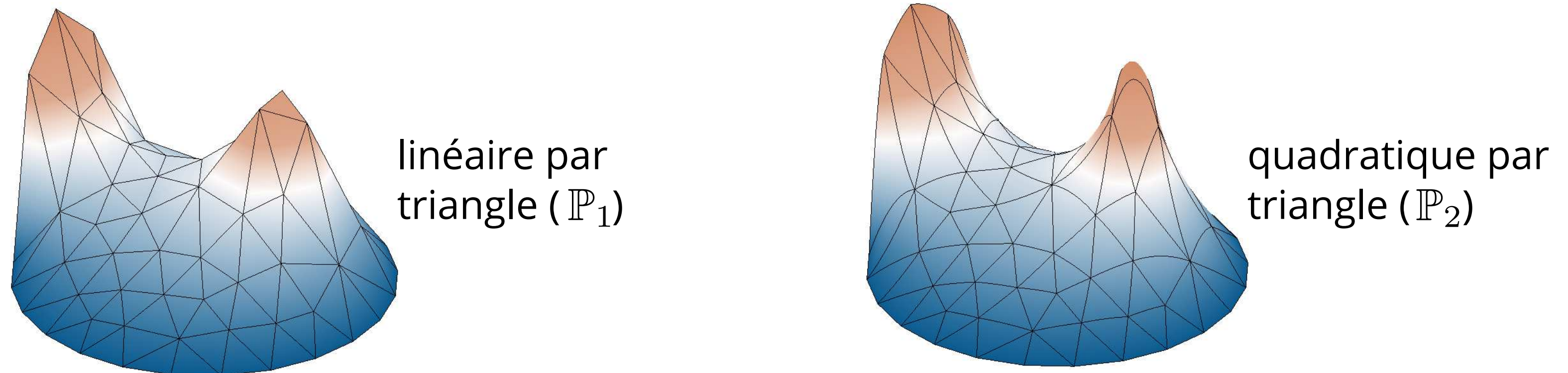


# Discrétisation avec la méthode des éléments finis

Maillage : partition du **domaine** en éléments simples

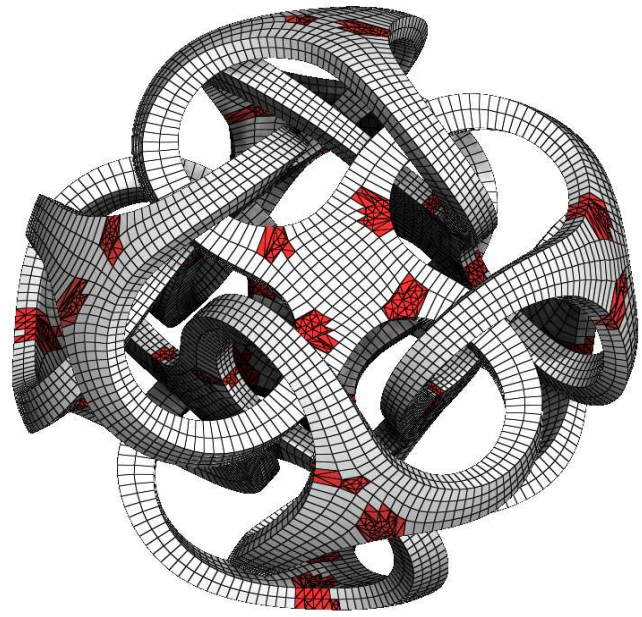


Approximation des **fonctions** : polynômes par morceaux sur les éléments



Historique : débuts années 50, théorie années 70, ... , toujours très utilisé

# Sommaire



## I. Génération de maillage hex-dominants

ALICE : meilleur hex-tet

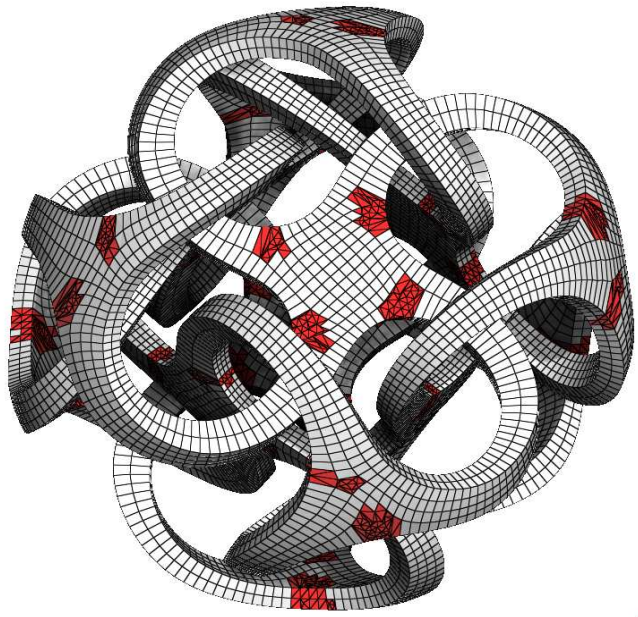
*contribution* : maillage robuste [[Ray, Sokolov, Reberol, Ledoux, Levy '18](#)]

# Sommaire

## I. Génération de maillage hex-dominants

ALICE : mailleur hex-tet

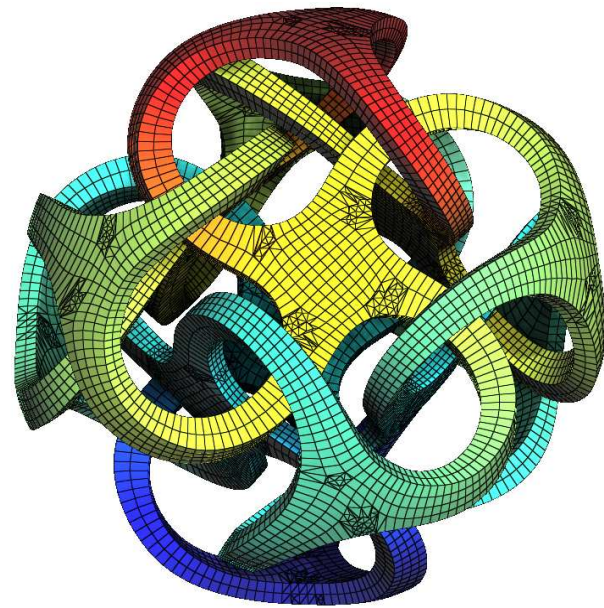
*contribution* : maillage robuste [Ray, Sokolov, Reberol, Ledoux, Levy '18]



## II. Éléments finis sur maillages hex-tet

*contribution* : espace continu  $\mathcal{Hyb}_k$  ( $\mathbb{Q}_k, \mathbb{P}_{2k}, \mathbb{P}_k$ )

*rapport* [Reberol et Lévy '16]

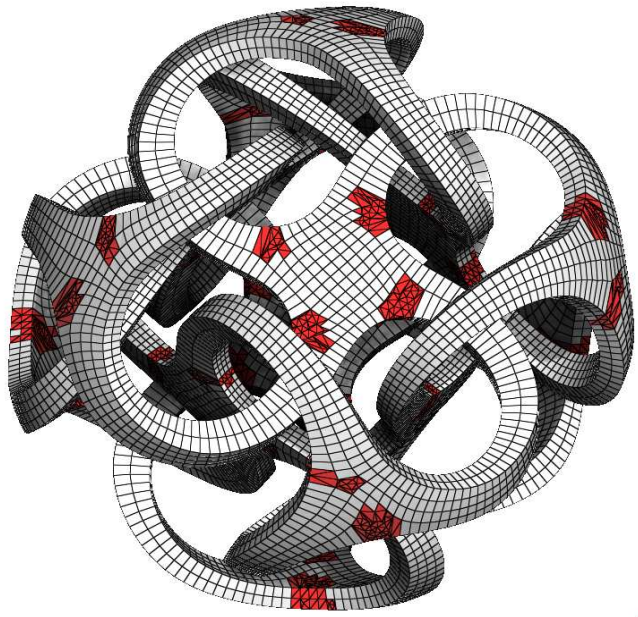


# Sommaire

## I. Génération de maillage hex-dominants

ALICE : mailleur hex-tet

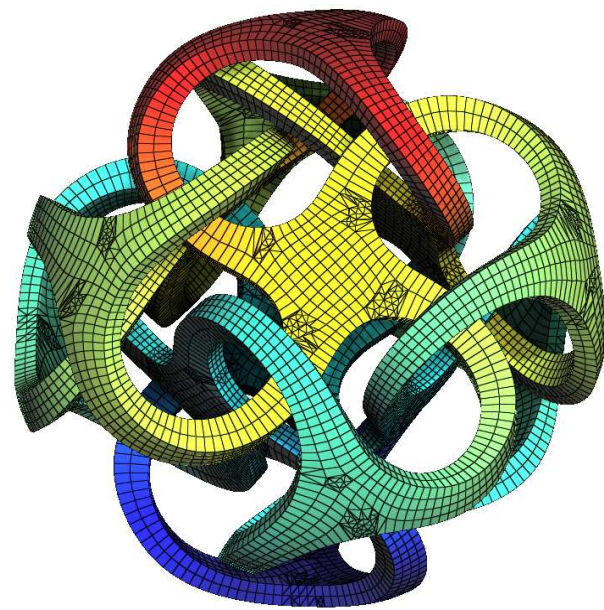
*contribution* : maillage robuste [Ray, Sokolov, Reberol, Ledoux, Levy '18]



## II. Éléments finis sur maillages hex-tet

*contribution* : espace continu  $\mathcal{Hyb}_k$  ( $\mathbb{Q}_k, \mathbb{P}_{2k}, \mathbb{P}_k$ )

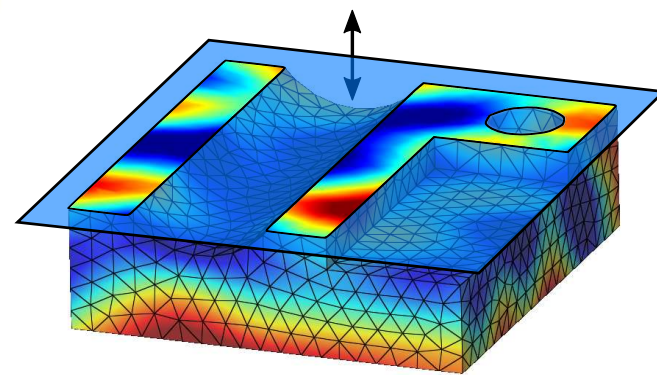
*rapport* [Reberol et Lévy '16]



## III. Méthode d'évaluation

*contribution* : calcul de distance efficace

*article* [Reberol et Lévy '18]



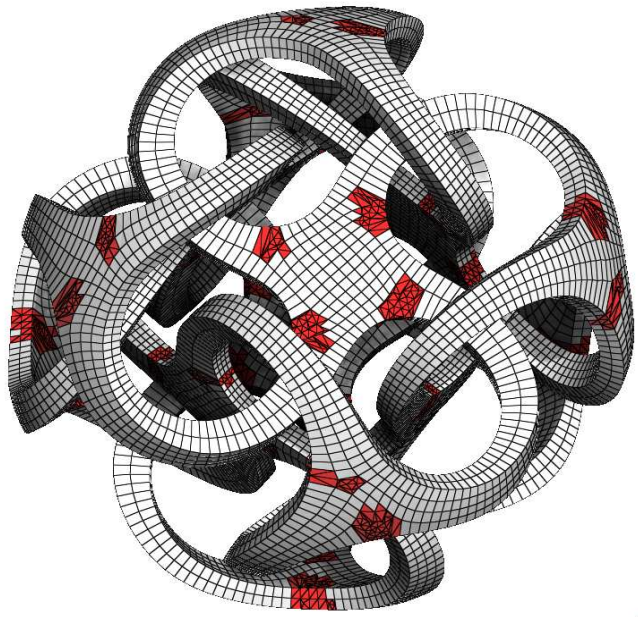
$$\|u_h - u_{ref}\|$$

# Sommaire

## I. Génération de maillage hex-dominants

ALICE : mailleur hex-tet

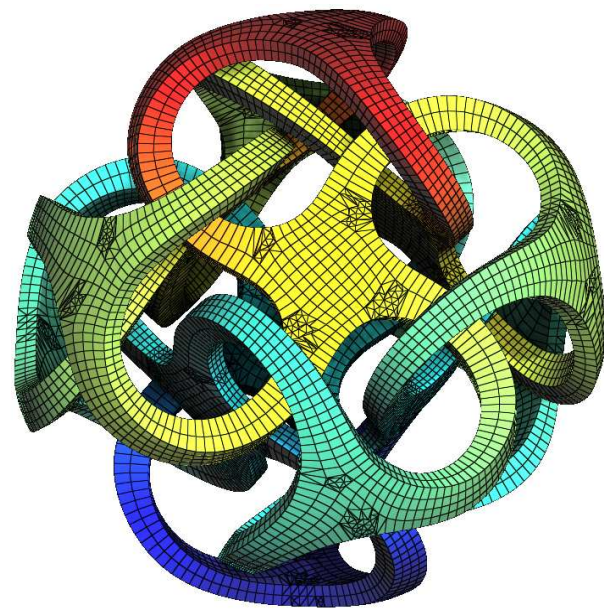
*contribution* : maillage robuste [Ray, Sokolov, Reberol, Ledoux, Levy '18]



## II. Éléments finis sur maillages hex-tet

*contribution* : espace continu  $\mathcal{Hyb}_k$  ( $\mathbb{Q}_k, \mathbb{P}_{2k}, \mathbb{P}_k$ )

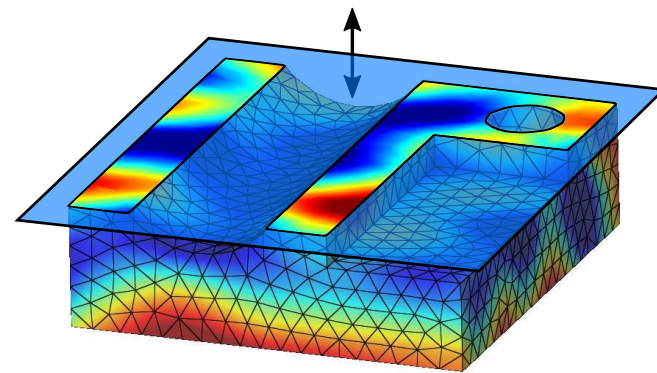
*rapport* [Reberol et Lévy '16]



## III. Méthode d'évaluation

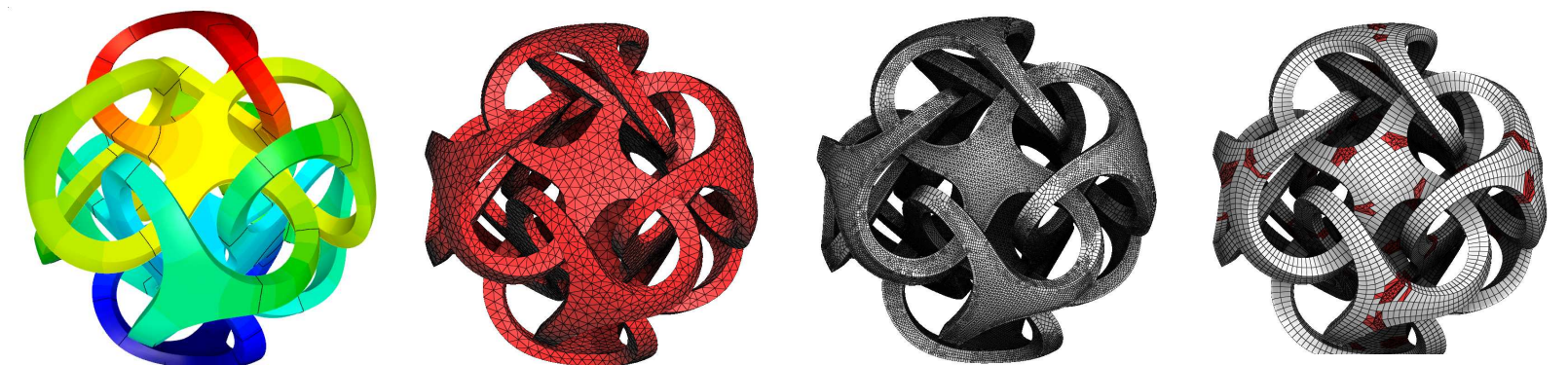
*contribution* : calcul de distance efficace

*article* [Reberol et Lévy '18]



$$\|u_h - u_{ref}\|$$

## IV. Comparaisons de solutions

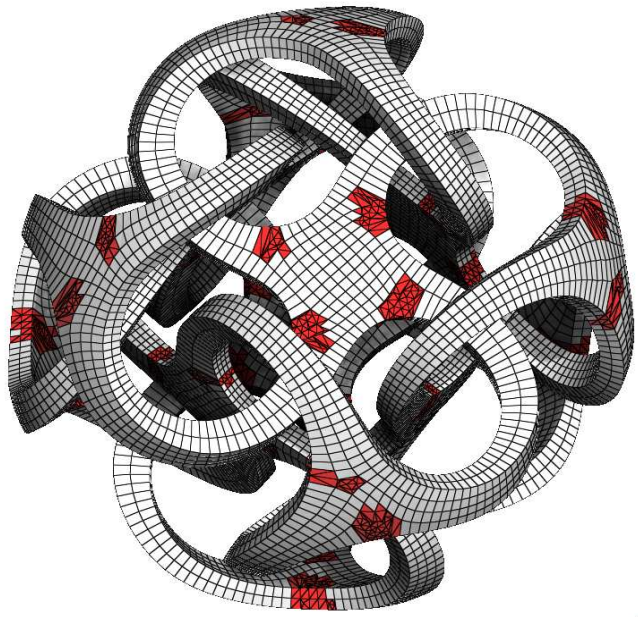


# Sommaire

## I. Génération de maillage hex-dominants

ALICE : mailleur hex-tet

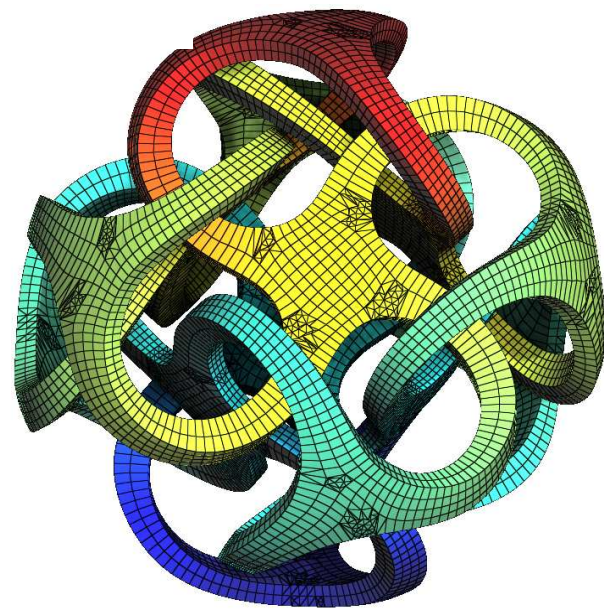
*contribution* : maillage robuste [Ray, Sokolov, Reberol, Ledoux, Levy '18]



## II. Éléments finis sur maillages hex-tet

*contribution* : espace continu  $\mathcal{Hyb}_k$  ( $\mathbb{Q}_k, \mathbb{P}_{2k}, \mathbb{P}_k$ )

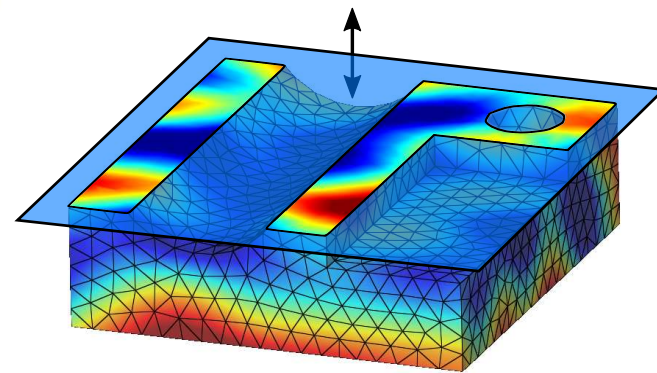
*rapport* [Reberol et Lévy '16]



## III. Méthode d'évaluation

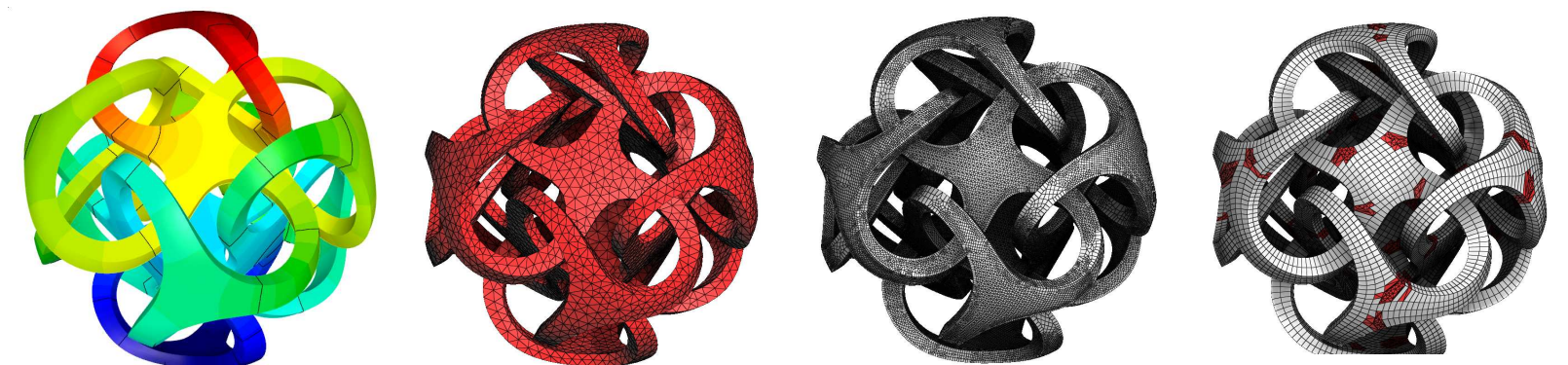
*contribution* : calcul de distance efficace

*article* [Reberol et Lévy '18]



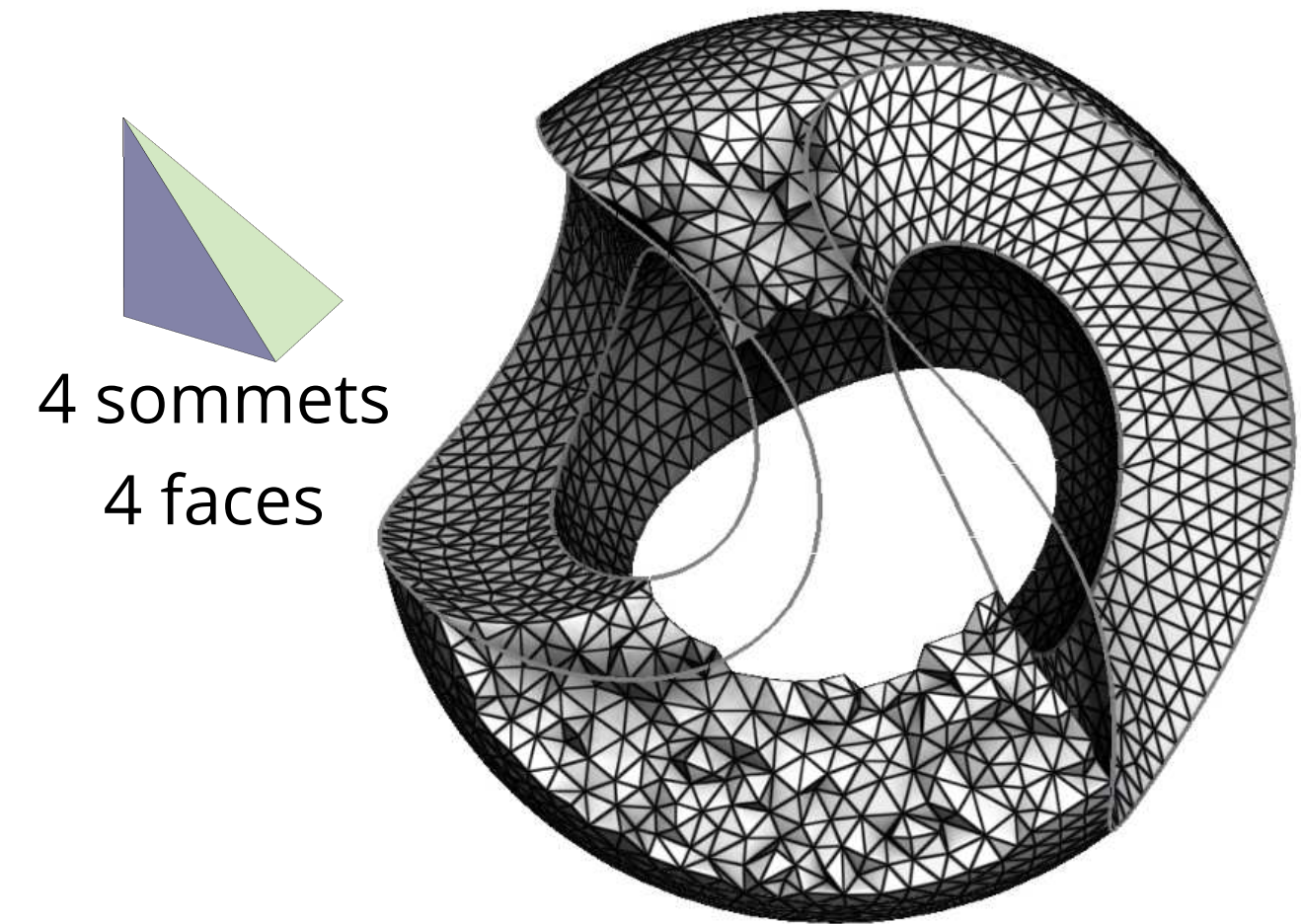
$$\|u_h - u_{ref}\|$$

## IV. Comparaisons de solutions



# Maillages volumiques classiques

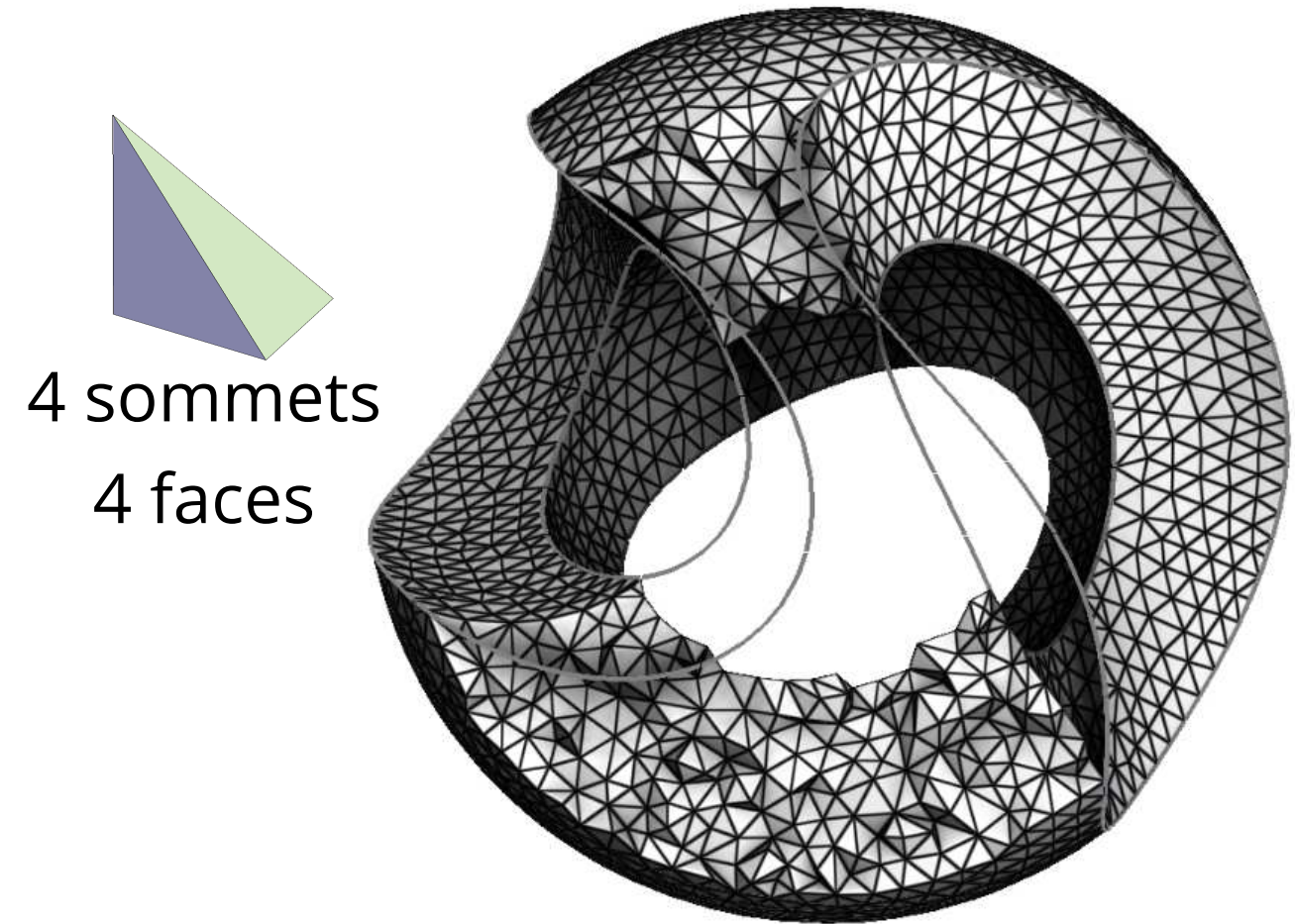
- Tétraèdres :
  - maillage automatique robuste  
*[George et al. '90, Frey et George '08, ...]*
  - bibliothèques open-source : TetGen, mmg3d  
*[Si '15, Dapogny et al. '14]*



# Maillages volumiques classiques

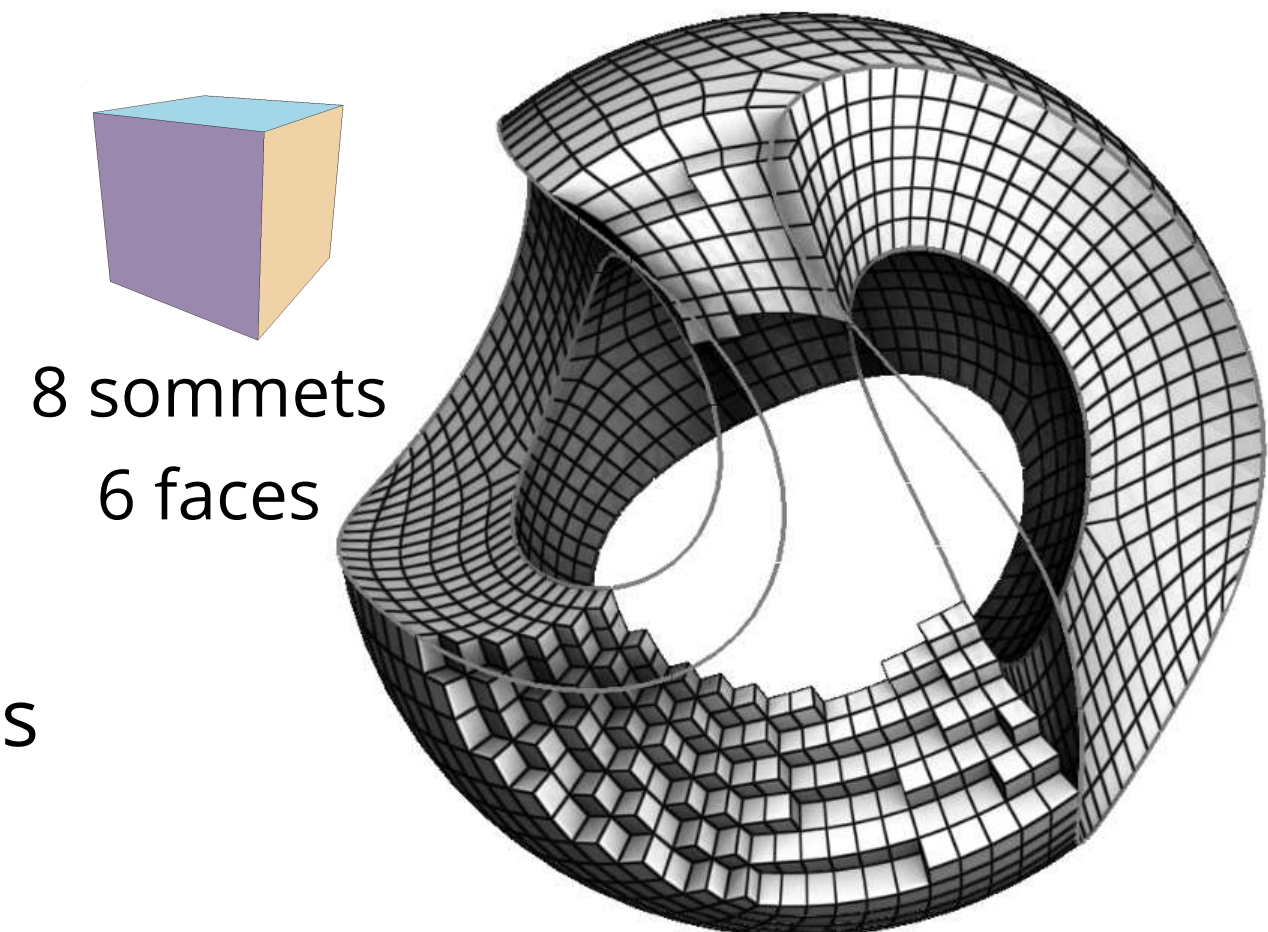
- Tétraèdres :

- maillage automatique robuste  
*[George et al. '90, Frey et George '08, ...]*
- bibliothèques open-source : TetGen, mmg3d  
*[Si '15, Dapogny et al. '14]*



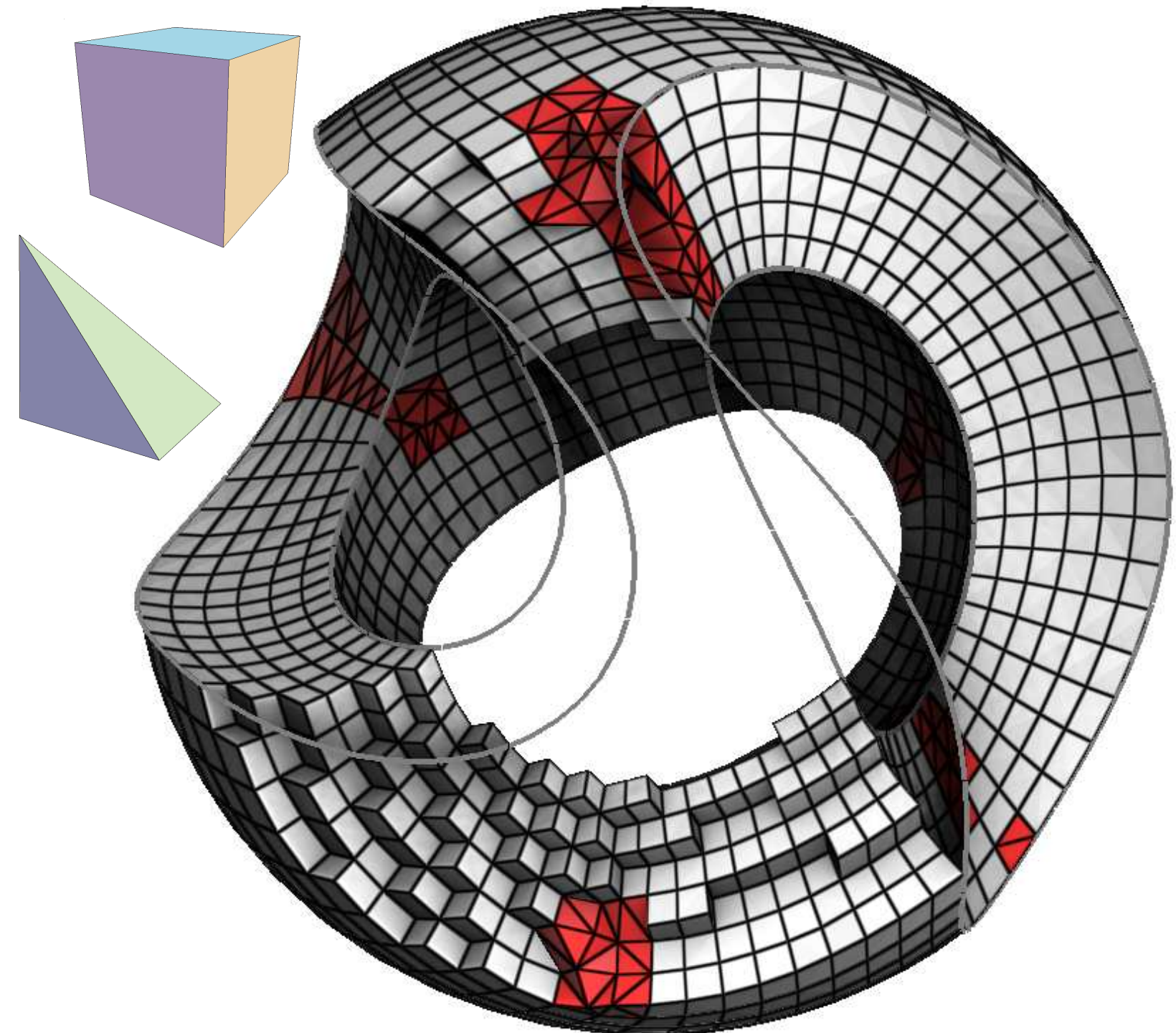
- Hexaèdres (alignés avec les bords) :

- pas de maillage automatique dans le cas général
- problème difficile (20 ans de recherche)  
*[Tautges et al. '96, Owen '98, Nieser et al. '11, ...]*
- *consensus* : préférables pour la méthode des éléments finis



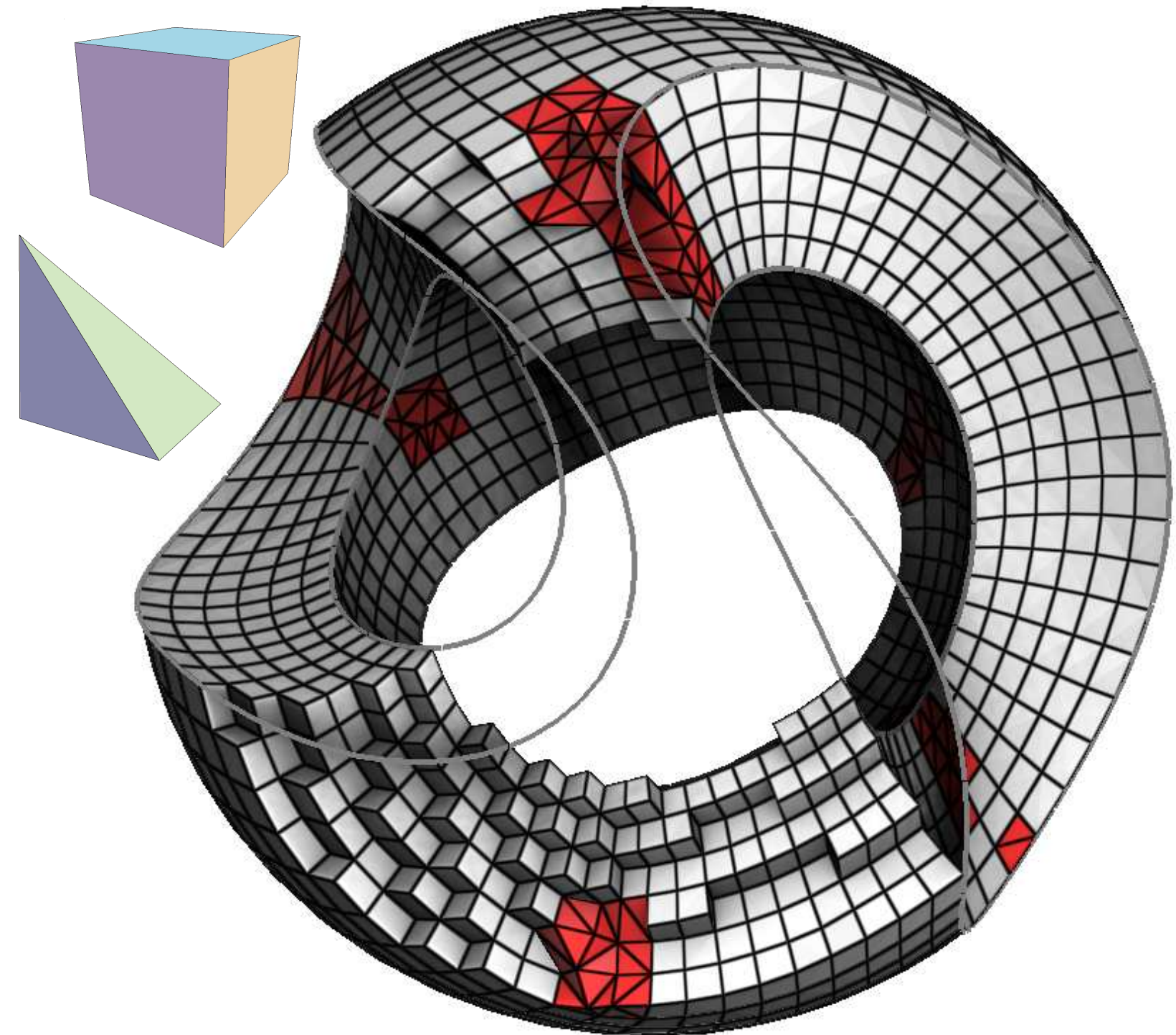
# Maillages hex-dominants

- Composition :
  - majorité d'hexaèdres
  - des régions non-hexaédriques, les **cavités**

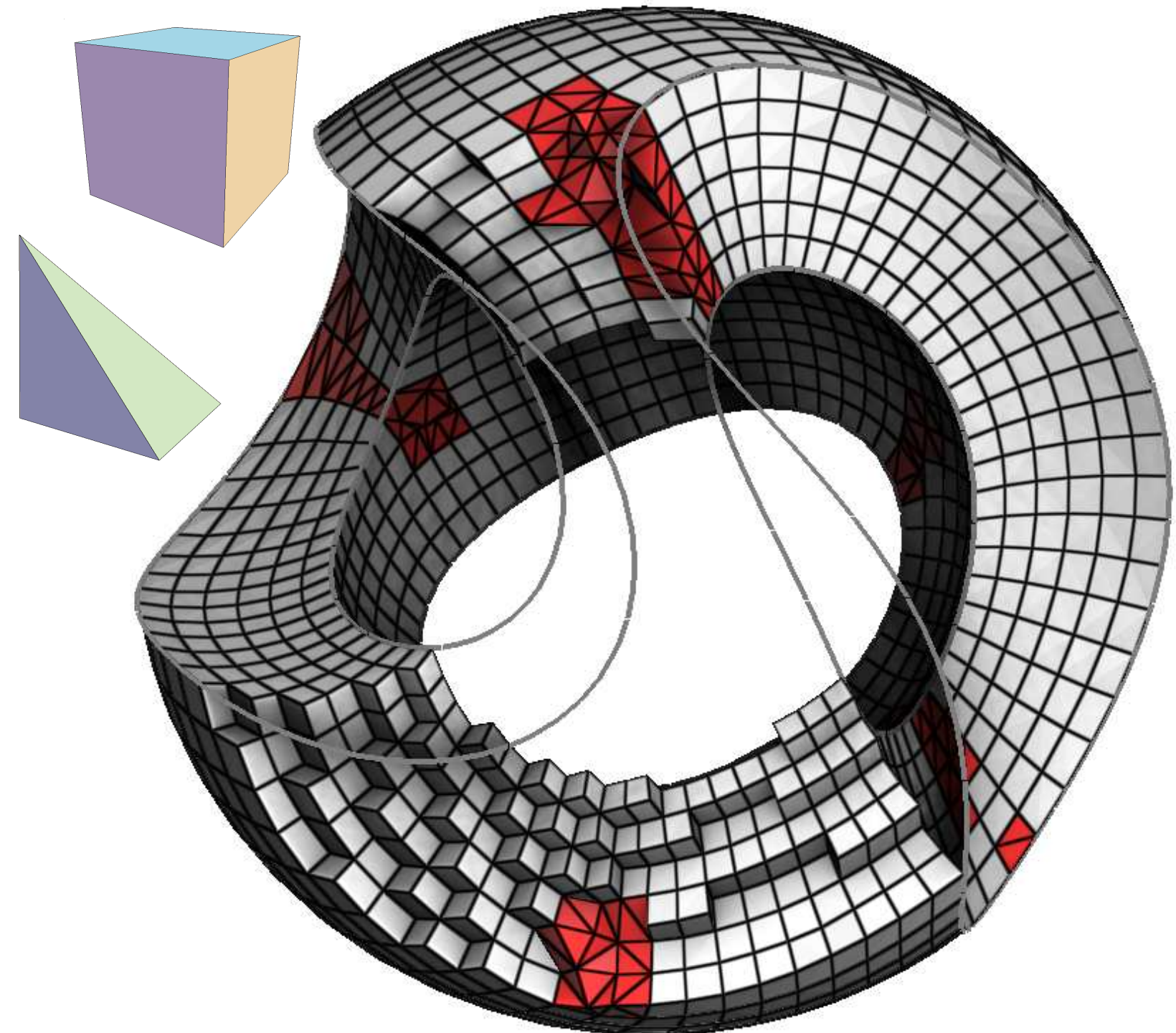


# Maillages hex-dominants

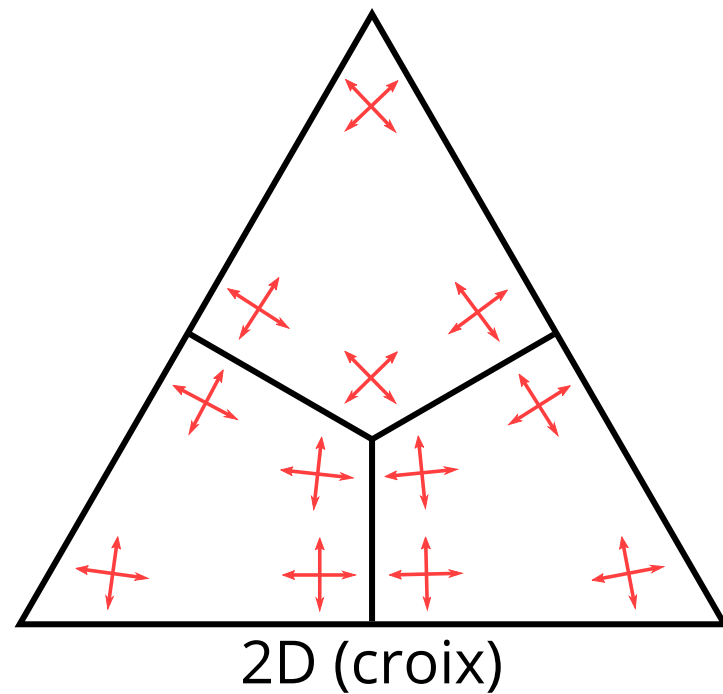
- Composition :
  - majorité d'hexaèdres
  - des régions non-hexaédriques, les **cavités**
- En général, cavités remplies par :
  - des tétraèdres
  - (*optionnel*) des pyramides et prismes



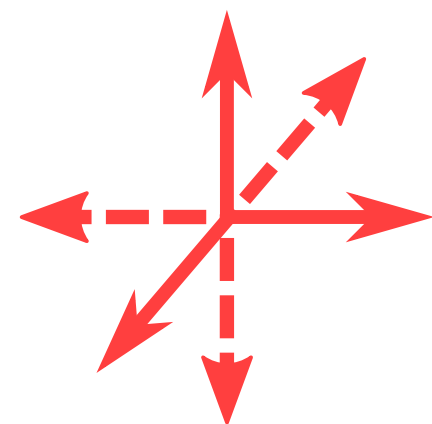
- Composition :
  - majorité d'hexaèdres
  - des régions non-hexaédriques, les **cavités**
- En général, cavités remplies par :
  - des tétraèdres
  - (*optionnel*) des pyramides et prismes
- L'idée est de profiter de :
  - la précision et structure des hexaèdres
  - la flexibilité géométrique des tétraèdres



## Champs de directions (guide géométrique)



*[Ray et al. '08]*

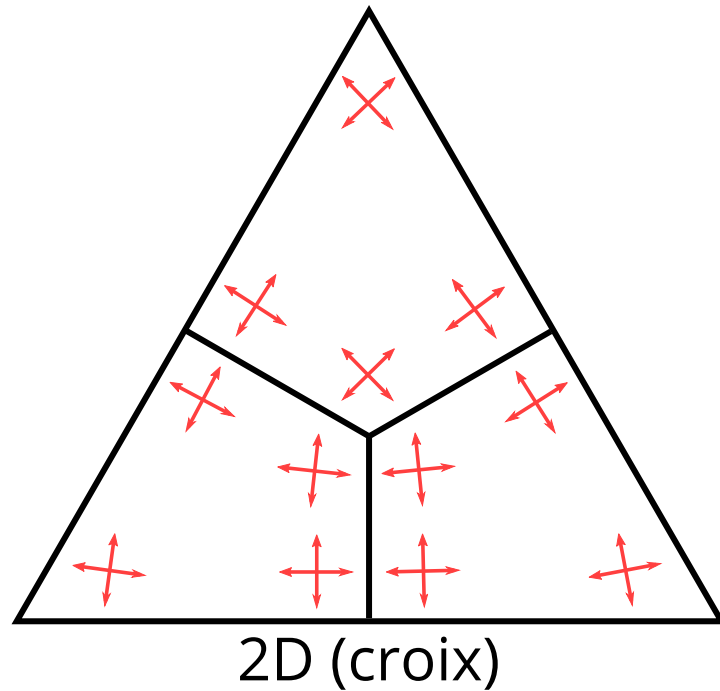


*[Huang et al. '11]*

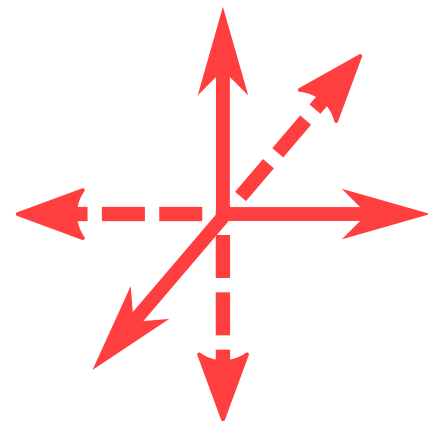
*[Kowalski et al. '13]*

# État de l'art : progrès récents en maillage hex-dom

Champs de directions  
(guide géométrique)



[Ray et al. '08]

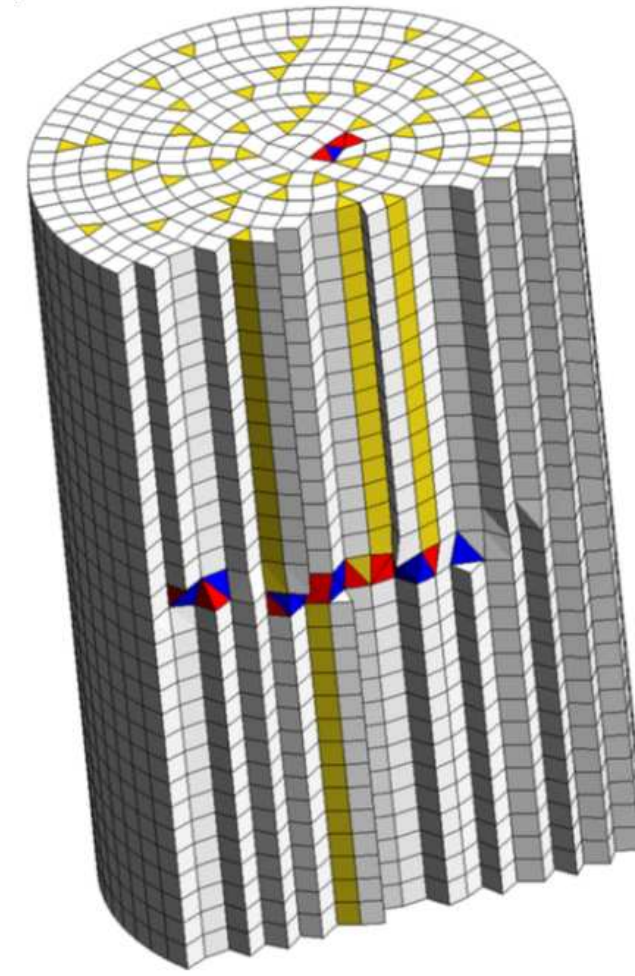


3D (frames)

[Huang et al. '11]

[Kowalski et al. '13]

Placement de points  
et  
tet + recombinaison  
  
(approches indirectes)



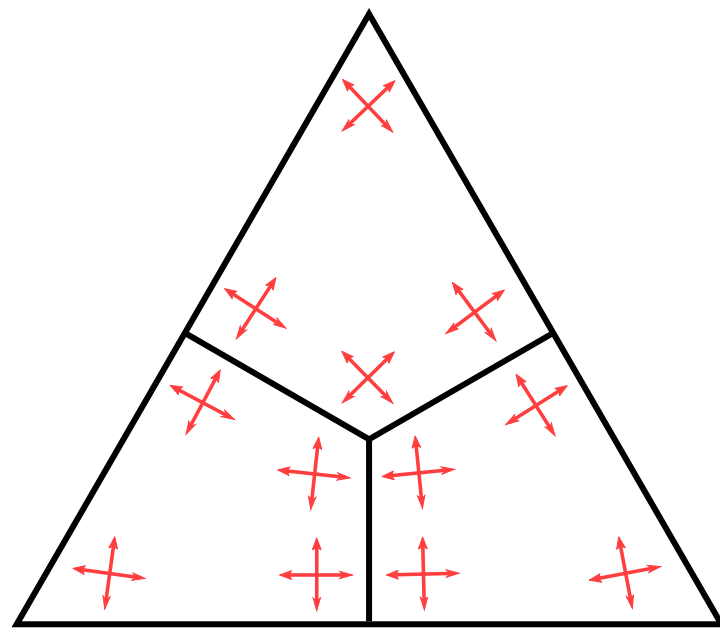
[Baudouin et al. '14]

[Botella et al. '14]

[Sokolov et al. '16]

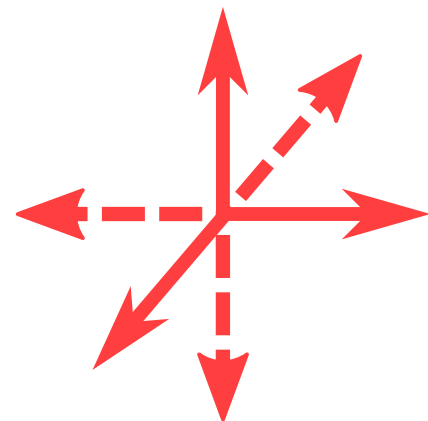
# État de l'art : progrès récents en maillage hex-dom

Champs de directions  
(guide géométrique)



2D (croix)

[Ray et al. '08]

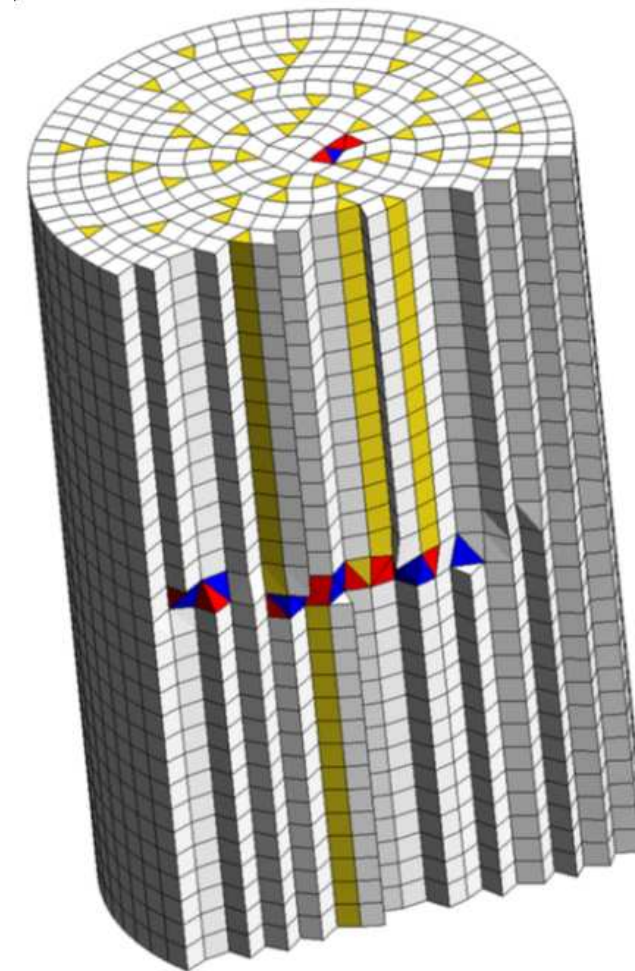


3D (frames)

[Huang et al. '11]

[Kowalski et al. '13]

Placement de points  
et  
tet + recombinaison  
(approches indirectes)



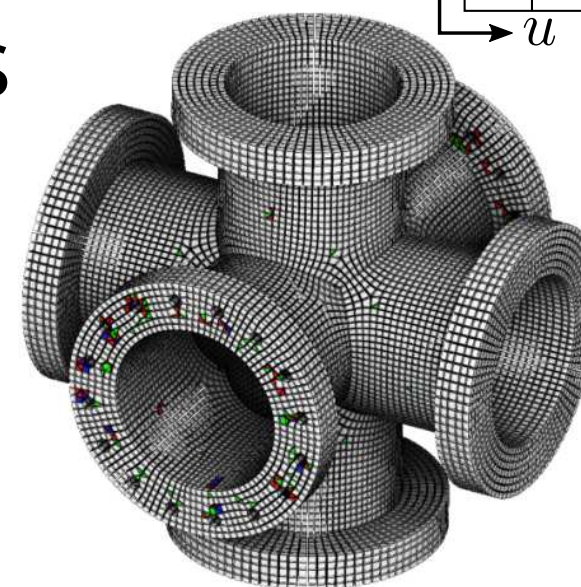
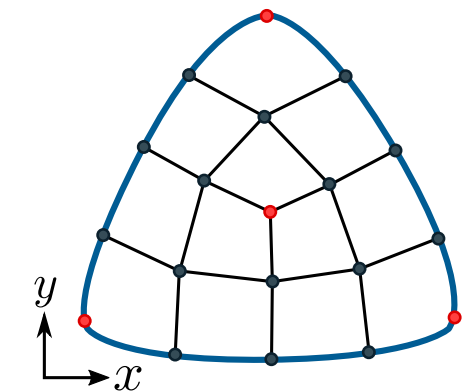
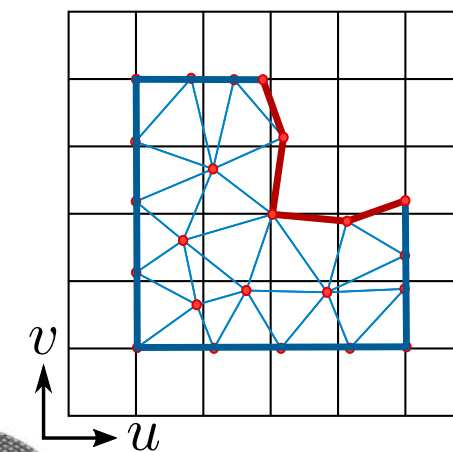
[Baudouin et al. '14]

[Botella et al. '14]

[Sokolov et al. '16]

ou

Paramétrisation  
et  
extraction iso-valeurs  
(approches directes)



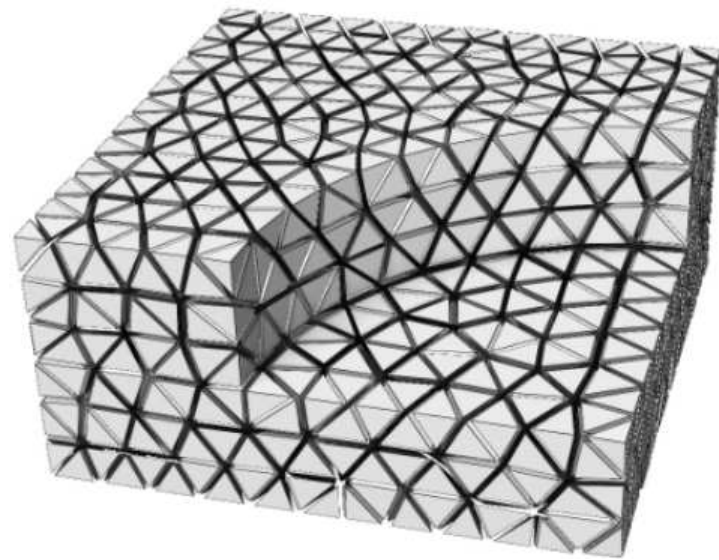
[Nieser et al. '11] (CubeCover)

[Sokolov et al. '16] (PGP 3D)

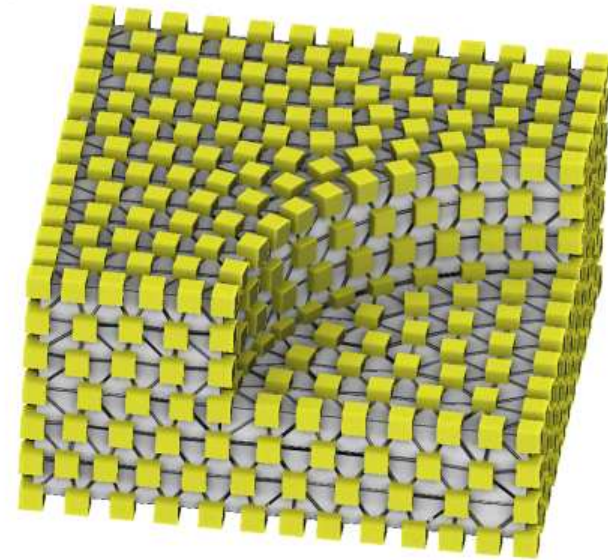
[Lyon et al. '16] (HexEx)

# Maillages hex-dominants : contribution

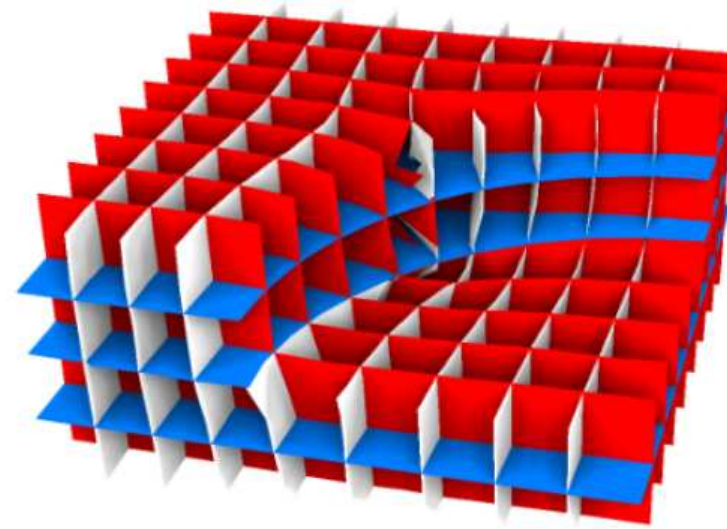
- Pipeline du mailleur hexdom d'ALICE :



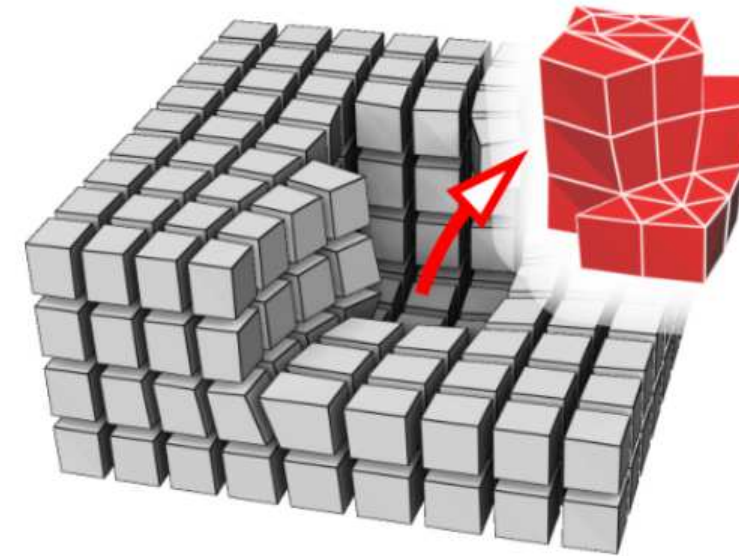
entrée



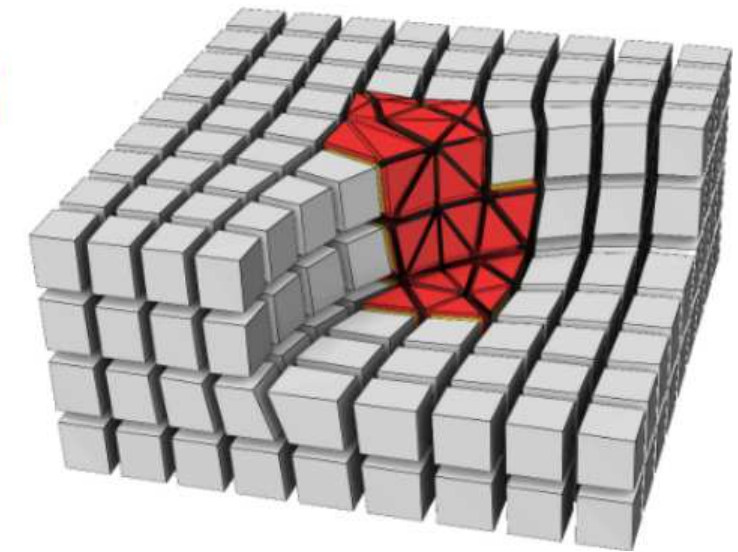
champ de directions



paramétrisation  
(isovaleurs)



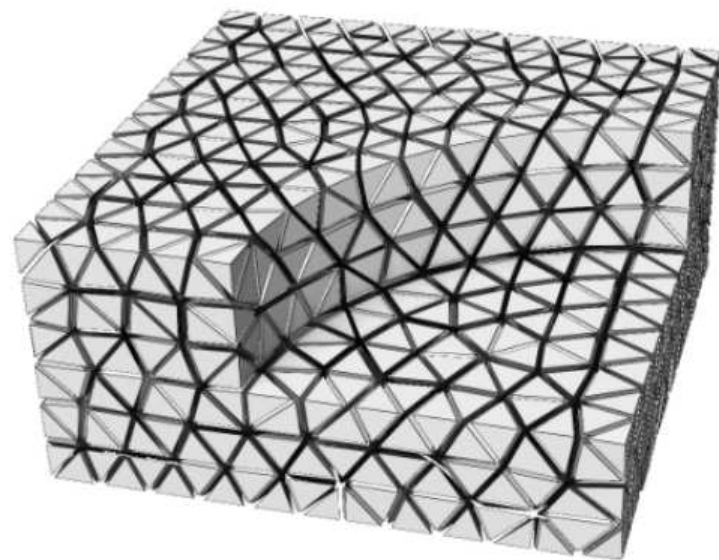
extraction  
- d'hexaèdres  
- de cavités



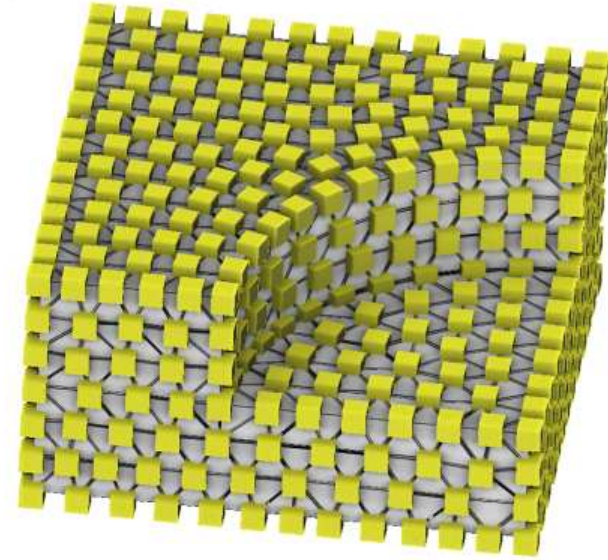
sortie

# Maillages hex-dominants : contribution

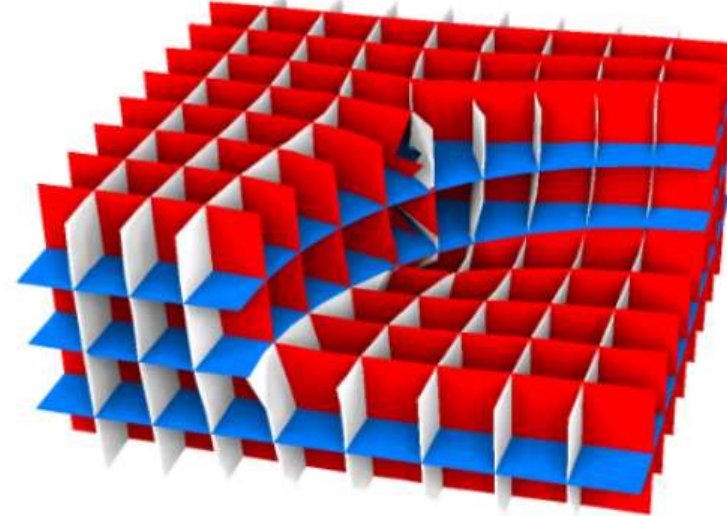
- Pipeline du mailleur hexdom d'ALICE :



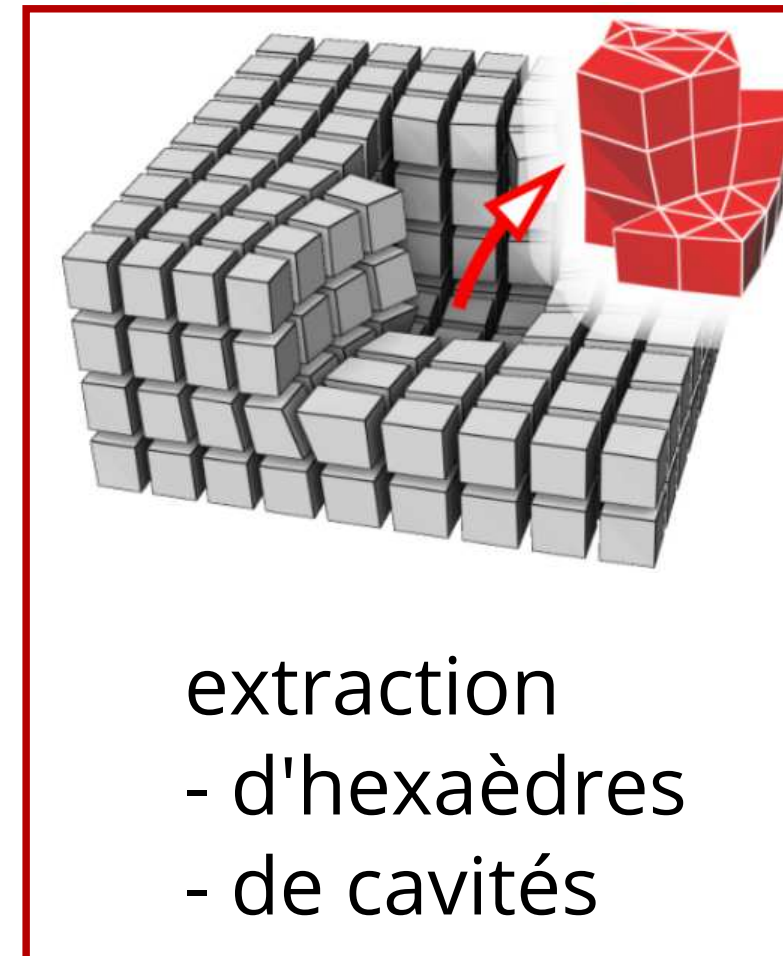
entrée



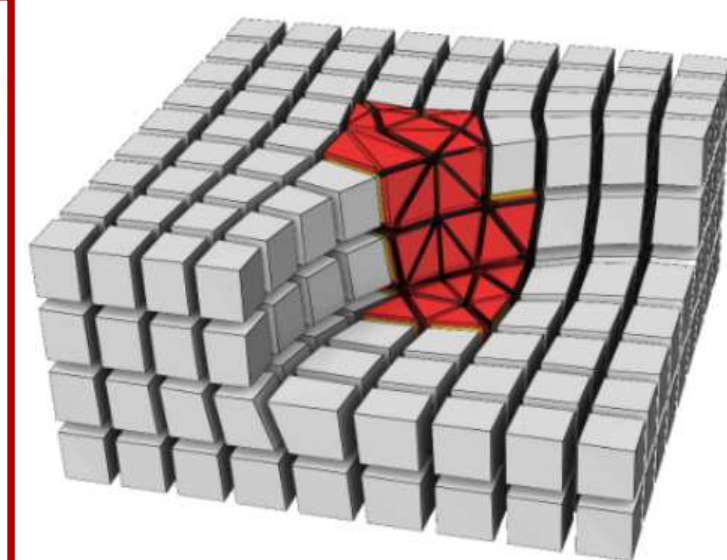
champ de directions



paramétrisation (isovaleurs)



extraction  
- d'hexaèdres  
- de cavités



sortie

- Contribution : travail sur l'**extraction de cavités** pour maillage **robuste**

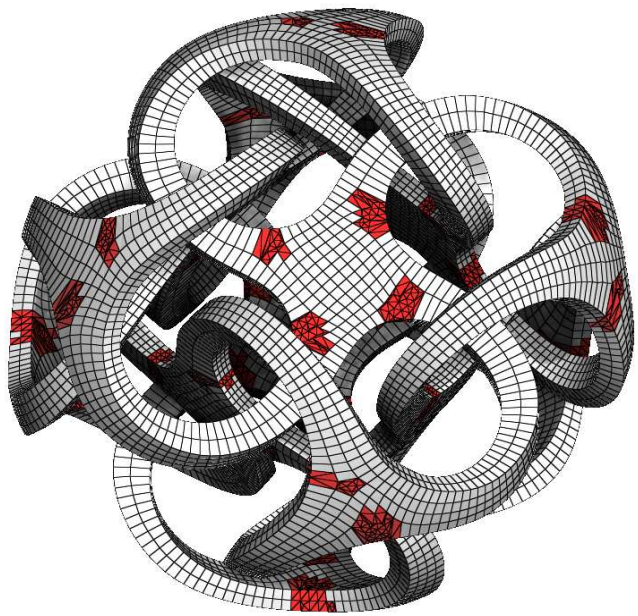
*Ray N., Sokolov D., Reberol M., Ledoux F. et Lévy B., Hexahedral Meshing: Mind the Gap!, 2018*

# Sommaire

## I. Génération de maillage hex-dominants

ALICE : mailleur hex-tet

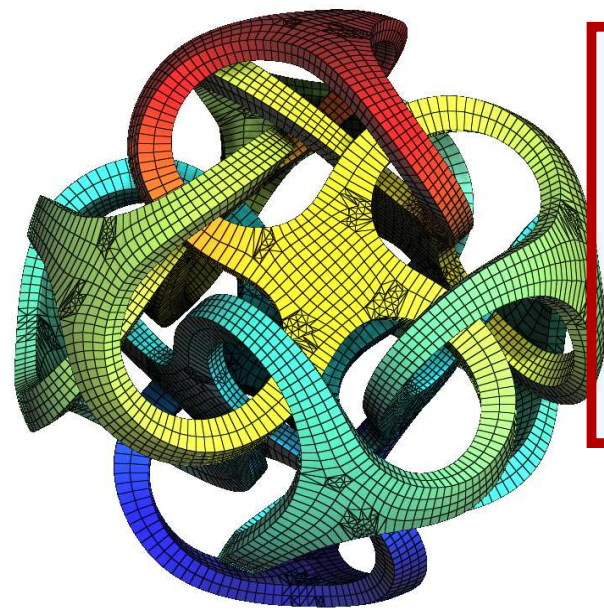
*contribution* : maillage robuste [Ray, Sokolov, Reberol, Ledoux, Levy '18]



## II. Éléments finis sur maillages hex-tet

*contribution* : espace continu  $\mathcal{Hyb}_k$  ( $\mathbb{Q}_k, \mathbb{P}_{2k}, \mathbb{P}_k$ )

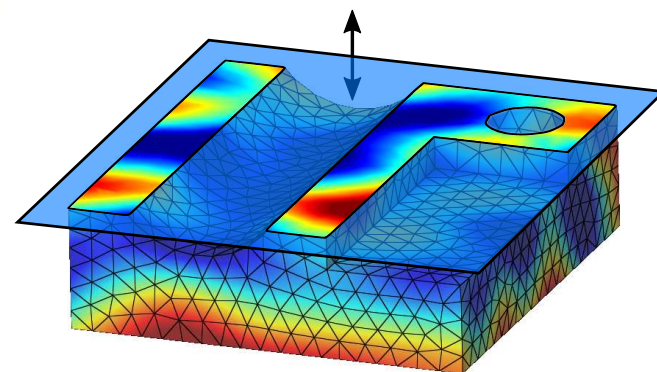
*rapport* [Reberol et Lévy '16]



## III. Méthode d'évaluation

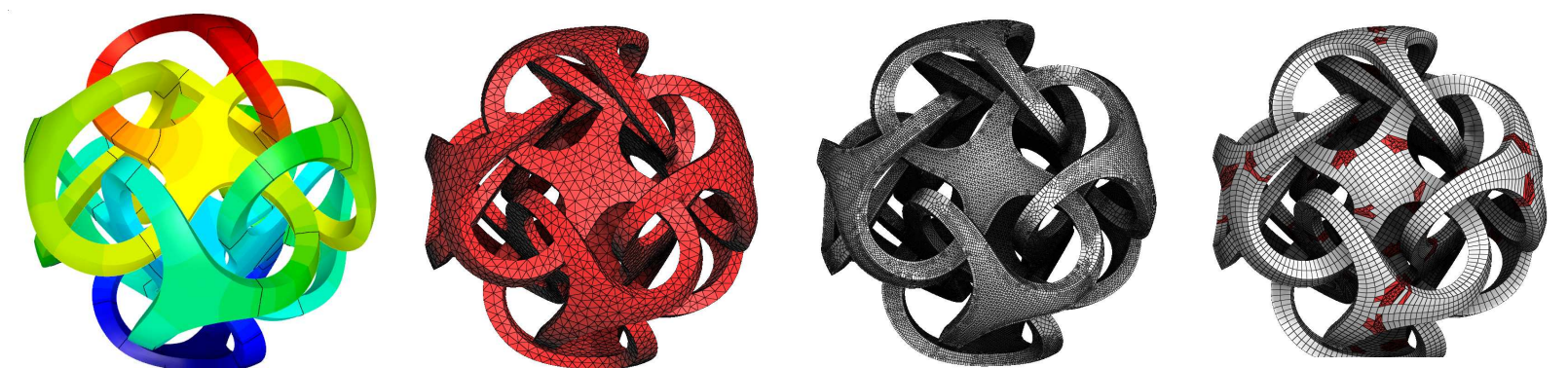
*contribution* : calcul de distance efficace

*article* [Reberol et Lévy '18]



$$\|u_h - u_{ref}\|$$

## IV. Comparaisons de solutions



- Objectif : représenter des fonctions continues (espace  $V_h \subset H^1$ )  
(donne des garanties théoriques pour FEM)

- Objectif : représenter des fonctions continues (espace  $V_h \subset H^1$ )  
(donne des garanties théoriques pour FEM)

- Maillages conformes

- conforme : correspondance des faces entre éléments adjacents

- pyramides (1 quad - 4 triangles) entre hexs et tets

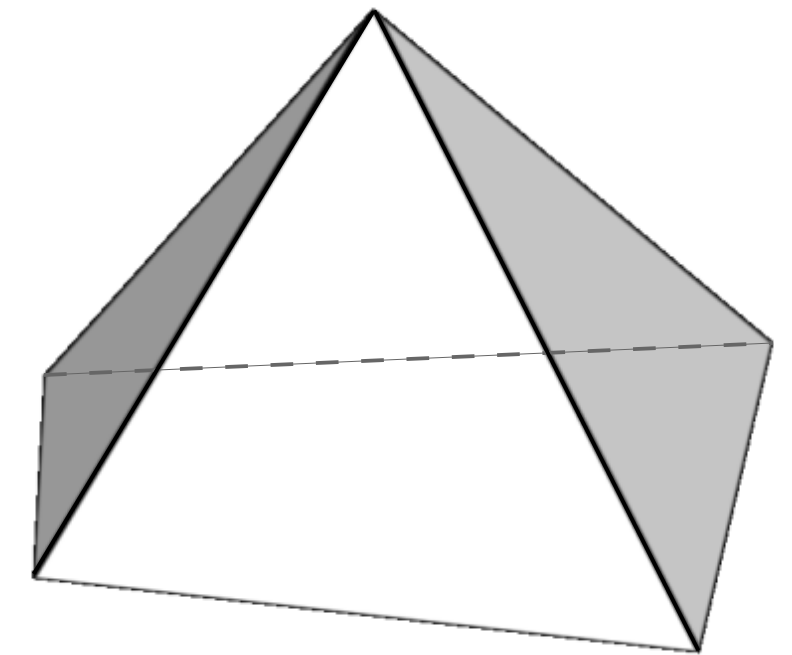
- .. mais ..

- pas de polynômes compatibles avec hex et tet

- interpolation :

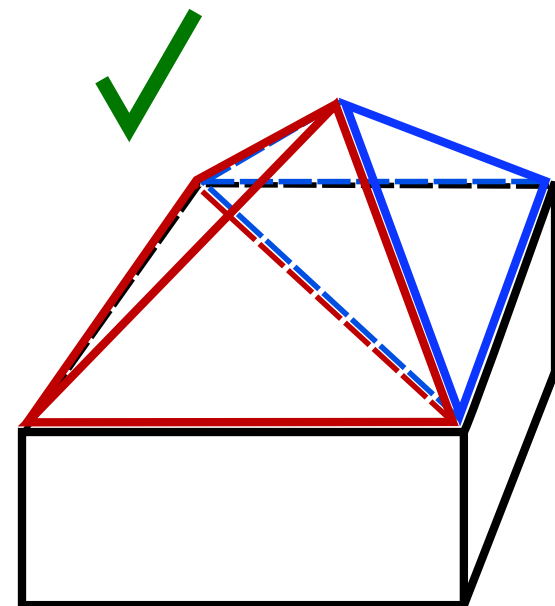
- fonctions rationnelles [*Bedrosian '92; Bergot et al. '09,'10,'13; Nigam et al. '11; Fuentes et al. '15*]

- polynômes composites [*Wieners '97; Liu et al. '04; Ainsworth et al. '16,'17*]



- Objectif : représenter des fonctions continues (espace  $V_h \subset H^1$ )  
(donne des garanties théoriques pour FEM)
- Maillages **non-conformes** :
  - non-conforme : deux faces de tétraèdre connectés à une face quad d'hexaèdre
  - généré nativement par mailleurs hex-dominants
  - littérature :

(affine,  
"pyramidable")



Fct. continues [*Dewhurst et al. '93, Marais et al. '08*]

Fct. discontinues (DG et Nitsche)

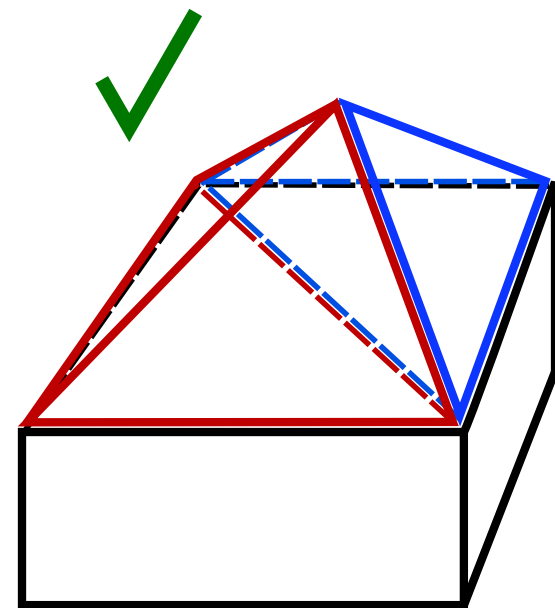
[*Degerfeldt et al. '06, Durochat et al. '13*]

- Objectif : représenter des fonctions continues (espace  $V_h \subset H^1$ )  
(donne des garanties théoriques pour FEM)

- Maillages **non-conformes** :

- non-conforme : deux faces de tétraèdre connectés à une face quad d'hexaèdre
- généré nativement par mailleurs hex-dominants
- littérature :

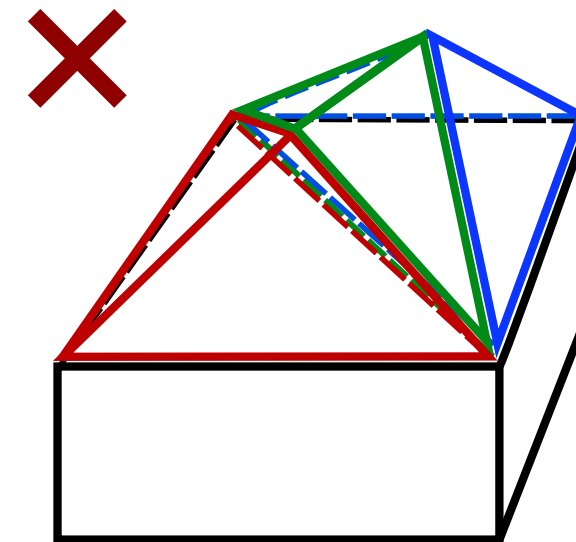
(affine,  
"pyramidable")



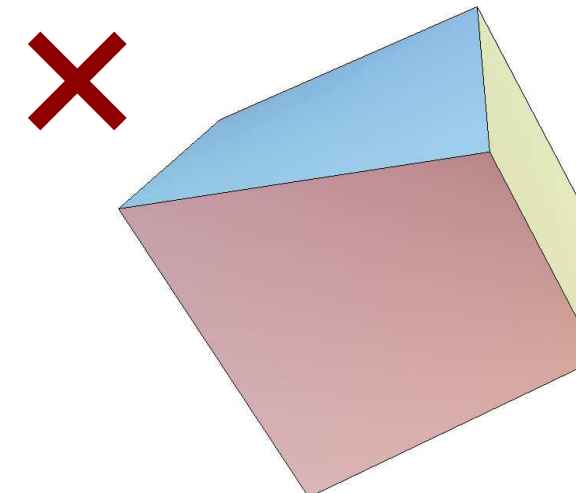
Fct. continues [*Dewhurst et al. '93, Marais et al. '08*]

Fct. discontinues (DG et Nitsche)

[*Degerfeldt et al. '06, Durochat et al. '13*]

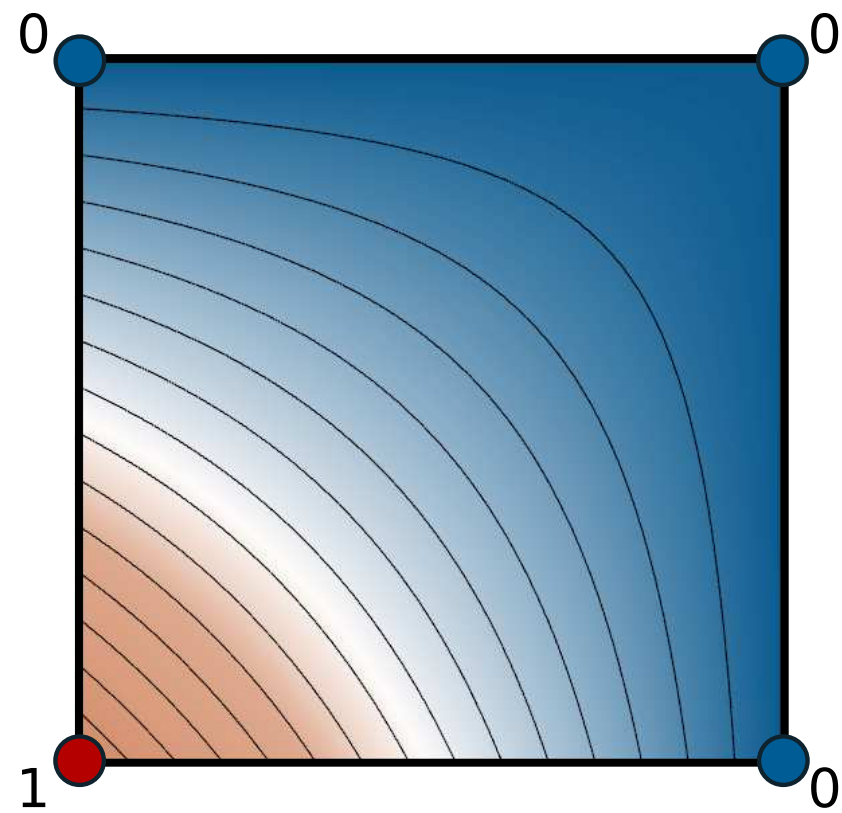


(non "pyramidable")



(trilinéaire,  
faces non-planaires)

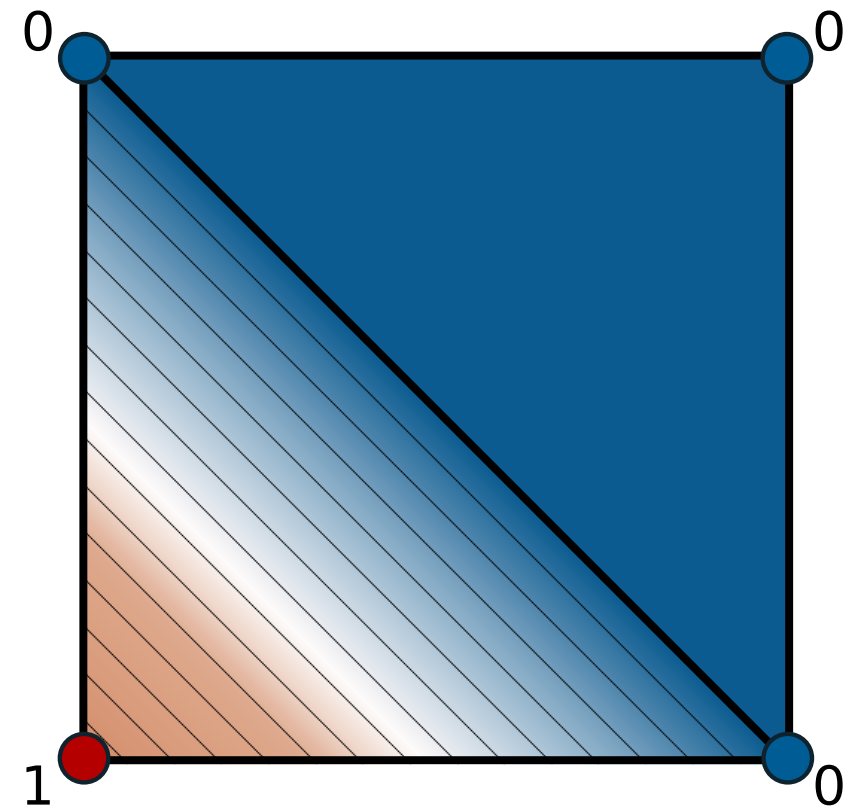
# Interface entre hexaèdre et tétraèdres



$Q_1$

(fonction bilinéaire)

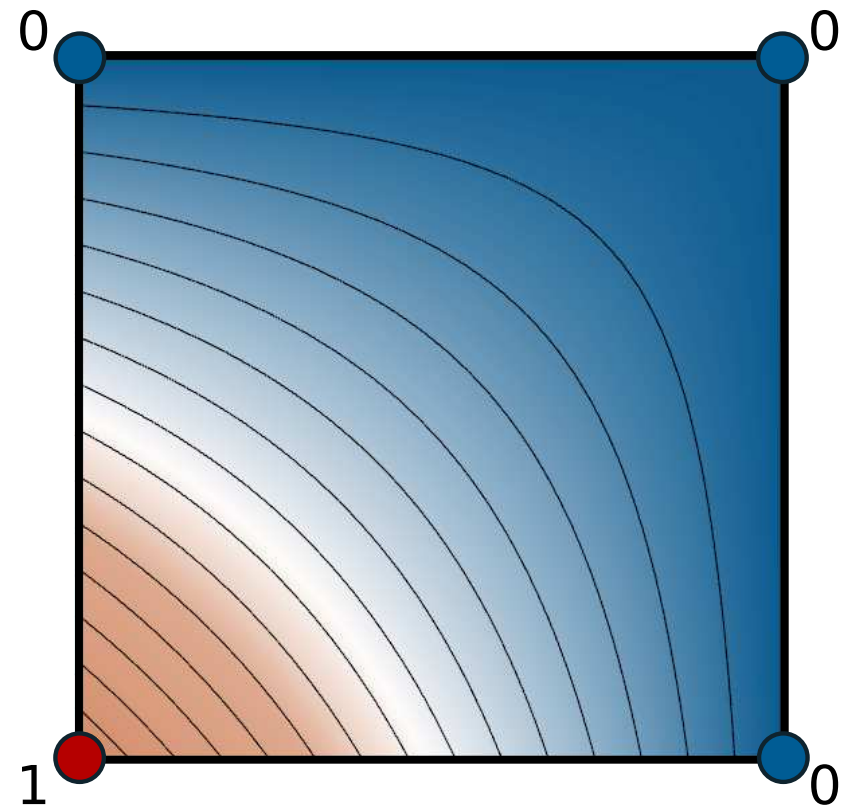
Le problème :



$P_1$

○ degrés de liberté

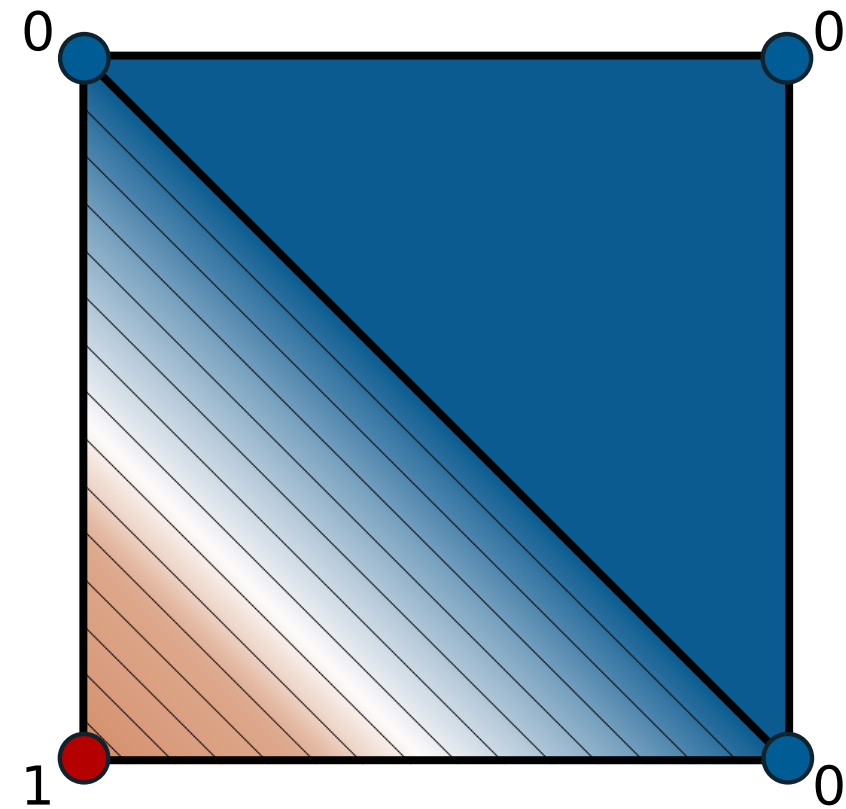
# Interface entre hexaèdre et tétraèdres



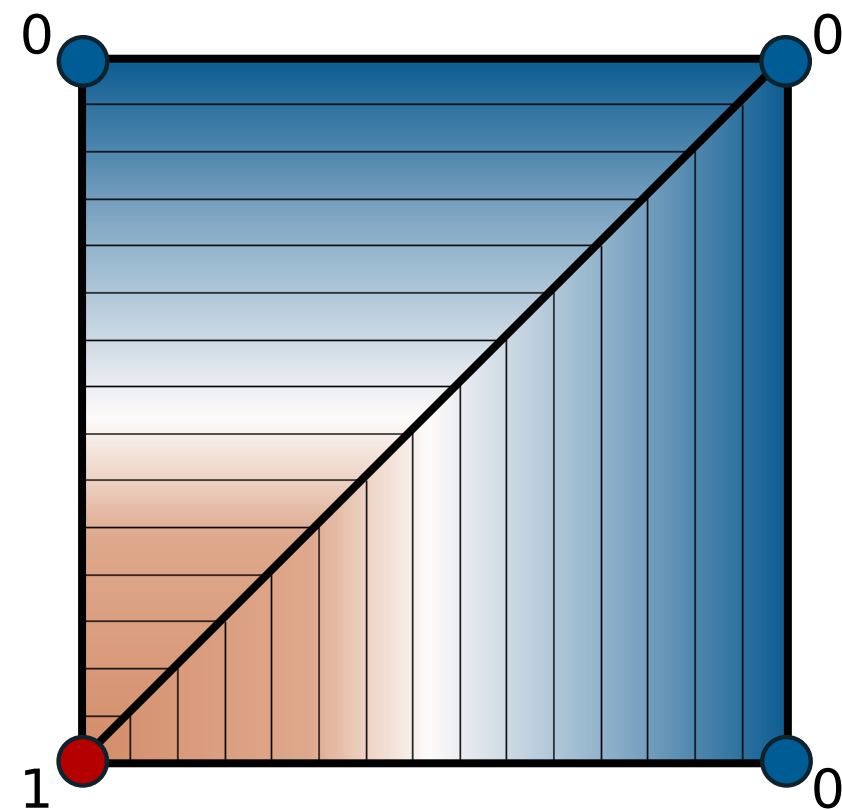
$Q_1$

(fonction bilinéaire)

Le problème :

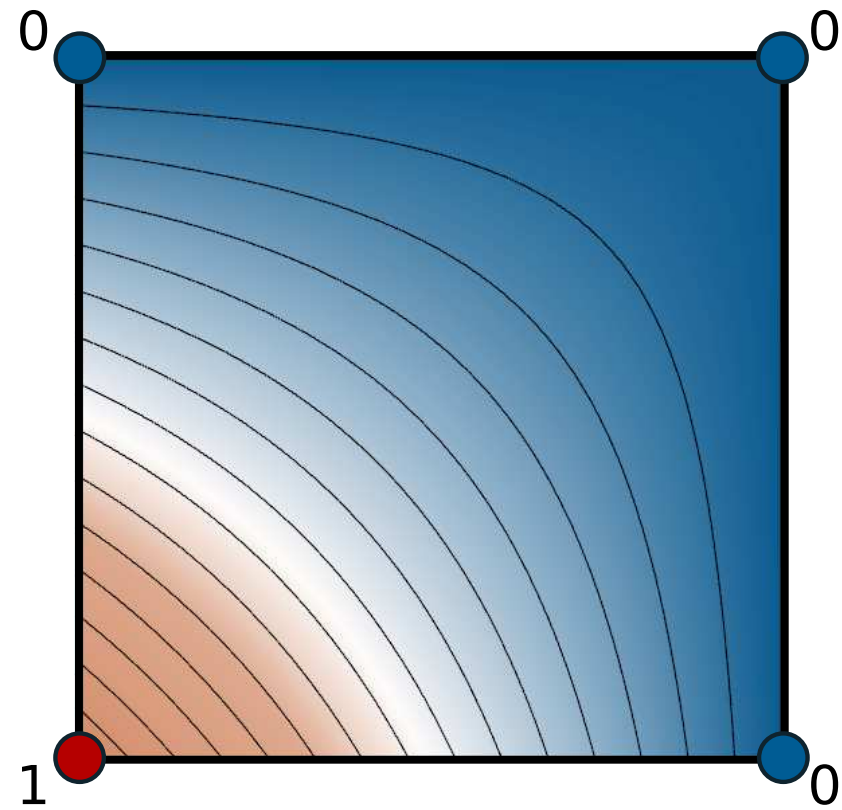


$P_1$



○ degrés de liberté

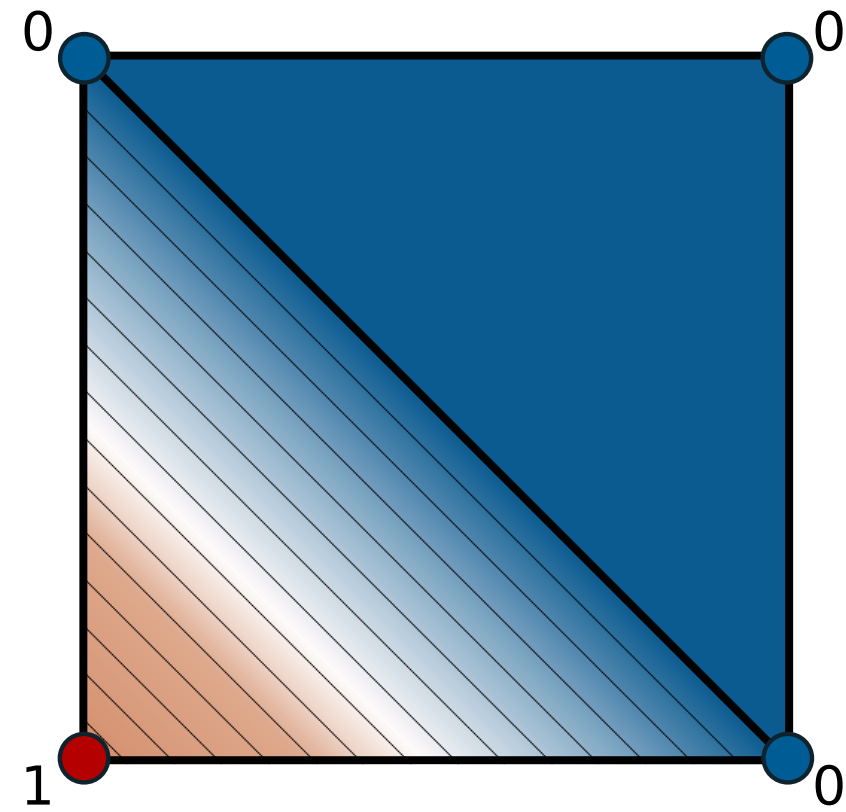
# Interface entre hexaèdre et tétraèdres



$Q_1$

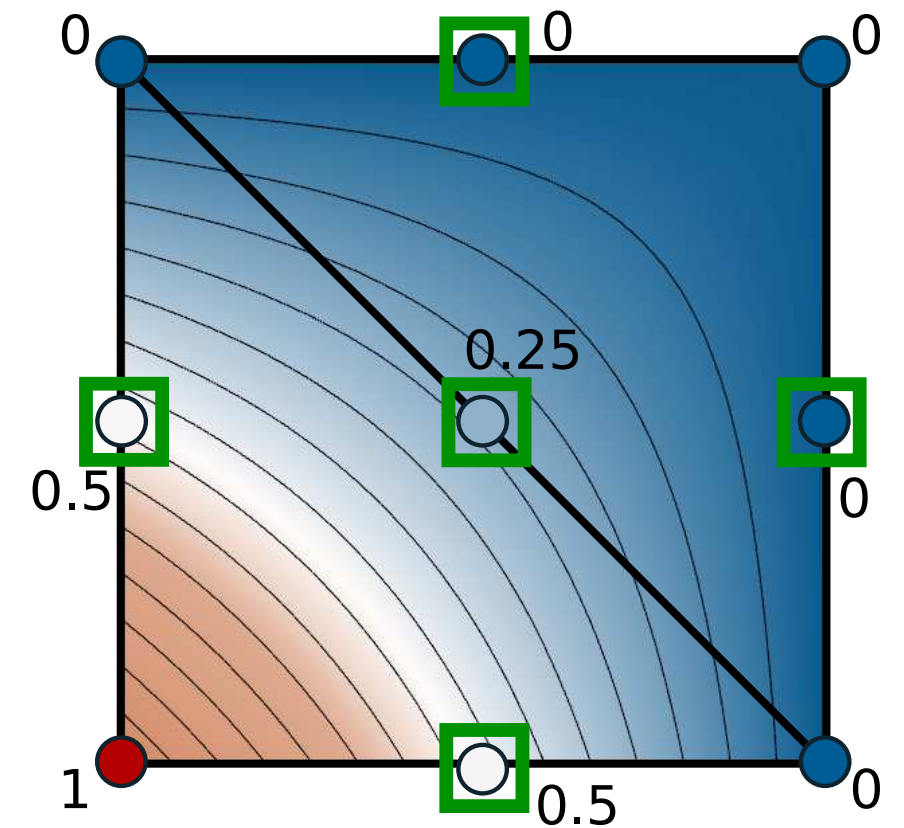
(fonction bilinéaire)

Le problème :

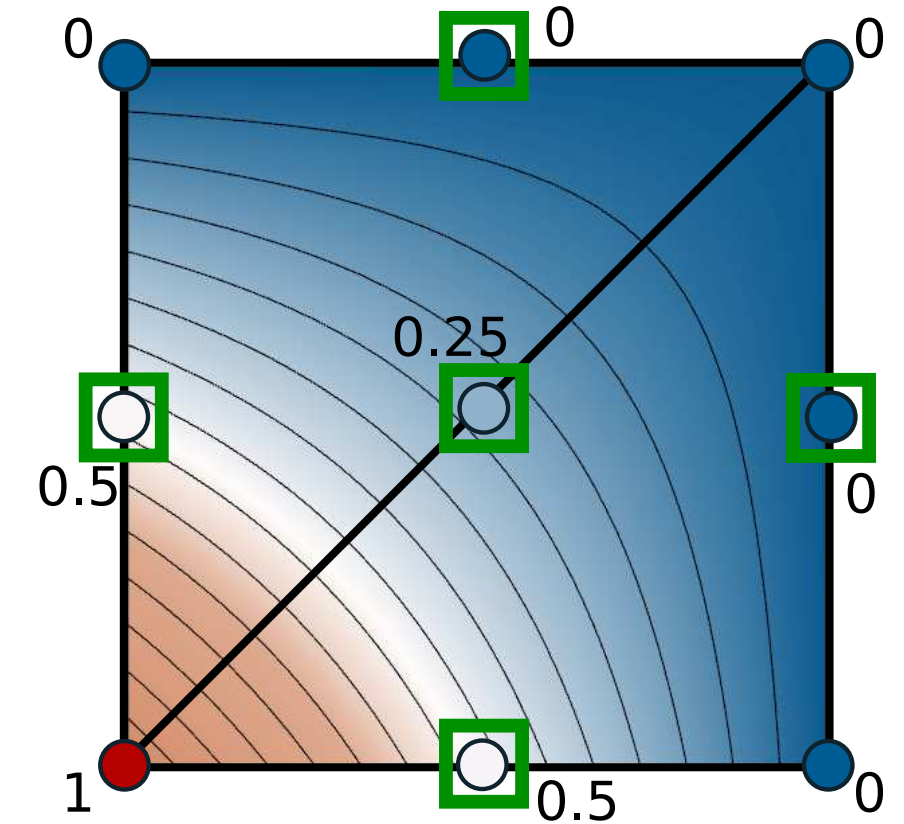
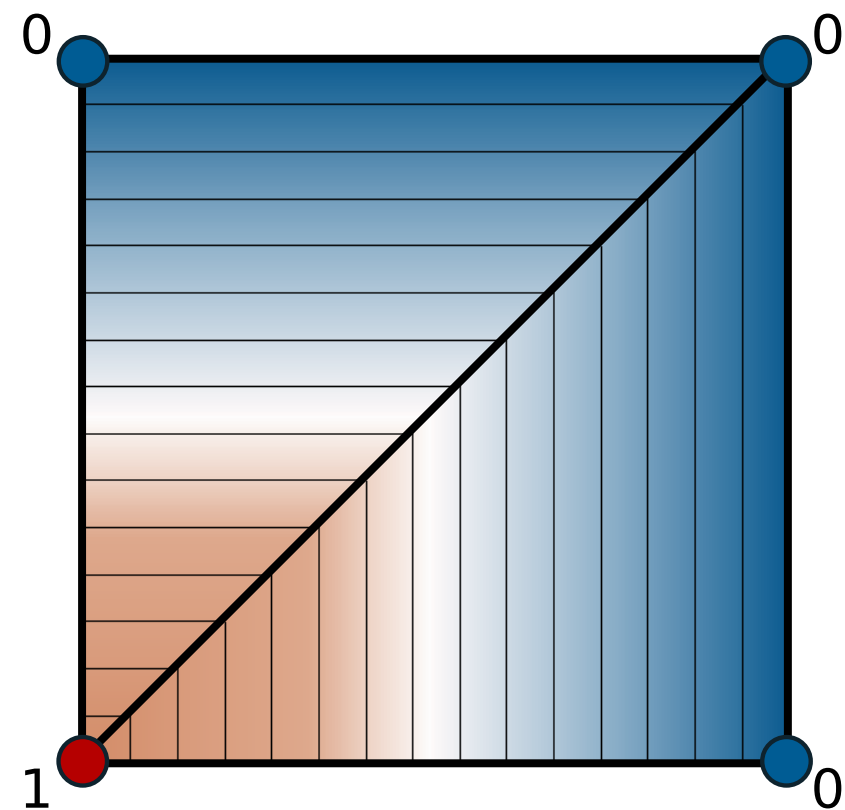


$P_1$

Solution [Reberol et Lévy '16] :



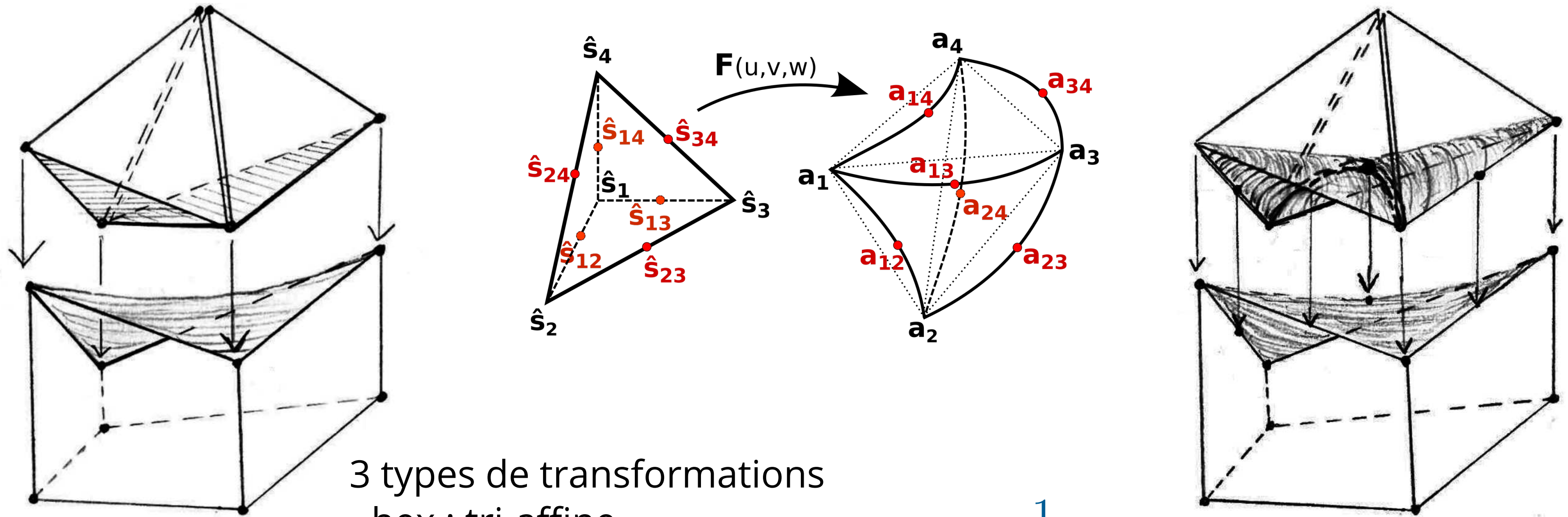
$P_2$ -constraint



○ degrés de liberté

□ contrainte

# Conformité de la **géométrie** des éléments (aux interfaces)



- 3 types de transformations
- hex : tri-affine
  - tet ordinaire : affine
  - tet interface : quadratique

$$\begin{matrix}
 1 \\
 u & v \\
 u^2 & uv & v^2
 \end{matrix}$$

*Reberol M. et Lévy B., Low-order continuous finite element spaces on hybrid non-conforming hexahedral-tetrahedral meshes, Rapport de recherche, 2016*



# Continuité des fonctions aux interfaces

Espaces d'interpolation locaux :

$$\mathbb{P}_k = \{p \text{ degré } \leq k\}$$

$$\mathbb{Q}_k = \{p_x p_y p_z, p_o \text{ degré } \leq k\}$$

Coefficients non-nuls (k = 2) :

$$\begin{array}{c} 1 \\ u \quad v \\ u^2 \quad uv \quad v^2 \\ u^3 \quad u^2v \quad uv^2 \quad v^3 \\ u^4 \quad u^3v \quad u^2v^2 \quad uv^3 \quad v^4 \end{array}$$

Solution : doubler le degré aux interfaces

tet interface :  $\mathbb{P}_{2k}$

Coefficients non-nuls (k = 2) :

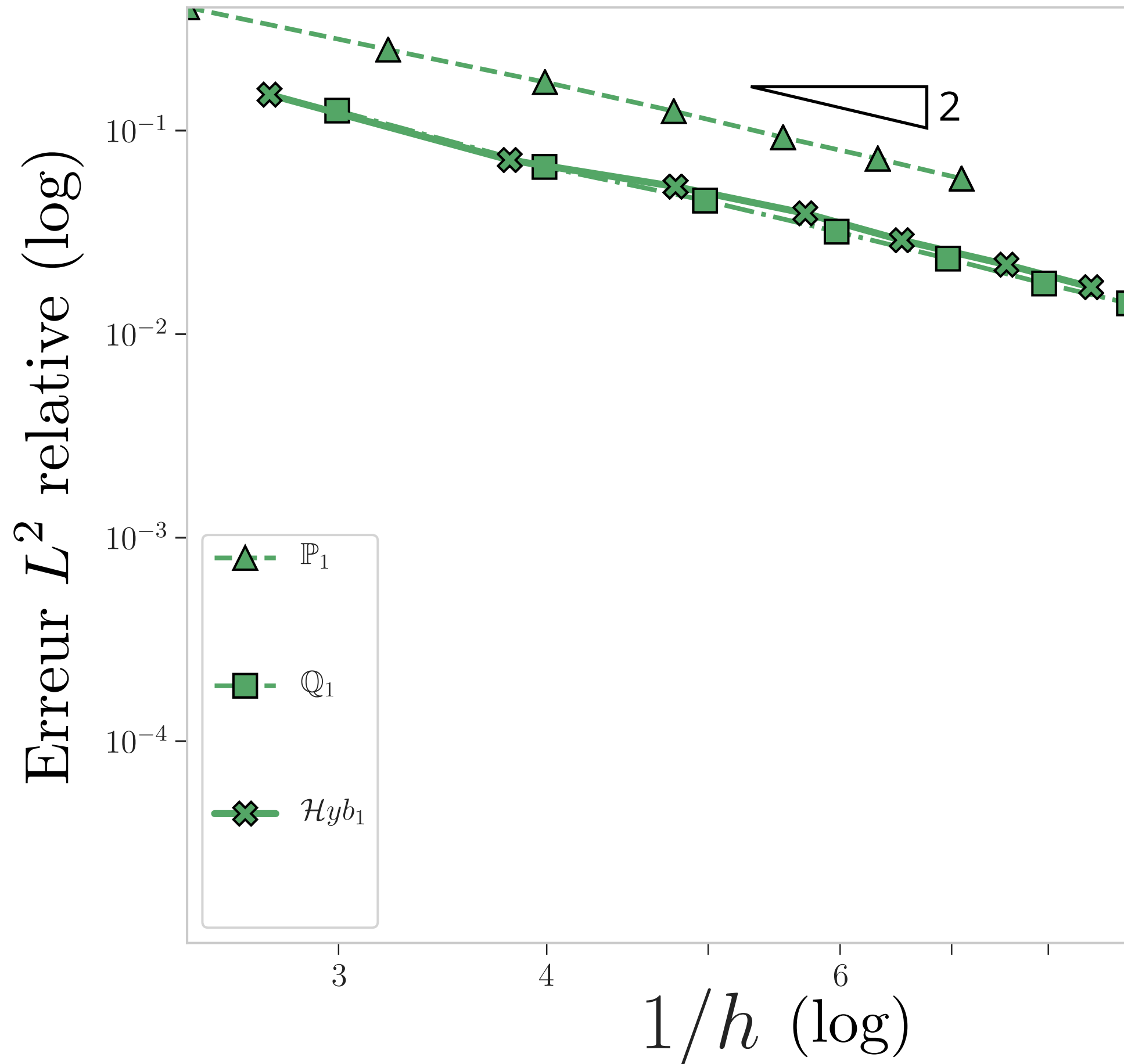
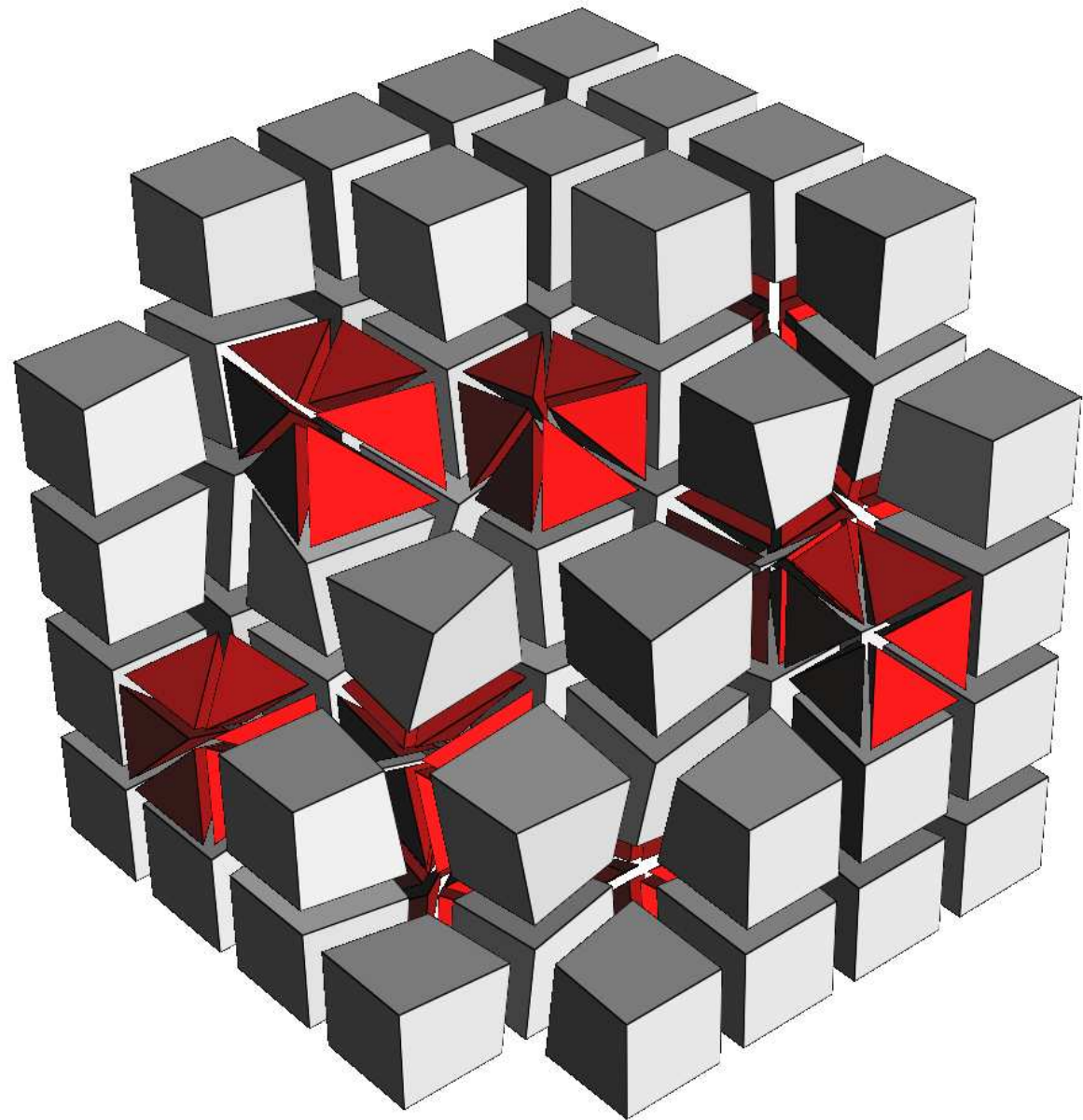
$$\begin{array}{c} 1 \\ u \quad v \\ u^2 \quad uv \quad v^2 \\ u^3 \quad u^2v \quad uv^2 \quad v^3 \\ u^4 \quad u^3v \quad u^2v^2 \quad uv^3 \quad v^4 \end{array}$$

+ Contraintes de continuité sur les faces et arêtes

*Reberol M. et Lévy B., Low-order continuous finite element spaces on hybrid non-conforming hexahedral-tetrahedral meshes, Rapport de recherche, 2016*

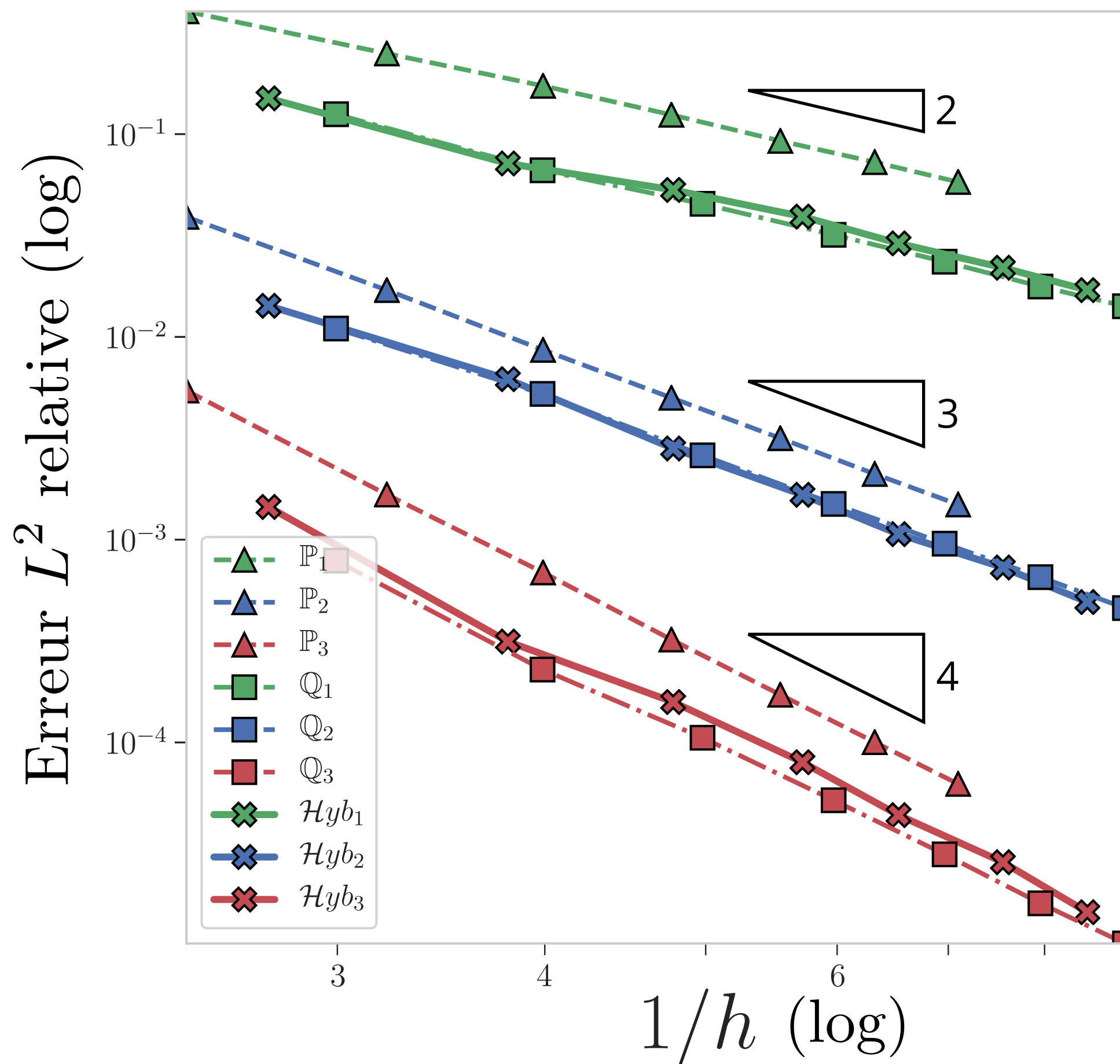
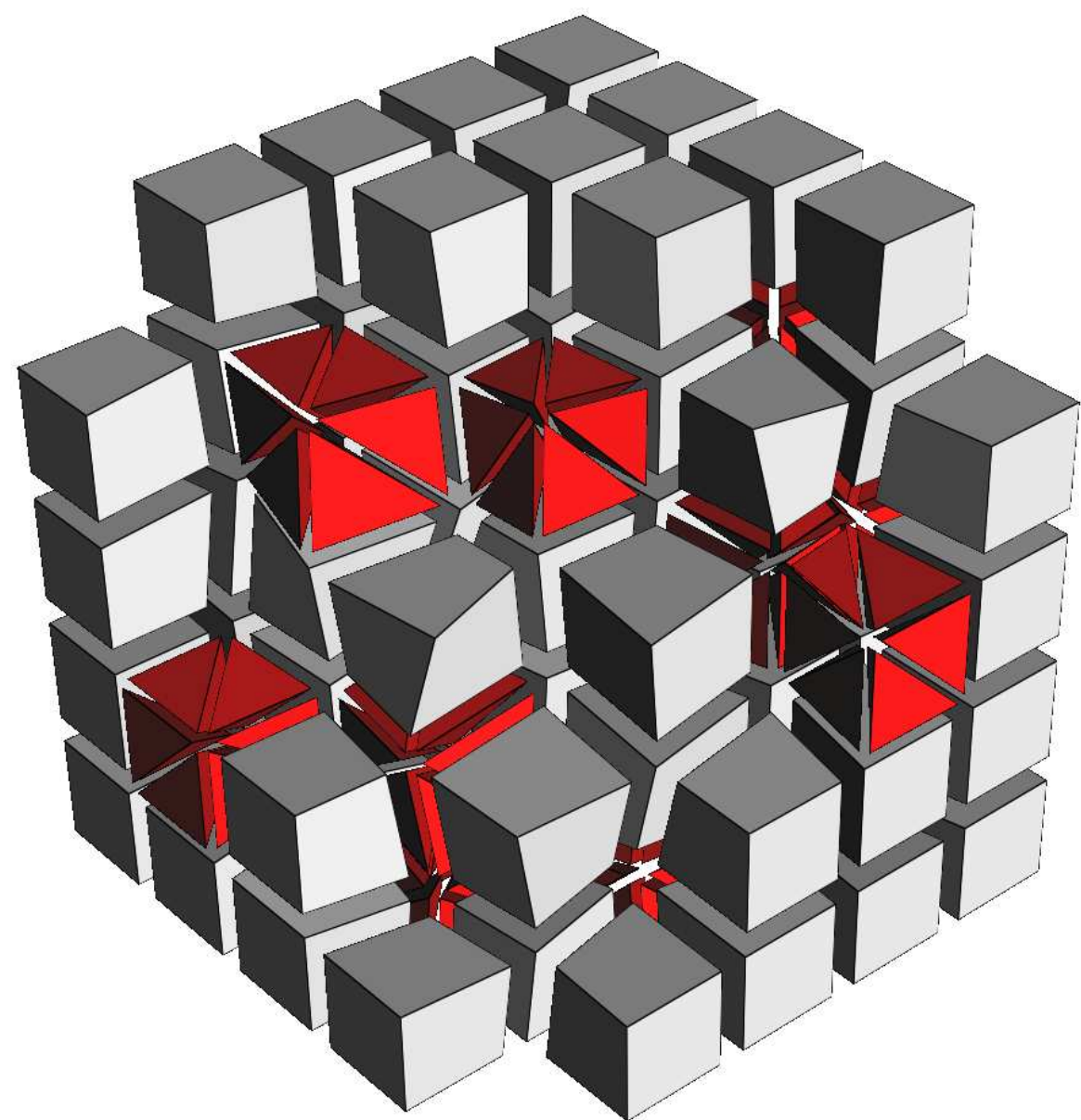
# FEM sur maillages hex-tet : validation

- Validation sur problème de Poisson avec solution analytique :



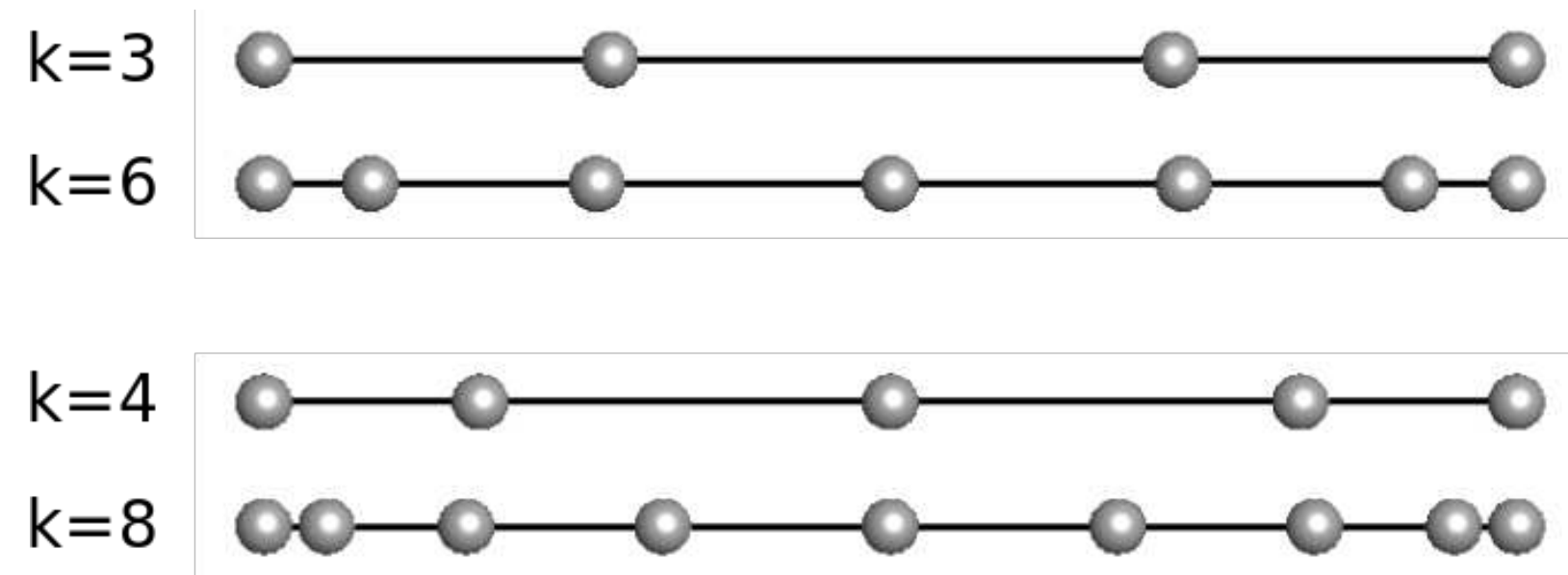
# FEM sur maillages hex-tet : validation

- Validation sur problème de Poisson avec solution analytique :



# Inconvénients de cette approche

Contraintes de continuité :

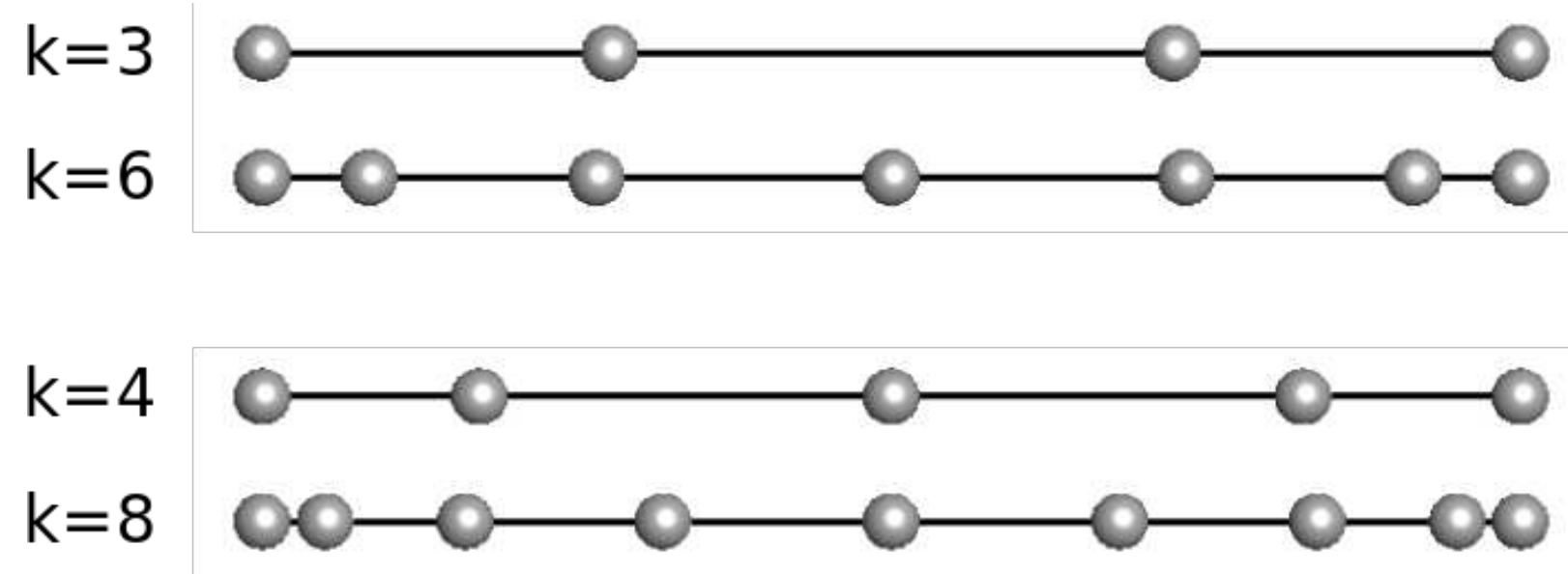


*Interface  $P_k - P_{2k}$  sur une arête*

$$\{\text{GLL noeuds } k\} \not\subset \{\text{GLL noeuds } 2k\}$$

# Inconvénients de cette approche

Contraintes de continuité :



*Interface  $P_k - P_{2k}$  sur une arête*

$\{\text{GLL noeuds } k\} \not\subset \{\text{GLL noeuds } 2k\}$

Implémentation :

Problème non contraint :

$$Ax = b$$

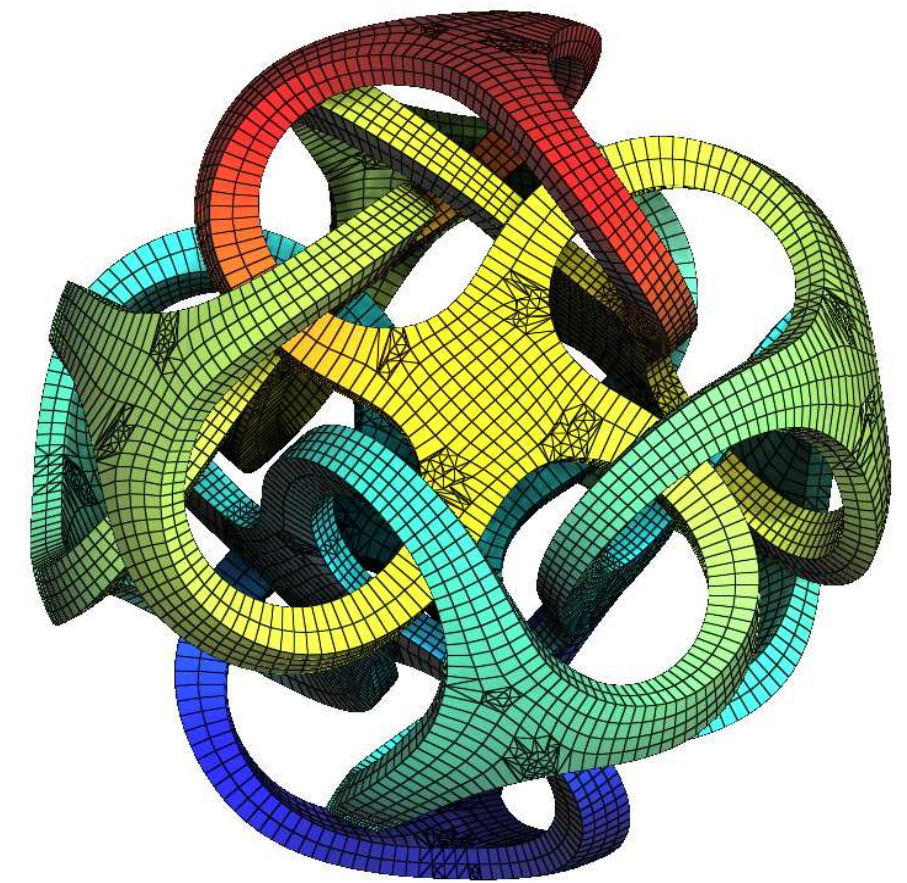
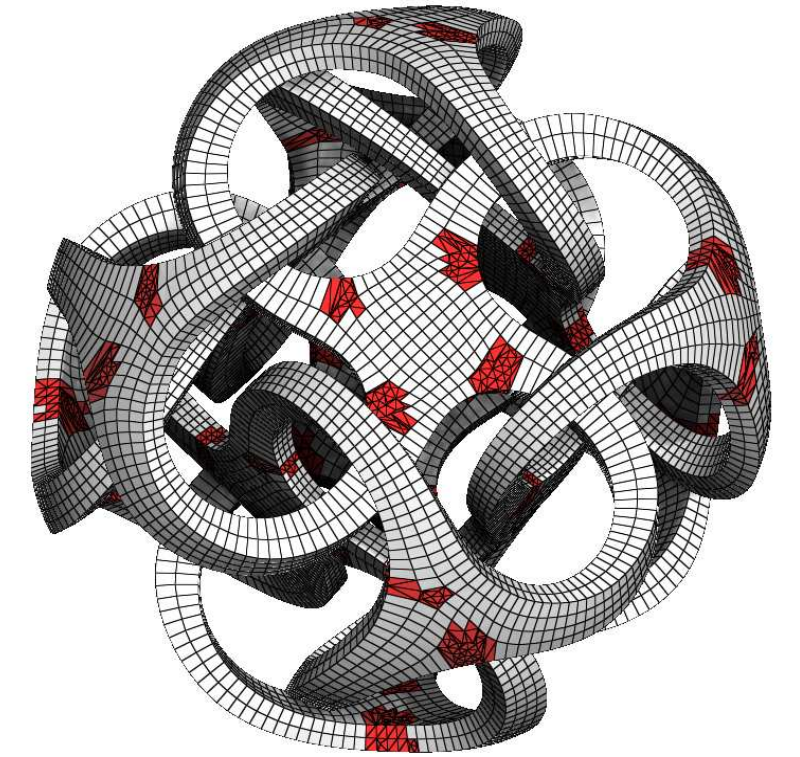
Problème contraint (solution continue) :

$$x_{nc} = P x_c$$

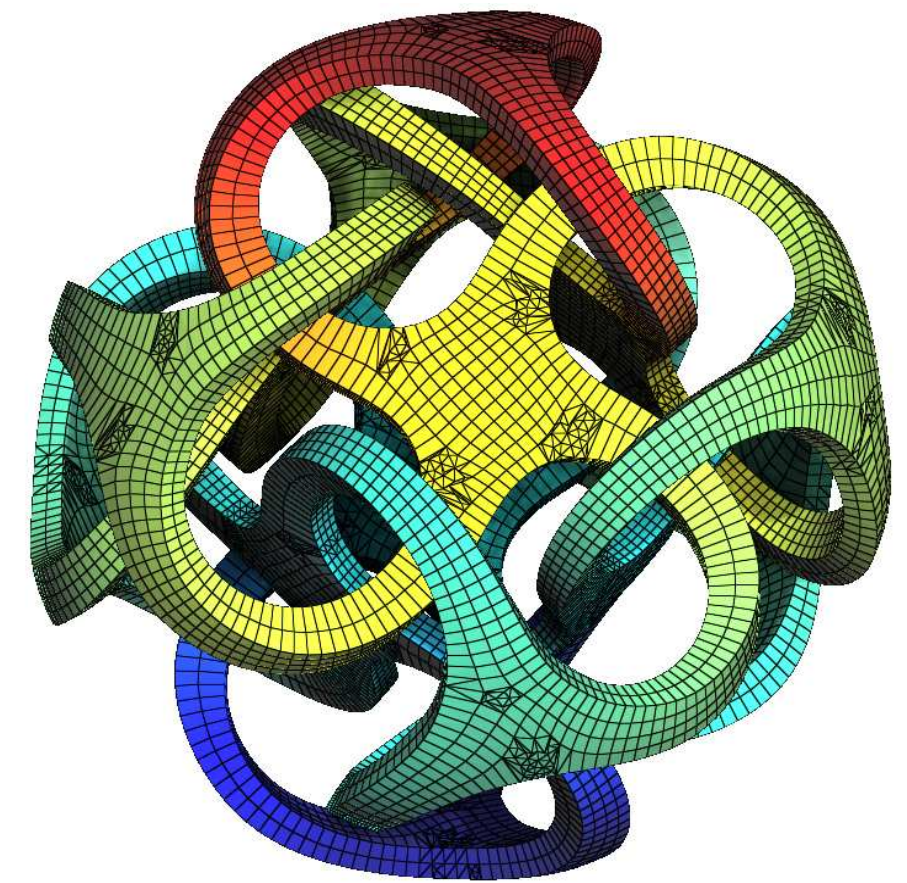
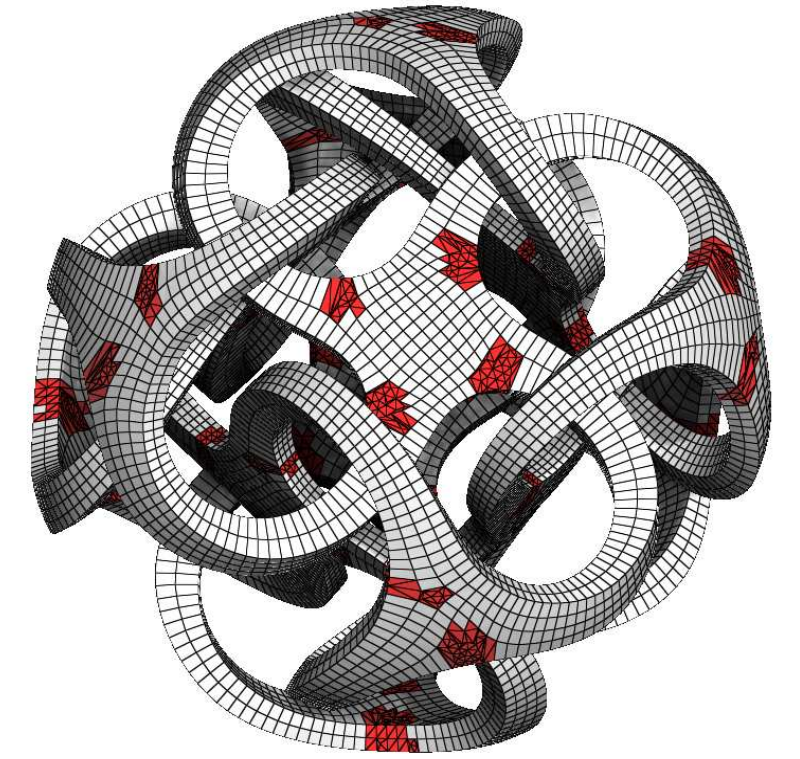
$$P^T A P x = P^T b$$

Beaucoup de contraintes linéaires pour la continuité sur les faces et arêtes  
Similaire à FEM non-conforme avec noeuds flottants

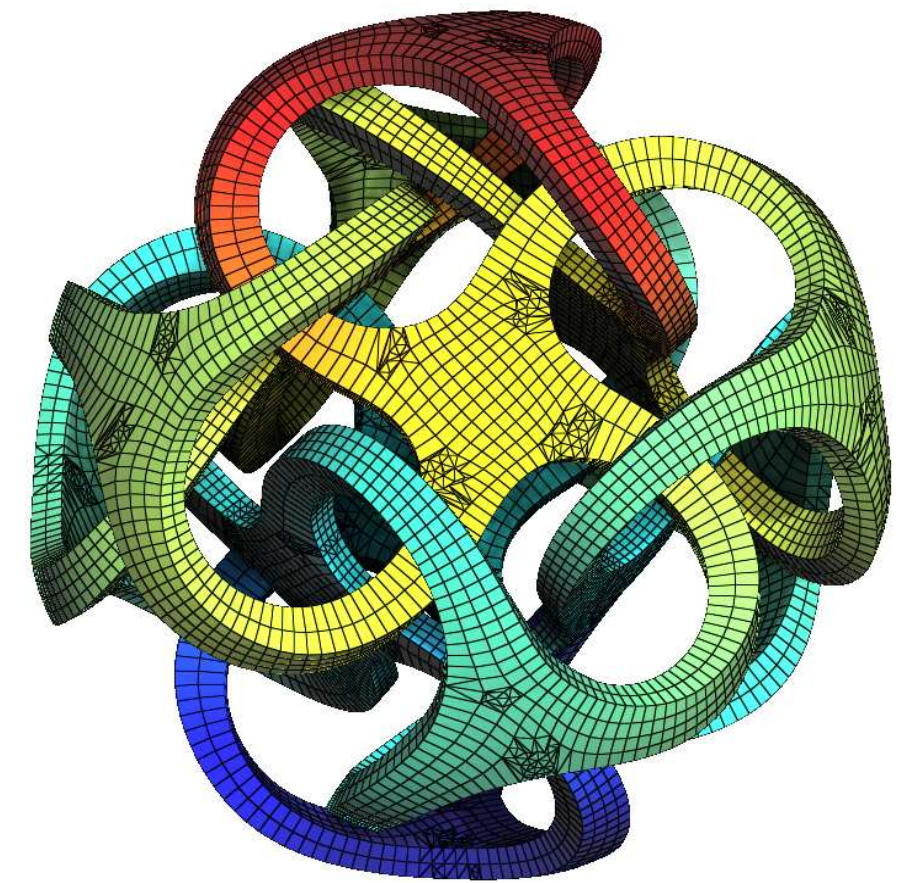
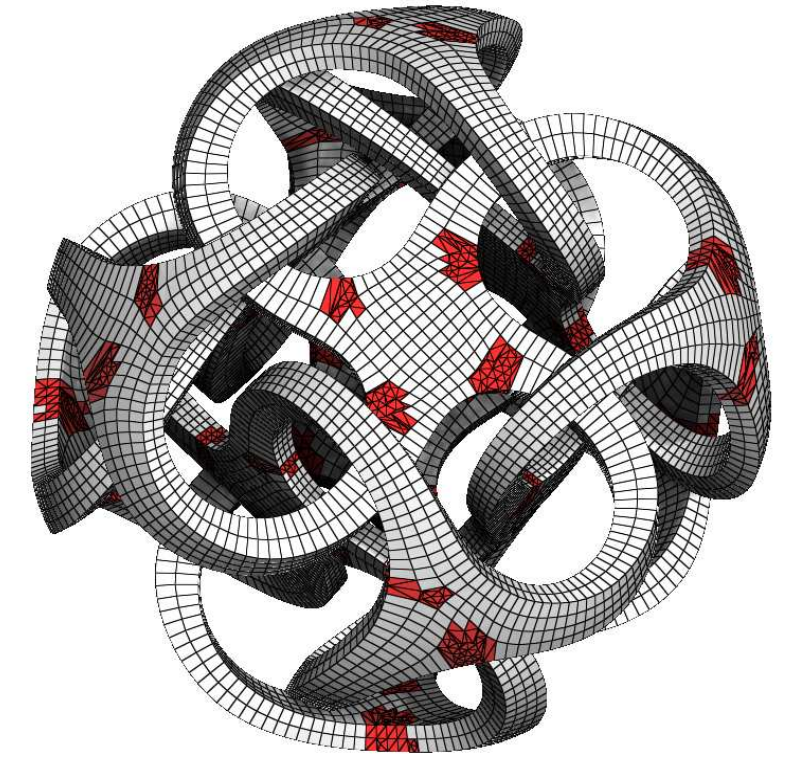
- Bilan :
  - implementation fonctionne mais compliquée
  - difficile à ajouter dans une librairie existante



- Bilan :
  - implementation fonctionne mais compliquée
  - difficile à ajouter dans une librairie existante
- Choix plus naturel et simple :
  - utiliser des pyramides (assemblage standard)



- Bilan :
  - implementation fonctionne mais compliquée
  - difficile à ajouter dans une librairie existante
- Choix plus naturel et simple :
  - utiliser des pyramides (assemblage standard)
- Alternatives :
  - espace d'approximation non-conforme (DG, Nitsche)
  - polyèdres (éléments finis virtuels)

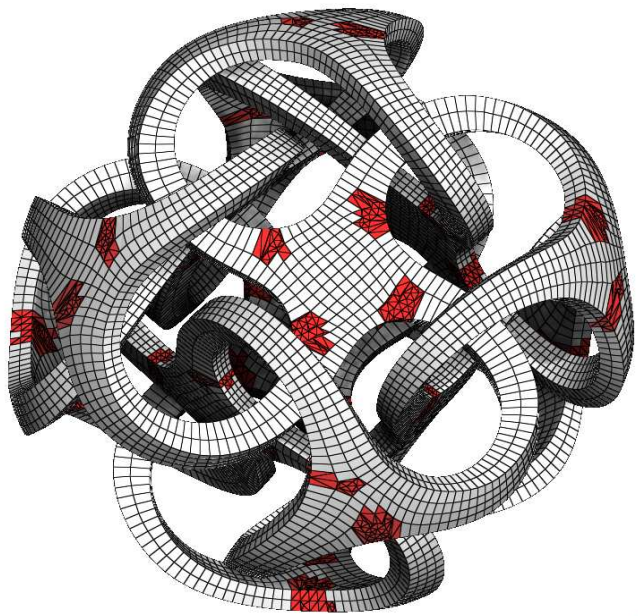


# Sommaire

## I. Génération de maillage hex-dominants

ALICE : mailleur hex-tet

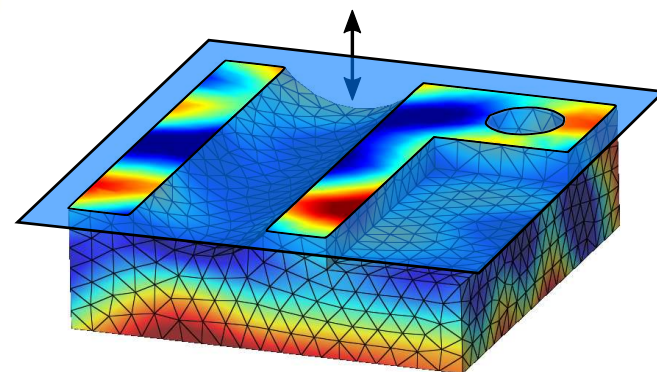
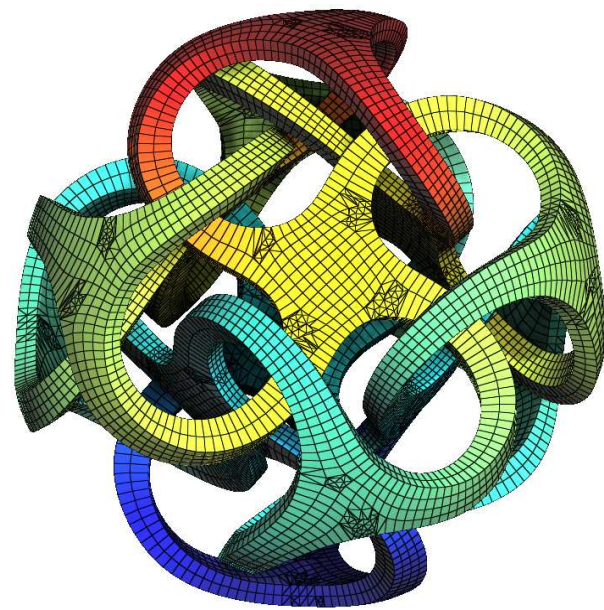
*contribution* : maillage robuste [Ray, Sokolov, Reberol, Ledoux, Levy '18]



## II. Éléments finis sur maillages hex-tet

*contribution* : espace continu  $\mathcal{Hyb}_k$  ( $\mathbb{Q}_k, \mathbb{P}_{2k}, \mathbb{P}_k$ )

*rapport* [Reberol et Lévy '16]



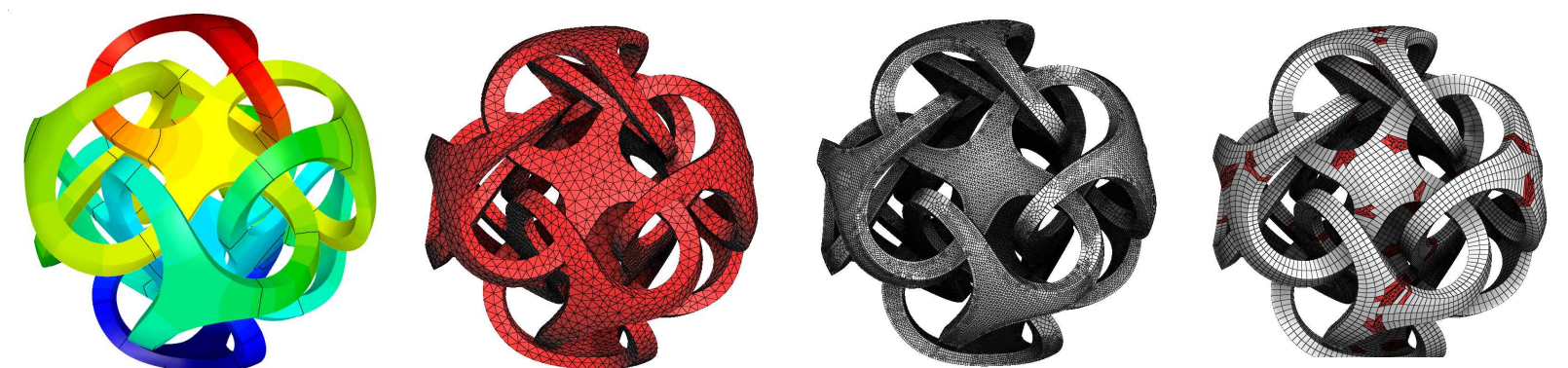
$$\|u_h - u_{ref}\|$$

## III. Méthode d'évaluation

*contribution* : calcul de distance efficace

*article* [Reberol et Lévy '18]

## IV. Comparaisons de solutions



- Objectif : évaluer l'influence du maillage sur l'erreur d'approximation

## 1. **Solution analytique** connue

- calcul de l'**erreur** (  $L^2, H^1$  ) par intégration numérique (quadratures)

- Objectif : évaluer l'influence du maillage sur l'erreur d'approximation

## 1. **Solution analytique** connue

- calcul de l'**erreur** (  $L^2, H^1$  ) par intégration numérique (quadratures)

- problèmes construits avec la *Méthode des solutions manufacturées* :

a) choisir une solution analytique

b) l'injecter dans le problème (domaine + EDP)

c) calculer les formules du terme source et C.L.

$$u(x, y) = \sin(2\pi x) \sin(2\pi y)$$

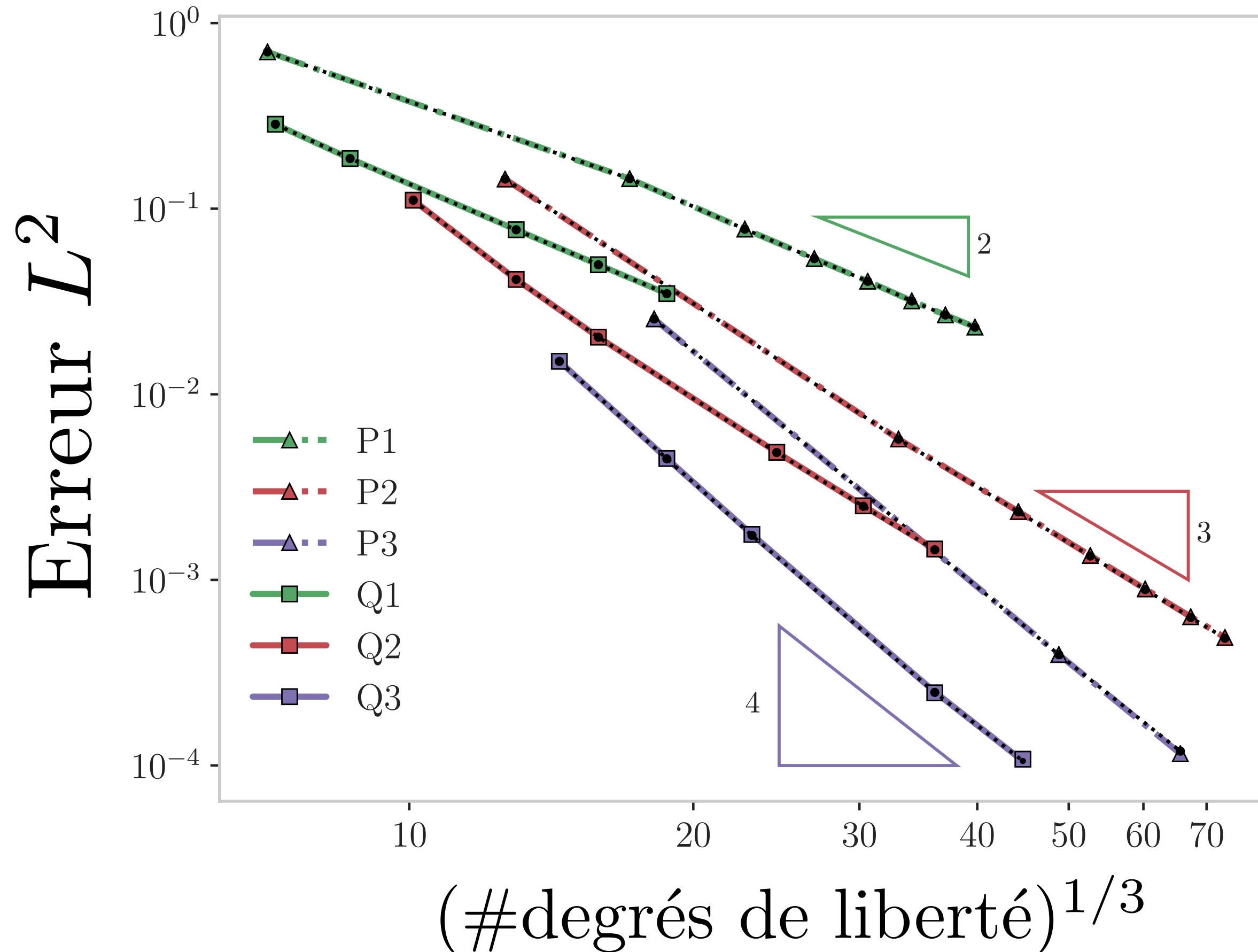
$$-\Delta u = f$$

$$f(x, y) = 4\pi^2 \sin(2\pi x) \sin(2\pi y)$$

Vérification de code : [\[Salari et al. '00, Roache et al. '02\]](#)

# Évaluation de résultats FEM : analyse de convergence

Avec solution analytique : erreur en fonction du nombre d'inconnues, de la résolution du maillage, du temps de calcul, etc



Résultats **non représentatifs** de problèmes réels :

- domaines très simples (souvent carré ou cube unité)

Résultats **non représentatifs** de problèmes réels :

- domaines très simples (souvent carré ou cube unité)

- terme source analytique, proche de la solution  
problèmes réels : terme source nul ou constant

$$-\Delta u = f$$

$$f(x, y) = 4\pi^2 \sin(2\pi x) \sin(2\pi y)$$

$$u(x, y) = \sin(2\pi x) \sin(2\pi y)$$

- peu de propagation depuis les bords

Résultats **non représentatifs** de problèmes réels :

- domaines très simples (souvent carré ou cube unité)

- terme source analytique, proche de la solution  
problèmes réels : terme source nul ou constant

$$-\Delta u = f$$

$$f(x, y) = 4\pi^2 \sin(2\pi x) \sin(2\pi y)$$

$$u(x, y) = \sin(2\pi x) \sin(2\pi y)$$

- peu de propagation depuis les bords

- terme source et C.L. analytiques, donc approximatés par la discrétisation  
erreur en partie due à l'approximation du problème

## 2. Pas de solution analytique : comparer à une solution de référence

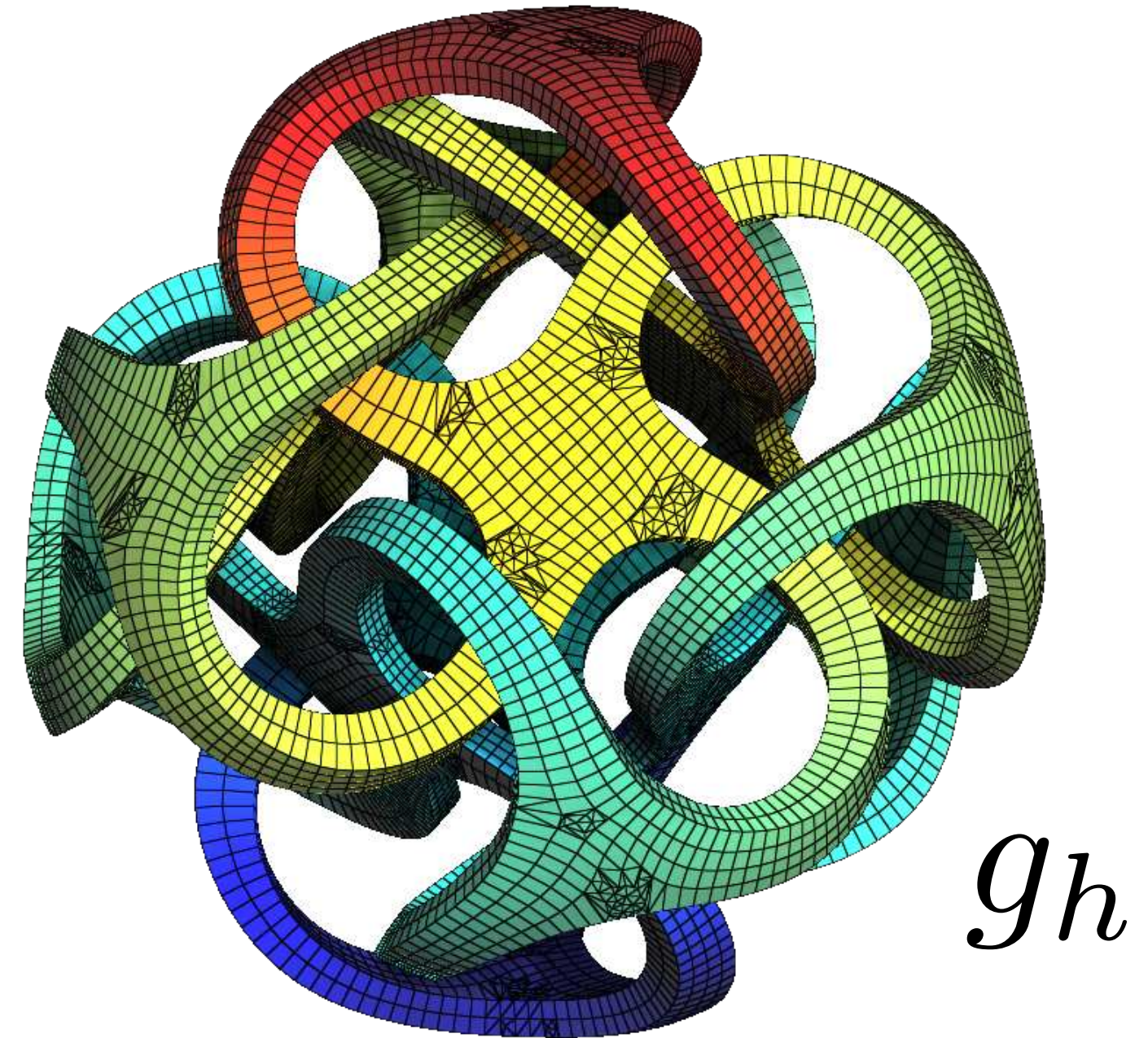
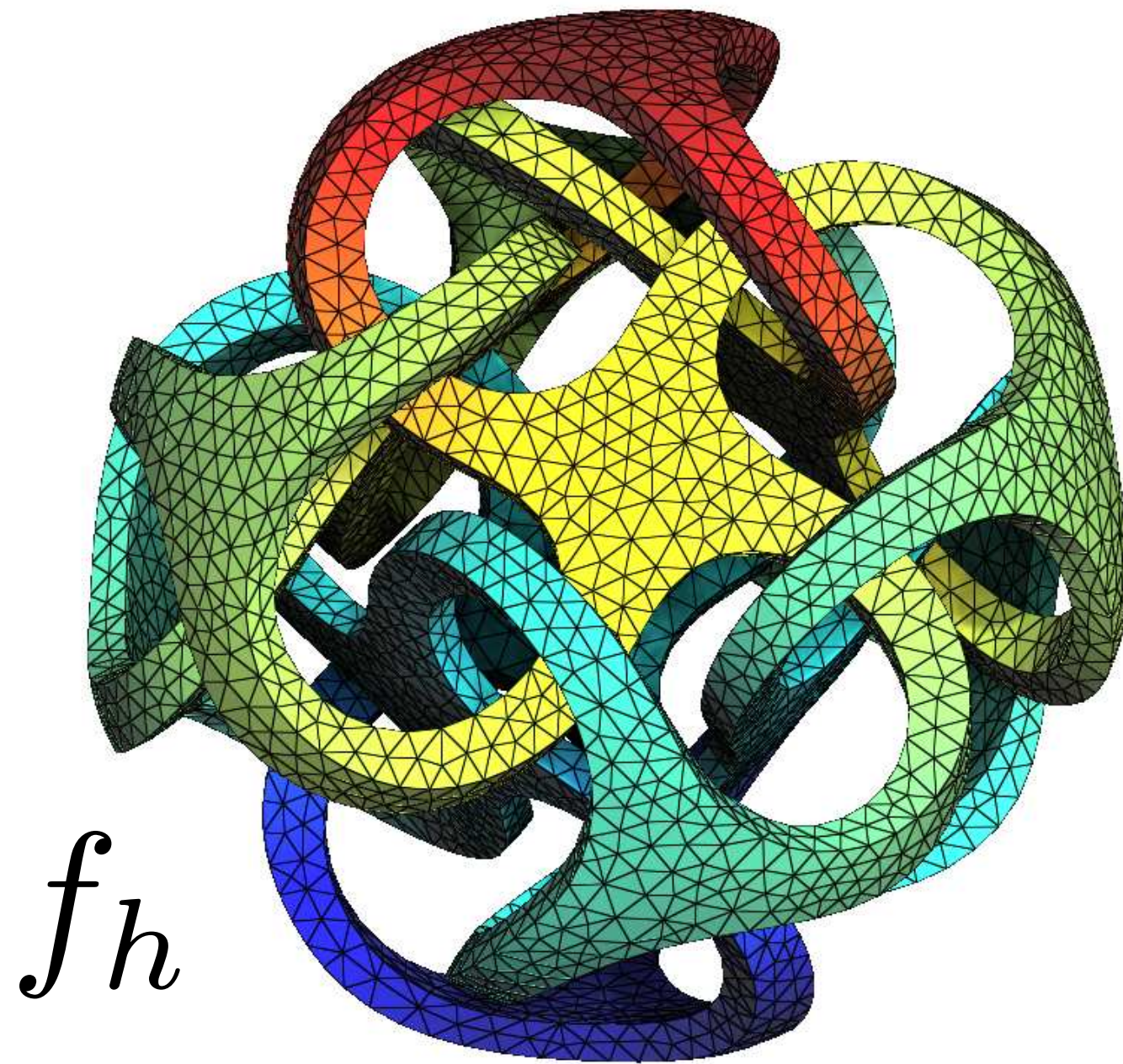
- si applications spécifiques, observer quantités d'intérêt avec raffinement (par ex. : contrainte maximale, coefficient de traînée, modes propres)

## 2. Pas de solution analytique : comparer à une solution de référence

- si applications spécifiques, observer quantités d'intérêt avec raffinement (par ex. : contrainte maximale, coefficient de traînée, modes propres)
- cas général : approximer l'erreur par une distance à la solution de référence

$$\|u_h - u_{\text{exact}}\| \approx \|u_h - u_{\text{ref}}\|$$

*nouveau problème* : comment calculer efficacement cette distance ?



$$\|f_h - g_h\|_{L^2} = \sqrt{\int_{\Omega} (f_h - g_h)^2} \quad ?$$

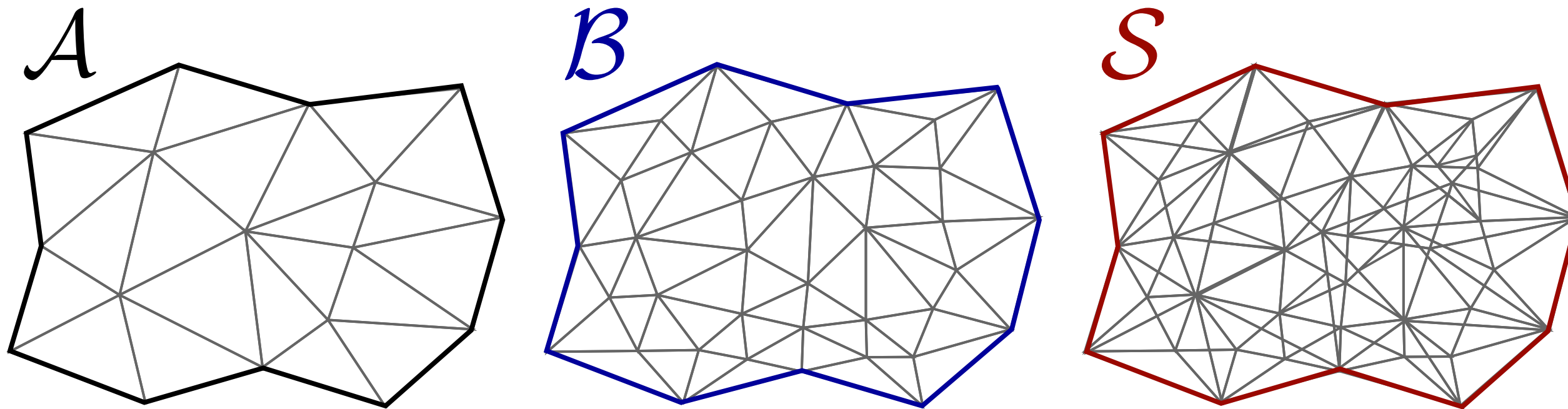
Intégrales remplacées par des sommes pondérées :

$$(\|f_h - g_h\|_{L^2})^2 = \int_{\Omega} (f_h - g_h)^2 \approx \sum_{i=1}^N w_i (f_h(x_i) - g_h(x_i))^2$$

Intégrales remplacées par des sommes pondérées :

$$(\|f_h - g_h\|_{L^2})^2 = \int_{\Omega} (f_h - g_h)^2 \approx \sum_{i=1}^N w_i (f_h(x_i) - g_h(x_i))^2$$

Quadratures (FEM) : besoin d'un maillage



Références :

*[Plimpton et al. '98]*

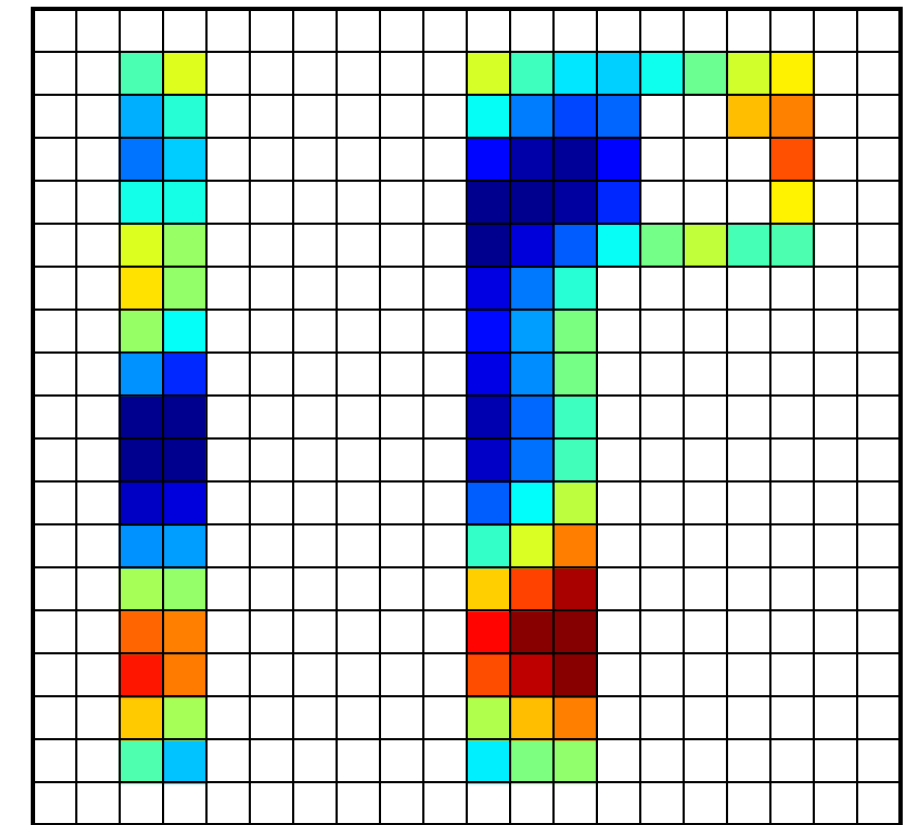
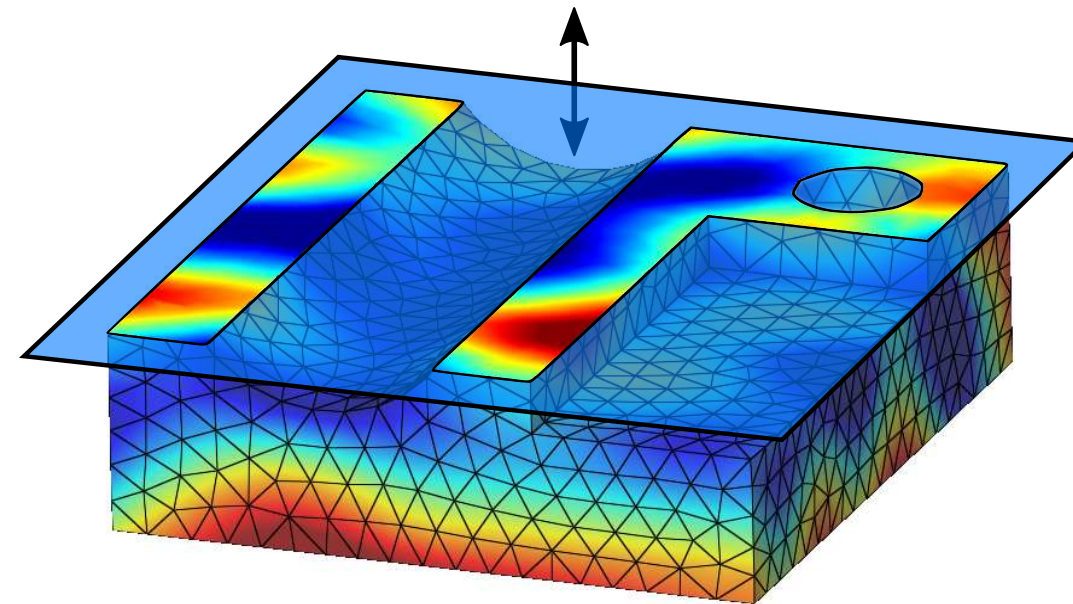
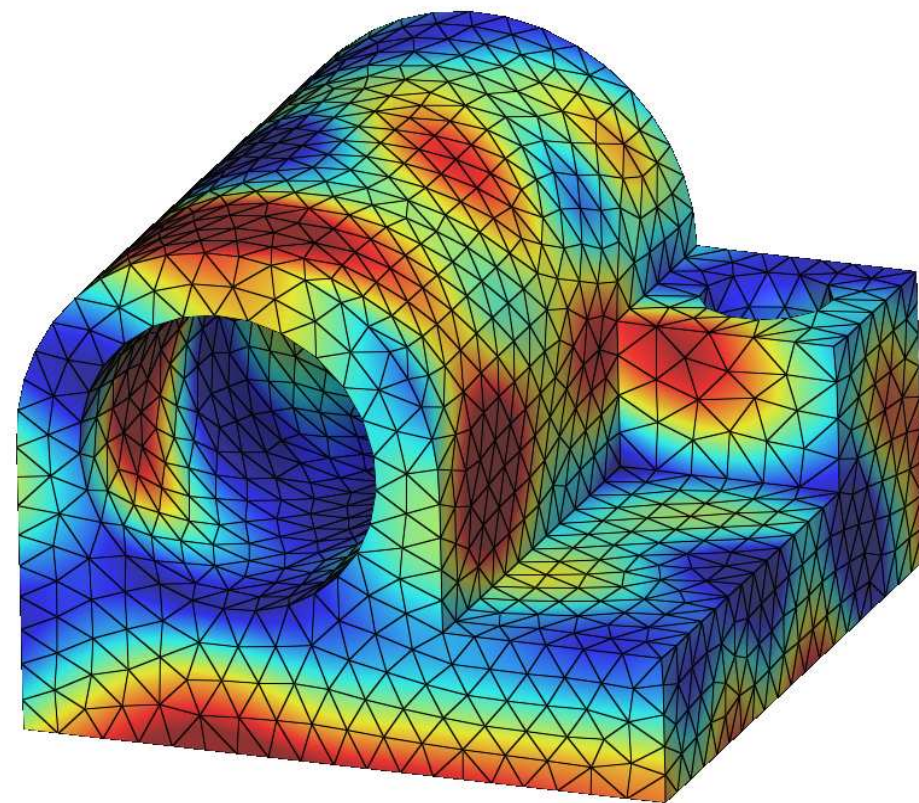
*[Jiao et Heath '04]*

*[Farrell et al. '09]*

# Échantillonnage régulier (grille)

Idées :

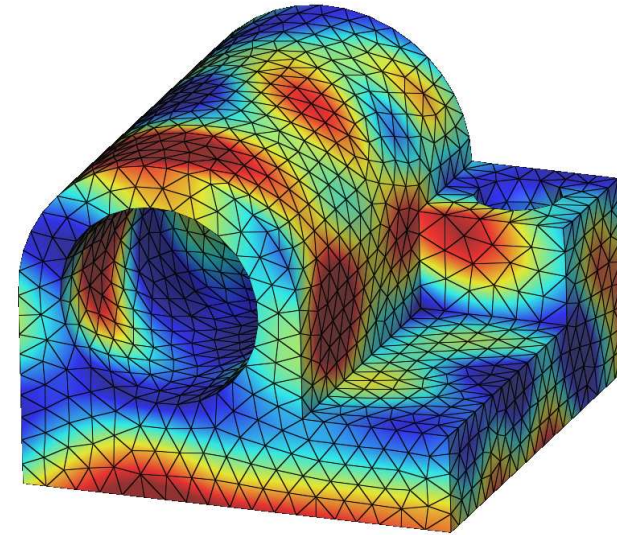
- échantillonnage des deux champs sur une grille commune
- tranche par tranche
- efficace grâce aux algorithmes d'informatique graphique



Reberol M. et Lévy B., *Computing the Distance between Two Finite Element Solutions Defined on Different 3D Meshes on a GPU*, SIAM Journal on Scientific Computing, 2018

## 1. Initialisation

(transfert données sur GPU)



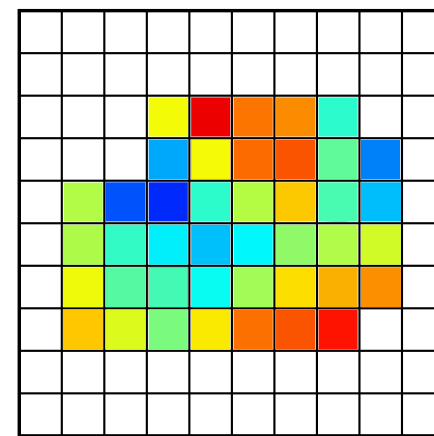
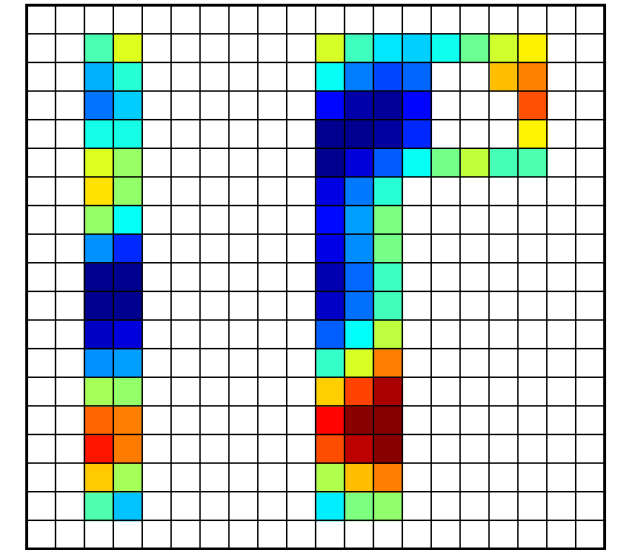
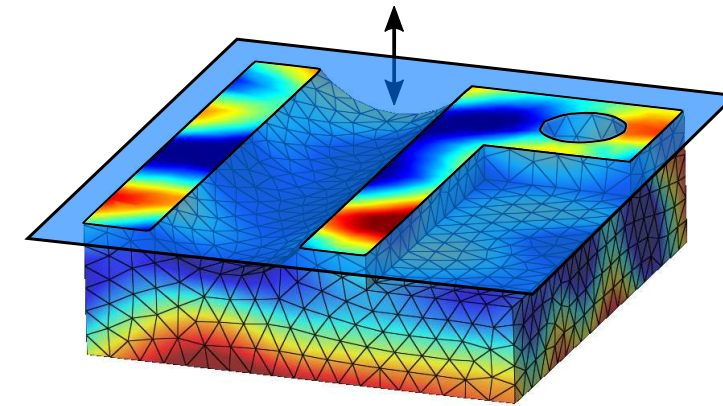
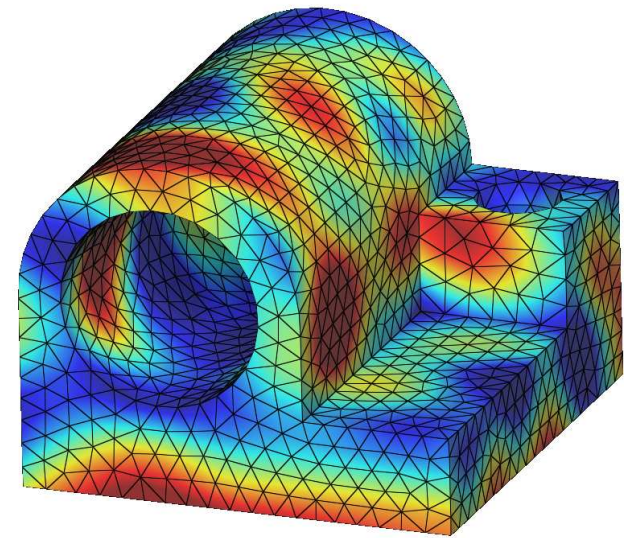
# Échantillonnage régulier : algorithme global

## 1. Initialisation

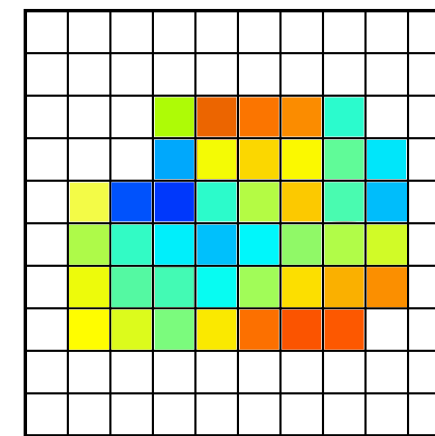
(transfert données sur GPU)

## 2. Pour chaque tranche :

- rendu du champ A
- rendu du champ B



$T_f$

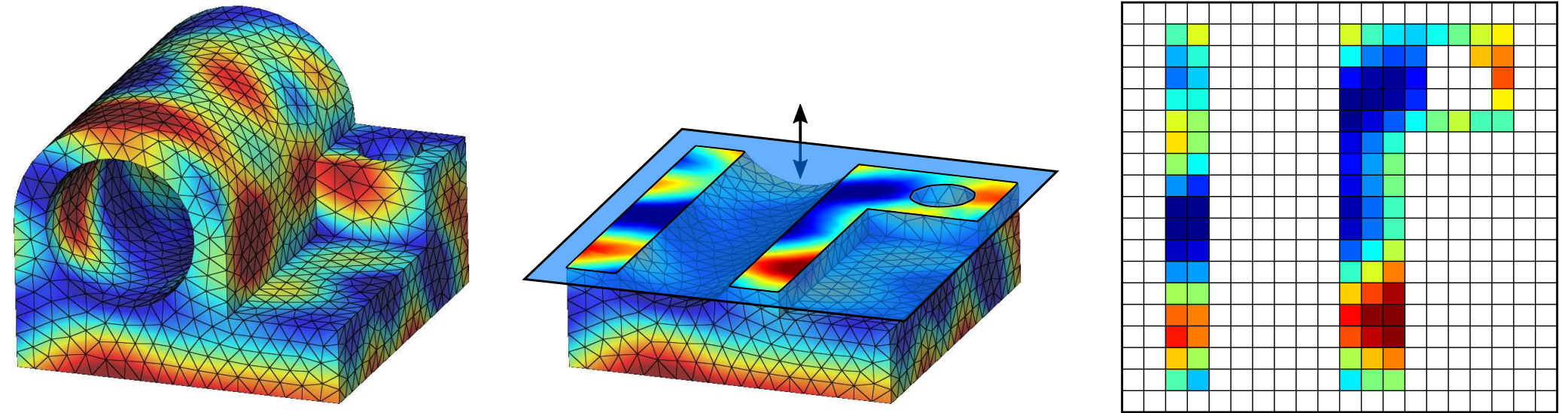


$T_g$

# Échantillonnage régulier : algorithme global

## 1. Initialisation

(transfert données sur GPU)



## 2. Pour chaque tranche :

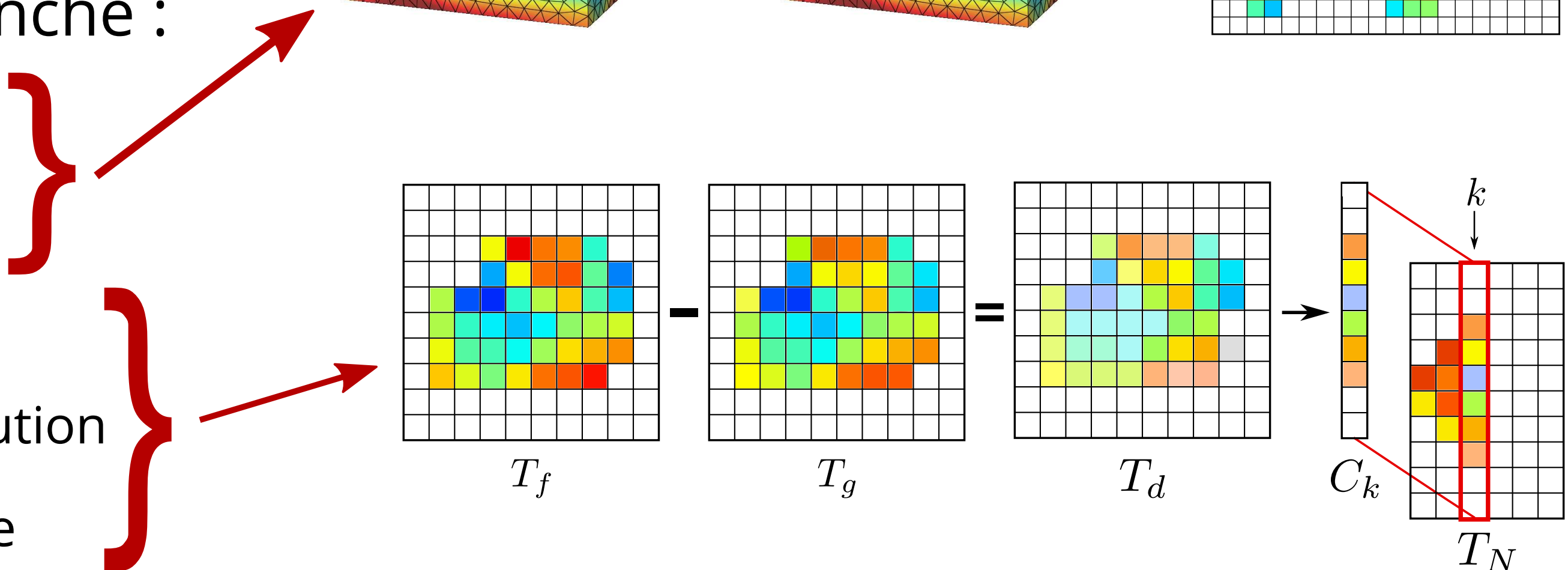
- rendu du champ A

- rendu du champ B

- difference

- calcul de la contribution

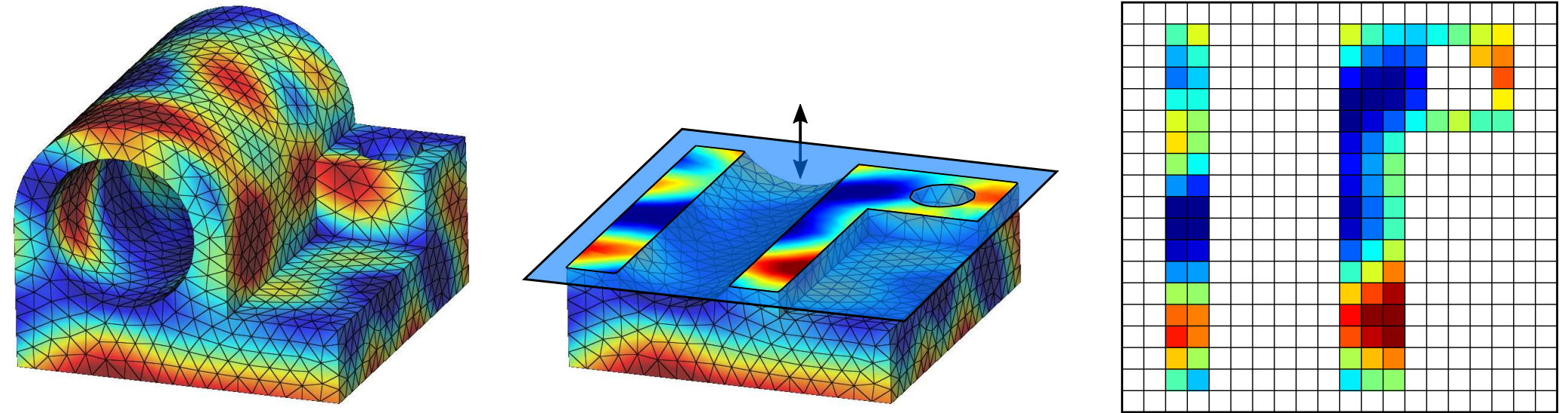
à la distance globale



# Échantillonnage régulier : algorithme global

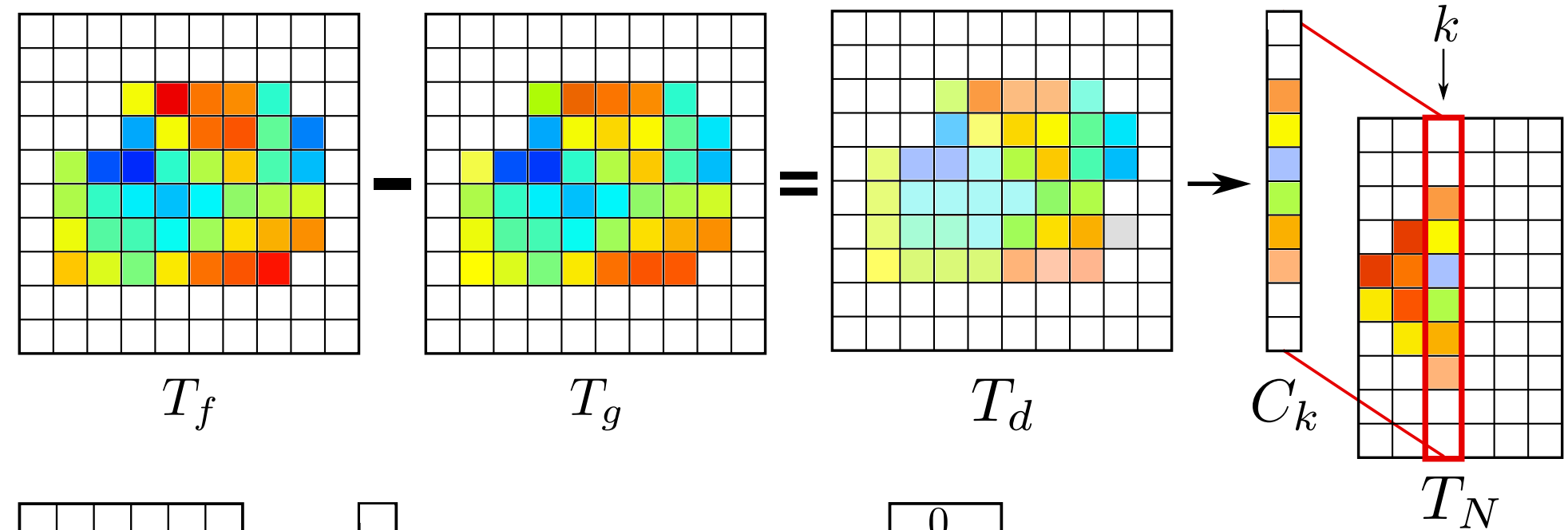
## 1. Initialisation

(transfert données sur GPU)

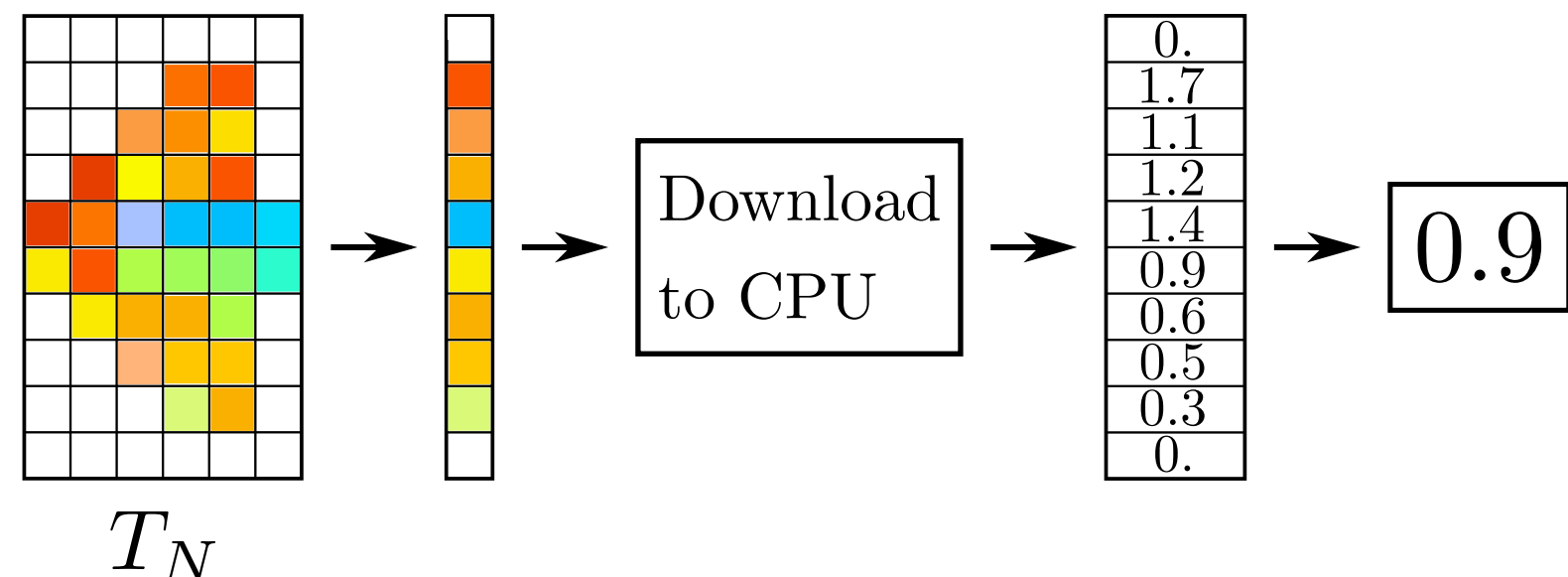


## 2. Pour chaque tranche :

- rendu du champ A
- rendu du champ B
- difference
- calcul de la contribution à la distance globale

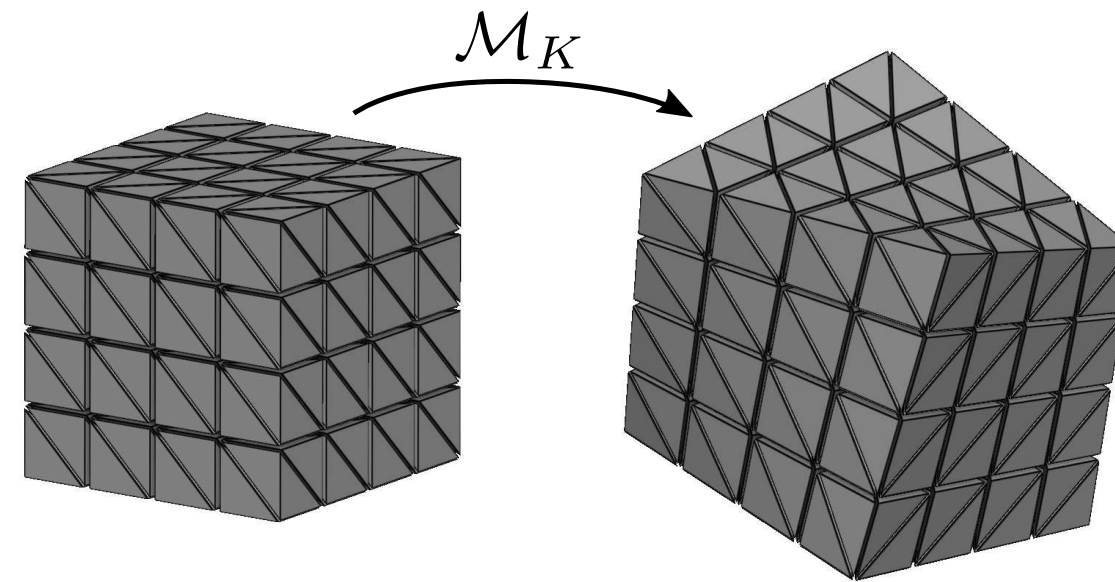


## 3. Combinaisons des contributions



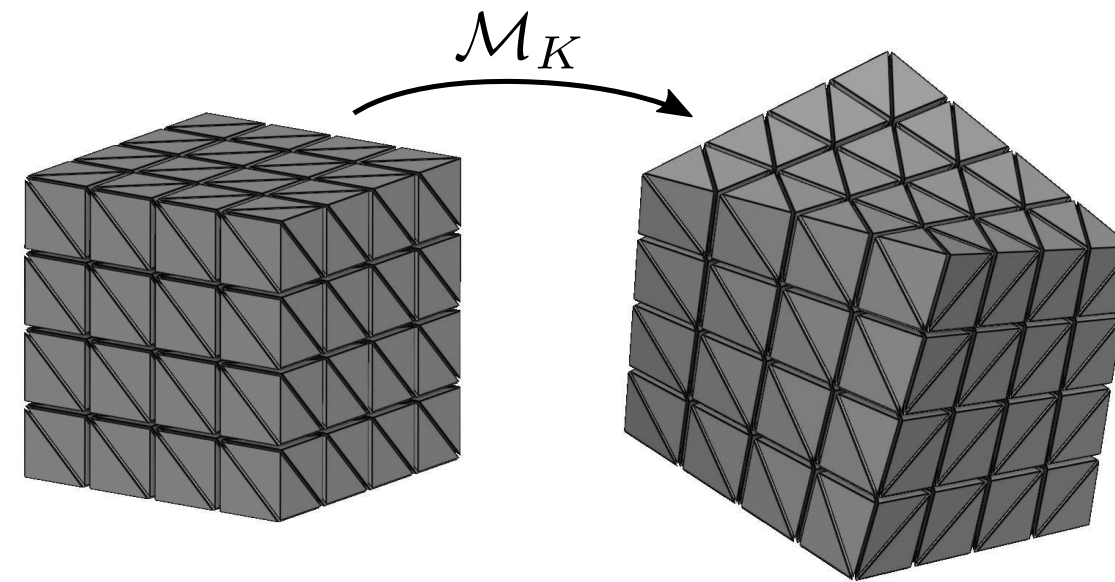
# Calcul des valeurs sur la grille (pixels)

1. Transformation  
subdivision si non-affine  
(*OpenGL* : vertex shader)

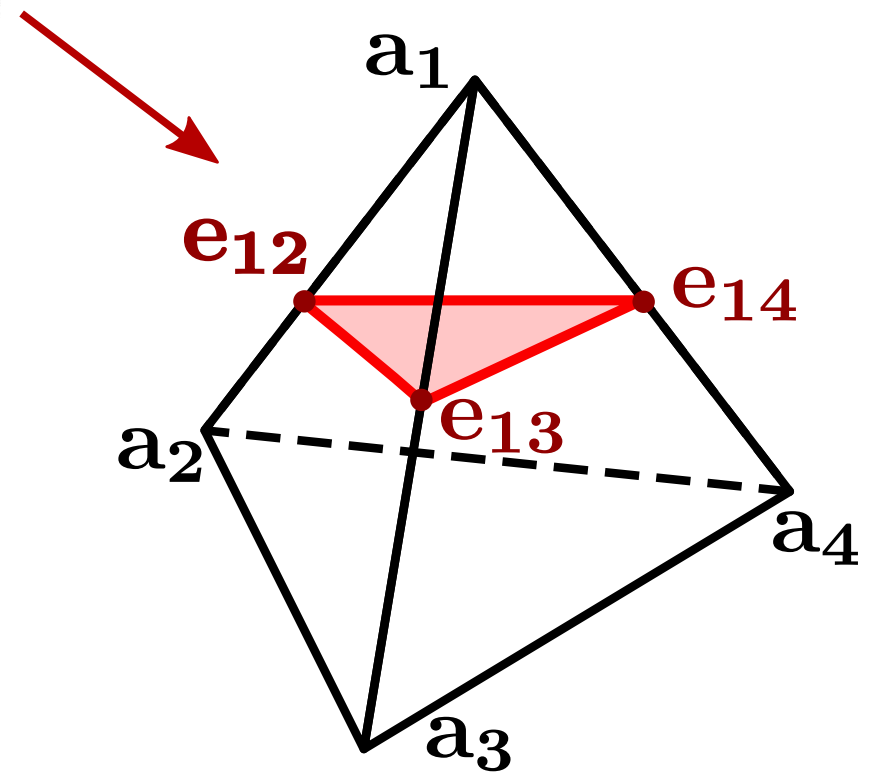


# Calcul des valeurs sur la grille (pixels)

1. Transformation  
subdivision si non-affine  
(*OpenGL* : vertex shader)

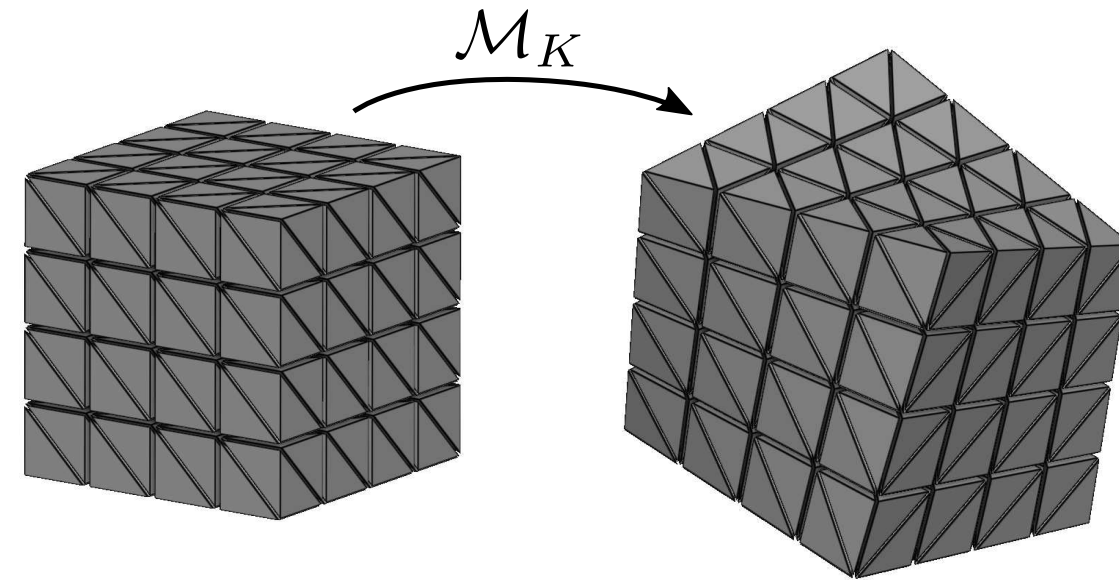


2. Intersection plan-tétraèdre  
marching tet [*Akio et Koide '91*]  
(*OpenGL* : geometry shader)

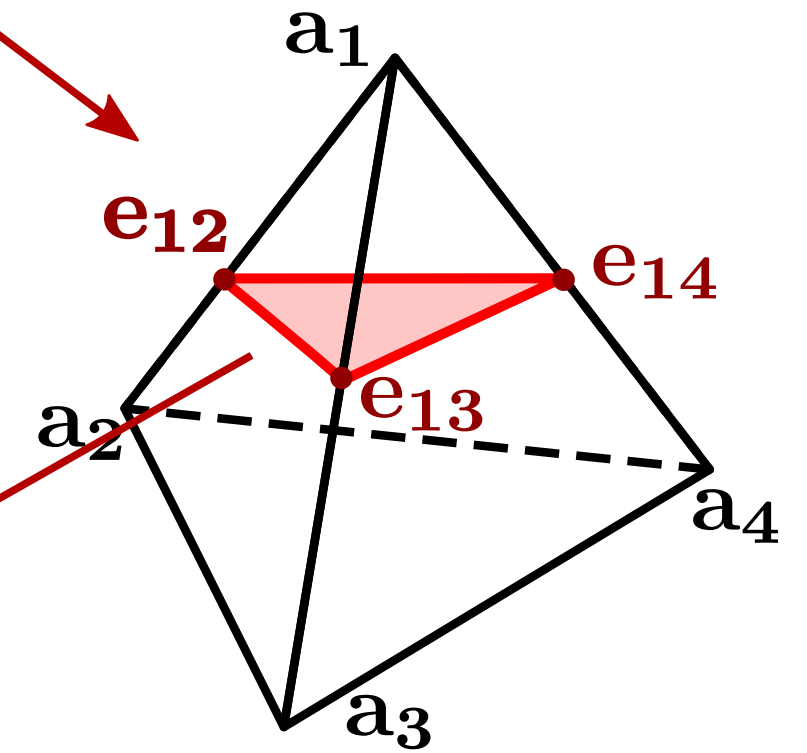


# Calcul des valeurs sur la grille (pixels)

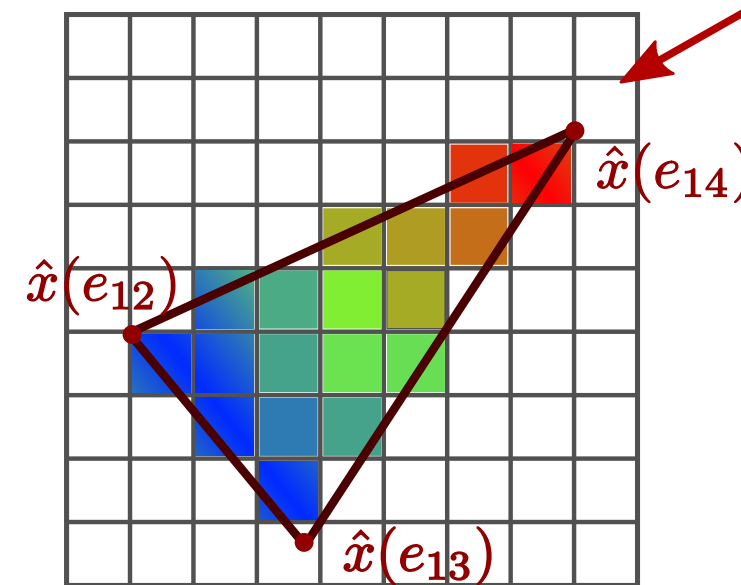
1. Transformation  
subdivision si non-affine  
(*OpenGL* : vertex shader)



2. Intersection plan-tétraèdre  
marching tet [*Akio et Koide '91*]  
(*OpenGL* : geometry shader)

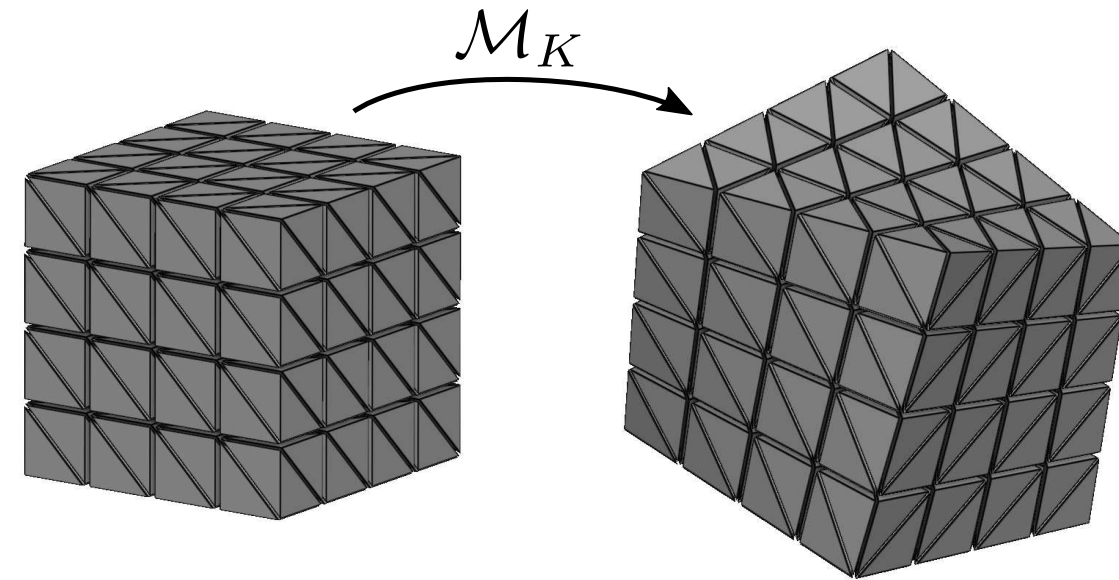


3. Interpolation linéaire des coords. de ref.  
(*OpenGL* : rasterisation)

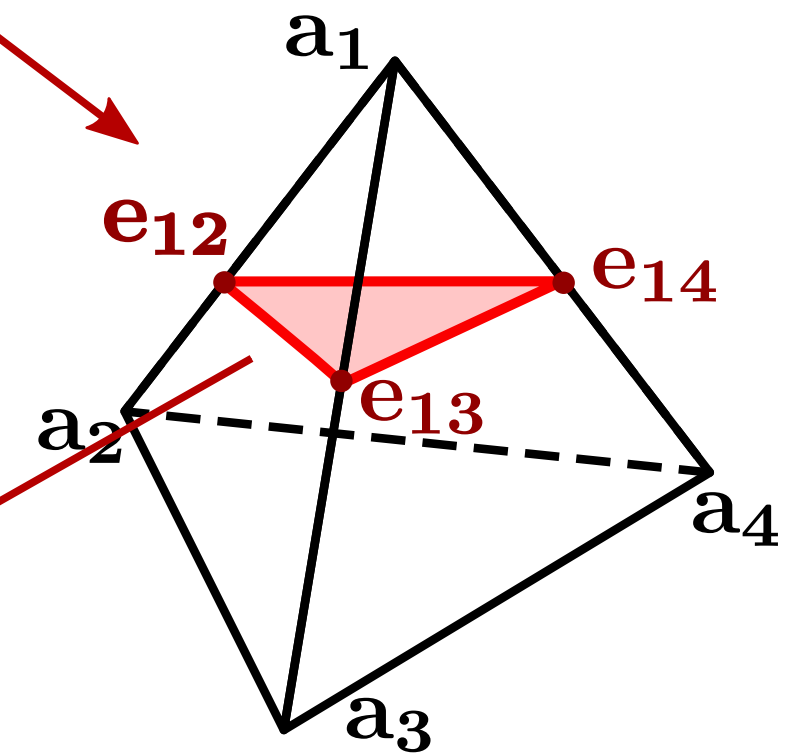


# Calcul des valeurs sur la grille (pixels)

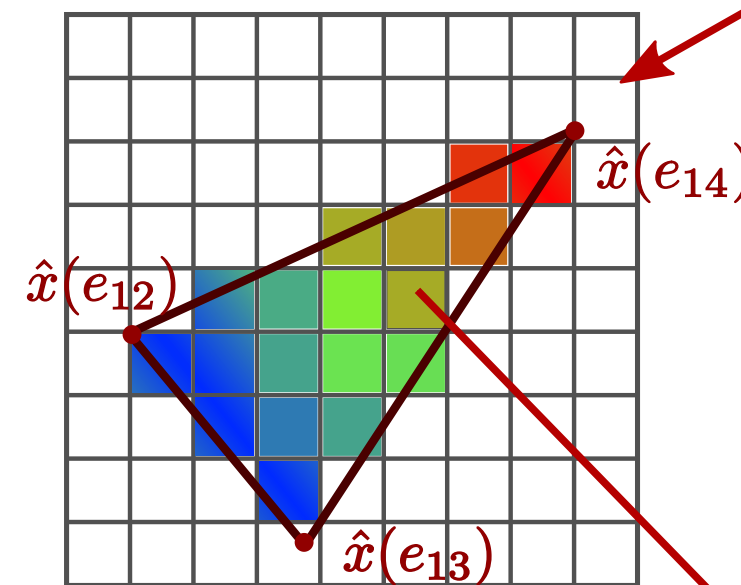
1. Transformation  
subdivision si non-affine  
(*OpenGL* : vertex shader)



2. Intersection plan-tétraèdre  
marching tet [*Akio et Koide '91*]  
(*OpenGL* : geometry shader)

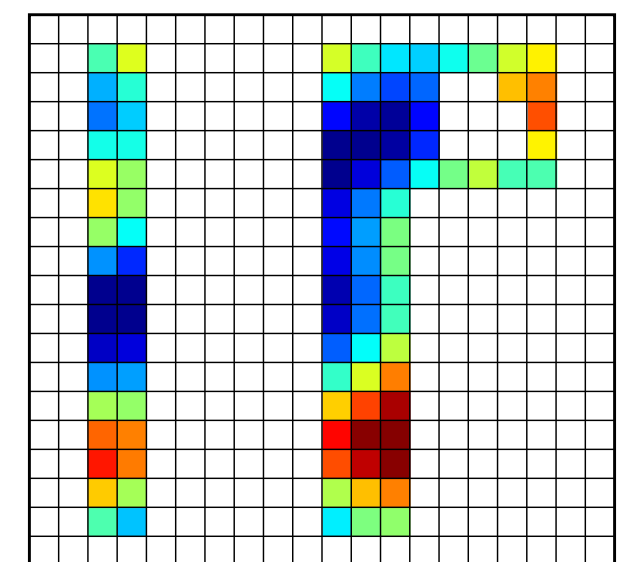


3. Interpolation linéaire des coords. de ref.  
(*OpenGL* : rasterisation)



4. Évaluation des fonctions de formes  
(*OpenGL* : fragment shader)

$$f_h(x) = \hat{f}_K \circ \mathcal{M}_K^{-1}(x)$$



# Paramètres et validation

- Paramètres :

- nombre d'échantillons
- niveau de subdivision (si non-affine)
- orientation du modèle dans la grille

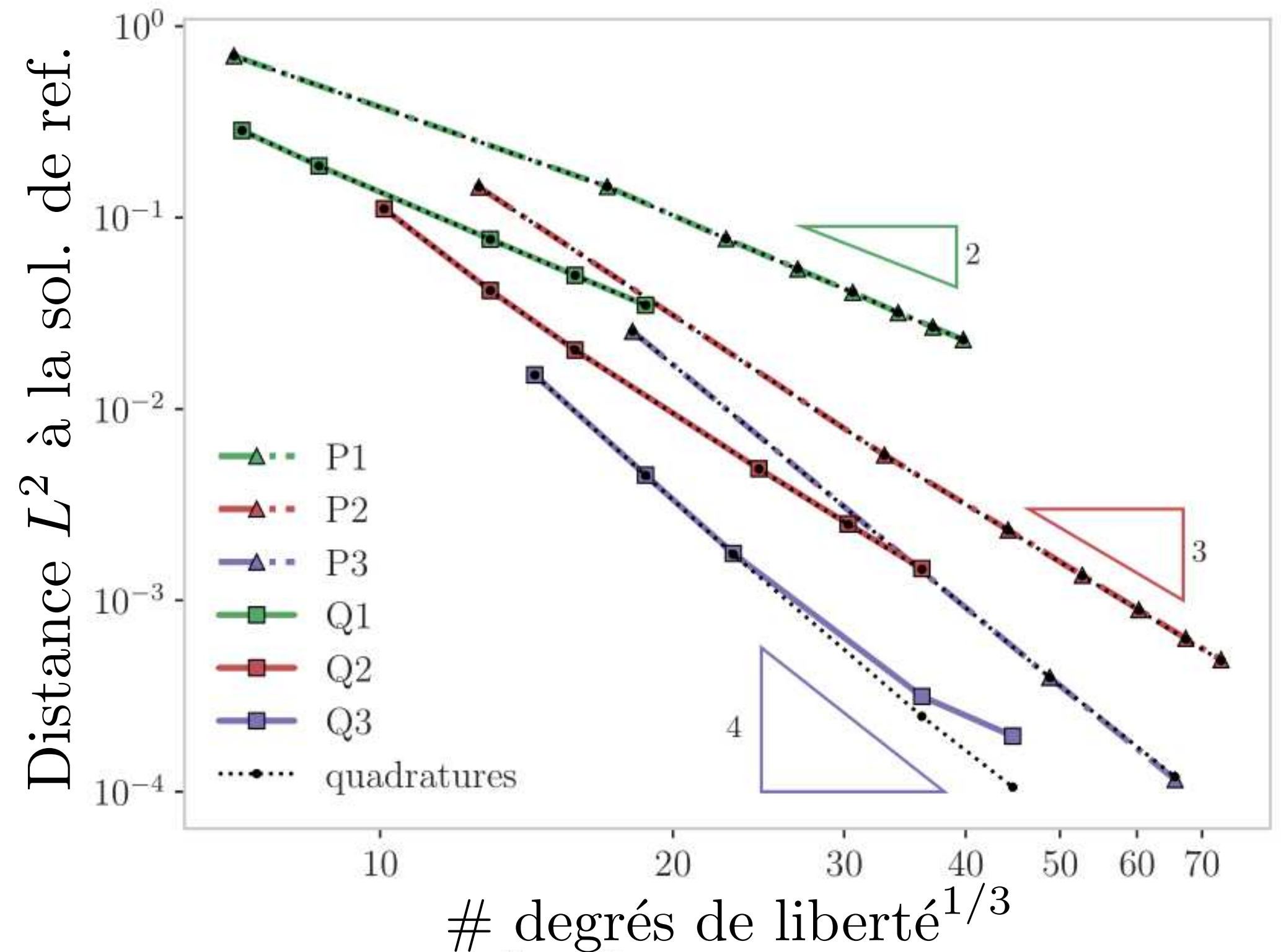


convergence validée  
expérimentalement

# Paramètres et validation

- Paramètres :
  - nombre d'échantillons
  - niveau de subdivision (si non-affine)
  - orientation du modèle dans la grille
- **Validation des distances** sur problèmes avec solution analytique :

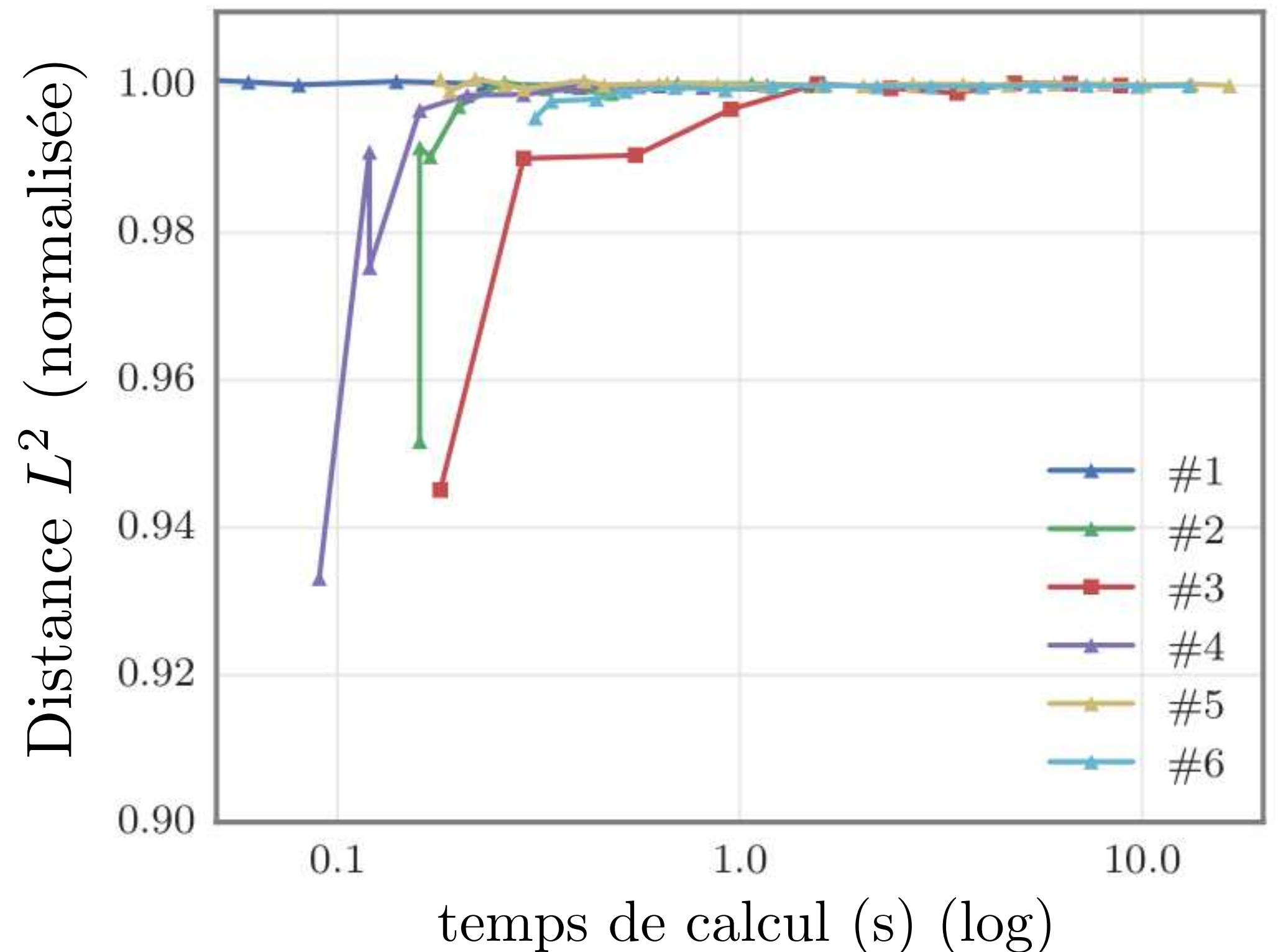
convergence validée expérimentalement



# Performances

- Convergence de la distance L2 :
  - moins d'une seconde pour <1 million d'éléments

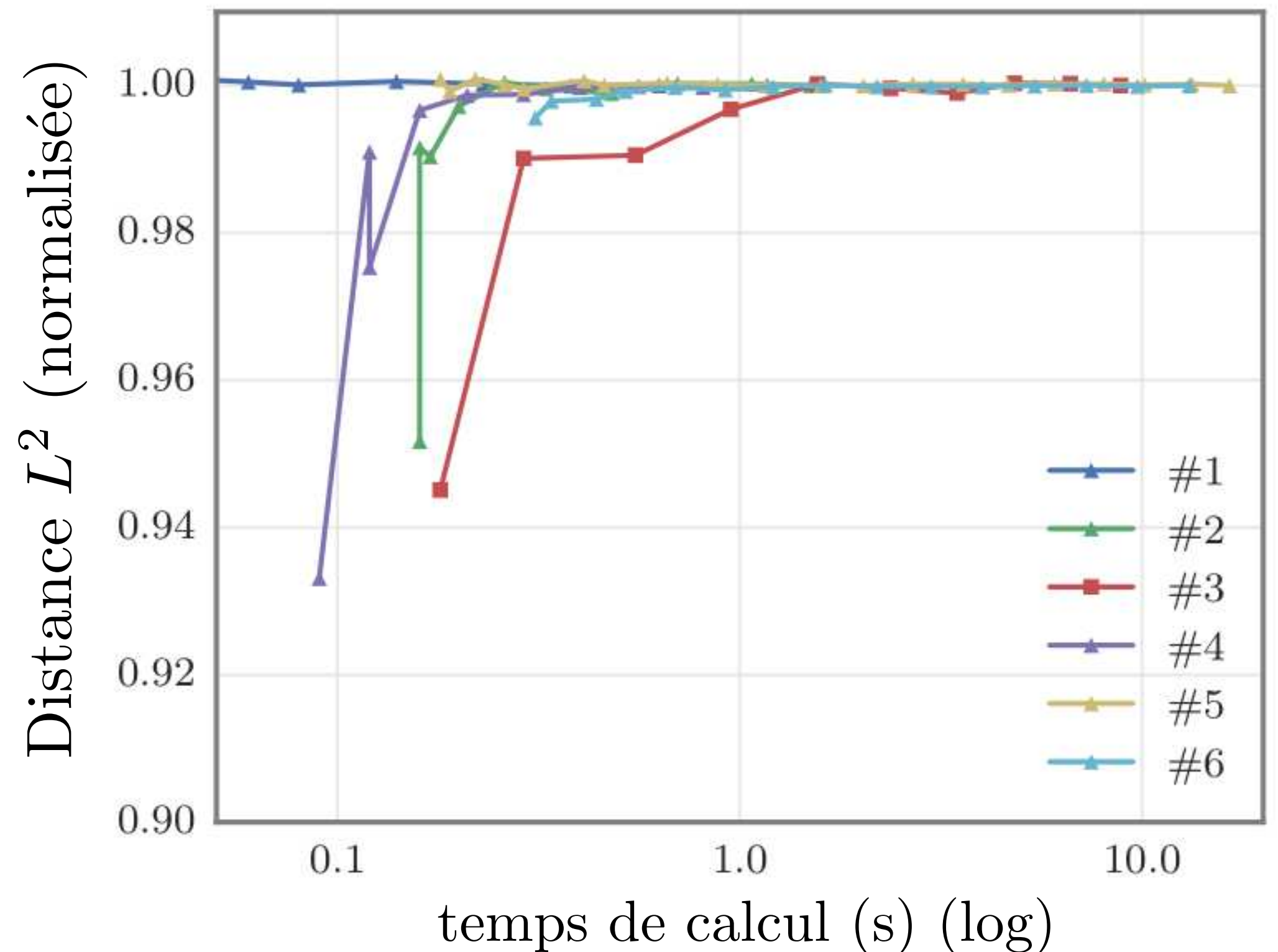
model	dim	# cells	basis
#1 : joint (fig. 5.3)	1	10 k	$P_2$ (tet)
		65 k	$P_1$ (tet)
#2 : hanger (fig. 5.10)	3	1 739 k	$P_1$ (tet)
		343 k	$P_2$ (tet)
#3 : hanger (fig. 5.10)	3	36 k	$Q_2$ (hex)
		290 k	$Q_1$ (hex)
#4 : carter (fig. 5.12)	1	1 210 k	$P_1$ (tet)
		373 k	$P_2$ (tet)
#5 : 747 (fig. 5.14)	1	1 385 k	$P_1$ (tet)
		577 k	$P_2$ (tet)
#6 : 40heads (fig. 5.14)	1	2 905 k	$P_1$ (tet)
		2 350 k	$P_2$ (tet)



# Performances

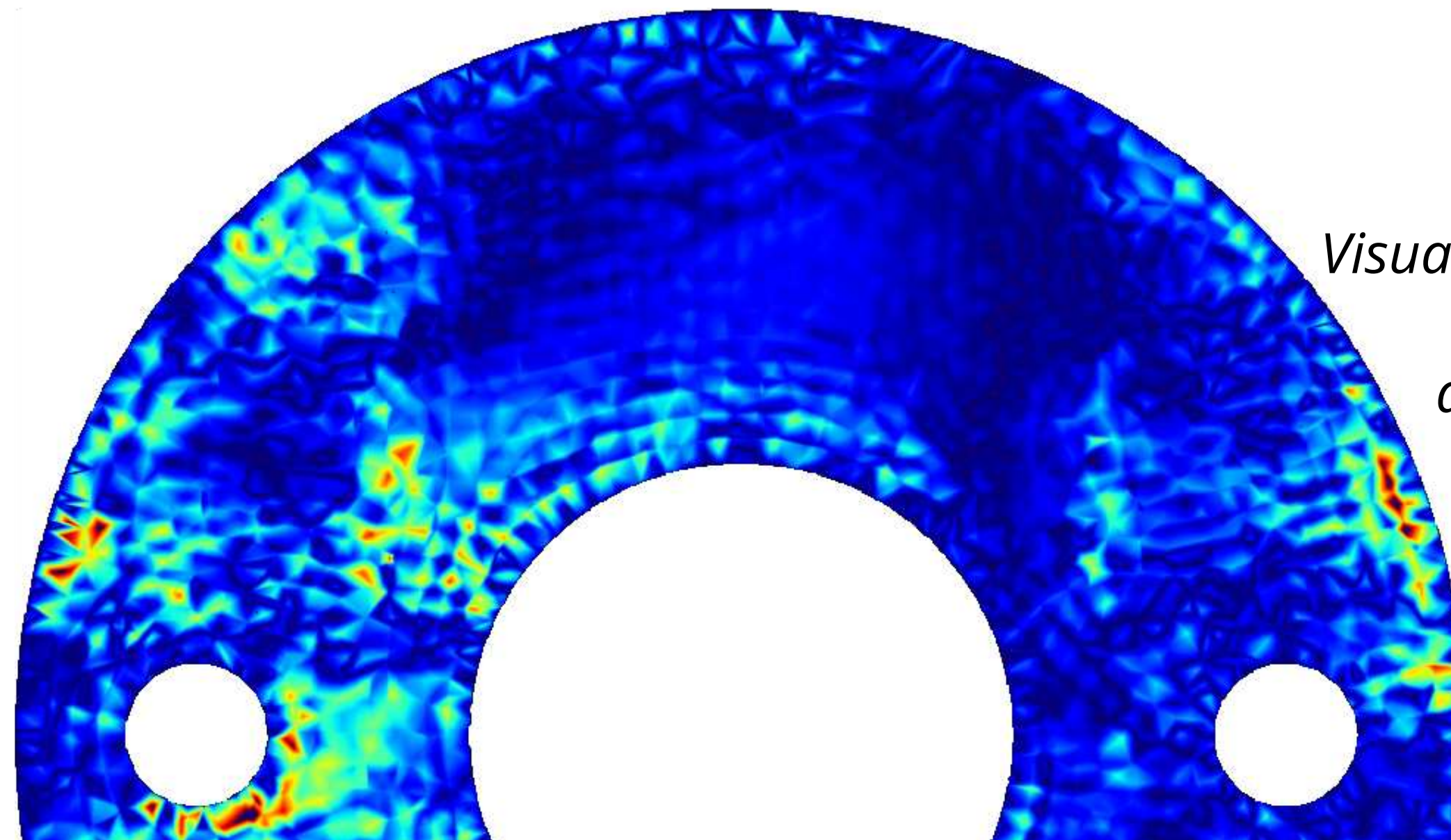
- Convergence de la distance L2 :
  - moins d'une seconde pour <1 million d'éléments
  - jusqu'à une minute pour très gros champs (~100M degrés de liberté)

model	dim	# cells	basis
#1 : joint (fig. 5.3)	1	10 k	$P_2$ (tet)
		65 k	$P_1$ (tet)
#2 : hanger (fig. 5.10)	3	1 739 k	$P_1$ (tet)
		343 k	$P_2$ (tet)
#3 : hanger (fig. 5.10)	3	36 k	$Q_2$ (hex)
		290 k	$Q_1$ (hex)
#4 : carter (fig. 5.12)	1	1 210 k	$P_1$ (tet)
		373 k	$P_2$ (tet)
#5 : 747 (fig. 5.14)	1	1 385 k	$P_1$ (tet)
		577 k	$P_2$ (tet)
#6 : 40heads (fig. 5.14)	1	2 905 k	$P_1$ (tet)
		2 350 k	$P_2$ (tet)



# Conclusion sur le calcul de distance

- Méthode *force-brute* très efficace en pratique
- Approximation des transformations non-affines peut être améliorée
- Implémentation GPU open source : <https://github.com/mxncr/FFES>
- Visualisation interactive (rendu de la différence en temps réel)



*Visualisation d'une tranche*

*différence entre :*

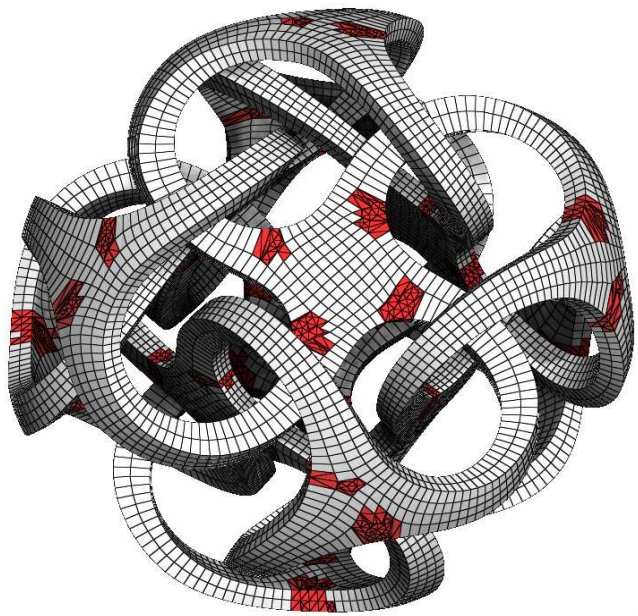
$\mathbb{P}_1$  et  $\mathcal{H}yb_1$

# Sommaire

## I. Génération de maillage hex-dominants

ALICE : mailleur hex-tet

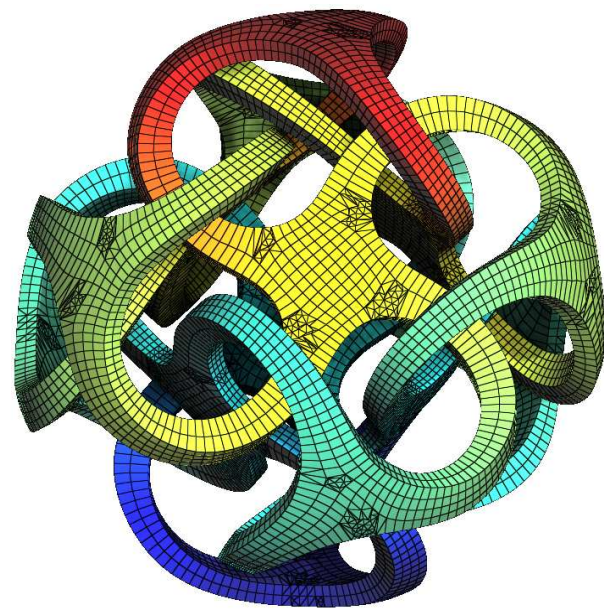
*contribution* : maillage robuste [Ray, Sokolov, Reberol, Ledoux, Levy '18]



## II. Éléments finis sur maillages hex-tet

*contribution* : espace continu  $\mathcal{Hyb}_k$  ( $\mathbb{Q}_k, \mathbb{P}_{2k}, \mathbb{P}_k$ )

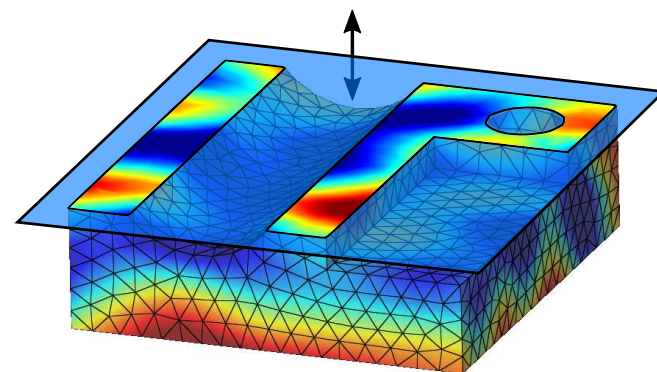
*rapport* [Reberol et Lévy '16]



## III. Méthode d'évaluation

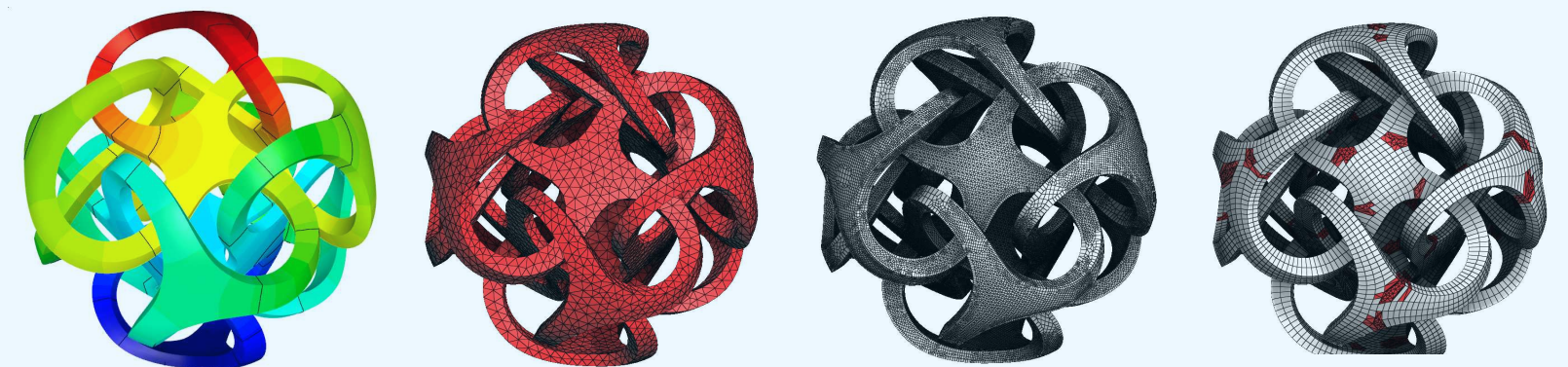
*contribution* : calcul de distance efficace

*article* [Reberol et Lévy '18]



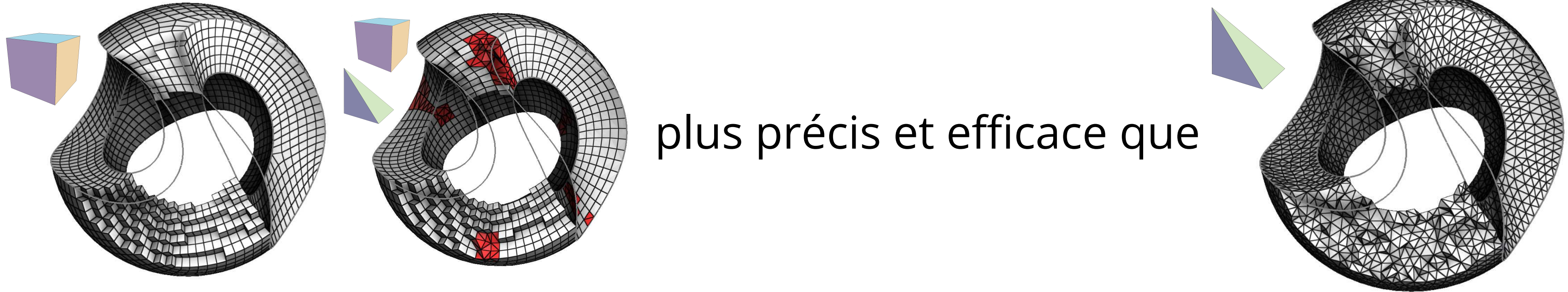
$$\|u_h - u_{ref}\|$$

## IV. Comparaisons de solutions



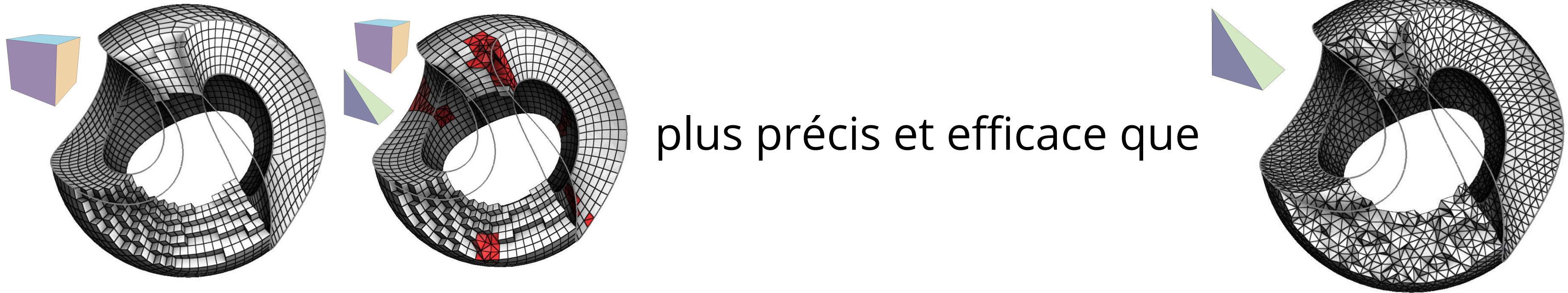
# Influence des maillages sur les solutions

- Littérature (génération maillage) et connaissances communes :



# Influence des maillages sur les solutions

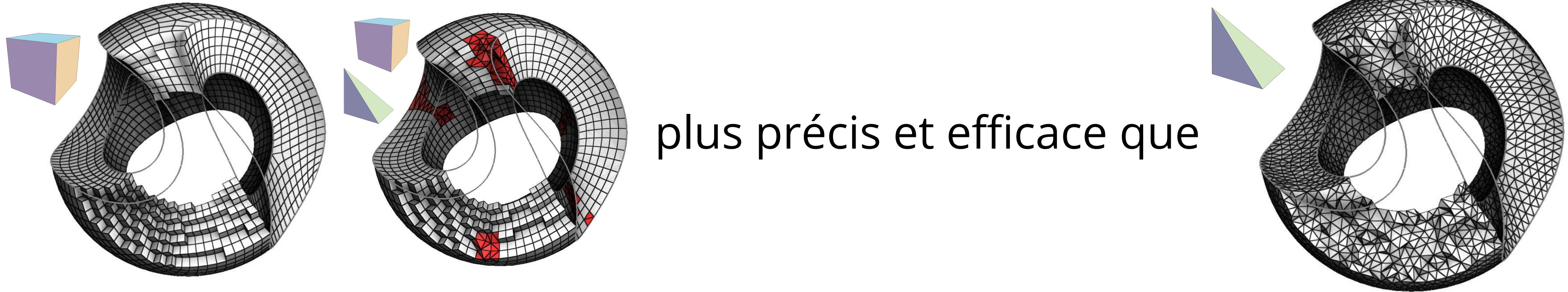
- Littérature (génération maillage) et connaissances communes :



- Arguments intrinsèques :
  - termes polynomiaux supplémentaires
  - alignement avec les bords
  - moins de blocage (shear locking) *[Cook et al. '02]*

# Influence des maillages sur les solutions

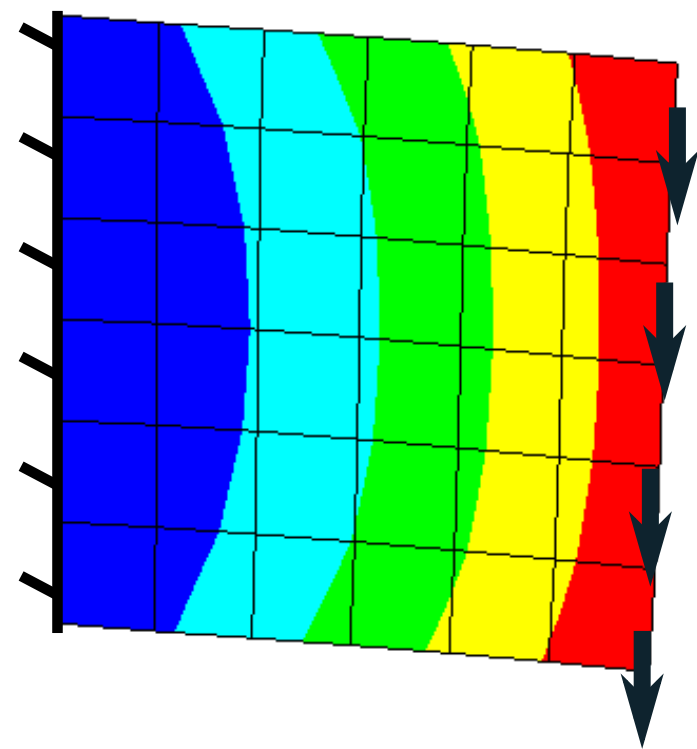
- Littérature (génération maillage) et connaissances communes :



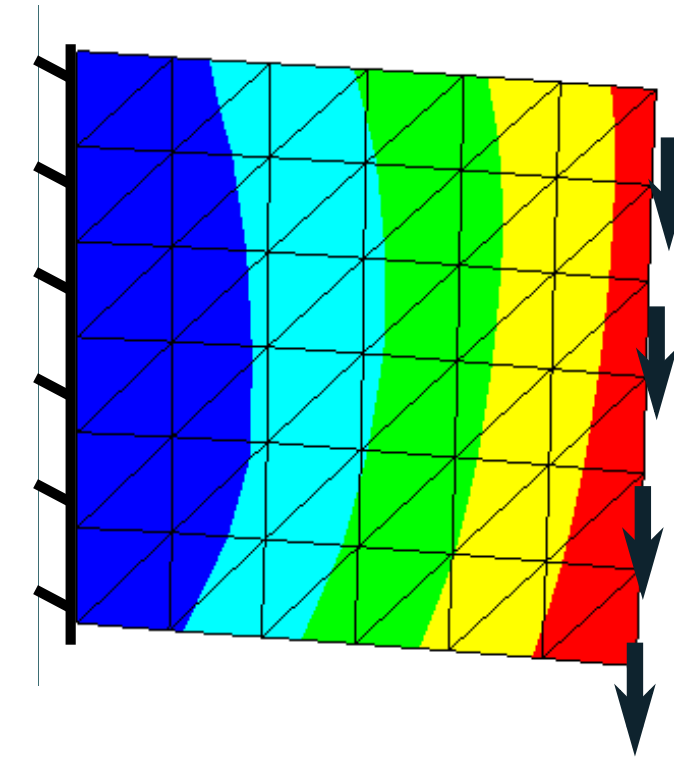
- Arguments intrinsèques :
  - termes polynomiaux supplémentaires
  - alignement avec les bords
  - moins de blocage (shear locking) *[Cook et al. '02]*
- Arguments numériques :
  - factorisation-somme, éléments spectraux (si ordres élevés) *[Orszag '80, Remacle et al. '16]*
  - améliorables (éléments incompatibles / hybrides) (si mécanique) *[Pian et Tong '86]*
  - régularité exploitable (si structuré par blocs) *[Turek et al. '99, '06]*

# Essais simples en 2D : élasticité linéaire

- Comparaison entre Q1 et P1 :

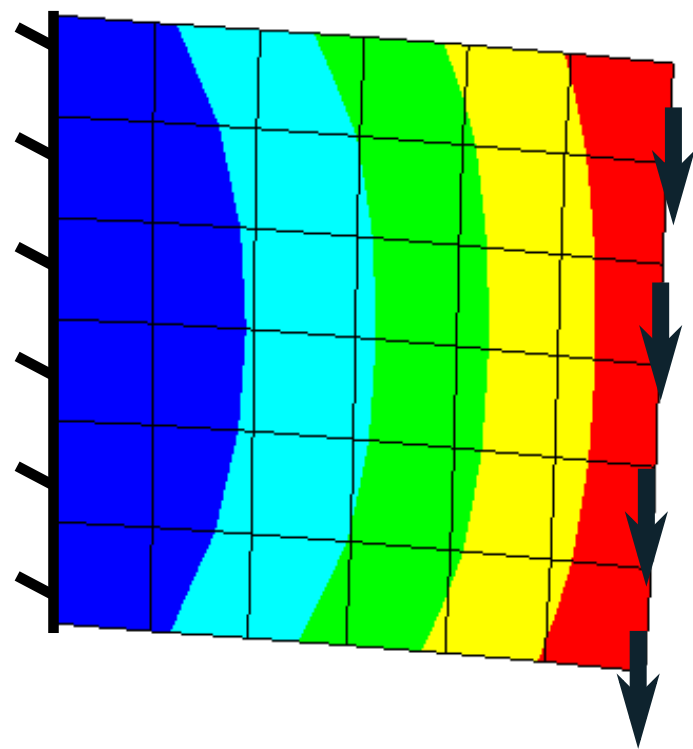


x1.7 plus précis que

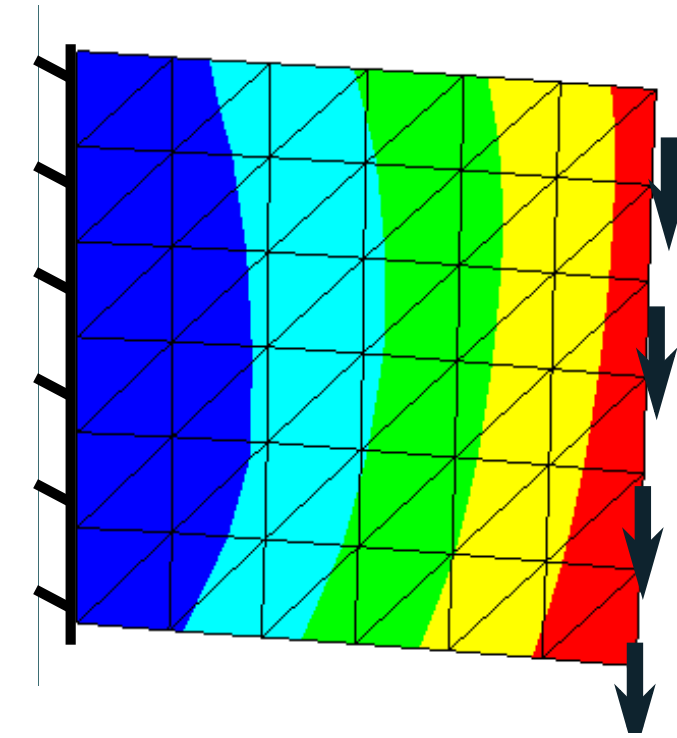


# Essais simples en 2D : élasticité linéaire

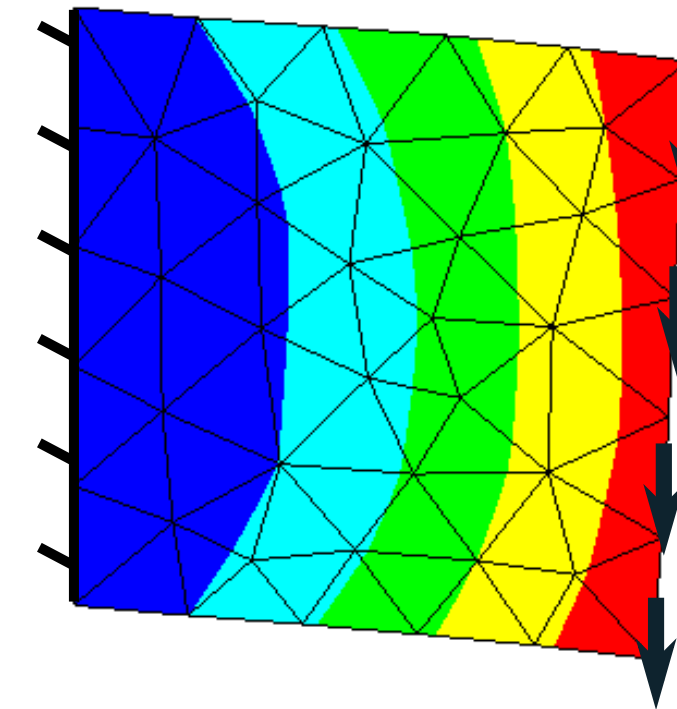
- Comparaison entre Q1 et P1 :



x1.7 plus précis que



équivalent à



Triangles (tets) obtenus par subdivision de quads (hexs) non représentatifs de la réalité mais c'est souvent ce qui est présenté et cité dans la littérature

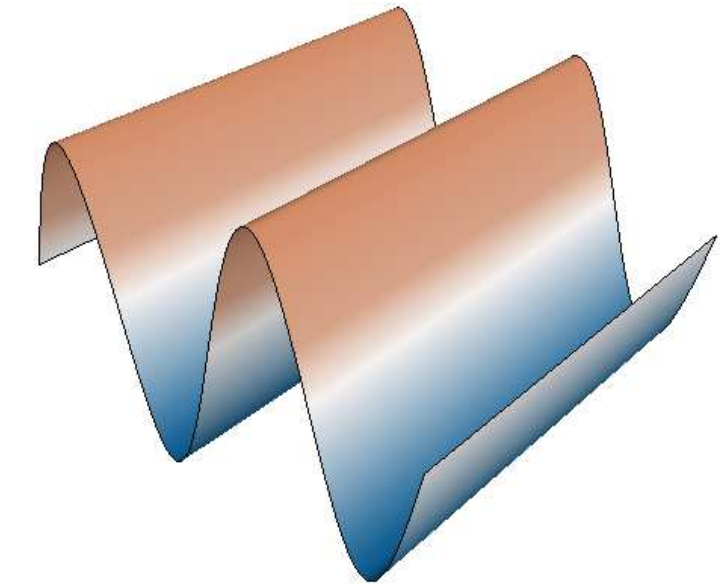
# Essais simples en 2D : alignement

- Comparaison entre Q1 et Q1 *tournés de 45 degrés* :

Problème :

$$\begin{cases} -\Delta u - (4\pi)^2 u = 0 & \text{dans } \Omega \\ u = \sin(4\pi x) & \text{sur } \partial\Omega \end{cases}$$

Solution :



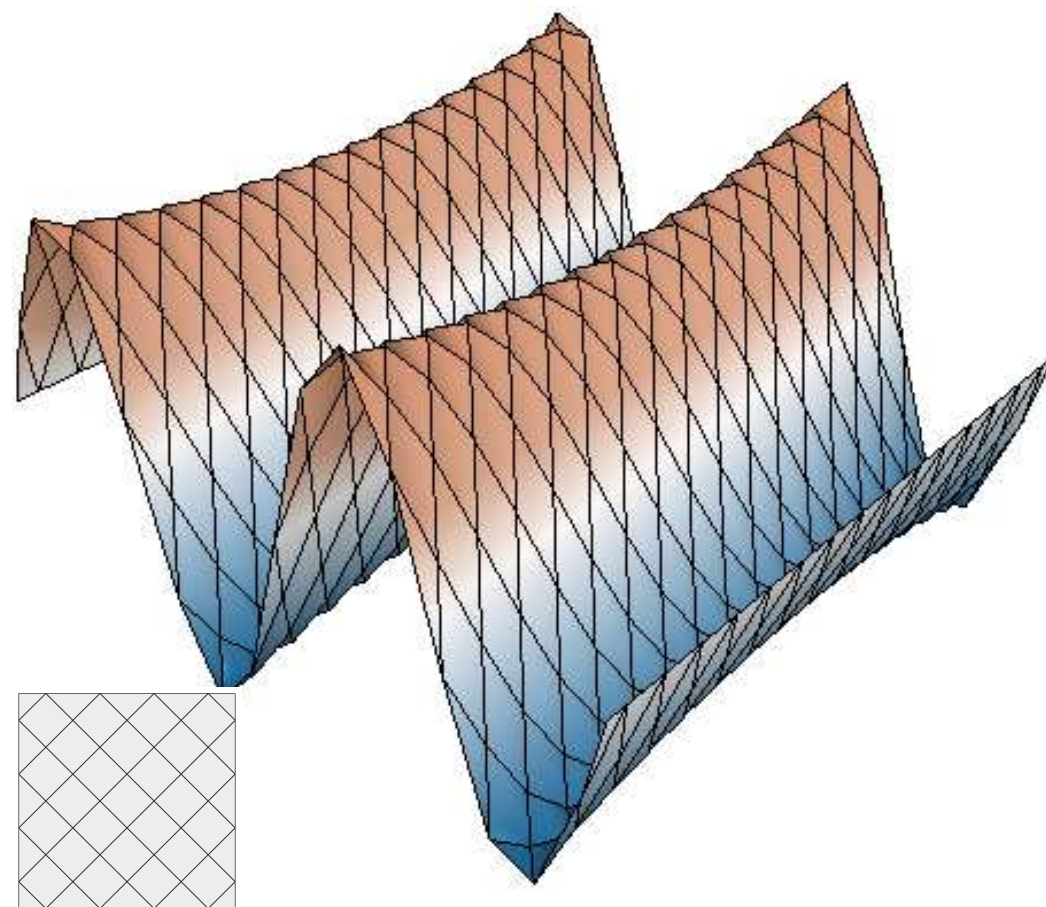
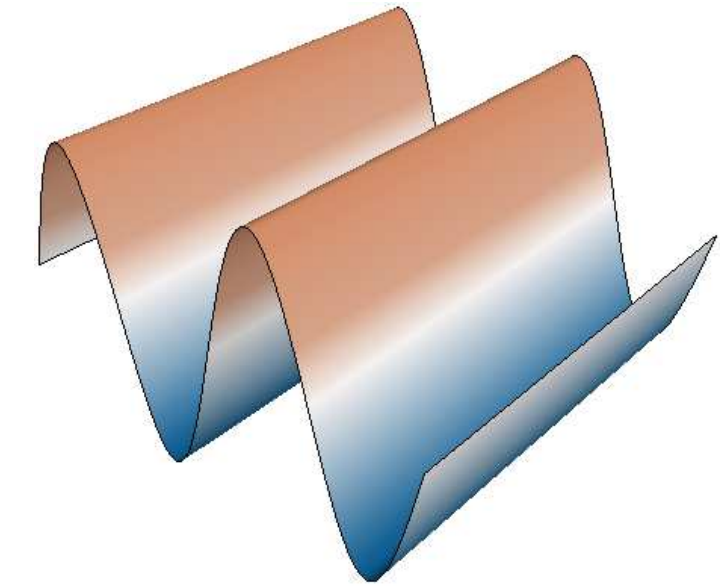
# Essais simples en 2D : alignement

- Comparaison entre Q1 et Q1 *tournés de 45 degrés* :

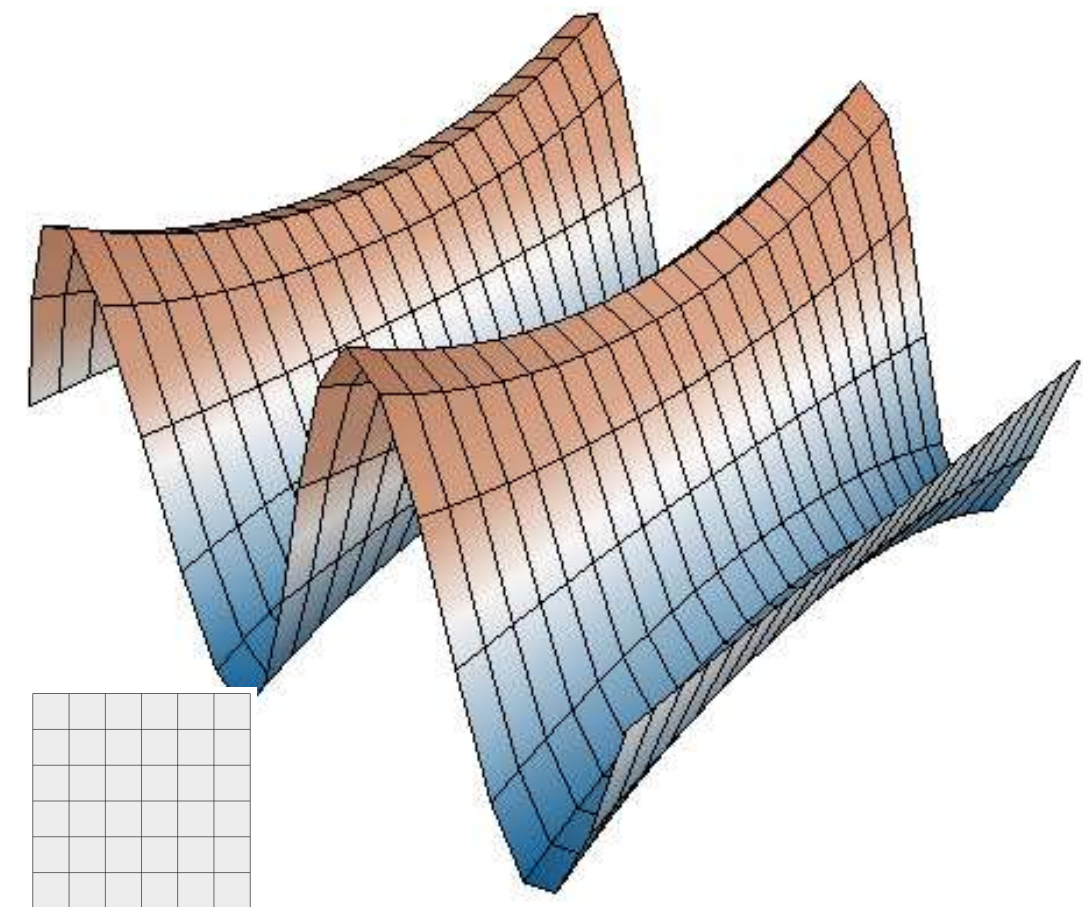
Problème :

$$\begin{cases} -\Delta u - (4\pi)^2 u = 0 & \text{dans } \Omega \\ u = \sin(4\pi x) & \text{sur } \partial\Omega \end{cases}$$

Solution :



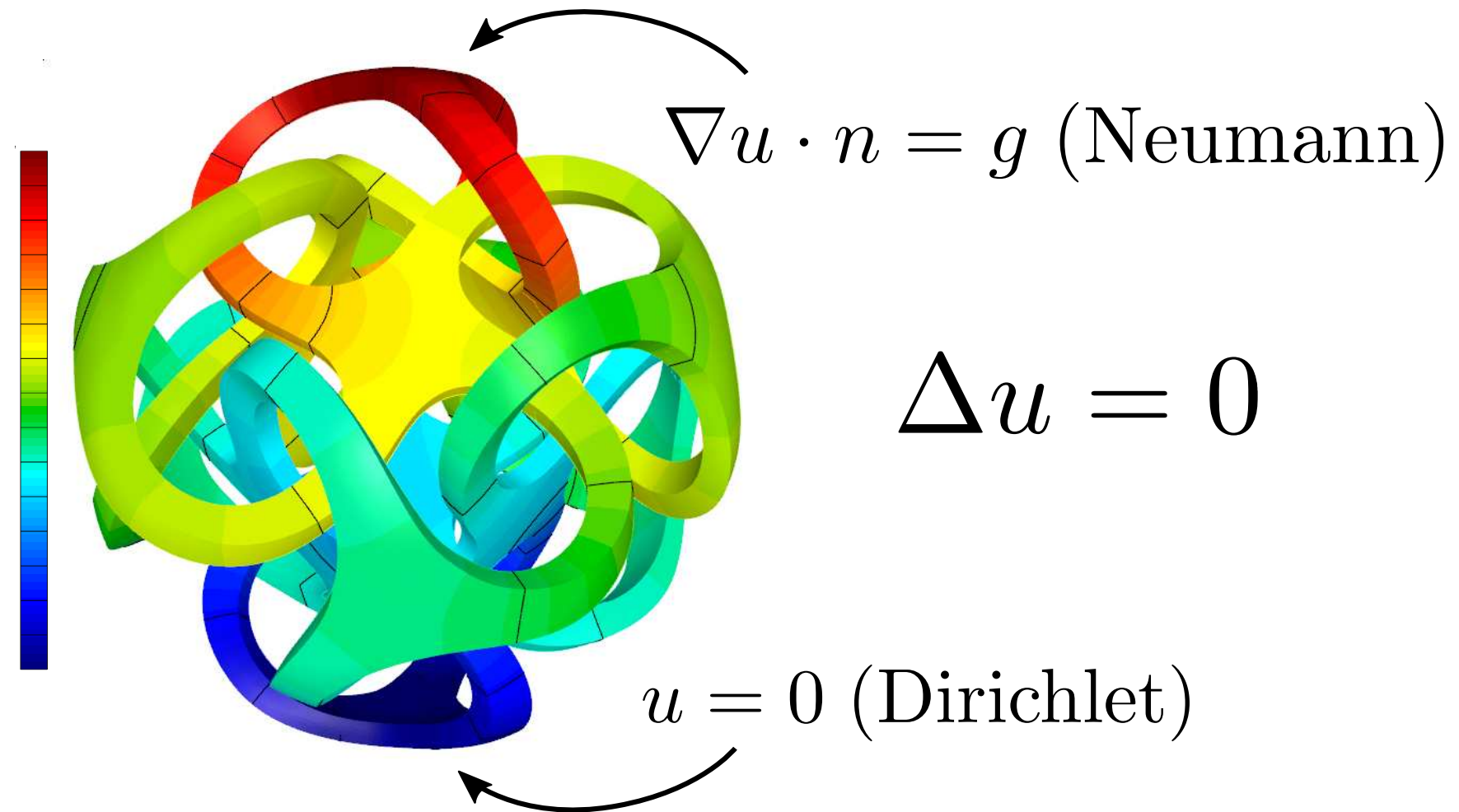
25% plus précis que



(car termes croisés alignés avec diagonales des quads)

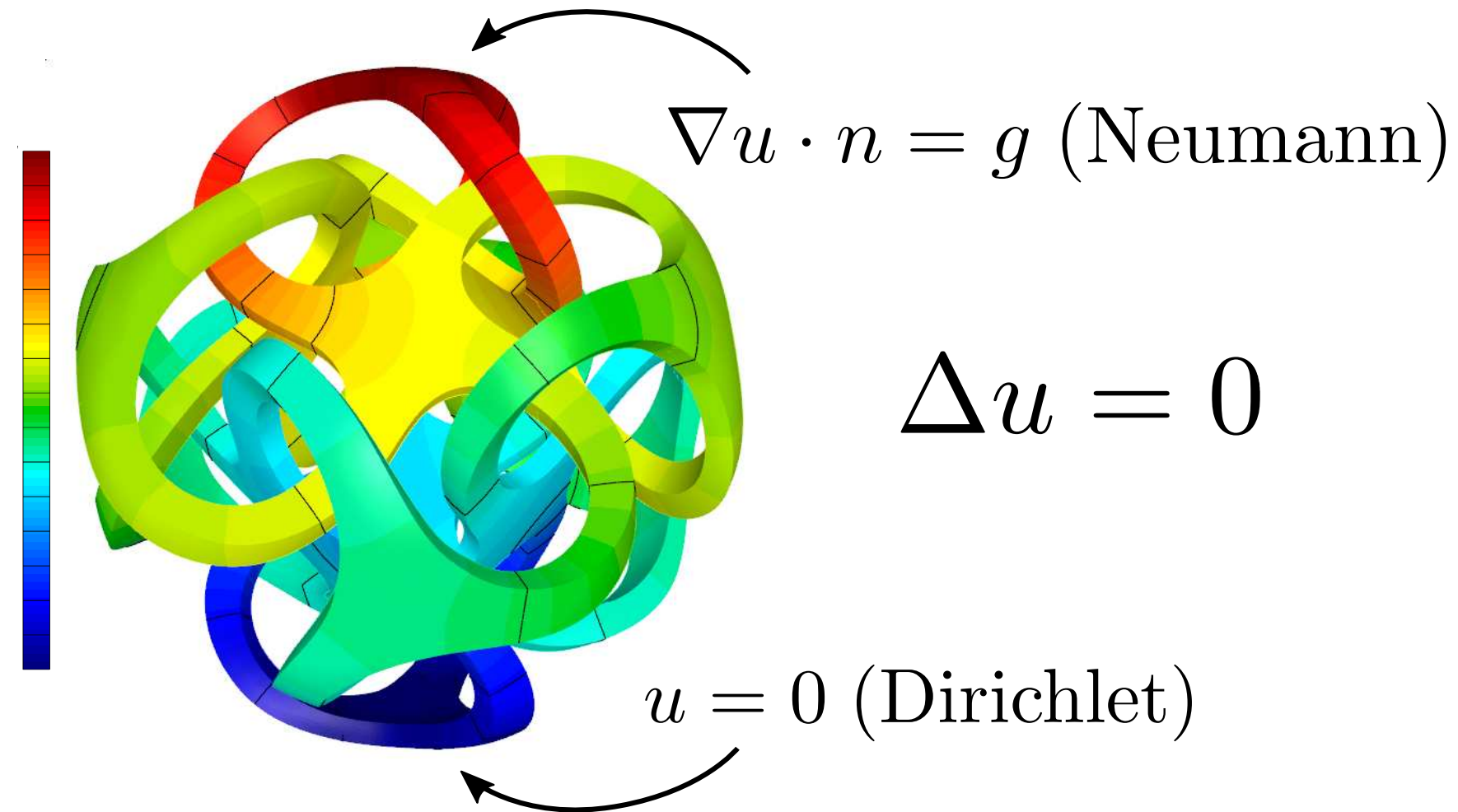
# Problème de Poisson sur le métatron

- Problème et solution :



# Problème de Poisson sur le métatron

- Problème et solution :

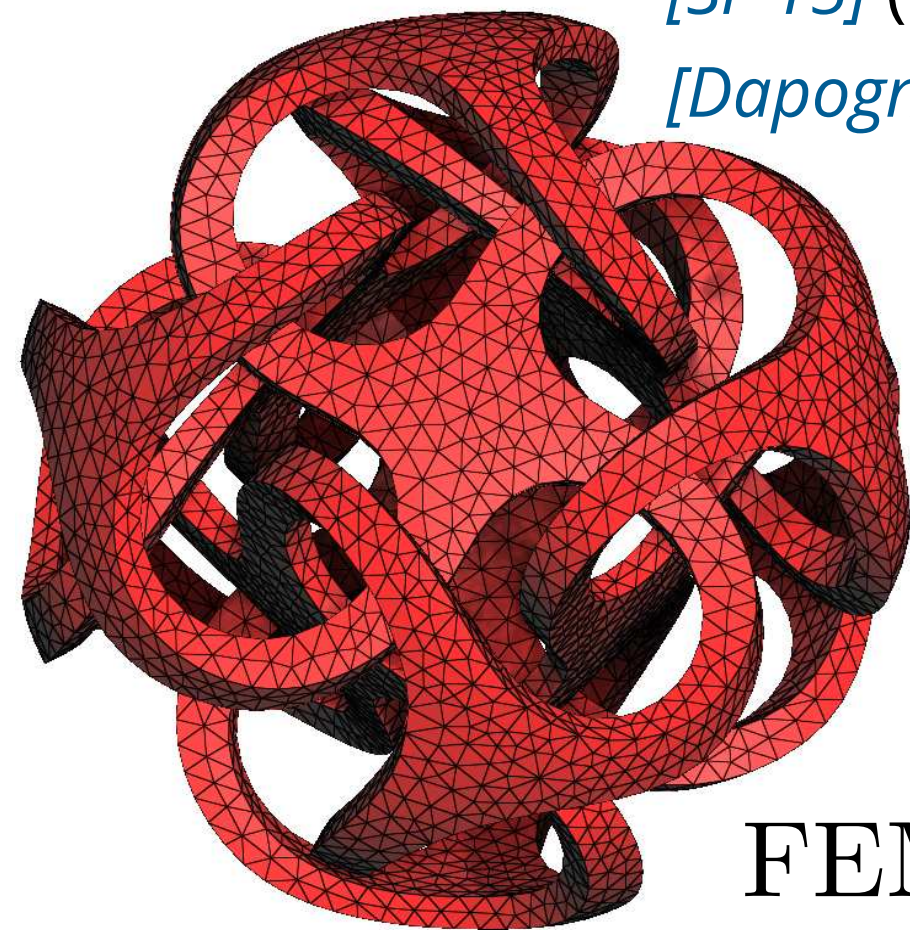


- Types de maillages :

[Si '15] (TetGen)

[Dapogny et al. '14]

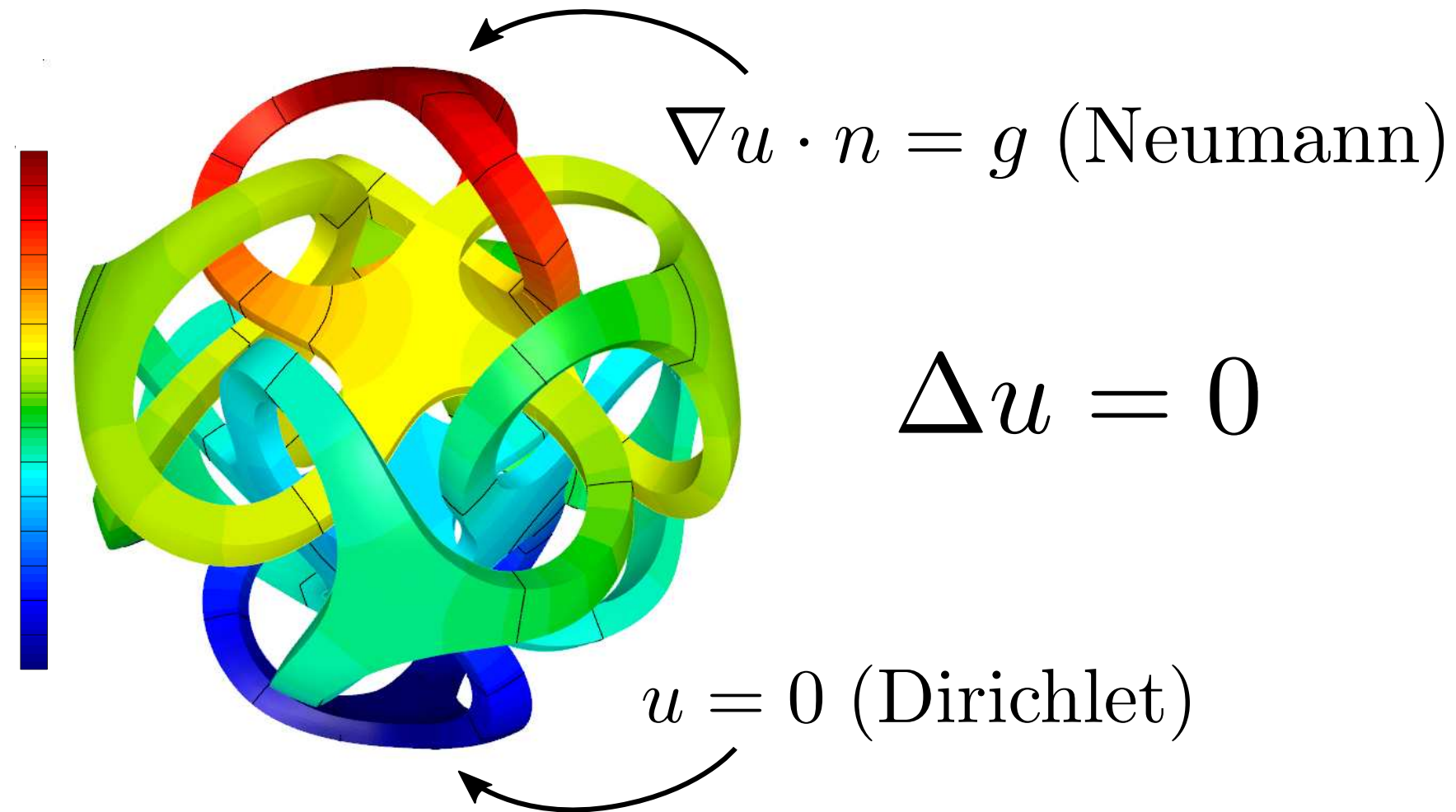
(mmg3d)



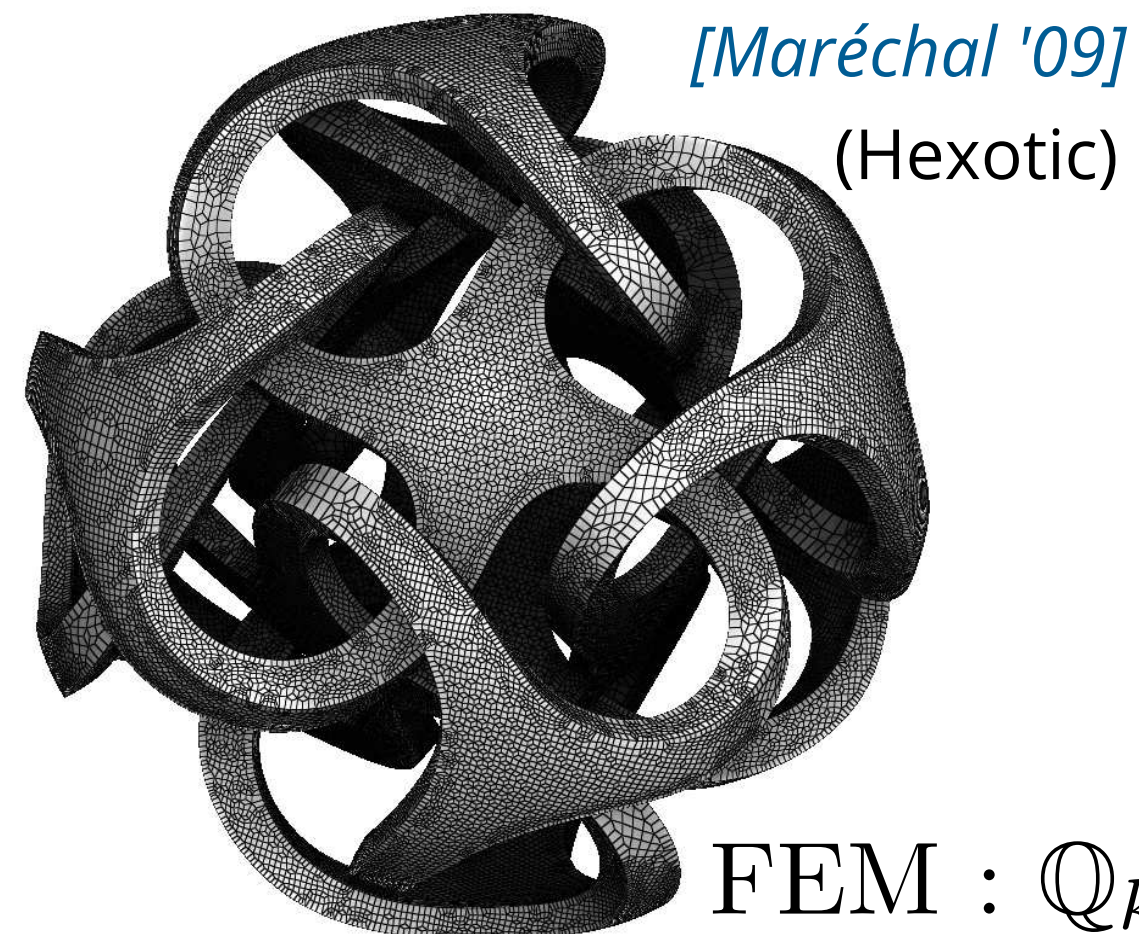
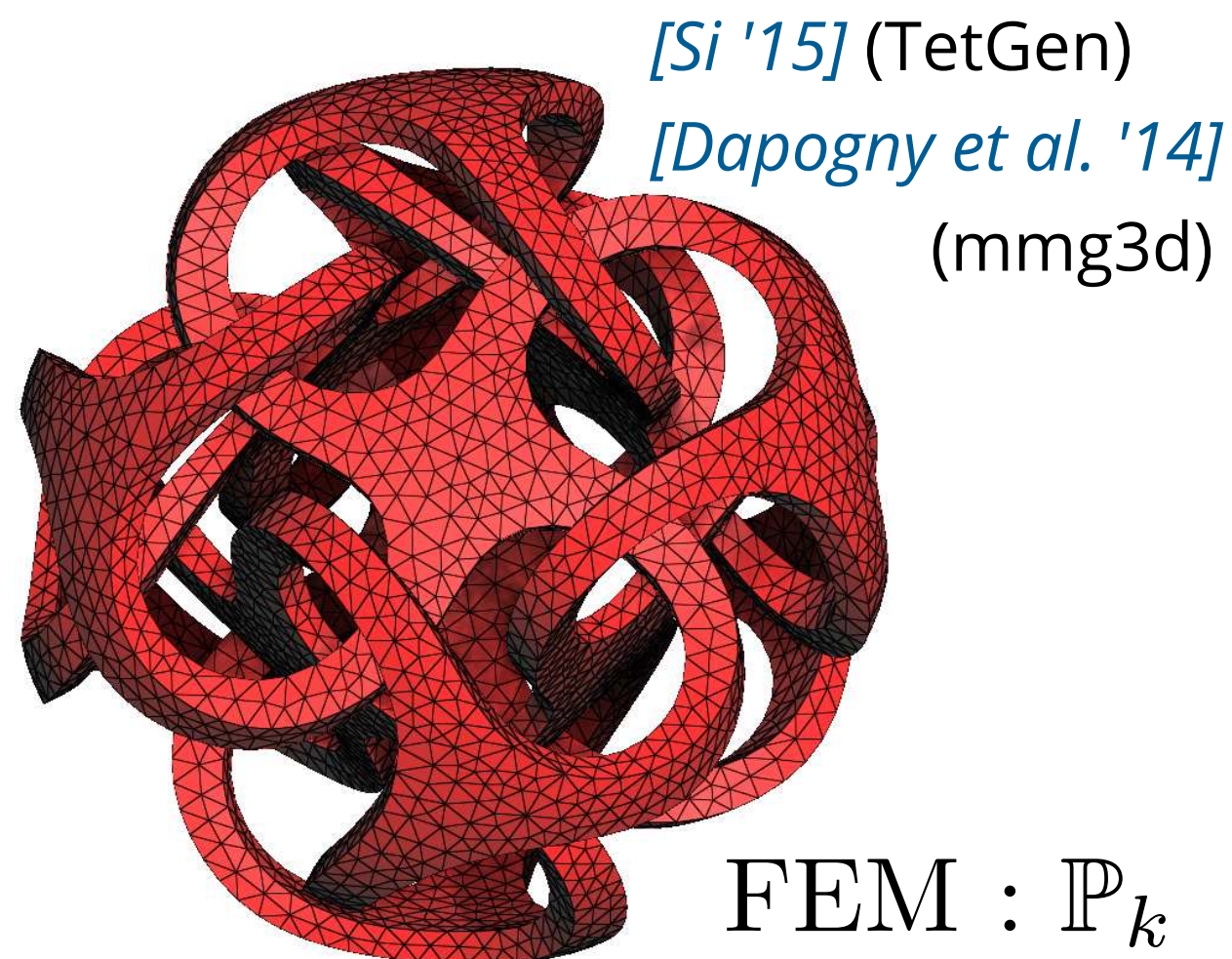
FEM :  $\mathbb{P}_k$

# Problème de Poisson sur le métatron

- Problème et solution :

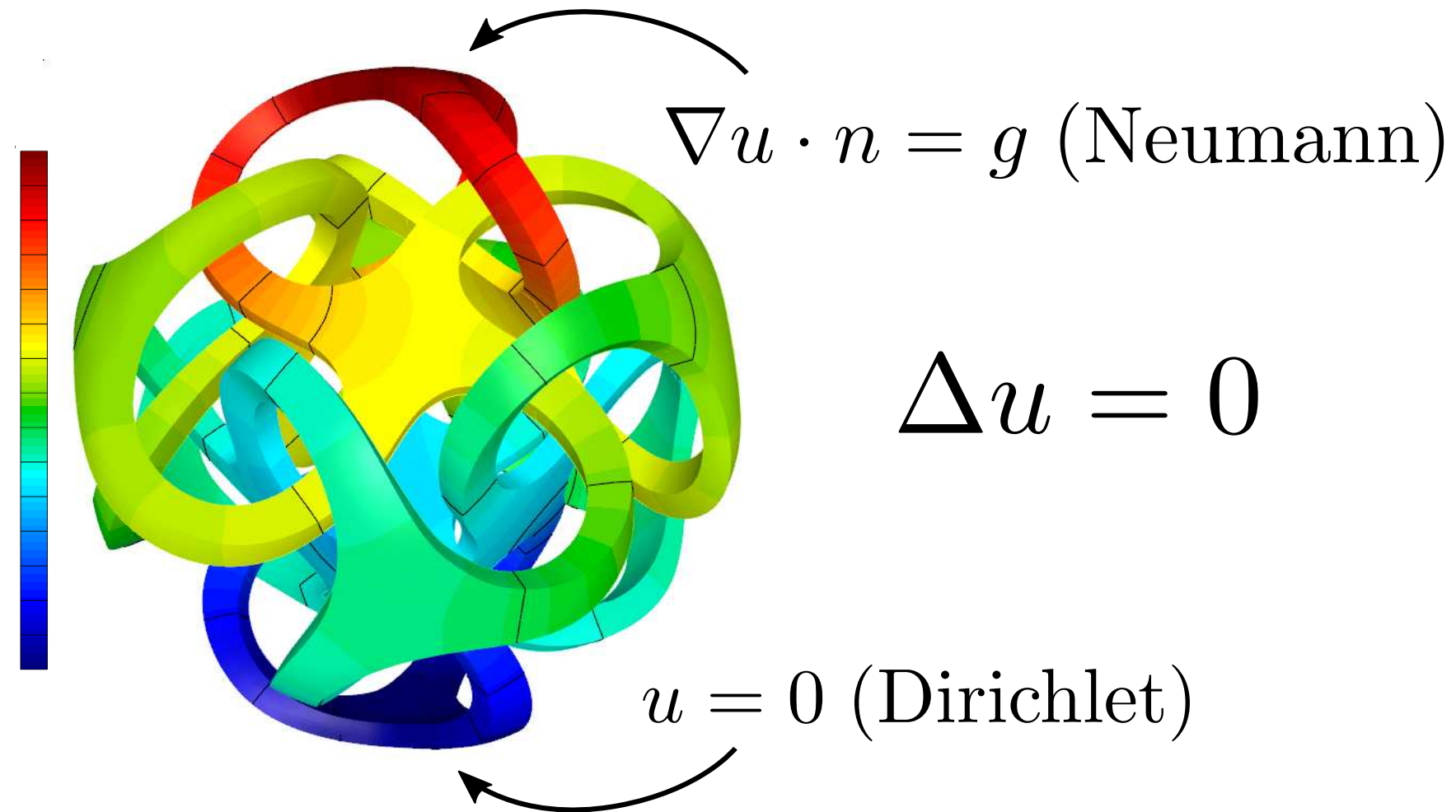


- Types de maillages :

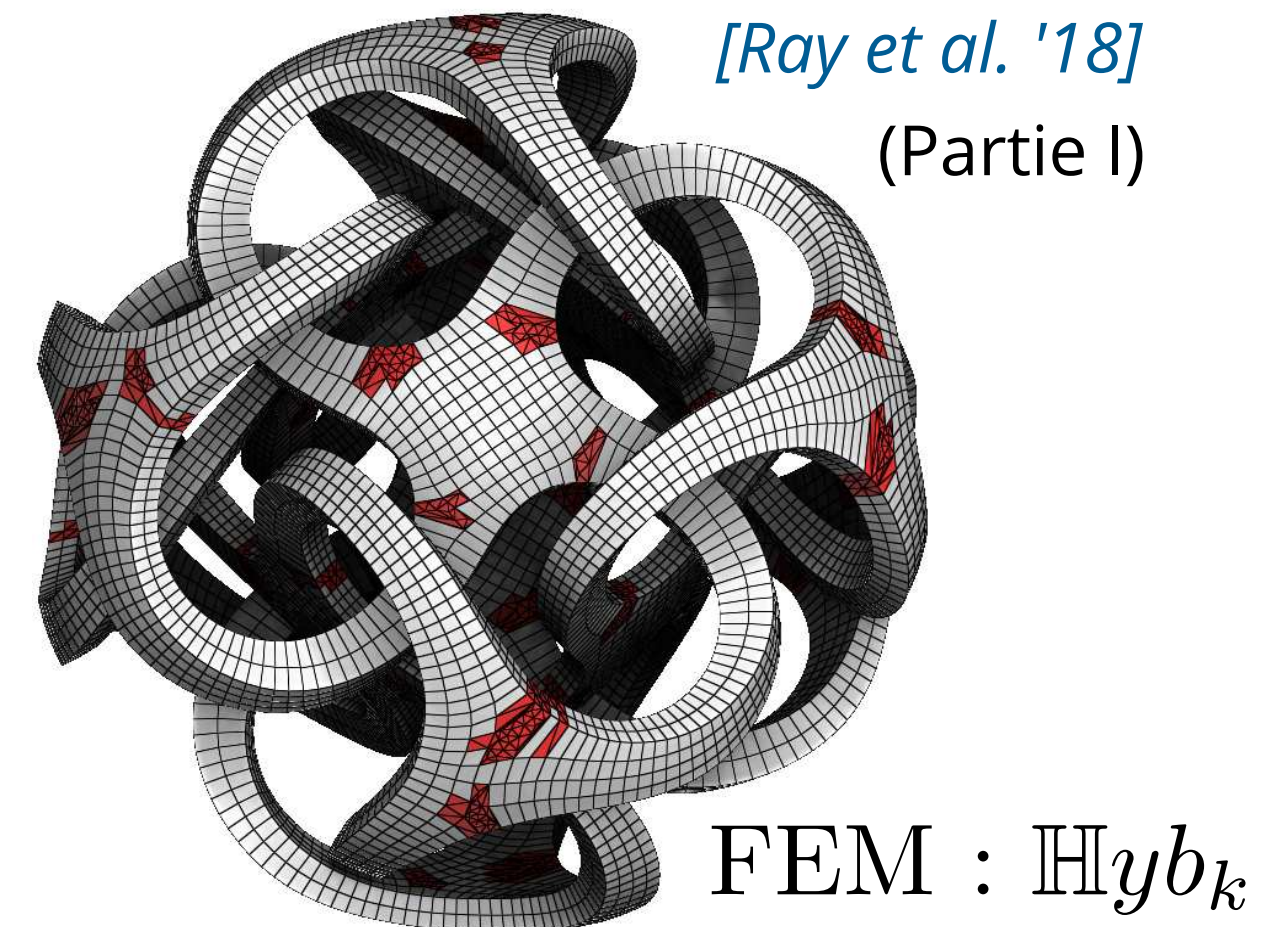
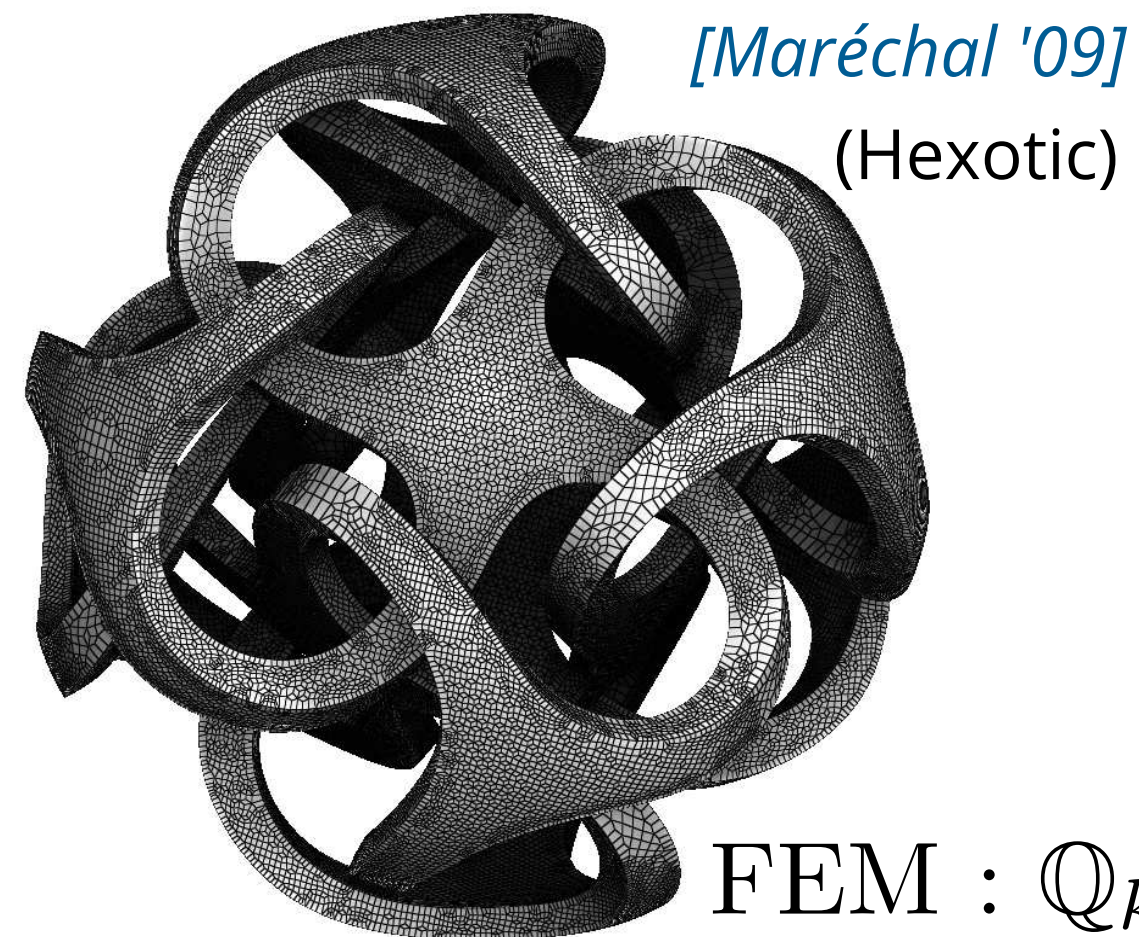
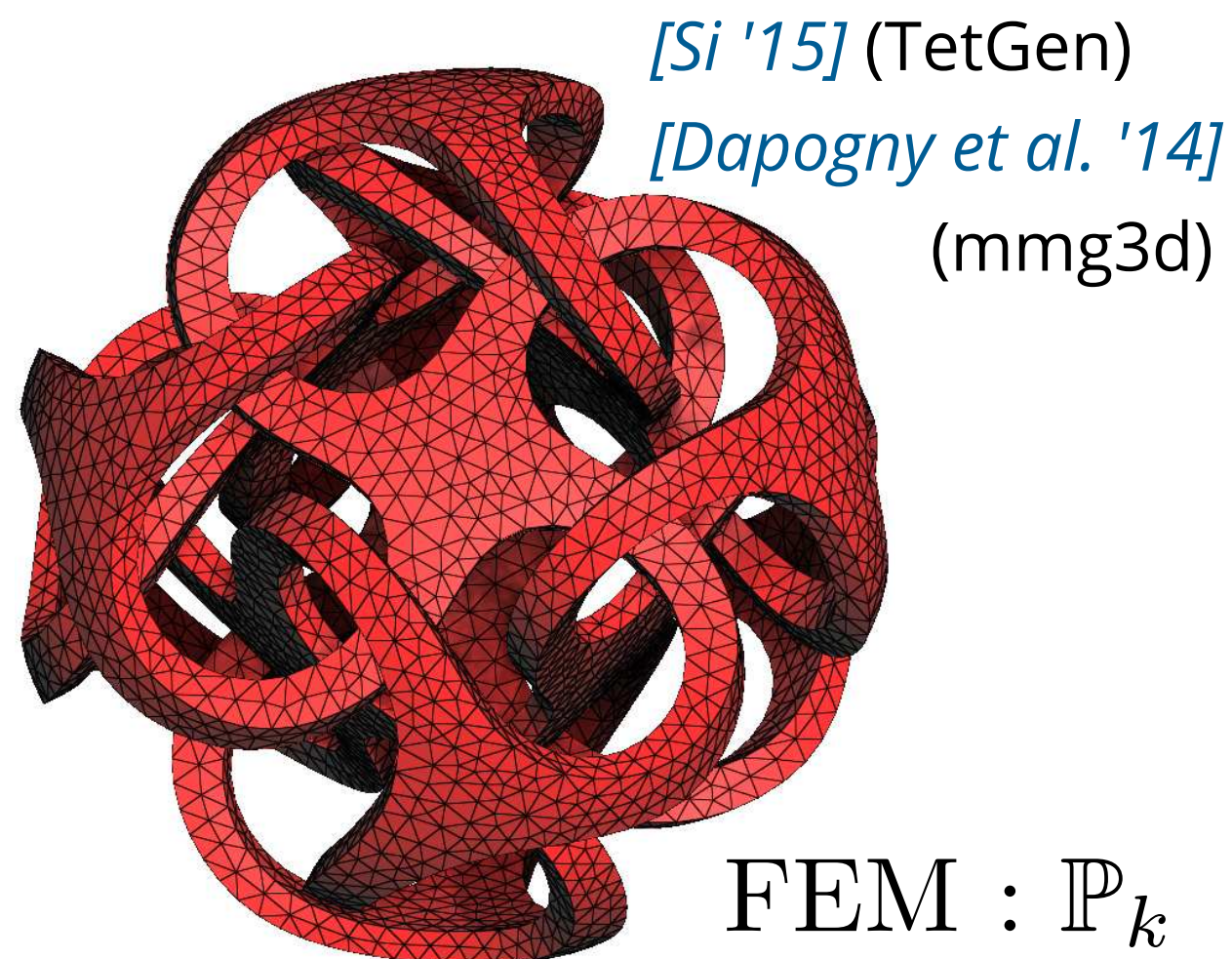


# Problème de Poisson sur le métatron

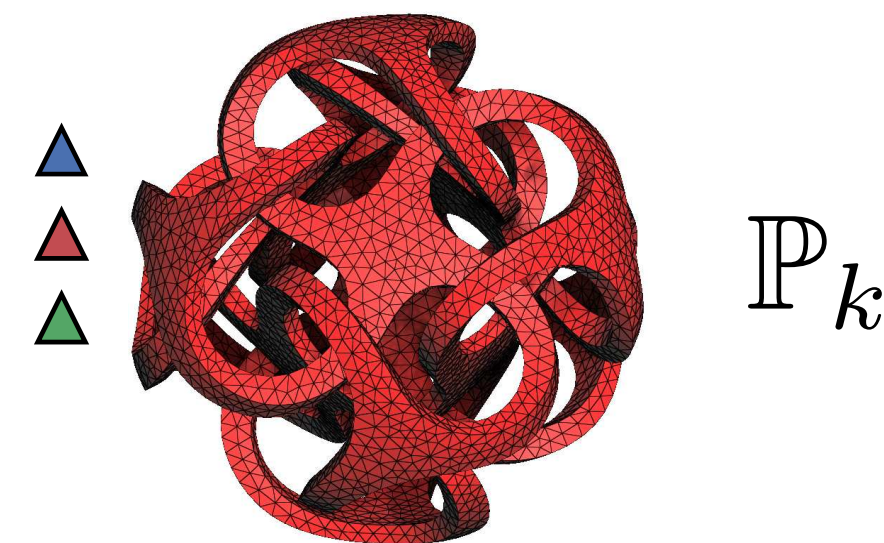
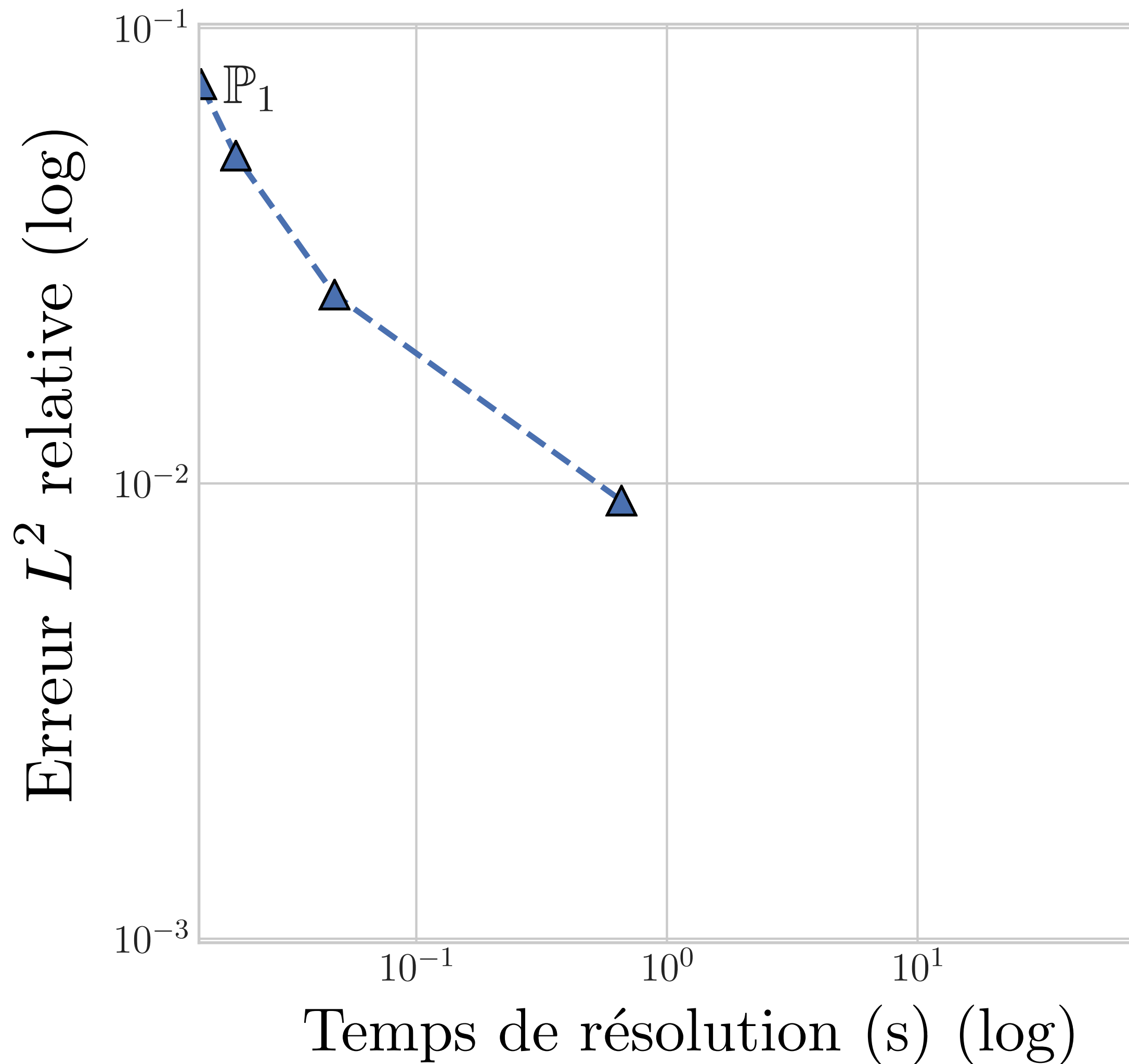
- Problème et solution :



- Types de maillages :

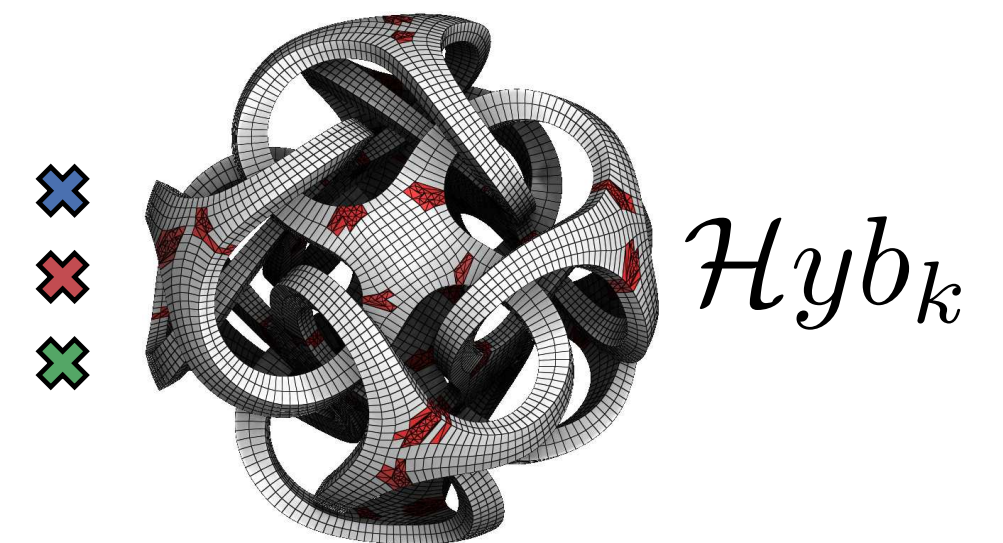
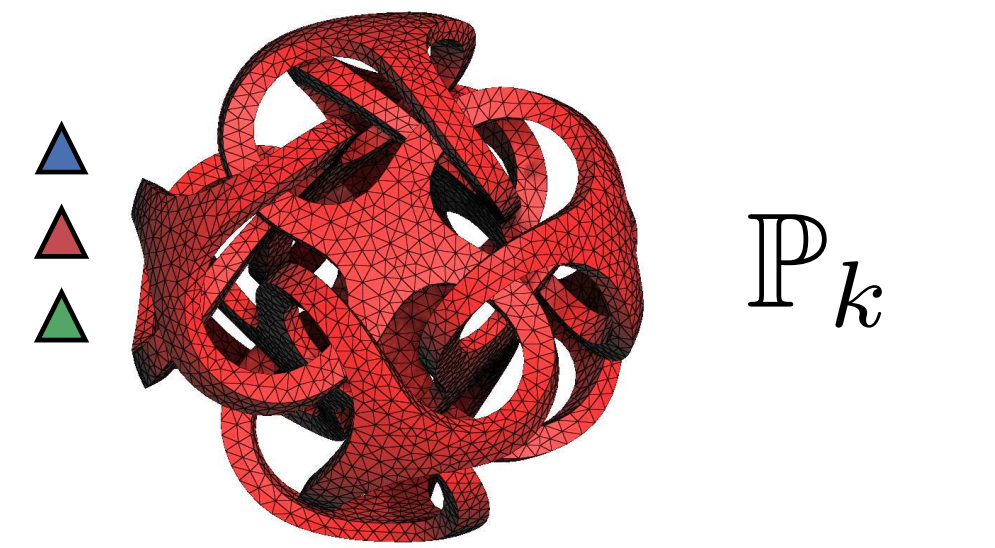
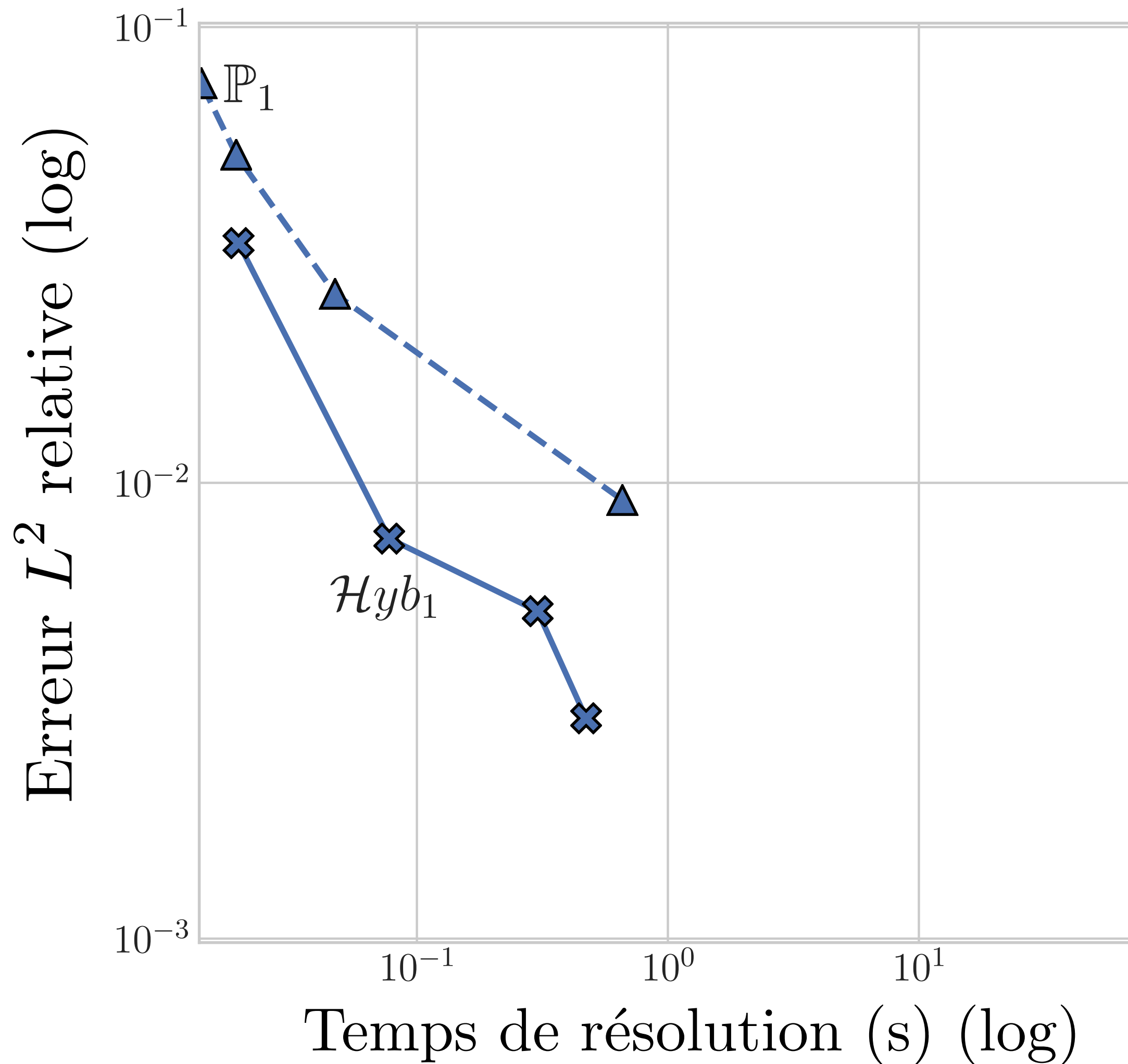


# Performances sur le problème Poisson-métatron



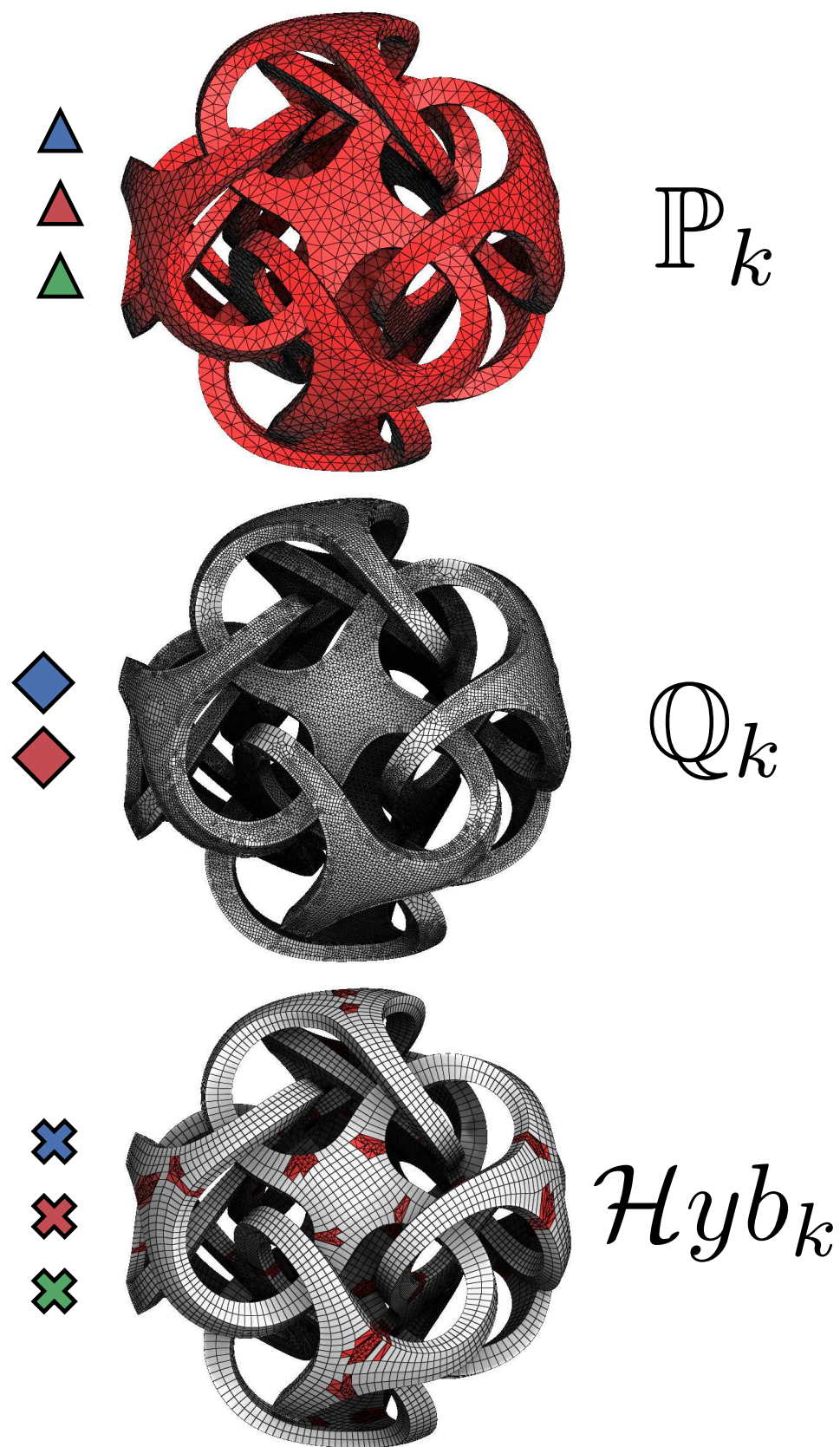
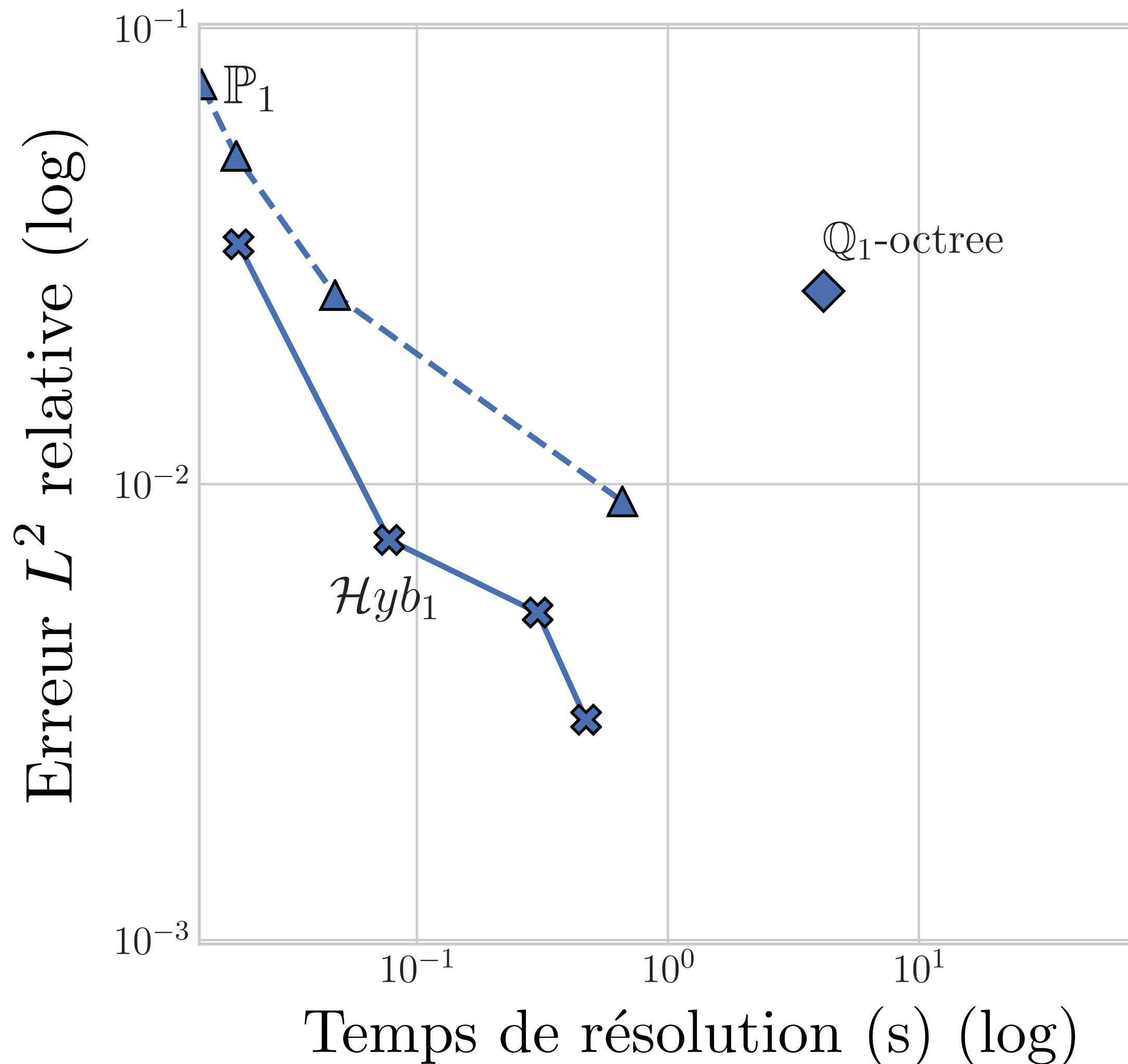
Calcul de distances :  
- 72M échantillons  
- référence : P4, 20M ddl

# Performances sur le problème Poisson-métatron



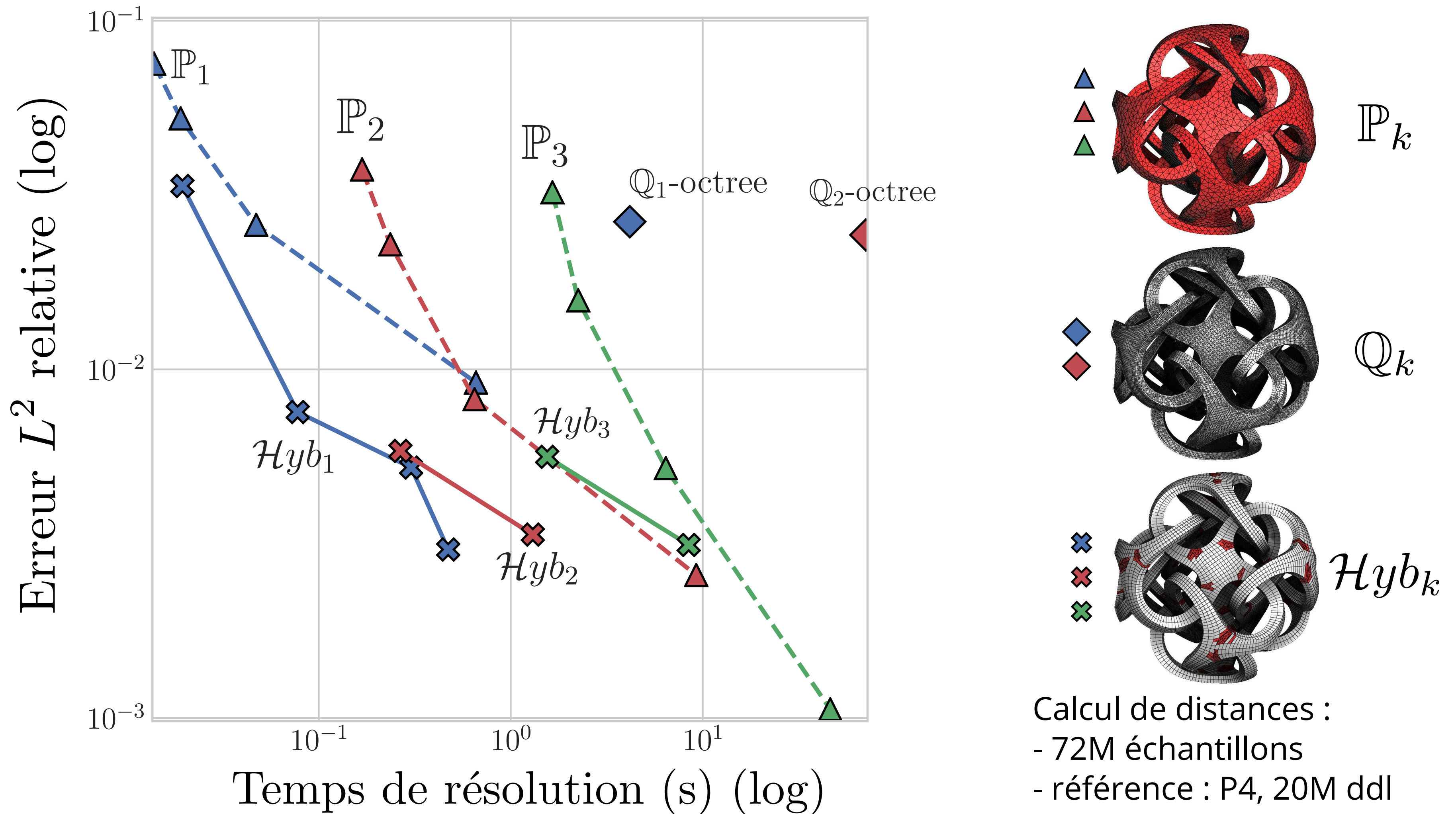
Calcul de distances :  
- 72M échantillons  
- référence : P4, 20M ddl

# Performances sur le problème Poisson-métatron



Calcul de distances :  
 - 72M échantillons  
 - référence : P4, 20M ddl

# Performances sur le problème Poisson-métatron

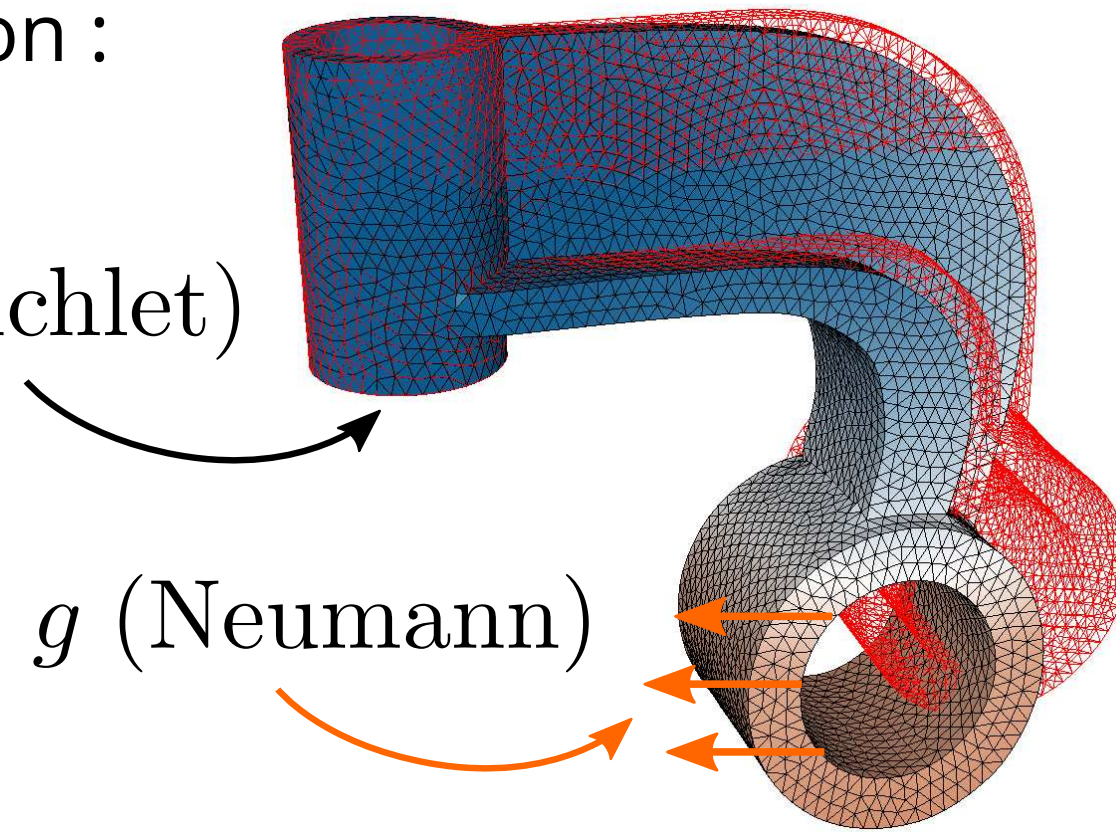


# Problème d'élasticité linéaire sur le hanger

- Problème et solution :

$$u = 0 \text{ (Dirichlet)}$$

$$\sigma(u) \cdot n = g \text{ (Neumann)}$$



Équations de l'élasticité linéaire :

$$\nabla \cdot \sigma(\mathbf{u}) + \mathbf{f} = 0$$

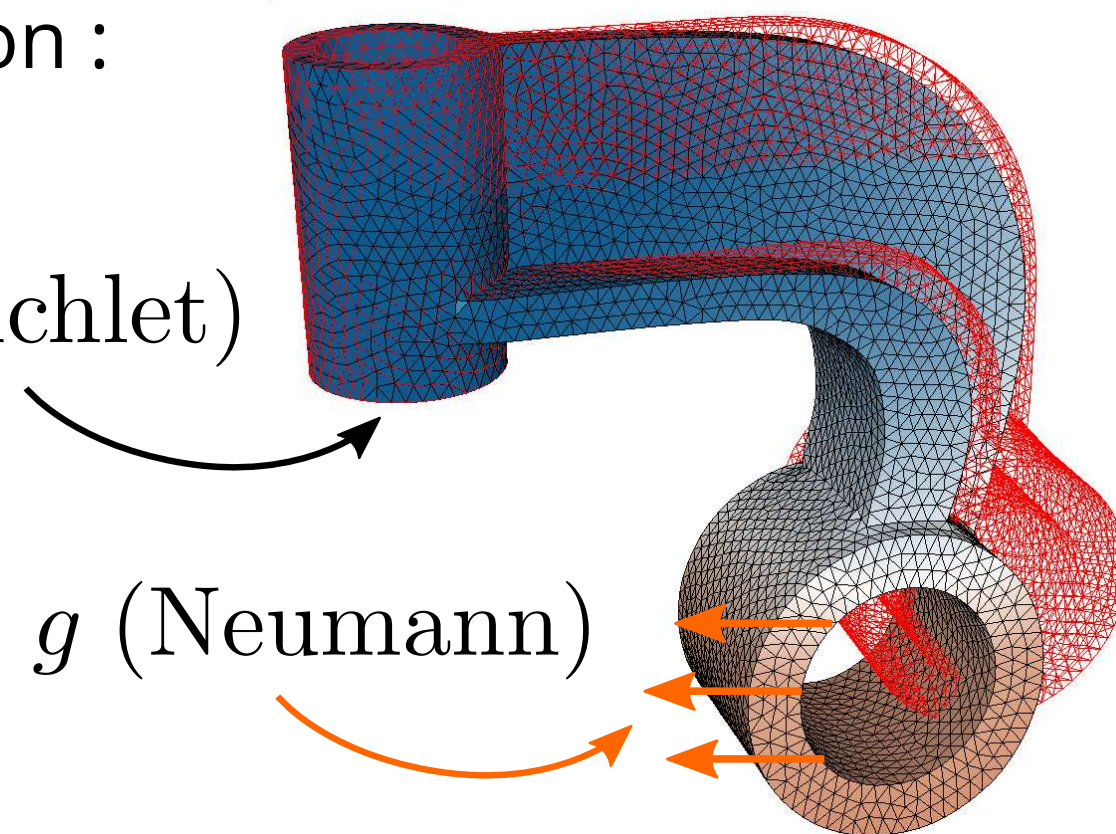
$$\sigma(\mathbf{u}) = \lambda(\nabla \cdot \mathbf{u})\mathcal{I} + \mu(\nabla \cdot \mathbf{u} + \nabla \cdot \mathbf{u}^T)$$

# Problème d'élasticité linéaire sur le hanger

- Problème et solution :

$$u = 0 \text{ (Dirichlet)}$$

$$\sigma(u) \cdot n = g \text{ (Neumann)}$$

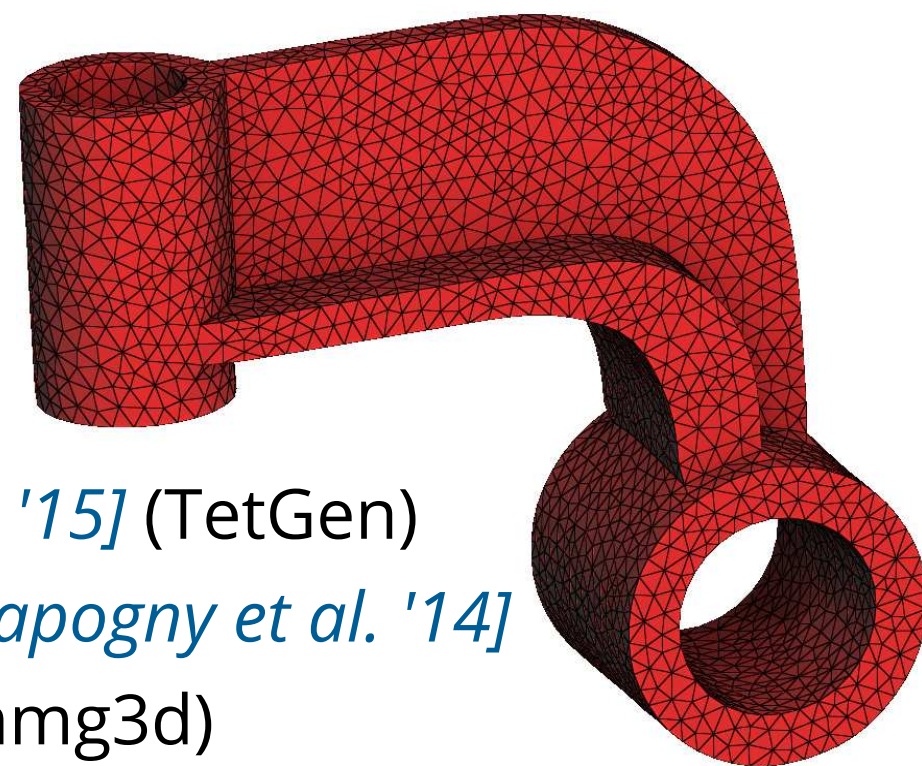


Équations de l'élasticité linéaire :

$$\nabla \cdot \sigma(\mathbf{u}) + \mathbf{f} = 0$$

$$\sigma(\mathbf{u}) = \lambda(\nabla \cdot \mathbf{u})\mathcal{I} + \mu(\nabla \cdot \mathbf{u} + \nabla \cdot \mathbf{u}^T)$$

- Types de maillages :



[Si '15] (TetGen)

[Dapogny et al. '14]

(mmg3d)

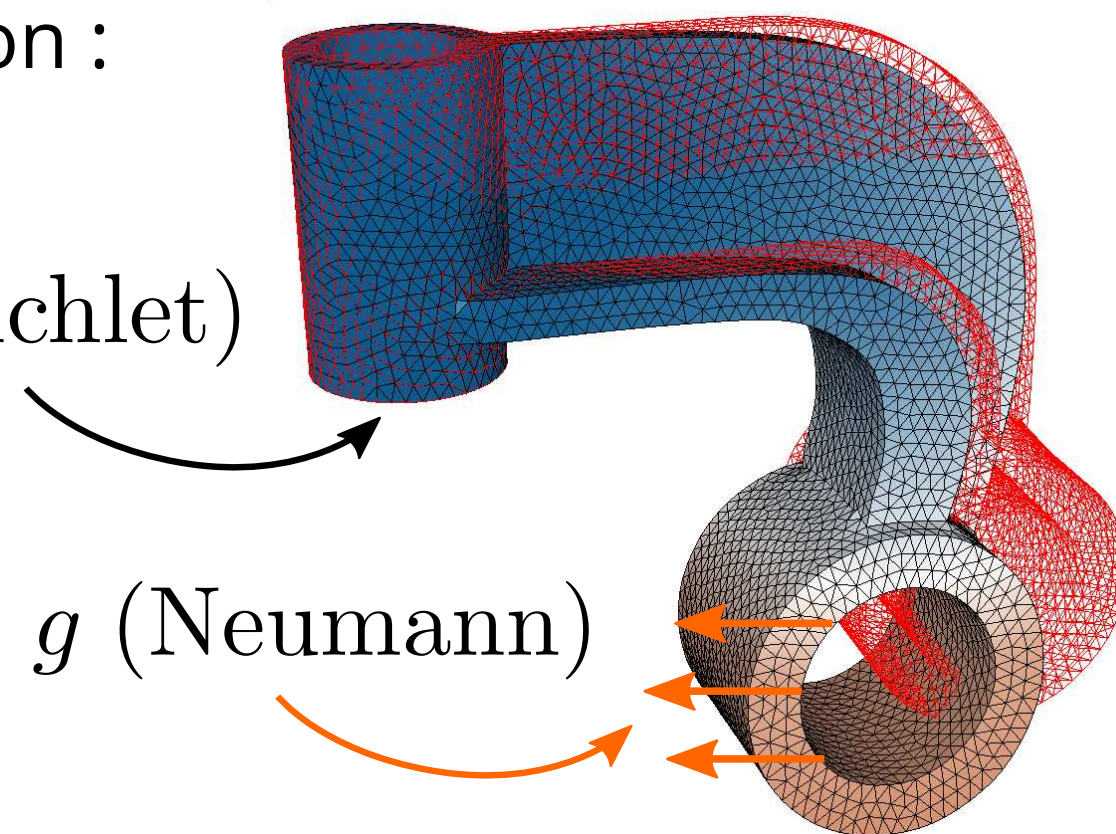
FEM :  $\mathbb{P}_k$

# Problème d'élasticité linéaire sur le hanger

- Problème et solution :

$$u = 0 \text{ (Dirichlet)}$$

$$\sigma(u) \cdot n = g \text{ (Neumann)}$$

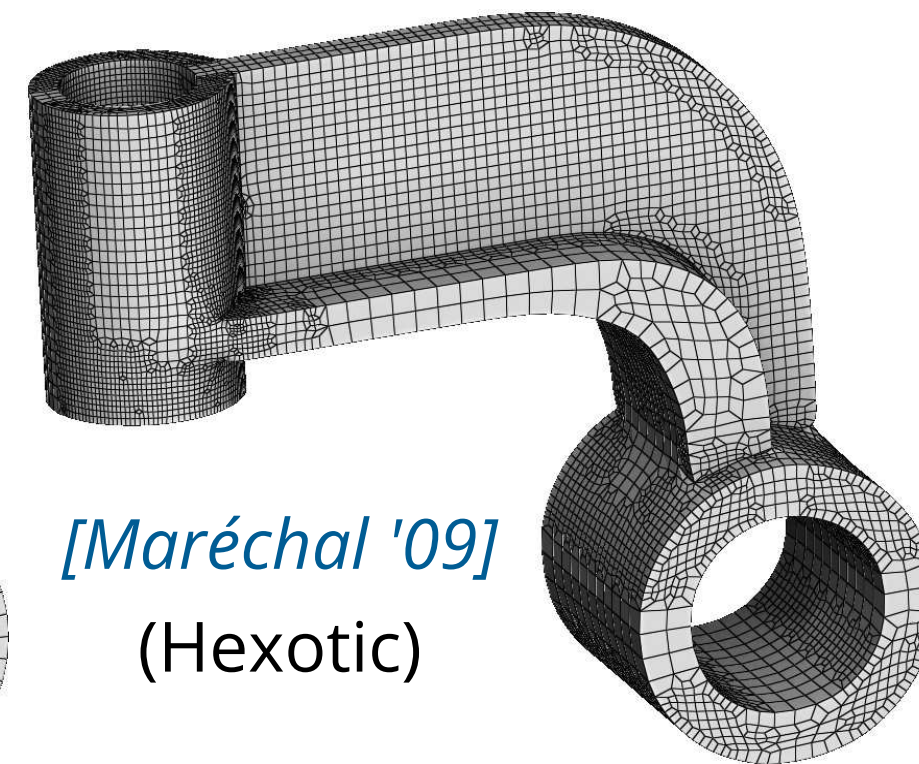
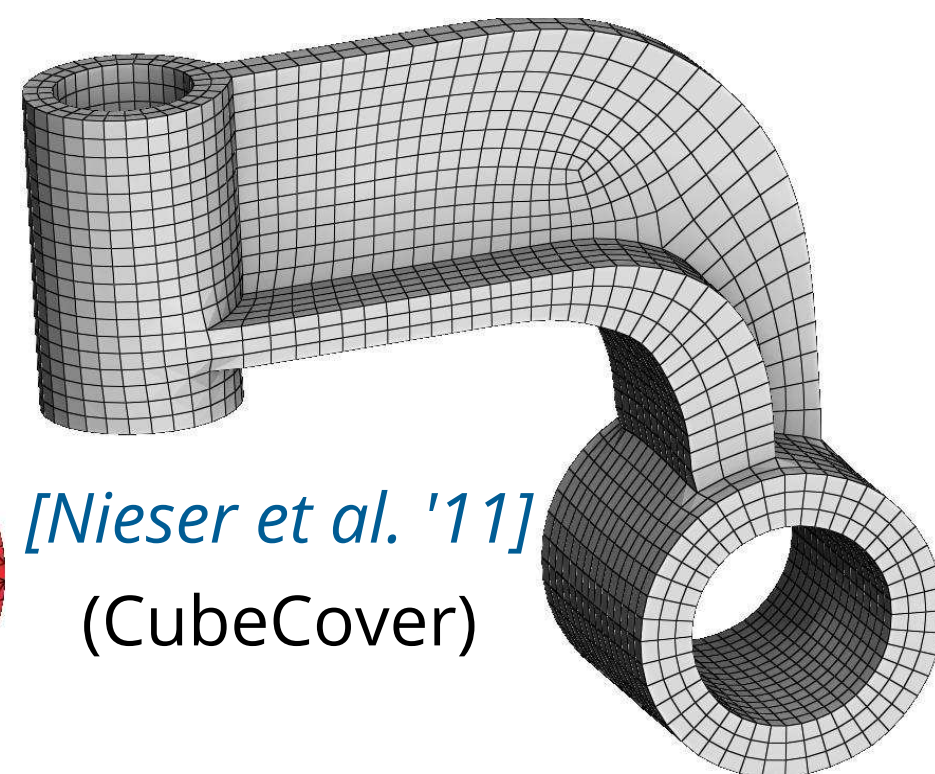
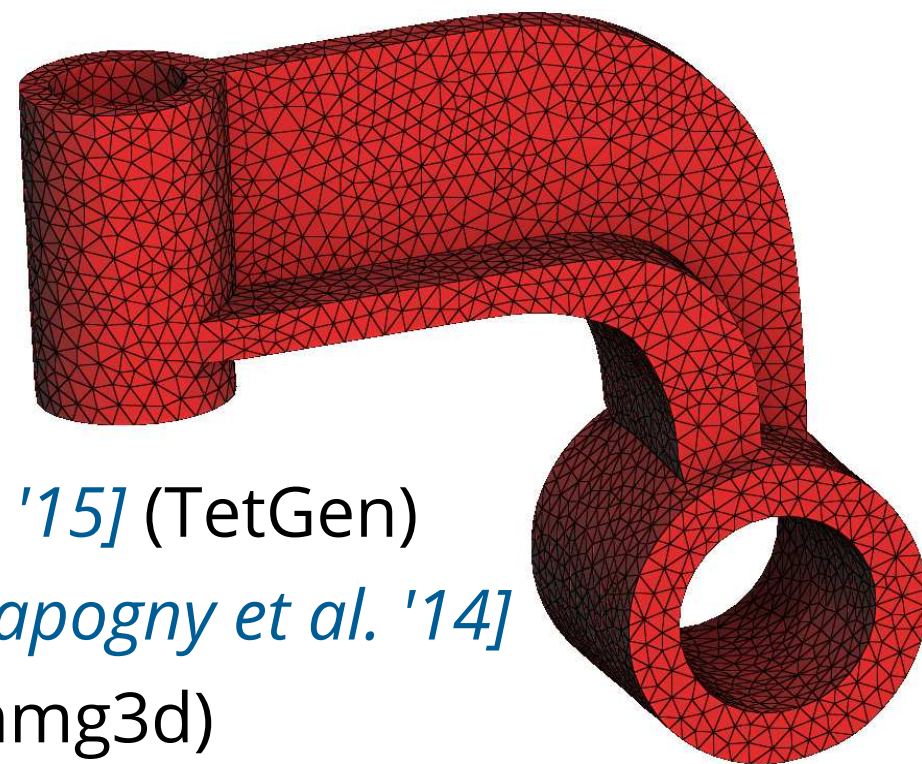


Équations de l'élasticité linéaire :

$$\nabla \cdot \sigma(\mathbf{u}) + \mathbf{f} = 0$$

$$\sigma(\mathbf{u}) = \lambda(\nabla \cdot \mathbf{u})\mathcal{I} + \mu(\nabla \cdot \mathbf{u} + \nabla \cdot \mathbf{u}^T)$$

- Types de maillages :



[Si '15] (TetGen)  
[Dapogny et al. '14]  
(mmg3d)

[Nieser et al. '11]  
(CubeCover)

[Maréchal '09]  
(Hexotic)

FEM :  $\mathbb{P}_k$

FEM :  $\mathbb{Q}_k$

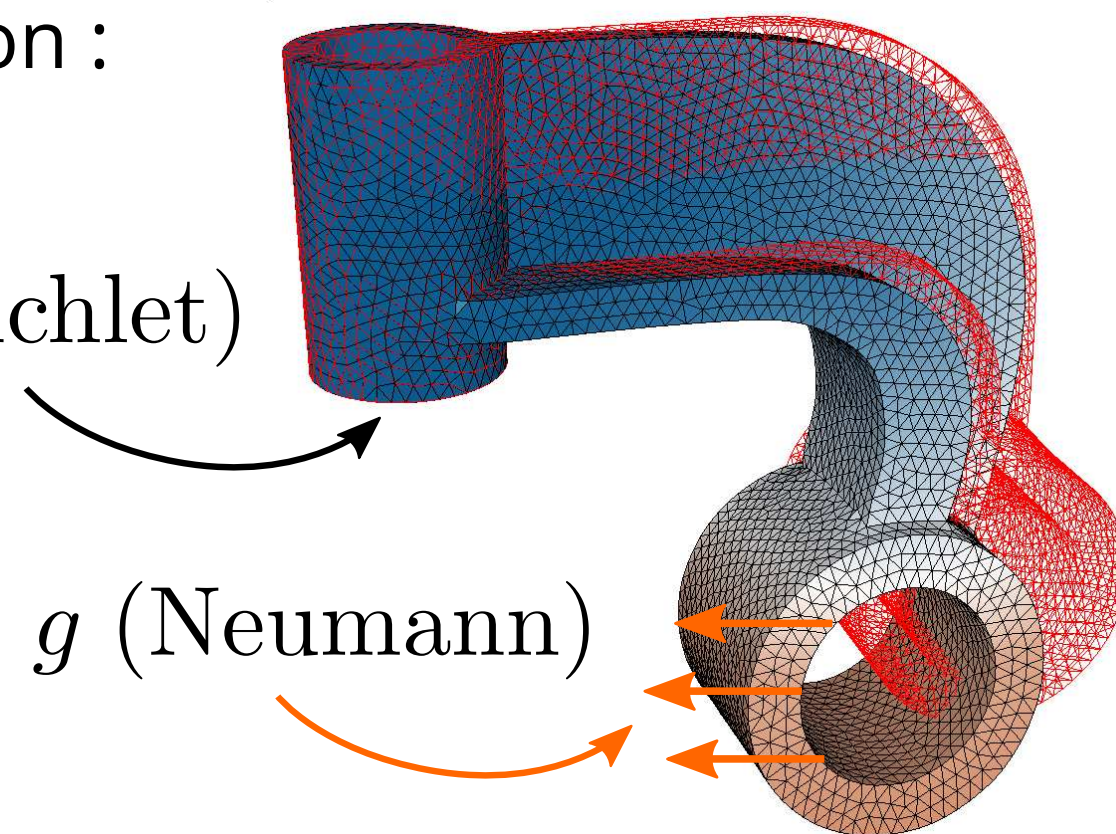
FEM :  $\mathbb{Q}_k$

# Problème d'élasticité linéaire sur le hanger

- Problème et solution :

$$u = 0 \text{ (Dirichlet)}$$

$$\sigma(u) \cdot n = g \text{ (Neumann)}$$

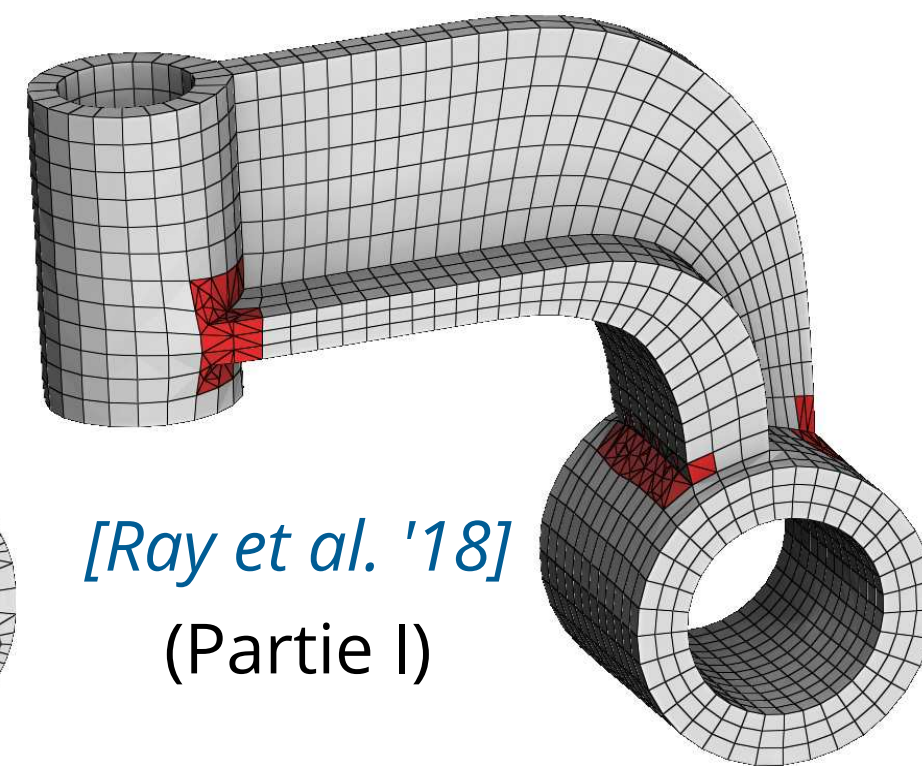
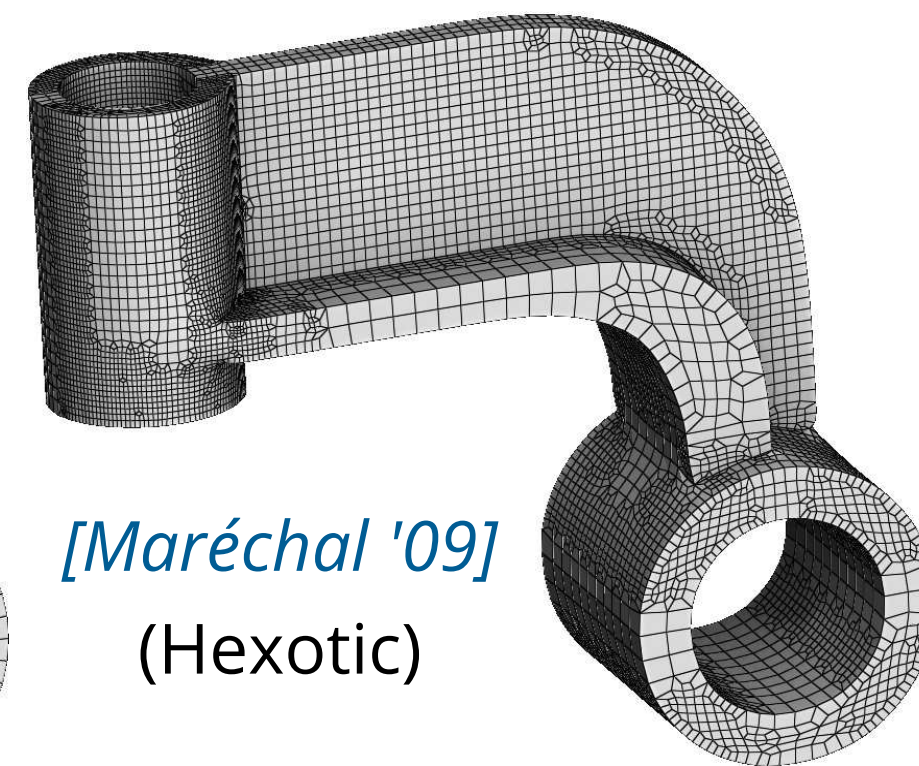
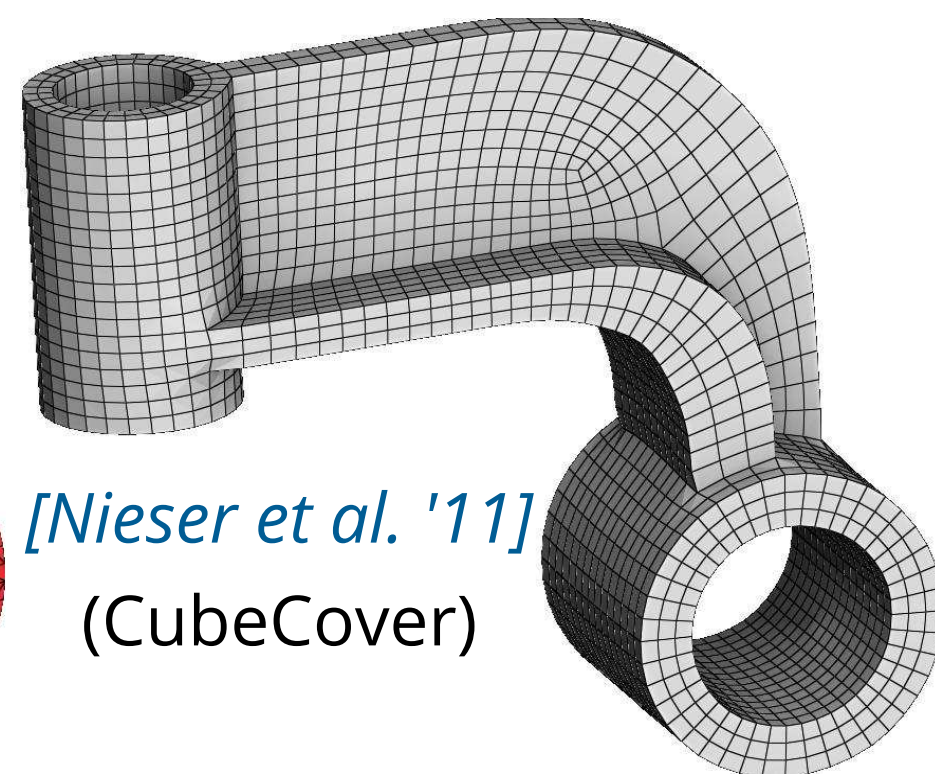
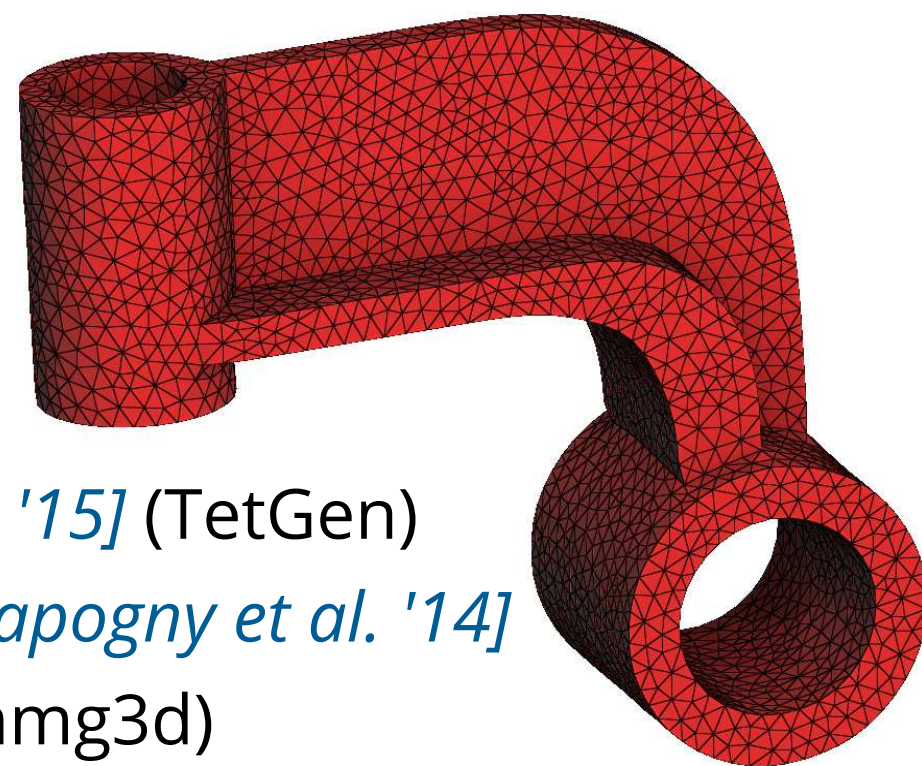


Équations de l'élasticité linéaire :

$$\nabla \cdot \sigma(\mathbf{u}) + \mathbf{f} = 0$$

$$\sigma(\mathbf{u}) = \lambda(\nabla \cdot \mathbf{u})\mathcal{I} + \mu(\nabla \cdot \mathbf{u} + \nabla \cdot \mathbf{u}^T)$$

- Types de maillages :



[Si '15] (TetGen)  
[Dapogny et al. '14]  
(mmg3d)

[Nieser et al. '11]  
(CubeCover)

[Maréchal '09]  
(Hexotic)

[Ray et al. '18]  
(Partie I)

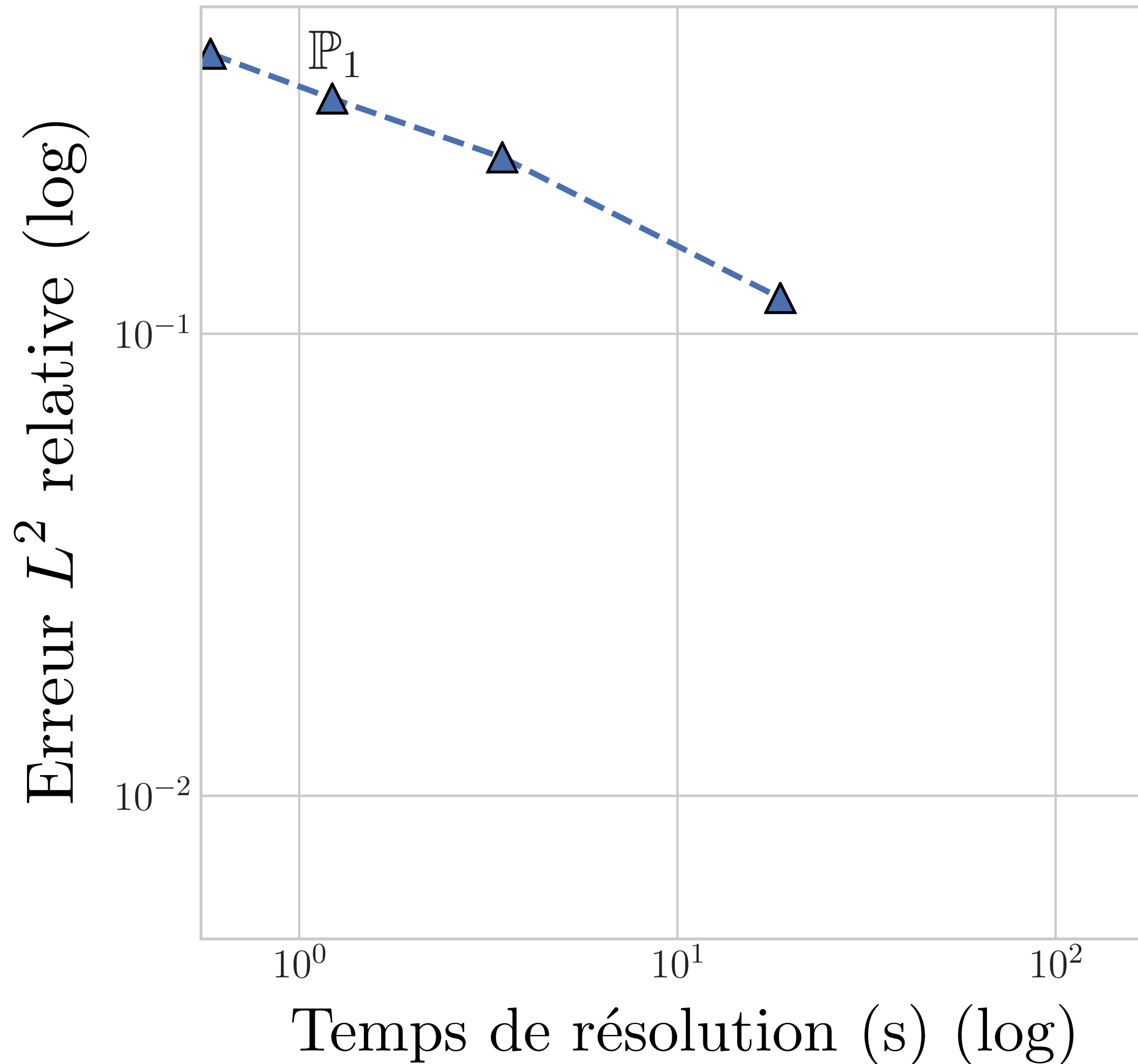
FEM :  $\mathbb{P}_k$

FEM :  $\mathbb{Q}_k$

FEM :  $\mathbb{Q}_k$

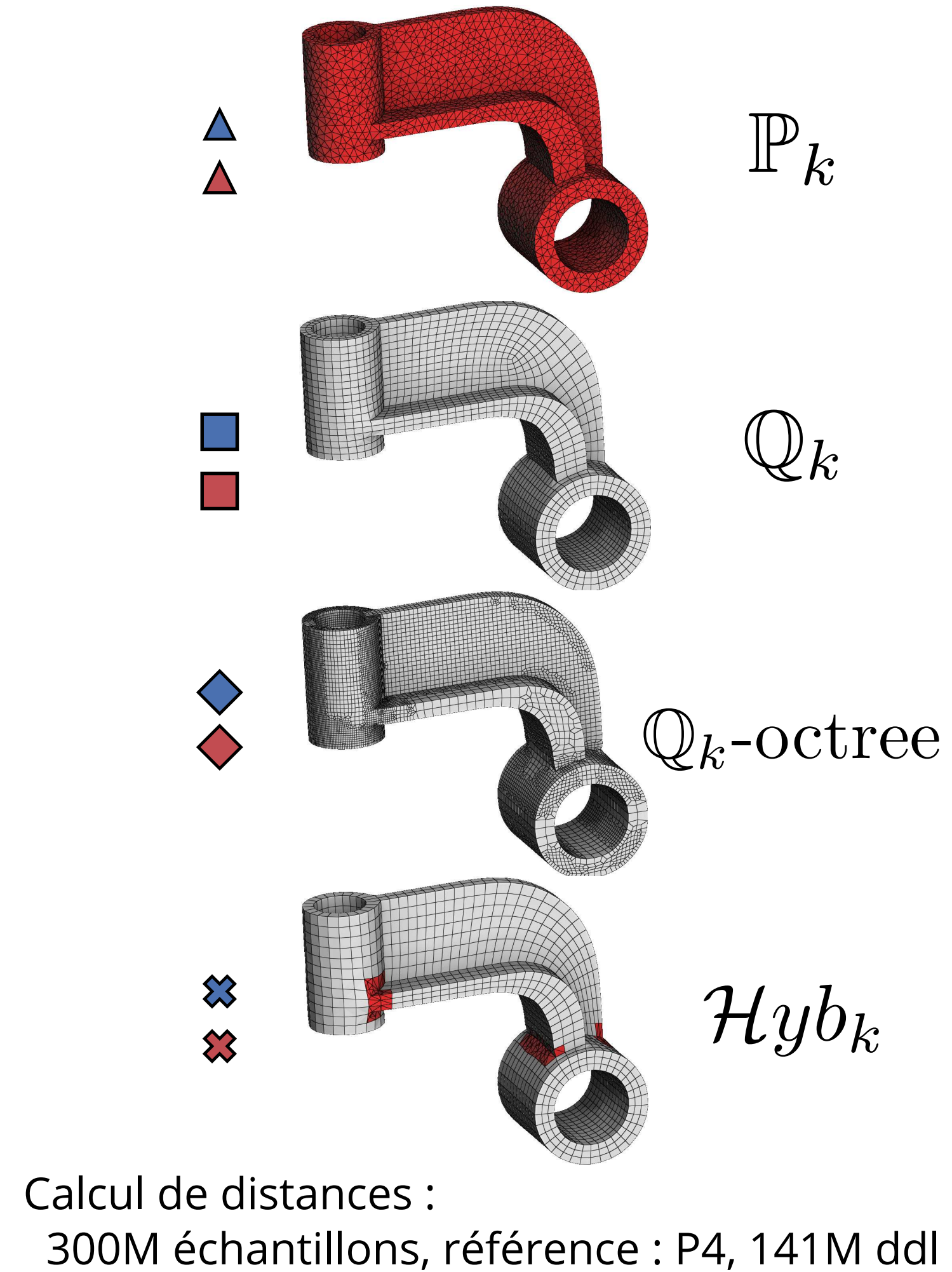
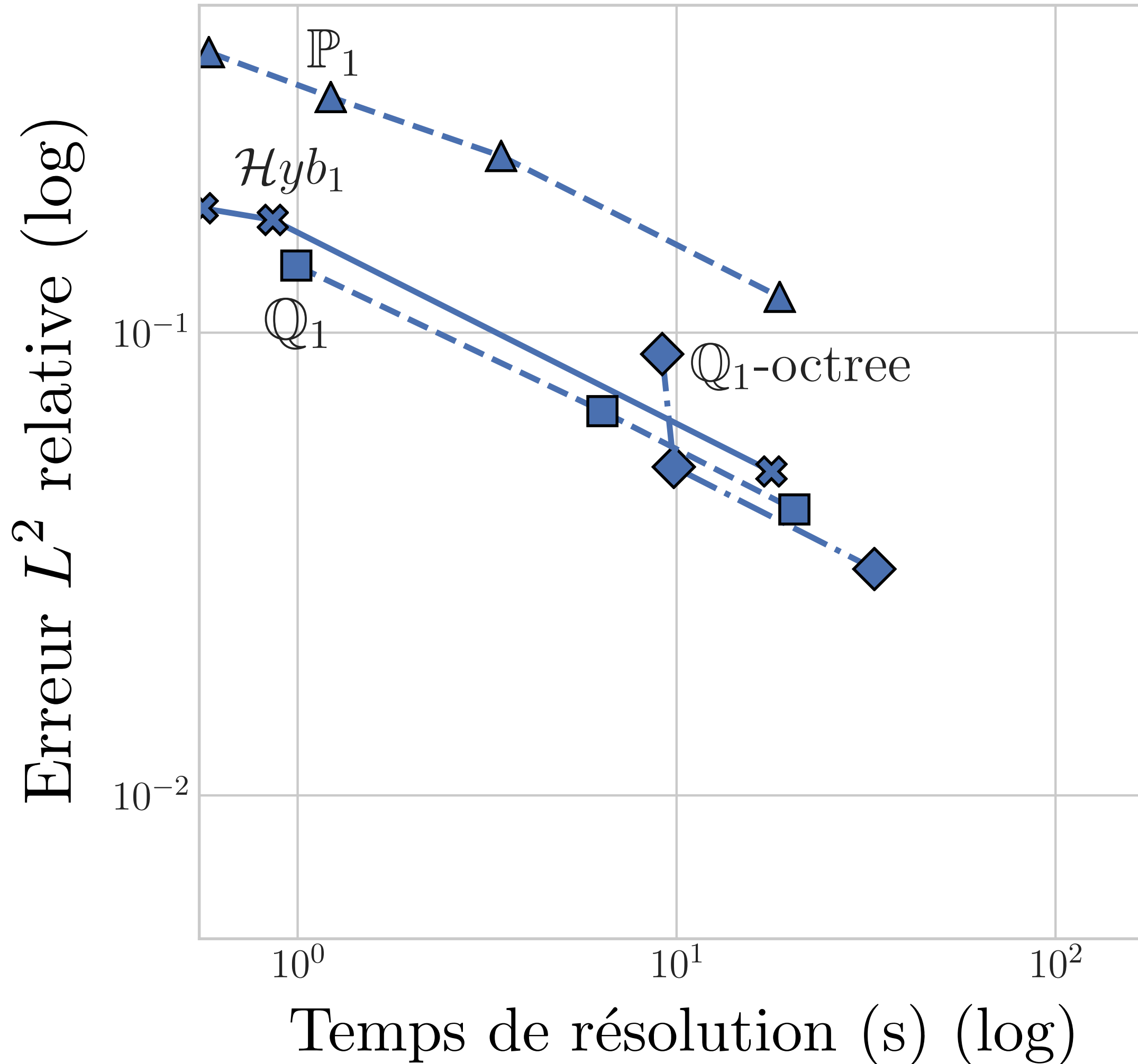
FEM :  $\mathbb{Hyb}_k$

# Performances sur le problème élasticité-hanger

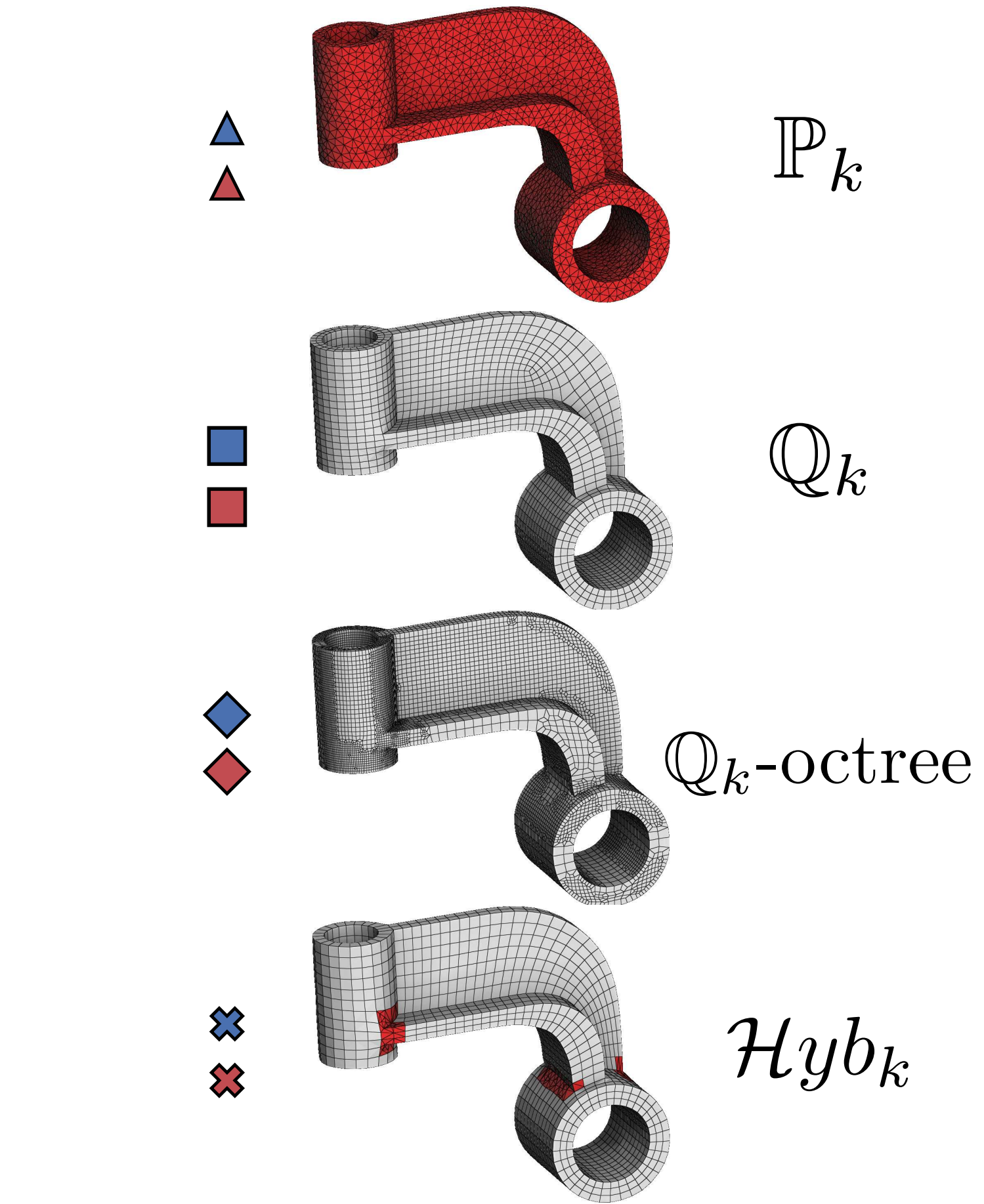
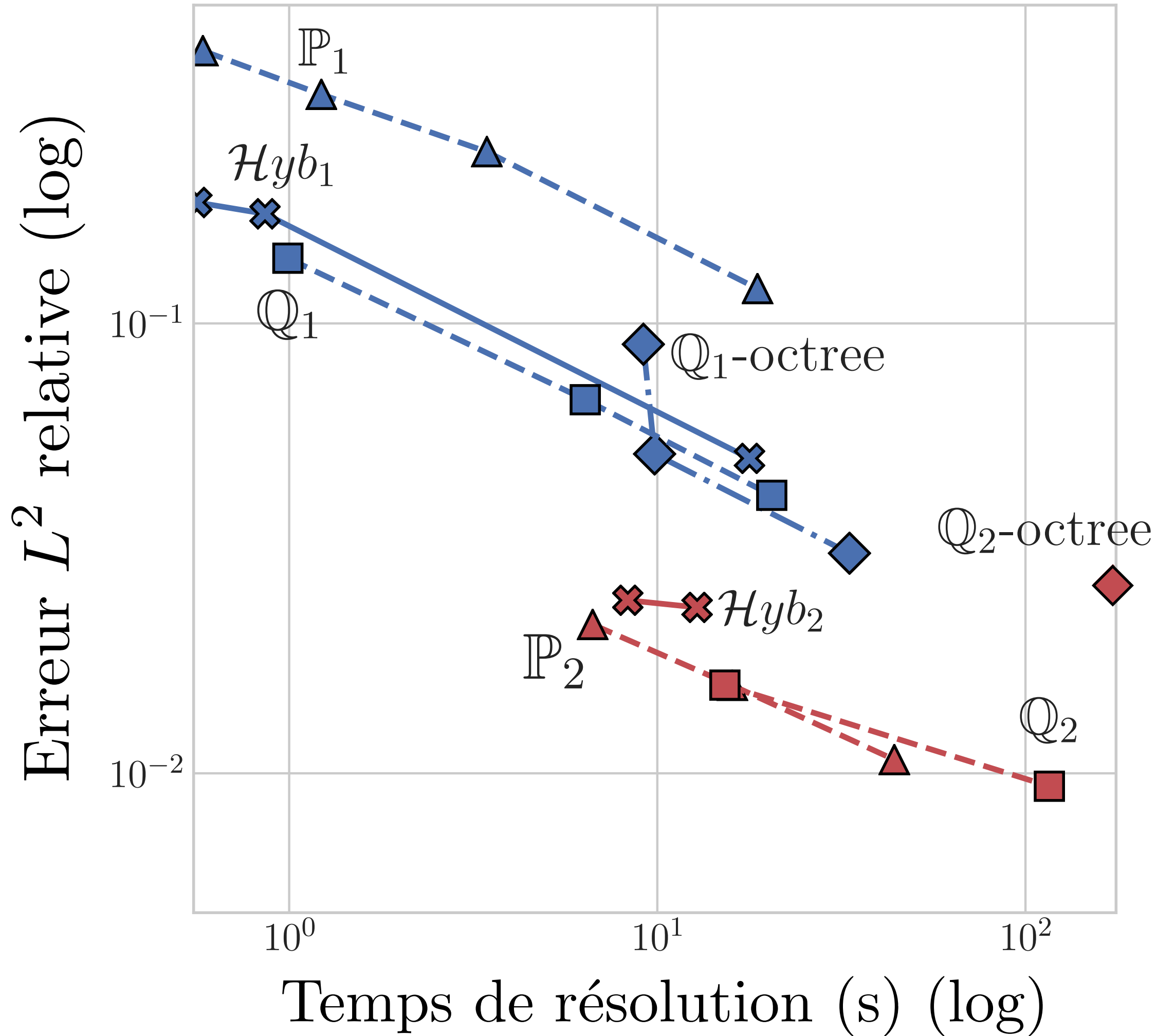


Calcul de distances :  
300M échantillons, référence : P4, 141M ddl

# Performances sur le problème élasticité-hanger



# Performances sur le problème élasticité-hanger



Calcul de distances :  
300M échantillons, référence : P4, 141M ddl

# Conclusion sur les comparaisons

- **Essais 2D** simples : résultats pas forcément conformes aux idées reçues
- **FEM** sur maillages **hex-tet** : comportement de  $\mathcal{H}yb_k$  similaire à  $\mathbb{Q}_k$
- **Avantage limité** (~20%) des hexaèdres sur les tétraèdres (sur problèmes simples avec **solutions lisses**)

# Conclusion sur les comparaisons

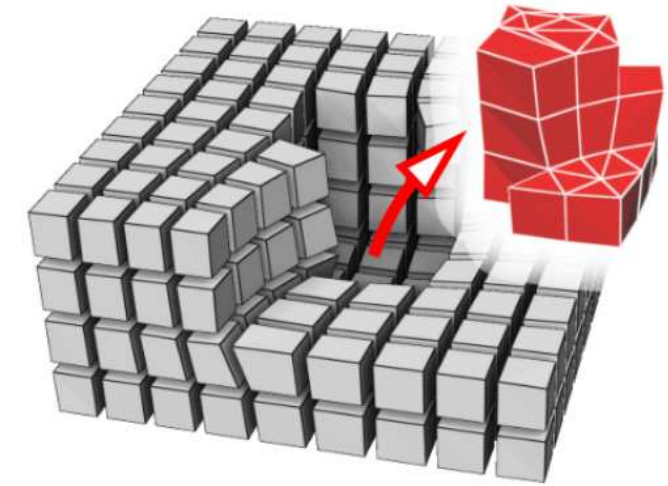
- **Essais 2D** simples : résultats pas forcément conformes aux idées reçues
- **FEM** sur maillages **hex-tet** : comportement de  $\mathcal{H}yb_k$  similaire à  $\mathbb{Q}_k$
- **Avantage limité** (~20%) des hexaèdres sur les tétraèdres (sur problèmes simples avec **solutions lisses**)

## Perspectives :

- Comparaisons sur des **équations plus difficiles** (non-linéaires, non elliptiques)
- Utilisation d'**hexaèdres améliorés** (incompatible, hybride) en mécanique (cf **logiciels commerciaux** comme Abaqus)

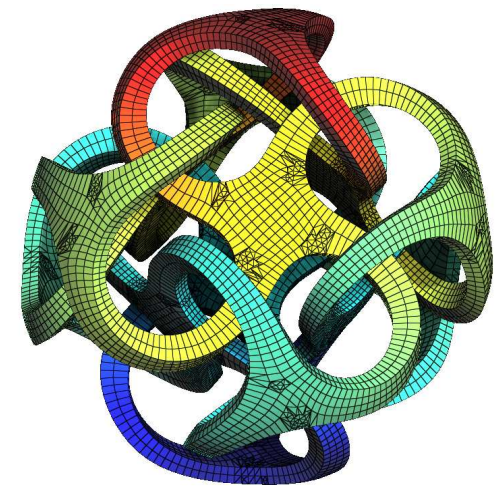
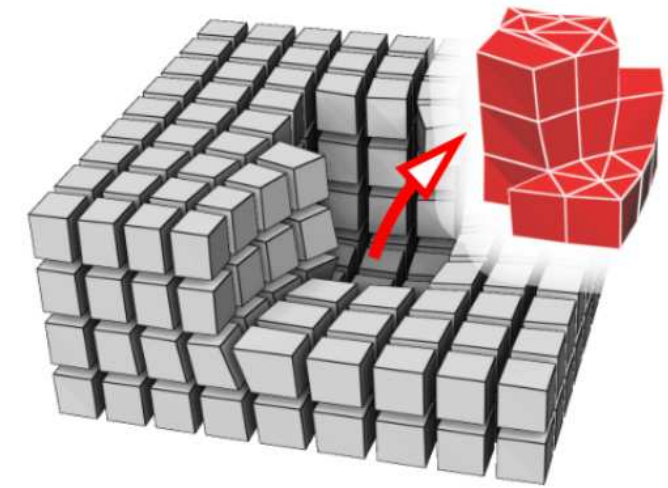
# Conclusions

- Génération de maillage hex-dominants :
  - approche robuste [\[Ray et al. '18\]](#), nécessaire pour appli. industrielle
  - encore beaucoup de travail avant mailleur hexaédrique automatique



# Conclusions

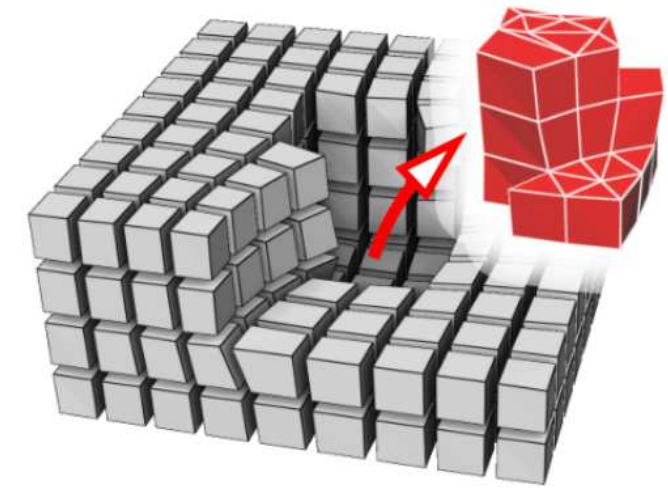
- Génération de maillage hex-dominants :
  - approche robuste *[Ray et al. '18]*, nécessaire pour appli. industrielle
  - encore beaucoup de travail avant mailleur hexaédrique automatique
- Méthode des éléments finis sur maillages hex-dominants :
  - espace continu *[Reberol et Lévy '16]* pour maillages hex-tet, mais peu pratique
  - pratique et théorie sur les pyramides suffisamment mature pour appli. industrielle



# Conclusions

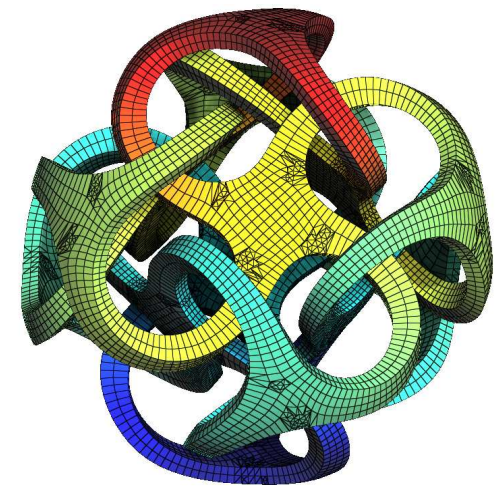
- Génération de maillage hex-dominants :

- approche robuste [Ray et al. '18], nécessaire pour appli. industrielle
- encore beaucoup de travail avant mailleur hexaédrique automatique



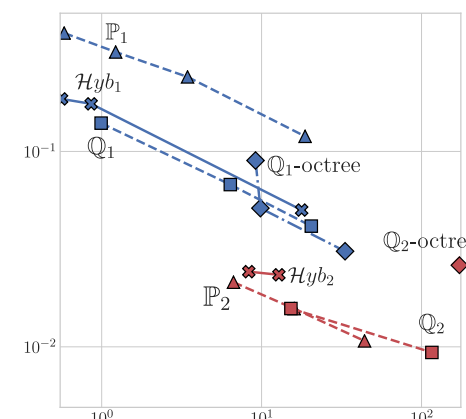
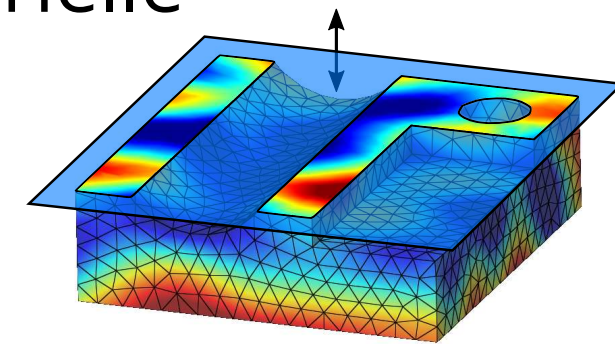
- Méthode des éléments finis sur maillages hex-dominants:

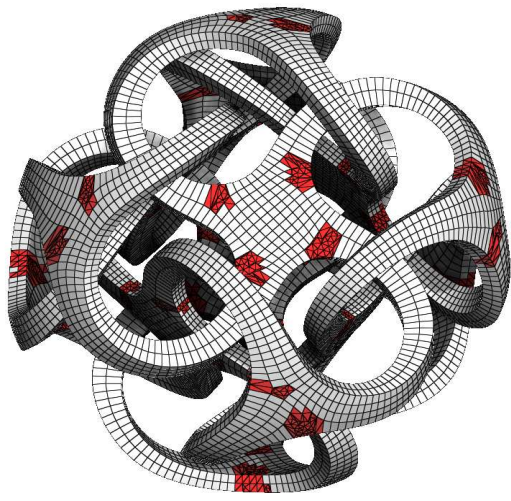
- espace continu [Reberol et Lévy '16] pour maillages hex-tet, mais peu pratique
- pratique et théorie sur les pyramides suffisamment mature pour appli. industrielle



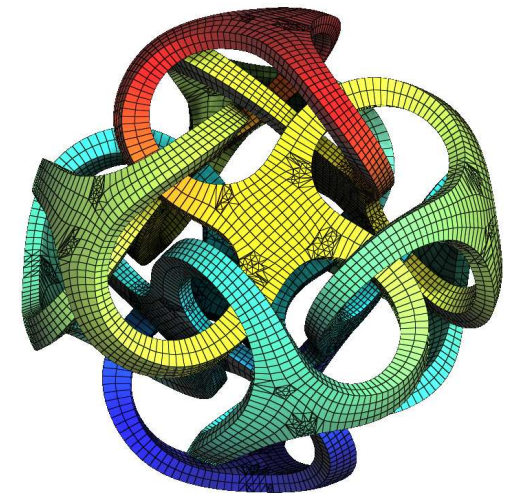
- Évaluation des maillages hexaédriques et hex-dominants :

- nouvelle méthode efficace de comparaisons de solutions éléments finis [Reberol et Lévy '18]
- intérêt limité des hexaèdres pour équations simples avec solutions lisses
- reste à étudier des problèmes plus compliqués





# Merci pour votre attention



Publications :

- **Reberol M.** et Lévy B., *Low-order continuous finite element spaces on hybrid non-conforming hexahedral-tetrahedral meshes*, Rapport de recherche, 2016
- **Reberol M.** et Lévy B., *Computing the Distance between Two Finite Element Solutions Defined on Different 3D Meshes on a GPU*, SIAM Journal on Scientific Computing, 2018
- Ray N., Sokolov D., **Reberol M.**, Ledoux F. et Lévy B., *Hexahedral Meshing: Mind the Gap!*, en cours d'examen (SPM '18), 2018

Logiciel open source :

- Fast Finite Element Sampling for distance computations  
<https://github.com/mxncr/FFES>, 2018 

# Références

- George et al. '90, Fully automatic mesh generator for 3D domains of any shape
- Si '15, TetGen a Delaunay-Based Quality Tetrahedral Mesh Generator
- Frey et George '08, Mesh Generation: Application to Finite Elements
- Dapogny et al. '14, Three-dimensional adaptive domain remeshing, implicit domain meshing ...
- Tautges et al. '96, The whisker weaving algorithm
- Owen '98, A survey of unstructured mesh generation technology
- Nieser et al. '11, CubeCover Parameterization of 3D Volumes
- Ray et al. '08, N-symmetry direction field design
- Huang et al. '11, Boundary aligned smooth 3D cross-frame field
- Kowalski '13, PhD thesis, Boundary aligned smooth 3D cross-frame field
- Lyon et al. '16, HexEx
- Bedrosian '92, Shape functions and integration formulas for three-dimensional finite element analysis
- Bergot et al. '09, Higher-order Finite Elements for Hybrid Meshes Using New Nodal Pyramidal Elements
- Nigam et al. '11, High-order conforming finite elements on pyramids
- Fuentes et al. '15, Orientation embedded high order shape functions for the exact sequence elements of all shapes
- Wieners '97, Conforming discretizations on tetrahedrons, pyramids, prisms and hexahedrons
- Ainsworth et al. '16, Bernstein-Bézier finite elements on tetrahedral-hexahedral-pyramidal partitions
- Durochat et al. '13, PhD thesis, High order non-conforming multi-element discontinuous Galerkin method for ...
- Roache '02, Code Verification by the Method of Manufactured Solutions
- Farrell et al. '09, Conservative interpolation between unstructured meshes via supermesh construction
- Akio et Koide '91, An efficient method of triangulating equivalued surfaces by using tetrahedral cells
- Cook et al. '02, Concepts and applications of finite element analysis
- Orszag '80, Spectral methods for problems in complex geometries

# Références

- Remacle et al. '16, GPU accelerated spectral finite elements on all-hex meshes
- Pian et Tong '86, Relations between incompatible displacement model and hybrid stress model
- Turek et al. '99, Proposal for Sparse Banded Blas techniques
- Turek et al. '06, Hardware-oriented numerics and concepts for PDE software
- Maréchal '09, Advances in Octree-Based All-Hexahedral Mesh Generation : Handling Sharp Features
- Plimpton et al. '98, A Parallel Rendez-vous Algorithm for Interpolation Between Multiple Grids
- Jiao et Heath '04, Common-refinement-based data transfer between non-matching meshes in multiphysics simus
- Dewhurst et al. '93, Joining tetrahedra to hexahedra
- Marais et al. '08, Conforming arbitrary order hexahedral/tetrahedral hybrid discretisation
- Degerfeldt et al. '06, A brick-tetrahedron finite-element interface with stable time-stepping for Maxwell's equations